

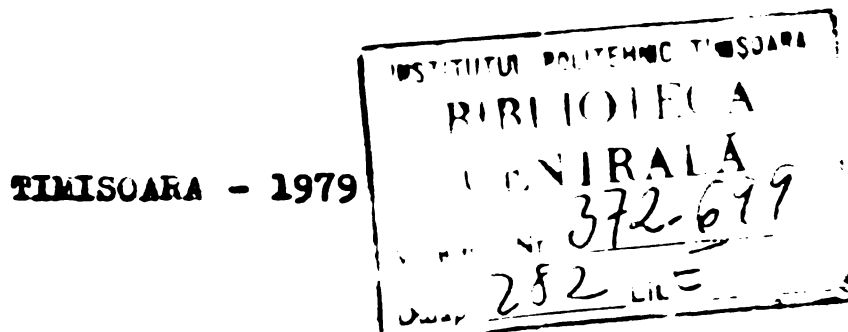
**MINISTERUL EDUCATIEI SI INVATAMINTULUI  
INSTITUTUL POLITEHNIC "TRAIAN VULIU" TIMISOARA  
FACULTATEA DE ELECTROTEHNICA**

**ING. NAPORNIȚA IOAN**

**CONTRIBUTII LA MASURAREA NUMERICA A PUTERII  
SI ENERGIEI ACTIVE**

BIBLIOTECA CENTRALĂ  
UNIVERSITATEA "POLITEHNICA"  
TIMIȘOARA

**Conducător științific :  
PROF.DR.ING. EUGEN POP**



## CONTINUT

pag.

### **Cap.1. STADIUL ACTUAL AL MĂSURARII PUTERII SI ENERGIEI**

ELECTRICE ACTIVE . . . . .	4
1.1. Consideratii generale . . . . .	4
1.2. Puterea electromagnetică . . . . .	5
1.3. Puterea activă . . . . .	6
1.4. Energia activă . . . . .	7
1.5. Wattmetre . . . . .	8
1.6. Contoare pentru energia activă . . . . .	9
1.7. Wattmetre și contoare electronice . . . . .	10

### **Cap.2. STRUCTURI DE WATTMETRE SI CONTOARE ELECTRONICE . . . . .** 11

2.1. Clasificarea wattmetrelor și contoarelor electronice . . . . .	11
2.2. Aparate de măsurare ce utilizează multiplicarea analogică . . . . .	12
2.2.1. Aparate de măsurare cu caracteristică patratică	12
2.2.2. Aparate de măsurare, ce folosesc multiplicarea prin divizarea timpului sau medierea triunghiurilor . . . . .	13
2.3. Aparate ce utilizează multiplicarea numerică . . . . .	24
2.4. Aparate ce utilizează multiplicarea hibridă . . . . .	30
2.5. Aparate ce utilizează compararea efectelor termice ale curentului alternativ, cu cele ale curentului continuu . . . . .	34
2.6. Aparate ce utilizează metode speciale de comparare . . . . .	37
2.7. O instalație pentru măsurarea puterii active, reactive și deformante . . . . .	38
2.8. Concluzii privind metodele de măsurare numerică a puterii și energiei active . . . . .	40

### **Cap.3. ESATIONAREA SI CUANTIZAREA SEMIALELOR . . . . .** 42

3.1. Circuite de eșantionare și memorare - EM. Scheme și parametrii . . . . .	42
3.2. Cuantizarea semialelor. Proprietățile statistice ale cuantizorului . . . . .	45
3.3. Zgomotul de cuantizare . . . . .	51
3.4. Convertoare analog numerice . . . . .	55

	pag.
3.4.1. Convertetoare analog numerice, cu rețea R-2R .	55
3.4.2. Erori ale convertoarelor analog numerice . .	59
<b>Cap.4. NOI ALGORITMI DE CALCUL AI PUTERII SI ENERGIEI ACTIVE SI SCHELE DERIVATE PENTRU WATTMETRE SI CONTOARE NUMERICE CU MULTIPLICARE NUMERICA . . . . .</b>	<b>61</b>
4.1. Algoritmul clasic de calcul . . . . .	61
4.2. Noi algoritmi de calcul pentru putere și energie . . . . .	54
4.2.1. Primul algoritm de calcul pentru putere . . .	69
4.2.2. Al doilea algoritm de calcul pentru putere .	75
4.2.3. Primul algoritm de calcul pentru energie . .	79
4.2.4. Al doilea algoritm de calcul pentru energie .	84
4.2.5. Contoare pentru măsurarea în "punct fix" și contoare de precizie în general . . . . .	86
4.2.6. Alegera cuantelor de tensiune și curent. Determinarea frecvenței de eşantionare . . . .	86
4.2.7. Determinarea lungimii acumulatoarelor și a numărătoarelor . . . . .	92
4.2.8. Sisteme pentru contoare reversibile . . . .	94
<b>Cap.5. STUDIUL ERORILOR DE MASURARE NUMERICA A PUTERII SI ENERGIEI ELECTRICE ACTIVE . . . . .</b>	<b>97</b>
5.1. Influența eşantionării asupra măsurătorii puterii active . . . . .	97
5.1.1. Influența eşantionării în cazul algoritmilor de calcul propuși . . . . .	101
5.2. Influența eşantionării asupra măsurării energiei active . . . . .	103
5.3. Influența neconcordanței în timp a momentelor de eşantionare a tensiunii și curentului . . .	105
5.4. Influența cuantizării asupra măsurării puterii active . . . . .	108
5.4.1. Influența cuantizării, asupra măsurării puterii, conform algoritmului clasic . . . . .	111
5.5. Influența cuantizării asupra măsurării puterii active, în cazul primului algoritm propus	116
5.6. Influența cuantizării asupra măsurării energiei active . . . . .	117
5.7. Erori în măsurarea puterii și energiei active, datează imperfecțiunilor convertoarelor analog-numerice și circuitelor de eşantionare și memorare	117

5.8. Influența erorilor de fază ale sistemului de amplificare, asupra preciziei de măsurare a puterii și energiei active . . . . .	128
5.9. Concluzii privind erorile de măsurare a puterii și a energiei active . . . . .	131
<b>Cap.6. VERIFICAREA PRIN SILUATE A ALGORITMILOR PROPUși .</b>	<b>134</b>
6.1. Verificarea primului algoritm . . . . .	134
6.2. Reducerea erorii de măsurare la utilizarea contorului cu quantizare grosieră în punct fix .	142
6.3. Corectarea nelinierității caracteristicilor de transfer ale convertoarelor . . . . .	144
6.4. Verificarea celui de-al doilea algoritm . . .	145
<b>Cap.7. MODEL EXPERIMENTAL DE CONTOR NUMERIC CU MULTIPLICA-RE NUMERICA LUCRIND CONFORM PRIMULUI ALGORITM PRO-PUȘ . . . . .</b>	<b>146</b>
7.1. Circuitele de eșantionare și memorare. Conver-toarele analog-numerice . . . . .	146
7.2. Acumulatorul pentru curent AI. Scăzătorul de tensiune . . . . .	147
7.3. Acumulatorul pentru energie AW . . . . .	147
7.4. Dispozitivul de comandă . . . . .	149
7.5. Rezultate experimentale . . . . .	150
<b>Cap.8. CONCLUZII . . . . .</b>	<b>155</b>
<b>BIBLIOGRAFIE . . . . .</b>	<b>161</b>

## CAPITOLUL 1

### STADIUL ACTUAL AL MASURARII PUTERII SI ENERGIEI ELECTRICE ACTIVE

#### 1.1. Consideratii generale

Se cunoaste [51,79] faptul ca energia electromagnetică se propagă în cimpul electromagnetic. Rezultă deci posibilitatea definirii puterii electromagnetice pentru un sistem polifazat ca energia electromagnetică ce străbate în unitatea de timp suprafața ce cuprinde sistemul polifazat.

In regim periodic, energia electromagnetică oscilează între generator și receptor, interesantă fiind doar diferența dintre energia debitată de sursă și cea ce se întoarce la ea în unitatea de timp, căci aceasta este energia care, în unitatea de timp, se obține din alte forme de energie. Se ajunge astfel la definirea puterii active ca fiind valoarea medie pe o perioadă, a puterii electromagnetice.

In regim neperiodic interesează energia activă vehiculată într-un interval de timp, ca integrala puterii electromagnetice în acel interval de timp.

Măsurarea puterii active și a energiei active reprezintă o problemă ce permite diverse soluționări. Pentru măsurarea puterii și a energiei se folosesc de obicei wattmetrul electrodinamic respectiv contorul de inducție, instrumente cu o largă răspândire în practica curentă. Utilizarea acestor tipuri de instrumente este încă limitată la domenii de frecvență restrânse. De cele mai multe ori o precizie de măsurare acceptabilă, fiind obținută cu ajutorul lor numai în regim sinusoidal pur.

Necesitatea creșterii domeniului de frecvență de lucru precum și a creșterii preciziei de măsurare a dus în final la apariția wattmetrelor și contoarelor electronice - statice - a căror dezvoltare a fost impulsionată, în deceniul în curs, de perfecționarea tehnologiei de integrare monolică. Această tehnologie obligă la o reevaluare a metodelor de măsurare în sensul rentabilizării măsurătorilor numerice.

### 1.2. Puterea electromagnetică (puterea instantană)

Conform teoremei transferului de putere la borne [77], puterea "p" primită instantană pe la bornele de către o rețea cu "N" borne de acces, ale cărei laturi nu sunt cuplate magnetic cu exteriorul este:

$$p = \sum_{n=1}^N v_n i_n^{(ex)} \quad (1.1)$$

unde  $v_n$  sunt potențialele instantanee ale bornelor iar  $i_n^{(ex)}$  curentii instantanei absorbiți de rețea pe la borne. Pentru o rețea cu  $N = 2$  borne,  $i_1^{(ex)} = i$  și  $i_2^{(ex)} = -i_1$ . În consecință puterea electromagnetică devine:

$$p = v_1 i - v_2 i = (v_1 - v_2) i = U_b \cdot i$$

unde  $U_b$  este tensiunea între bornele dipolului considerat.

In cazul unui sistem polifazat cu N faze fără conductor de nul, conform primei legi a lui Kirchhoff:

$$\sum_{n=1}^N i_n^{(ex)} = 0$$

și luând drept potențial de referință potențialul punctului neutru  $v'_0$ , relația (1.1) devine:

$$p = \sum_{n=1}^N (v_n - v'_0) i_n^{(ex)} = \sum_{n=1}^N U_n i_n^{(ex)} = \sum_{n=1}^N U_n i_n \quad (1.2)$$

în care  $U_n$  sunt tensiunile de fază iar  $i_n$  curentii de fază.

In cazul sistemului polifazat cu N faze cu conductor de nul ce are potențialul  $v'_0$ , se arată [51] că expresia puterii electromagnetice devine:

$$p = \sum_{n=0}^N U_n i_n \quad (1.3)$$

unde  $U_n = v_n - v'_0$  sunt tensiunile de fază iar  $i_n$  sunt curentii de fază.

Expresiile ce dau puterea electromagnetică nu sunt dependente de felul de variație în timp al tensiunilor și curentilor.

### 1.3. Puterea activă.

După cum s-a specificat, în regim periodic se poate defini puterea activă ca media pe o perioadă a puterii electromagnetice:

$$P = \frac{1}{T} \int_0^T pdt \quad (1.4)$$

unde  $T$  este perioada.

In cazul unui dipol, puterea electromagnetică primită instantaneu pe la borne fiind:  $p = ui$ , expresia puterii active este:

$$P = \frac{1}{T} \int_0^T uidt \quad (1.5)$$

Pentru un regim sinusoidal, în care  $u = \sqrt{2} U \sin \omega t$  și  $i = \sqrt{2} I \sin(\omega t + \varphi)$ , puterea electromagnetică instantană are expresia:

$$p = 2 UI \sin \omega t \sin(\omega t + \varphi) = UI \cos \varphi - UI \cos(2\omega t + \varphi) \quad (1.6)$$

fiind o mărime periodică ce are o componentă constantă și una ce variază cu frecvența dublă față de a tensiunii și curentului.

Conform relației 1.4 puterea activă are în acest regim expresia bine cunoscută:

$$P = \frac{1}{T} \int_0^T UI \cos \varphi dt = \frac{1}{T} \int_0^T \cos(2\omega t + \varphi) dt = UI \cos \varphi \quad (1.7)$$

In cazul regimurilor periodice nesinusoidale, dezvoltând în serie Fourier tensiunea și curentul:

$$u = \sum_{k=1}^N \sqrt{2} U_k \sin(k\omega t + \psi_k)$$

$$i = \sum_{j=1}^M \sqrt{2} I_j \sin(j\omega t + \theta_j)$$

și integrând puterea electromagnetică pe o perioadă a fundamentaliei se obține puterea activă:

$$\begin{aligned}
 P &= \frac{1}{T} \int_0^T \left[ \sum_{k=1}^N \sqrt{2} U_k \sin(k\omega t + \varphi_k) \right] \left[ \sum_{v=1}^N \sqrt{2} I_v \sin(v\omega t + \theta_v) \right] dt = \\
 &= \frac{1}{T} \sum_{k=1}^N \sum_{v=1}^N U_k I_v \left\{ \int_0^T \cos[(k-v)\omega t + \varphi_k - \theta_v] dt \right. - \\
 &\quad \left. - \int_0^T \cos[(k+v)\omega t + \varphi_k + \theta_v] dt \right\} = \sum_{k=1}^N U_k I_k \cos(\varphi_k - \theta_k) = \\
 &= \sum_{k=1}^N U_k I_k \cos \varphi_k
 \end{aligned}$$

unde  $U_k$  și  $I_k$  sunt valorile efective ale armonicelor de ordin  $k$  ale tensiunii respectiv curentului iar  $\varphi_k$  defazajul între curentul și tensiunea armonică de ordinul  $k$ .

In cazul rețelelor polifazate se calculează puterea activă pornind de la expresia puterii electromagnetice dată de 1.2 sau 1.3. Se obține pentru rețelele trifazate echilibrante [77,80] în regim sinusoidal, puterea activă:

$$P = 3 U_f \cdot I_f \cos \varphi_f \quad (1.8)$$

Pentru rețele trifazate dezechilibrate în regim sinusoidal cu conductor de nul, puterea activă este:

$$\begin{aligned}
 P &= U_{10} \widehat{I}_1 \cos(U_{10} \widehat{I}_1) + U_{20} \widehat{I}_2 \cos(U_{20} \widehat{I}_2) + \\
 &\quad + U_{30} \widehat{I}_3 \cos(U_{30} \widehat{I}_3)
 \end{aligned} \quad (1.9)$$

Pentru situația în care lipsește conductorul de nul avem:

$$P = U_{12} \widehat{I}_1 \cos(U_{12} \widehat{I}_1) + U_{32} \widehat{I}_3 \cos(U_{32} \widehat{I}_3) \quad (1.10)$$

#### 1.4. Energia activă.

Integrala puterii electromagnetice într-un interval de timp reprezintă energia activă trecută de la generator la receptor. Prin urmare pentru un timp "t" energia activă este dată de relația:

$$W = \int_0^t p dt \quad (1.11)$$

Pentru un dipol cu tensiunea la borne "U" și curentul absorbit "i", indiferent de forma variației în timp :

$$W = \int_0^t UI dt$$

In regim sinusoidal, tinind seama de relația 1.6 se obține:

$$W = UIt \cos \varphi - \frac{UI}{4\pi} \frac{T}{t} \sin(2\omega t + \varphi) \quad (1.12)$$

Pentru  $t \gg T$ , al doilea termen este neglijat și în consecință se poate scrie:

$$W = (UI \cos \varphi) \cdot t = P \cdot t \quad (1.13)$$

In rețele polifazate energia se determină pornind tot de la relația 1.11.

### 1.5. Wattmetre

In circuitele de curent continuu măsurarea puterii se poate reduce la măsurarea tensiunii și curentului, efectuându-se apoi produsul celor două mărimi. In circuitele de curent alternativ se efectuează de obicei, cu wattmetre electrodinamice [74,75] sau wattmetre de inducție.

Wattmetrele de inducție se utilizează, de obicei, doar ca și instrumente înregistratoare sau de tablou, fiind de precizie scăzută. Neliniaritățile circuitelor magnetice, dependența de temperatură a proprietăților acestora ca și dependența de frecvență a cuplului activ fac ca aceste instrumente să nu poată ajunge la o clasă de precizie sub 1%.

Una din deficiențele majore ale wattmetrelor electrodinamice și de inducție e constituite domeniul limitat de frecvență în care pot fi utilizate [20,70,85]. Pentru măsurarea puterii active, în domenii largi de frecvență, se pot întrebui instrumente termoelectrice [43,44]. Acestea utilizează de obicei termocopluri cu caracteristici cît mai identice și cît mai apro-

piate de caracteristica patratica. Inconvenientele acestui tip de instrument sunt datorate fragilității termocuplurilor și dificultății imperecherii lor. În consecință instrumentul se folosește aproape exclusiv în înalță frecvență, obținindu-se precizii de măsurare moderate (cîteva procente).

### 1.6. Contoare pentru energia activă

Pentru măsurarea energiei electrice active se utilizează contoare. În curenț continuu măsurarea se efectuează [81] cu ajutorul contorului electrodinamic.

Din pricina erorilor cauzate de variațiile de temperatură ale tensiunii și frecările precum și datorită influenței cîmpurilor exterioare se obțin precizii de 2%.

În circuitele de curenț alternativ, pentru măsurarea energiei active, se folosește contorul de inducție, poate cel mai răspândit instrument de măsurare. Ca și la wattmetrul de inducție și la contorul de inducție variațiile de temperatură, neliniaritățile circuitului magnetic, variațiile tensiunii de alimentare, cîmpurile exterioare și frecările duc la obținerea unor clase de precizie uzuale de 2, 2,5% [81]. Se pot obține și contoare de clasă 0,5 sau mai bune pentru verificări metrologice, dar compoziția cu frecvență a acestui tip de instrument de măsură este de asemenea nesatisfăcătoare. Astfel în rețelele cu un regim puternic deformant, rețele ce alimentează de exemplu cuptoare cu arc, scheme cu redresoare etc., apar probleme legate de precizia de măsurare în sensul unei corecte decontări între producătorul și consumatorul de energie.

Realizarea unor noi tipuri de wattmetre și contoare pentru energie activă, cu o clasă de precizie acceptabilă în domenii largi de frecvență și în condiții de exploatare mult variabile a apărut ca o necesitate economică. Pe de altă parte s-a impus realizarea unor instrumente etalon, pentru verificări ale producției și pentru măsurări metrologice.

Electronica dă rezolvare majorității inconvenientelor instrumentelor electromecanice. Aparatele electronice pentru măsurarea puterii și energiei active pot atinge precizii ridicate (clasă 0,2 sau mai bună), în domenii largi de frecvență, de tensiuni și curenți, fiind practic insensibile la cîmpurile externe. Acestea pot fi făcute puțin sensibile la variațiile de

temperatură.

### 1.7. Wattmetre și contoare electronice

Incapacitatea instrumentelor electromecanice de a rezolva problemele de măsurare în regimuri nesinusoidale a dus, după cum s-a mai afirmat la construcția unor instrumente electronice, stative. An de an fiabilitatea componentelor electronice a crescut, performanțele lor au devenit tot mai bune și mai stabile în timp iar scăderea costurilor a impulsionat construcția de aparatură electronică de măsurare în general. Pentru construcția unor aparate electronice destinate măsurării puterii sau energiei active, a fost necesară construcția unor multiplicatoare electronice, subansamblu de care depinde în ceea mai mare măsură precizia de măsurare a aparatului. La ora actuală există multiplicatoare analogice integrate ce permit atingerea unei precizii de măsurare de 0,1% - în cel mai bun caz - într-un domeniu de frecvență de cîțiva kiloherți.

Rezultatele obținute de aparatele cu multiplicare analogică nu au dat deplină satisfacție. Un pas înainte a fost făcut prin trecerea la metodele numerice de măsurare, ce utilizează eşantionarea, conversia analog-numerică și determinarea prin calcul numeric a valorii puterii sau energiei active. Se pot astfel atinge precizii mai bune de 0,1% într-un domeniu de frecvență de zeci de kiloherți. Această din urmă tendință a fost stimulată de construcția unor circuite de eşantionare și memorare precise, a unor convertoare analog numerice în tehnologie hibridă sau chiar monolică și de scăderea costului circuitelor de calcul numeric datorită integrării pe scară medie și largă.

Ca un aspect deloc neglijabil, trebuie specificat faptul că utilizarea tehnologiei CMOS poate contribui la scăderea substanțială a consumului propriu al conțorului.

## CAPITOLUL 2

### STRUCTURI DE WATTMETRE SI CONTOARE ELECTRONICE

#### 2.1. Clasificarea wattmetrelor si contoarelor electronice.

Un studiu al literaturii de specialitate consacrată wattmetrelor și contoarelor electronice pentru puterea respectiv energia activă, relevă mai multe tendințe în ceea ce privește structura lor. Este posibilă o clasificare în vederea unui studiu sistematic al performanțelor ce pot fi atinse de diversele tipuri. Se pot astfel distinge:

A. Aparate de măsurare ce utilizează multiplicarea analogică:

- A1 implementată prin elemente cu caracteristică parabolică intrinsecă, ca termocuplurile sau unele semiconductoare ori simulață prin rețele de rezistențe și semiconductoare;
- A2 implementată prin multiplicatoare cu divizarea timpului sau medierea triunghiurilor;
- A3 implementată prin multiplicatoare cu modularea transconductanței.

B. Aparate de măsurare cu multiplicare numerică:

- B1 ce determină, separat (în formă numerică), valorile efective ale tensiunii și curentului precum și factorul de putere; se efectuează măsurarea puterii (sau a energiei) prin calcul numeric ulterior;

- B2 ce efectionează simultan tensiunea și curentul, convertește aceste eșantioane în formă numerică și determină puterea instantanee. Prin integrare numerică se măsoară fie puterea, fie energia.

C. Aparate de măsurare ce utilizează multiplicarea hibridă.

D. Aparate de măsurare ce compară puterea activă dezvoltată în curent alternativ cu parametrii ai unor mărimi continue:

- D1 aparate ce comparați efectele termice în c.a și c.c

D2 aparate ce utilizează metode speciale de comparare.

### 2.2. Aparate de măsurare ce utilizează multiplicarea analogică.

#### 2.2.1. Aparate de măsurare cu caracteristică patratică.

Din categoria Al fac parte aparate cu termocupluri sau semiconductoare [74] având o caracteristică apropiată de cea patratică. În special însă cele ce modelează caracteristica patratică prezintă interes practic. Conversia putere instantaneă - curent se face pe baza relației:

$$(u_1 + u_2)^2 - (u_1 - u_2)^2 = 4u_1u_2$$

unde tensiunile  $u_1, u_2$ , furnizate de rețea rezistivă din figura 2.24 au expresiile:

$$u_1 = k_1 i + k_2 u$$

$$u_2 = -k_1 i + k_2 u$$

În [39] se descrie succint un contor de tipul Al ce modelează caracteristica patratică. În mod de lucru, puterea instantană este convertită de către contor în frecvență de repetiție a unor impulsuri ce se insumează pentru a obține o indicație proporțională cu energia activă. Mecanismul de contorizare este în parte electronic, în parte cel clasic, acționat printr-un motor foarte simplu și robust, alimentat în impuls.

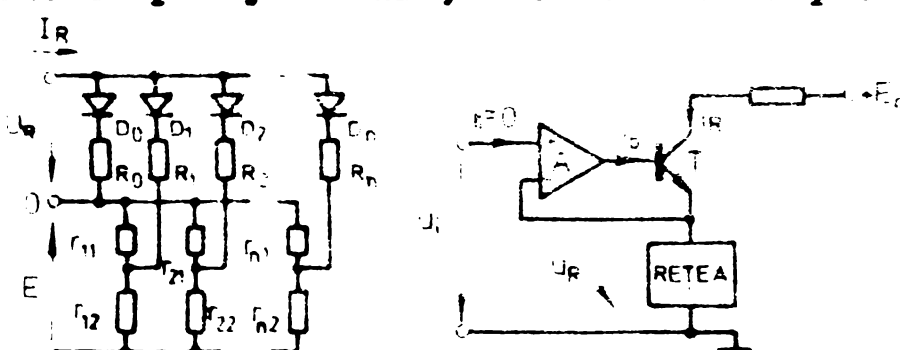


Fig. 2.1

Ridicarea la patrat se face cu ajutorul a două rețele care modelează relația  $I_R = \alpha U_R^2$ . Încărcarea rețelelor este realizată în emiterul unui repetor ca în figura 2.1, amplificatorul A evitând încărcarea circuitelor care generează tensiunile  $u_1$  ( $U_1$  respectiv  $U_2$ ). Pentru amplificarea de tensiune a lui A mult mai mare decât 1 și dacă se pot neglija curentii de intrare ( $i_1$ ) și de bază ( $i_b$ ) este satisfăcută relația  $i_R = \alpha u_1^2$ .

**2.2.2. Aparate de măsurare ce folosesc multiplicarea prin divizarea timpului sau medierea triunghiulară - A2.**

In anul 1971 firma Lendys-Gyr [26], în urma unui studiu întreprins a ajuns la concluzia că producerea contoarelor de inducție de clasă 0,2, sau mai bună, este mai costisitoare decit a celor electronice, statice.

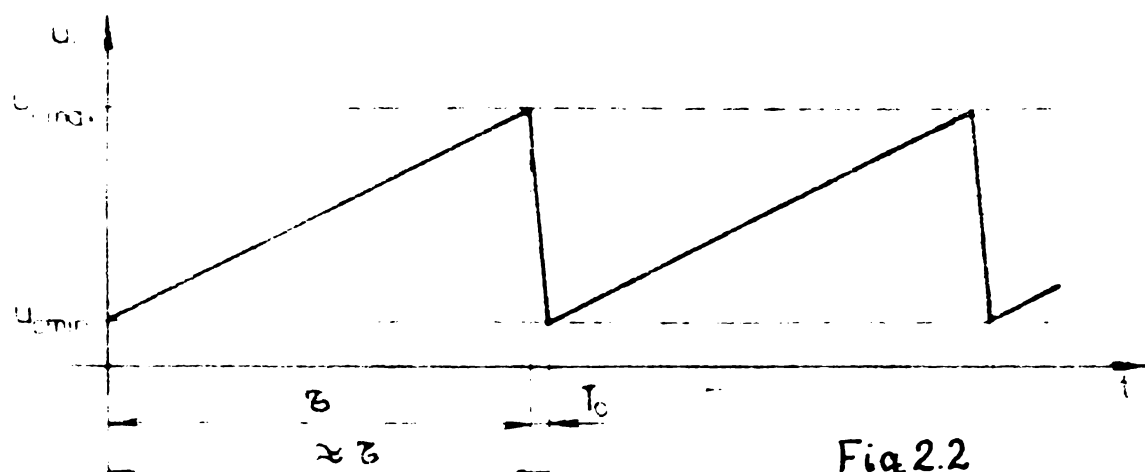
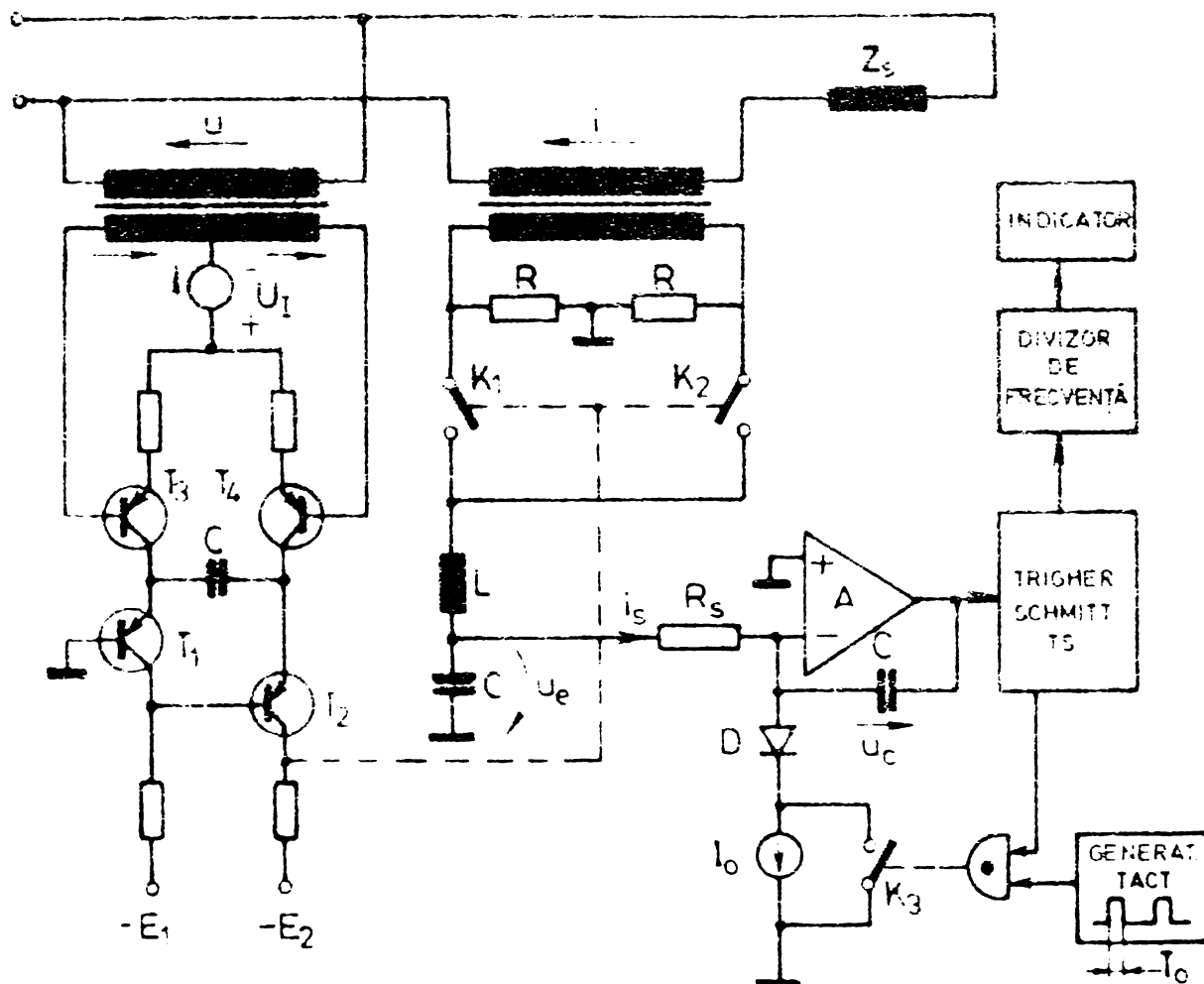


Fig.2.2

Dispozitivul de multiplicare implementat în contorul construit este de tipul cu divizarea timpului [82]. Un circuit basculant astabil, de tip asymmetric, ( $T_1$  și  $T_2$ ) cu cuplaj în emiter, generează o undă dreptunghiulară, modulată în durată de

generatorele de curent echipate cu T3 și T4. Acestea sunt comandate, în antifază, de către tensiunile din înfășurările secundare ale unui transformator - figura 2.2. Frecvența de repetiție a impulsurilor generate de astabil este de 5000 Hz pentru a permite măsurări în regimuri deformante.

Pentru modularea în amplitudine a impulsurilor, proporțional cu mărimea curentului, se utilizează un transformator de curent și două chei de comutare cu tranzistoare JFET ( $K_1, K_2$ ), comandate de astabil. Filtrul L-C efectuează operația de mediere, încât sarcinii  $R_s$  și se aplică o tensiune  $u_e$  proporțională cu puterea instantanea. Convertorul curent frecvență, echipat cu amplificatorul A, livrează impulsuri cu frecvență de repetiție proporțională cu puterea instantanea. Integrarea necesară pentru obținerea energiei active se realizează prin însumarea numărului de impulsuri livrate de convertor, într-un numărător.

Curentul de încărcare al condensatorului C este:

$$i_s = \frac{u_e}{R_s} = \frac{k u_i}{R_s} \quad (2.1)$$

Pe durata  $\tau$  a încărcării condensatorului C, circuitul basculant Schmitt comandă închiderea lui A3 și deci D este blocată. Dacă  $U_{cmax}$  este tensiunea maximă ce apare la bornele condensatorului C, sarcina acumulată la încărcarea acestuia va fi:

$$Q = \int_0^\tau \frac{u_e}{R_s} dt = \frac{u_e \tau}{R_s} = \frac{U_{cmax}}{C} \quad (2.2)$$

presupunând că  $u_e$  este constant în  $\tau$ . La atingerea valorii  $U_{cmax}$ , circuitul basculant Schmitt permite trecerea unui impuls cu durata  $T_o \ll \tau$  prin poarta ce comandă deschiderea comutatorului A3 și generatorul de curent  $I_o$  evacuează de pe condensatorul C sarcina:

$$I_o = I_o T_o$$

In regim stationar cele două sarcini sunt egale între ele și deci:

$$I_o T_o = \frac{u_e \tau}{R_s} = \frac{u_i k \tau}{R_s}$$

Neglijind  $T_o$  în raport cu  $T$ , frecvența impulsurilor livrate de circuitul basculant Schmitt (cîte un impuls la fiecare descărcare) este:

$$f \approx \frac{1}{T} = \frac{k}{R_s I_o T_o} \cdot u_i = K \cdot u_i \quad (2.3)$$

Numărul de impulsuri generat într-un interval de timp este proporțional cu energia activă.

Decărcere în relația 2.3 nu intervine capacitatea C a condensatorului, pretențiile cu privire la stabilitatea, în timp, a valorii acestuia sunt reduse.

Realizarea contorului trifazat este relativ simplă - figura 2.3.

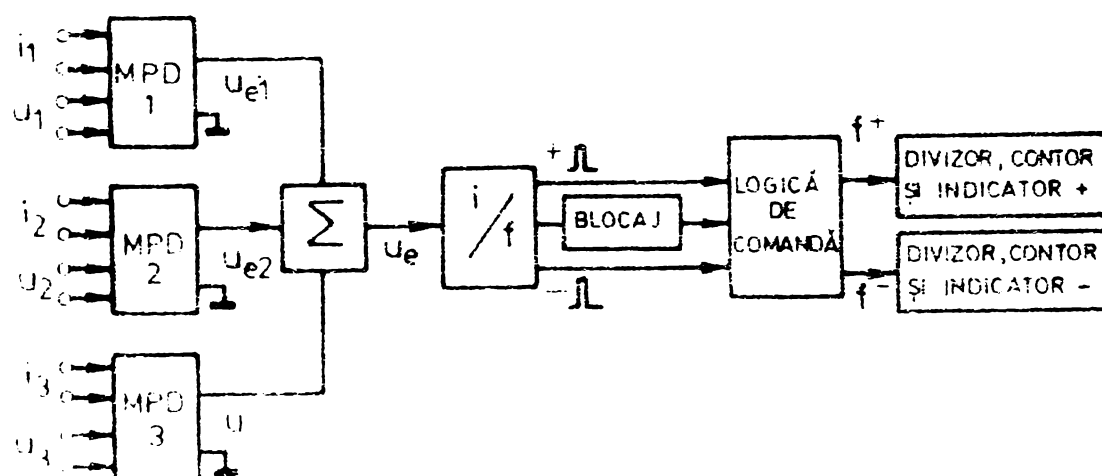


Fig. 2.3

Spre deosebire de contorul monofazat, se prevede posibilitatea schimbării sensului de circulație a energiei active. Piescare fază este prevăzută cu un multiplicator cu divizarea timpului (MPD), sumindu-se tensiunile  $u_{e1}, u_{e2}$  și  $u_{e3}$  pentru a obține tensiunea  $u_e$  proporțională cu puterea instantaneă în sistemul trifazat. Convertorul curent-frecvență sesizează și polaritatea tensiunii  $u_e$  - deci sensul de circulație a energiei și livrează, în conformitate cu aceasta, impulsuri la una din cele două ieșiri. Circuite de blocaj impiedică înregistrarea unor circulații de energie de nivel mic unde eroarea convertorului este foarte mare.

O realizare asemănătoare este prezentată în [23]. Se generează impulsuri avind frecvență de repetiție proporțională cu puterea instantaneă. Convertorul curent-frecvență este de tipul cu dublă pentă evitându-se generarea impulsurilor la consum n. l și în consecință se poate renunța la circuitele de

BIBLIOTECĂ CENTRALĂ

blocare. Schema bloc a contorului este cea din figura 2.4.

Precvența impulsurilor generate de un convertor curent-frecvență (figura 2.2) este (în caz ideal) de forma:

$$f_o = K i_s = k u i$$

La intrarea integratorului există în fapt o componentă  $I_e$ , de eroare, a curentului de încărcare a condensatorului C, și astfel impulsurile generate au frecvență de repetiție:

$$f_e + \Delta f = K(i_s + I_e)$$

Eroarea relativă comisă de convertor este în consecință:

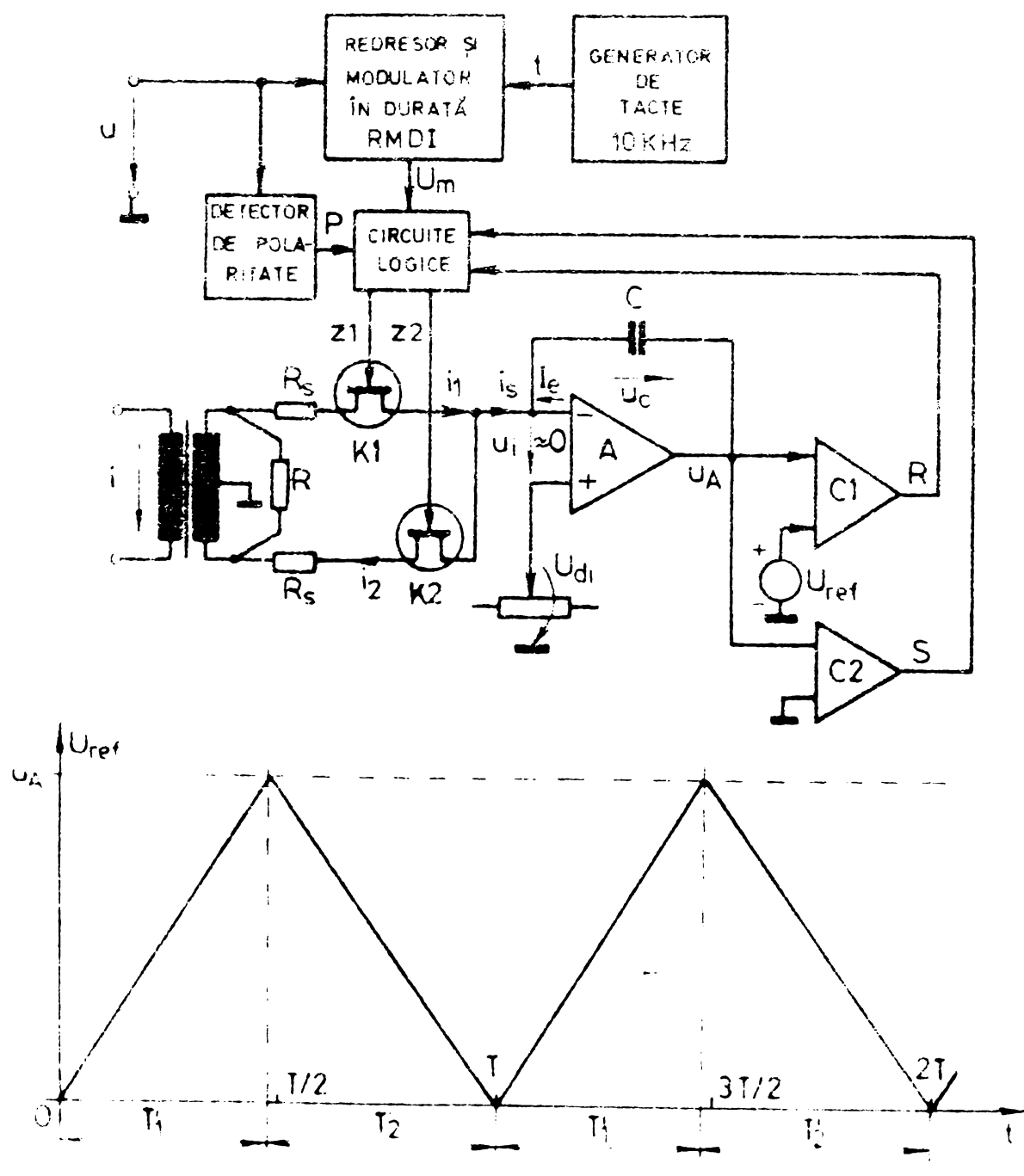


Fig. 2.4

$$\frac{\Delta f}{f_0} = \frac{I_e}{i_s} \quad (2.4)$$

eroare relativă ce crește foarte mult ( $I_e = \text{cst}$ ) cind  $i_s$  scade. Prin urmare, măsurarea energiei la nivele mici de putere este afectată de erori mari dacă se utilizează un convertor curent-frecvență cu o singură pentă.

Pentru eliminarea acestor erori se inversează periodic sensul curentului de ieșire al multiplicatorului,  $i_s$ . Dacă  $i_s$  circulă în sensul indicat pe figura 2.4 potențialul  $u_A$  descrește. În momentul în care  $u_A$  atinge 0<sup>V</sup> comparatorul C2 emite un semnal S care, prin intermediul unor circuite logice ce acționează asupra cheilor K1 și K2, reversează sensul curentului  $i_s$ . În consecință,  $u_A$  crește pînă se atinge nivelul  $U_{ref}$  de axare a comparatorului C1, comparator care emite semnalul R ce determină recumatarea sensului curentului  $i_s$ , ciclul repetîndu-se. Excursia lui  $u_A$  fiind  $U_{ref}$ , se pot determina duratele  $T'_1$  și  $T'_2$  de încărcare - descărcare ale condensatorului C, ținînd seama de faptul că numai  $i_s$  își modifică sensul la comutare, nu și  $I_e$ :

$$T'_1 = \frac{U_{ref}C}{i_s + I_e} \quad T'_2 = \frac{U_{ref}C}{i_s - I_e}$$

Perioada unui ciclu complet se determină prin însumarea duratelor  $T'_1$  și  $T'_2$  iar frecvența de apariție, fie a lui R fie a lui S este inversa acestei perioade:

$$f_0 + \Delta f = \frac{i_s}{2U_{ref}C} \left[ 1 - \left( \frac{I_e}{i_s} \right)^2 \right] \quad (2.5)$$

unde  $f_0$  este frecvența impulsurilor generate pentru  $I_e = 0$ . Eroarea relativă comisă este în consecință:

$$\frac{\Delta f}{f_0} = - \left( \frac{I_e}{i_s} \right)^2$$

Cind  $i_s < I_e$ , deoarece  $I_e$  nu-și reversează sensul, se produce saturarea amplificatorului A (C se încarcă) și incetează generarea impulsurilor. În consecință nu mai este necesară blocarea numărătorului la sarcini mici, convertorul autoblocîndu-se.

Cind  $i_s > I_e$ , eroarea relativă comisă este mai mică decit în primul caz, cel al convertorului cu o singură pantă. În expresia lui  $f_o$  (particularizând 2.5 pentru  $I_e = 0$ ):

$$f_o = \frac{i_s}{2U_{ref}C}$$

este prezentă valoarea capacității C ceea ce pune probleme de stabilitate în timp pentru aceasta.

In figura 2.5 se prezintă formele de undă pentru semnalele ce intervin în funcționarea contorului. Pentru comanda cheilor  $K_1$  și  $K_2$  ale modulatorului în amplitudine se formează semnalele  $Z_1$  și  $Z_2$  ținând seama de sensul de circulație al energiei și de polaritatea semnalelor (cadranul în care se află). Polaritatea undei de tensiune este indicată de semnalul  $P$ . În tabelul 2.1 se dau, funcție de  $P$  și  $Q$ , stările semnalelor de comandă  $Z_1$  și  $Z_2$  ale cheilor  $K_1$  respectiv  $K_2$ .

Pe baza datelor tabelului 2.1 se sintetizează ecuațiile semnalelor  $Z_1$  și  $Z_2$ :

$$Z_1 = (P \cdot Q + \bar{P} \cdot \bar{Q}) \cdot U_m$$

$$Z_2 = (\bar{P} \cdot Q + P \cdot \bar{Q}) \cdot U_m$$

unde  $Q$  este un bistabil pus pe 1 de semnalul  $R$  și repus pe zero de semnalul  $S$  iar  $U_m$  este ieșirea, compatibilă cu logica TTL, a modulatorului în durată. În figura 2.6 se prezintă structura circuitelor logice ce furnizează  $Z_1$  și  $Z_2$ .

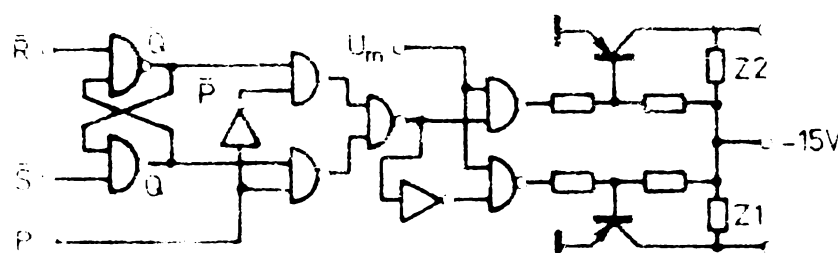


Fig. 2.6

Conform schemei prezentate, autorii lucrării citate au realizat un contor trifazat cu erori de măsurare sub 0,1% (incertitudine de măsurare = 0,02%).

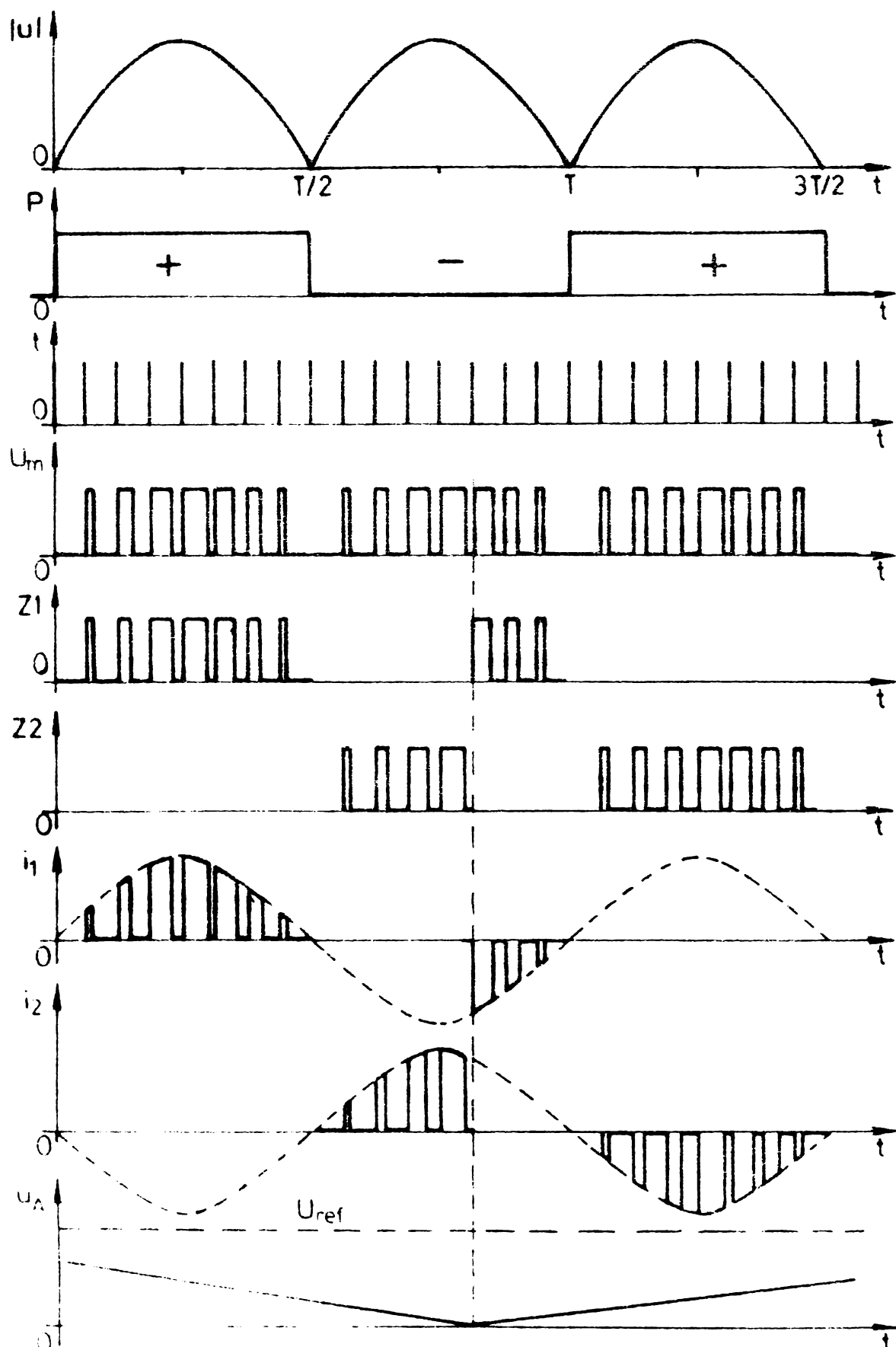


Fig. 2.5

POLARI-TATEA P	BISTABILUL Q		COMANDA CHEII K1	COMANDA CHEII K2
	Q	$\bar{Q}$		
1	0	1	0	-1
1	1	0	1	0
0	0	1	1	0
0	1	0	0	1

Tabelul 21

Dată în 1971 Landis-Gyr constată că numai contoarele statice de clasă 0,2 sau mai bună sunt mai ieftine decât contoarele cu inducție (figura 2.7)

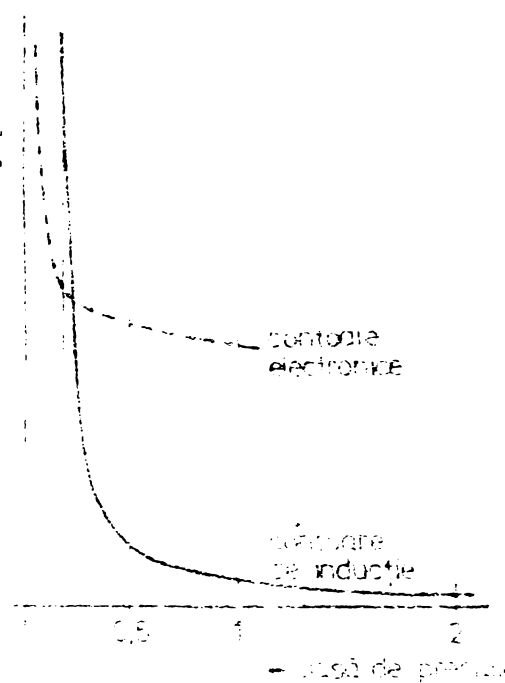


Fig. 2.7

în anul 1974, datorită scăderii costului componentelor electronice și ca urmare a experienței acumulate, firma a considerat rentabilă și producerea contoarelor statice de clasă 0,5. În [29] se descrie contorul de clasă 0,5; schema sa fiind cea din figura 2.8 iar diagramele de timp ale principalelor semnale, cele din figura 2.9.

Tensiunea  $U_m$ , de ieșire a modulatorului în durată (cu perioada  $T_m$ ), se aplică modulatorului în ampli-

tudine prin intermediul unui circuit logic, ce asigură comutarea curentului de intrare la convertorul curent-frecvență, într-o manieră asemănătoare celei prezentate în [23].

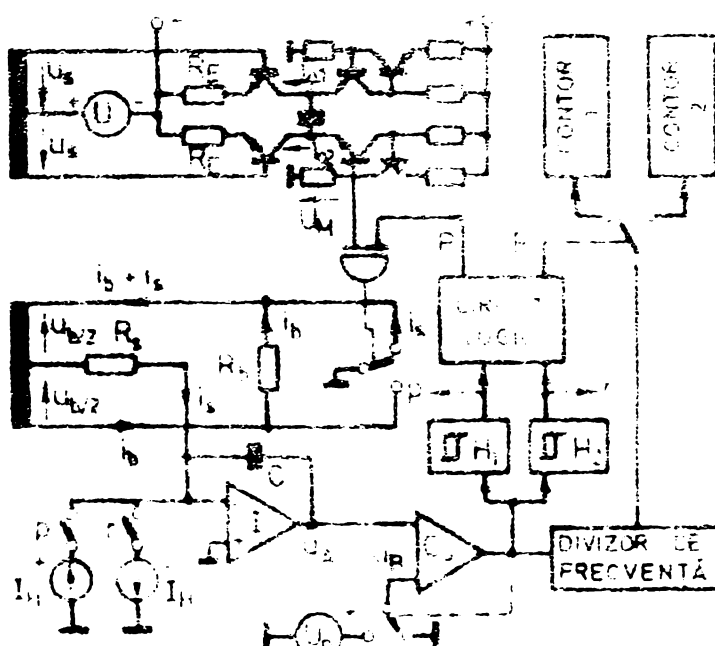


Fig. 2.8

Pentru modulatorul în durată este valabilă relația:

$$\frac{T_A}{T_B} = \frac{I_{01}}{I_{02}} = \frac{U_I + u_s}{U_r - u_s}$$

unde  $T_A$  este durata pe care  $U_m = 1$ . Evident  $T_A + T_B = T_m$ , perioada impulsurilor generate de modulatorul de durată.

Curentul secundarului transformatorului de curent este:

$$i_1 = \frac{1}{2} + i_b$$

și (figura 2.8):

$$\frac{u_b}{2} = R_s i_s = \frac{R_b i_b}{2} = \frac{R_b}{2} \left( i_1 - \frac{1}{2} \right)$$

Din ultima relație se determină curentul  $i_s$  (vezi și fig.2.9 a):

$$i_s = \begin{cases} \frac{R_b i_1}{2R_s + \frac{1}{2} R_b} & 0 < t < T_A \\ -\frac{R_b i_1}{2R_s + \frac{1}{2} R_b} & T_A < t < T_M \end{cases}$$

Deoarece  $i_1 = K_1 i$  și  $u_s = K_U \cdot u$ , curentul mediulal multiplicatorului este dat de:

$$I_s = i_{s \text{ med}} = \frac{1}{T_A + T_B} \left[ \int_0^{T_A} \frac{R_b i_1 dt}{2R_s + \frac{1}{2} R_b} - \int_{T_A}^{T_A + T_B} \frac{R_b i_1 dt}{2R_s + \frac{1}{2} R_b} \right] =$$

$$= \frac{R_b i_1}{2R_s + \frac{1}{2} R_b} \frac{T_A - T_B}{T_A + T_B} = \frac{R_b}{U (2R_s + \frac{1}{2} R_b)} u_s i_1 =$$

$$= K_1 \cdot K_U \cdot K_1 \cdot u \cdot i = K \cdot u \cdot i \quad (2.6)$$

Circuitul logic poate invresa faza de lucru a modulatorului în amplitudine. În așa fel se inversează faza modulatorului încit sensul curentului  $I_s$  să fie menținut pentru fiecare din rampele convertorului curent-frecvență. Acesta din urmă conține un integrator I, un comparator și două circuite cu histereză  $H_1$  și  $H_2$ . Comparatorul comandă, prin ieșirea sa, axarea uneia dintre intrări, fie la masă fie la un potențial  $U_0$ .

Pentru un sens de circulație al curentului  $I_A$ ,  $u_A$  crește pînă ce se atinge nivelul  $U_0$  la care se află axat comparatorul Cc (figura 2.9 b). La atingerea nivelului  $U_0$  comparatorul basculă, se autoaxează la masă și prin circuitul ce generează

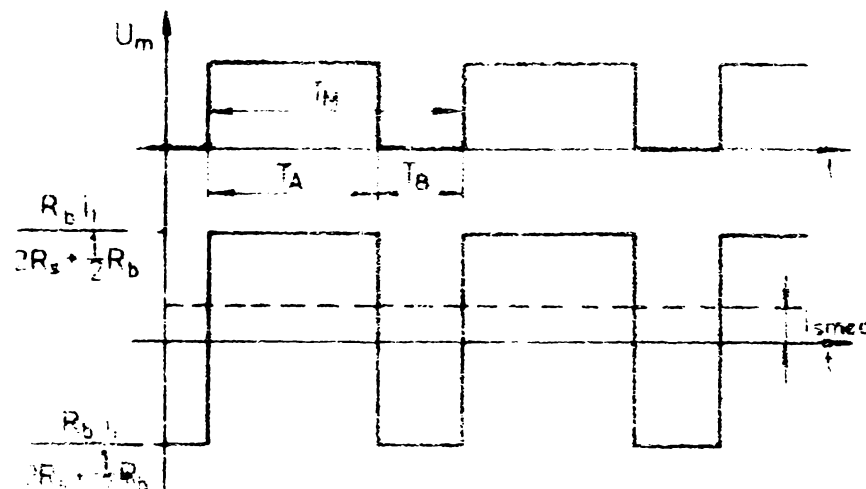


Fig 2.9.a

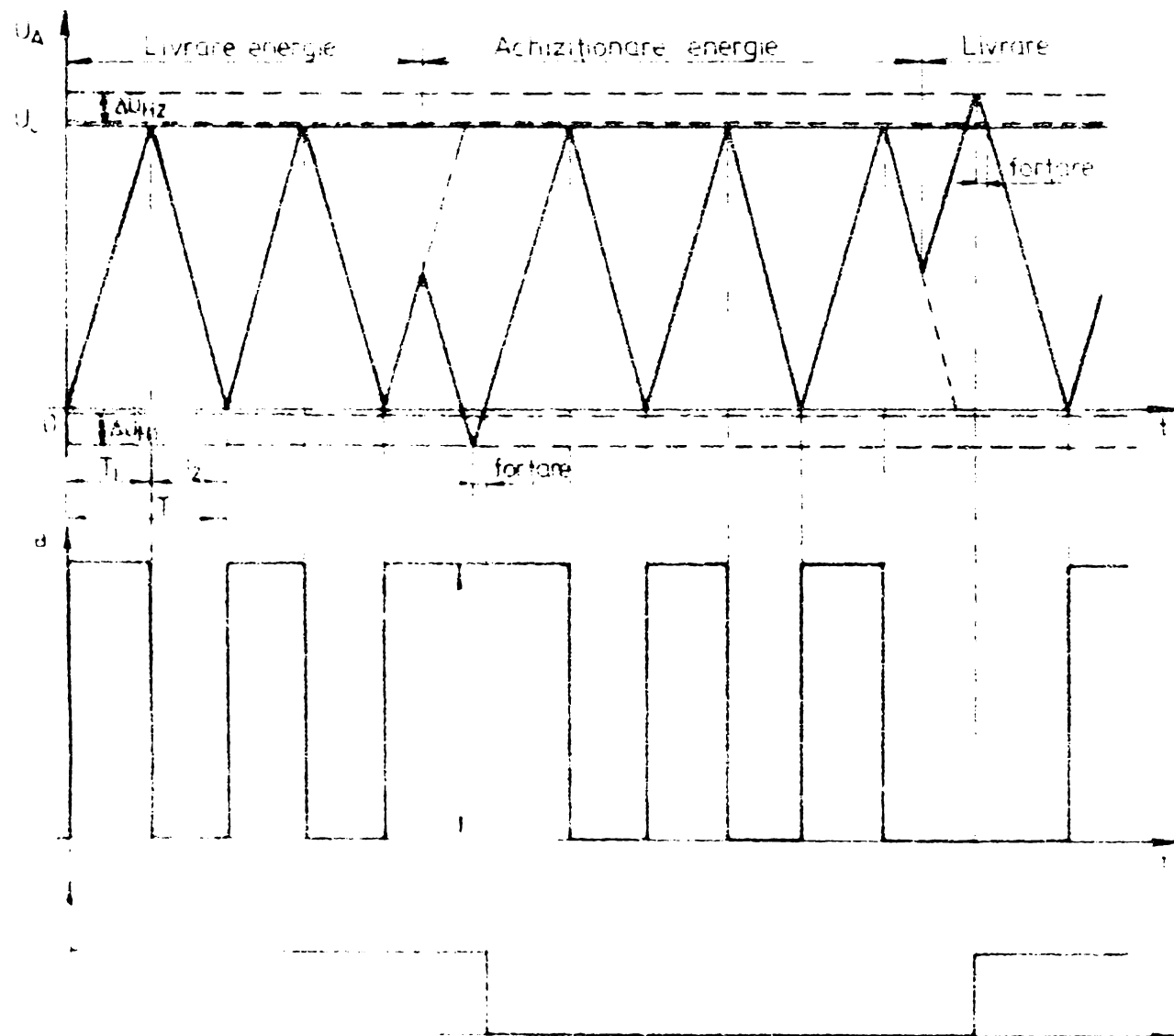


Fig 2.9.b

Pînă la finalul ciclului modulatorul este înconjurat cu sensul de circulație  $I_A$  și circuitul din ieșirea modulatorului în durată se reversează fază modulatorului, astfel încît  $I_A$  să schimbe sensul; în consecință,  $u_A$  descrește pînă ce atinge nivelul de  $0^V$ , se produce din nou bascularea comparatorului, axarea sa la  $U_0$  și ciclul se reia. Încărcarea și descărcarea lui C durează cu același timp:

$$T_1 \approx T_2 \approx \frac{U_o C}{I_s}$$

și în consecință frecvența de repetiție a semnalului de la ieșirea comparatorului este:

$$f_o = \frac{I_s}{2U_o C} = \frac{K u i}{2U_o C} = K' \cdot u \cdot i$$

Avantajul unei astfel de manevrări a convertorului este, după cum s-a mai văzut, reducerea erorilor cauzate de curentul de polarizare  $I_e$  precum și eliminarea circuitelor de blocaj, necesare altminteri, la nivele mici de putere.

In cazul schimbării sensului de circulație a energiei se inversează și sensul curentului  $I_s$  și  $u_A$  nu mai atinge nivelul spre care tinde - cel superior în figura 2.9.b -. La atingerea nivelului interior de basculare al circuitului  $H_1$ , se comută semnalul P astfel încât are loc reversarea, odată în plus, a sensului lui  $I_s$  față de cazul anterior. În același timp se conectează (prin p sau r) o sursă de curent, suplimentară, ce forțează revenirea rapidă a lui  $u_A$ , sursă ce se deconectează la atingerea nivelului superior de basculare a lui  $H_1$ . Semnalul R ce își modifică starea, comută contorul de însumare a impulsurilor. Similară este comportarea contorului de energie la o nouă modificare de sens de circulație a energiei, cind se activează circuitul  $H_2$ . Un divizor adaptează frecvența semnalelor generate pînă la cea acceptată de numărătoarele mecanice.

Contorul trifazat se compune din trei multiplicatoare și un singur convertor curent - frecvență ce realizează și însumarea curentilor multiplicatoarelor.

Un modulator în durată de o structură mai aparte este cel din lucrarea [46]. Wattmetrul ce se descrie utilizează tot multiplicarea prin metoda divizării timpului, dar cu o schemă deosebită, prezentată în figura 2.1b.

Tensiunea cu care se compară ieșirea  $u_A$  a integratorului (A) este o tensiune triunghiulară cu componentă medie nulă. Dacă cheia  $K_1$  este conectată la  $+U_T$ , C se descarcă ( $U_T > u_{A_{max}}$ ), potențialul  $u_A$  scade pînă ce este depășit de  $U_T$ .

In consecință comparatorul comută cheia  $K_1$  la  $U_x$ . Incepe un proces de încărcare a lui C (fig. 2.11). Scriind egalitatea ce se stabilește, în regim stationar, între sarcina cedată și primită de condensatorul C, se poate stabili relația:

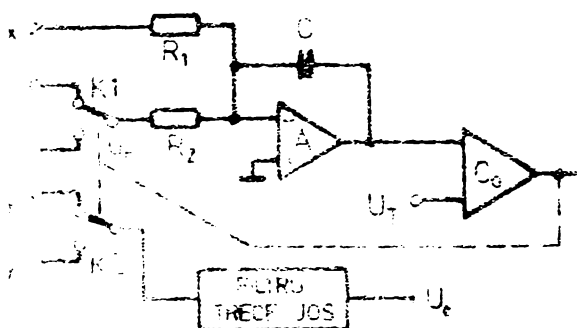


Fig. 2.10

$$\frac{T_1 - T_2}{T_1 + T_2} = - \frac{u_x}{U_r} \frac{R_2}{R_1}$$

unde  $T_1 + T_2 = T$  este perioada semnalului  $U_x$ , o constantă.

Sincron cu comutatorul  $K_1$  se comută și  $K_2$  între  $+u_y$  și  $-u_y$ , la ieșirea filtrului de mediere apărînd astfel tensiunea:

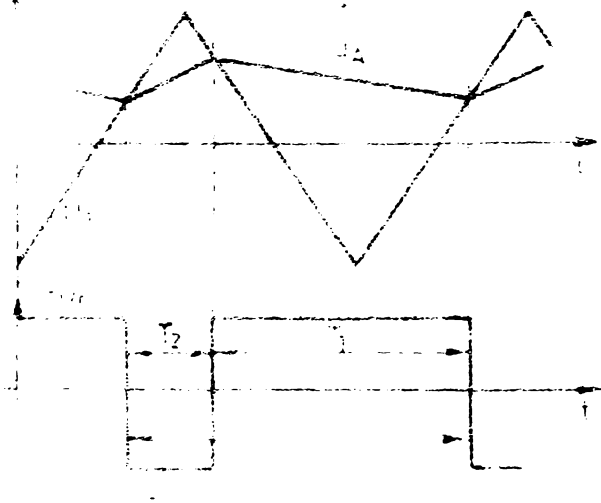
$$U_e = \frac{T_1}{T} u_y - \frac{T_2}{T} u_y = \frac{T_1 - T_2}{T} u_y = - \frac{R_2}{R_1 U_r} u_x \cdot u_y$$

Fig. 2.11

Interesant la schema propusă de autori este faptul că unda triunghiulară se obține dintr-o dreptunghiulară avind factorul de umplere 0,5, livrată de un generator de impulsuri, cu același integrator A. Acest lucru îmbunătățește performanțele modulatorului în sensul reducerii erorilor. Schema multiplicatorului este prezentată în figura 2.12. În calitate de comparator se întrebuintăază un circuit basculant Schmitt.

Pentru reducerea erorilor de fază se practică interschimbarea canalelor (astfel construite încit sănt unificate ca nivel) și medierea rezultatelor.

Pentru măsurarea tensiunii se utilizează un divisor compensat iar pentru măsurarea curentului un s hant de rezistență  $R = 0,2 \Omega$  confectionat din manganină, neinductiv. Inductivitatea reziduală L a s hantului se compensează cu schema din figura 2.13.



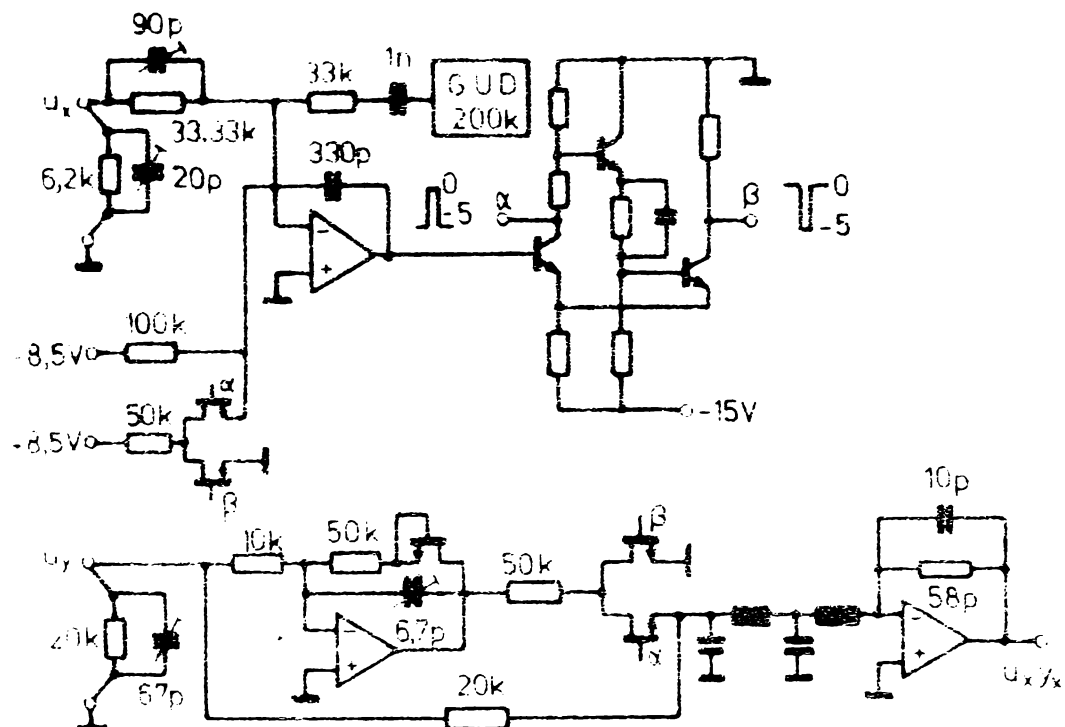


Fig.2.12

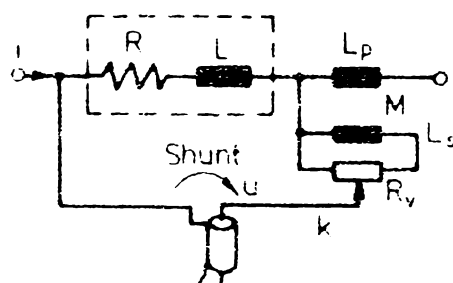


Fig.2.13

Tensiunea  $u$  (figura 2.13) este:

$$u = i R + j \omega \left( L - \frac{kM}{1 + \frac{R_s}{R_v}} \right) \quad (2.7)$$

Pentru  $R_v \gg \omega L$  și  $k$  astfel ales (prin poziția cursorului) încit  $kM = L$ , partea imaginară a relației 2.7 este anulată, obținindu-se un shunt echivalent rezistiv.

Ansamblul wattmetrului are clasa 0,1 pînă la 1 KHz [46].

### 2.3. Aparate ce utilizează multiplicarea numerică B.

Ideea de utilizare a multiplicării numerice pentru calculul puterii a apărut încă din 1965 fiind avansată într-o lucrare [1] elaborată de prof.M.C. al Acad.RSR, C.Panescu. Dezvoltarea tehnologiei de integrare monolitică, apariția circuitelor integrate pe scară medie și largă au permis implementarea

economice a unor sisteme cu multiplicare numerică.

In lucrarea citată [1] se descrie un wattmetru cu schema bloc din figura 2.14. Converteoarele pentru tensiune respectiv

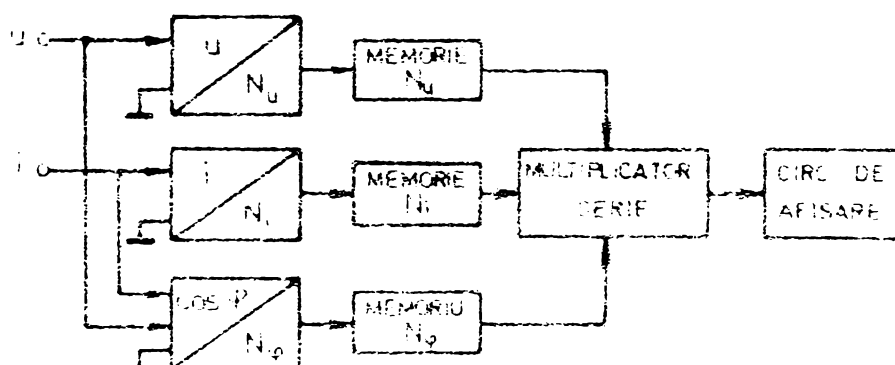


Fig. 2.14.

current furnizează codurile numerice  $N_u$  respectiv  $N_i$  proporționale cu valorile efective ale tensiunii și curentului. Al treilea convertor furnizează un cod numeric proporțional cu  $\cos \varphi$ , unde  $\varphi$  este defazajul între tensiune și curent. Ca atare, după înmulțirea ce se efectuează în serie, se obține o indicație numerică proporțională cu puterea activă,  $UI \cos \varphi$ .

In 1965 mai apare o lucrare [28] privind măsurarea energiei active și care efectuează multiplicarea tot sub formă numerică.

In figura 2.15 se prezintă schema de principiu a aparatului realizat de autorii lucrării [28] iar în figura 2.16 dia-grama semalelor ce intervin în conversia analog numerică.

Generatorul de tact 1 declanșează, printr-un divisor de frecvență, generatorul de tensiune liniar variabilă. Tensiunea liniar variabilă (LV) se aplică detectoarelor de tensiune, curent și nul. Acestea livrează cîte un impuls la egalitatea tensiunii liniar variabile cu  $u$ ,  $i$  și respectiv masa, pilotind portile de tensiune și curent astfel încît acestea stau deschise timpuri proporționali cu mărimele momentane  $u$  respectiv  $i$ . Impulsurile furnizate de alte două generatoare de tact (2 și 3) trec prin porti (vezi PF respectiv PC în figura 2.16) și sunt numărate și păstrate în două tempoane. Un dispozitiv de multiplicare sincronizat de către un generator de secvență generează produsul ce printr-un comutator este insumat cu conținutul acumulatorului notat cu "+" sau cu conținutul acumulatorului notat cu "-".

Comutarea este determinată de semnul (+ sau -) produsului ui, stabilit de generatorul de semn, conform ordinii de apariție a

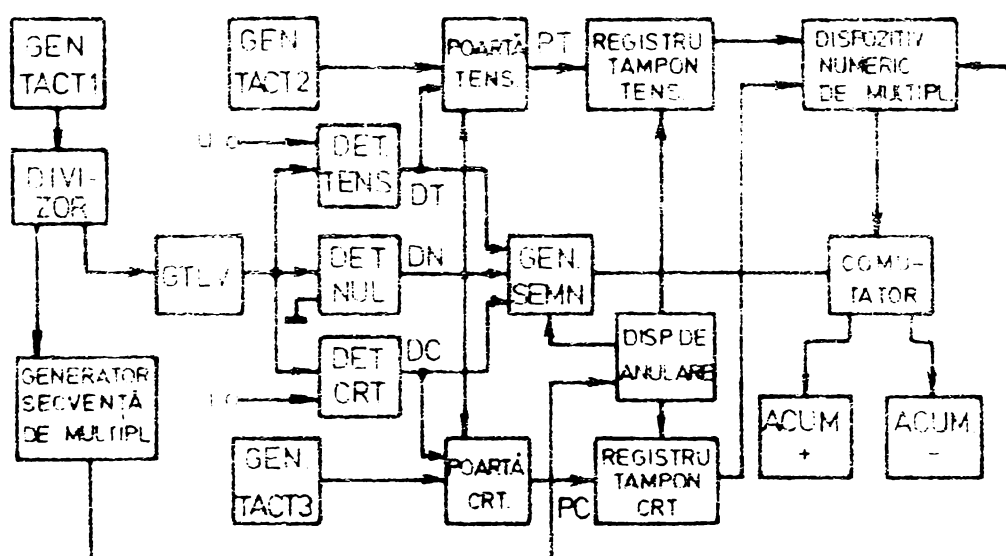


Fig. 2.15

impulsurilor generate de cele trei detectoare, DT, DN și DC. La reluarea unui ciclu un dispozitiv de anulare sterge conținutul celor două tampoane (de tensiune și curent) și aduce în stare inițială generatorul de semn.

Frecvența de eşantionare (de repetiție a semnalelor TLV) este aleasă în jur de 800 Hz, prelevindu-se cîte 15 sau 16 eşantioane pe o perioadă (20 ms). Astfel este aleasă frecvența de eşantionare, încît de la perioadă la perioadă eşantioanele sunt puțin deplasate, prelevindu-se într-un timp de mai multe perioade, eşantioane ce acoperă întreaga sinusoidă. Evident măsurarea precisă este posibilă doar în regim staționar.

Durata tensiunii linier variabile generate este în jur de 320  $\mu$ s iar frecvența celor două generatoare de tact (2 și 3) în jur de 100 kHz. Se cuantizează astfel tensiunea și curentul cu 32 nivele (16 pozitive și 16 negative) cu alte cuvinte se obține în urma conversiei analog numerice, un bit de semn și 4 de mărime. Cele 3 generatoare de tact sunt independente în vederea evitării oricărora posibilități de corelare; în felul acesta se produce o mediere a eşantioanelor, săbunătățindu-se precizia de măsurare. Evidență există o neconcordanță în timp la prelevarea eşantioanelor de curent și tensiune, ceea ce conduce la o eroare de fază întrinsecă metodei de măsurare. După cum se poate

observa din figura 2.16 această eroare este dependentă de defazajul

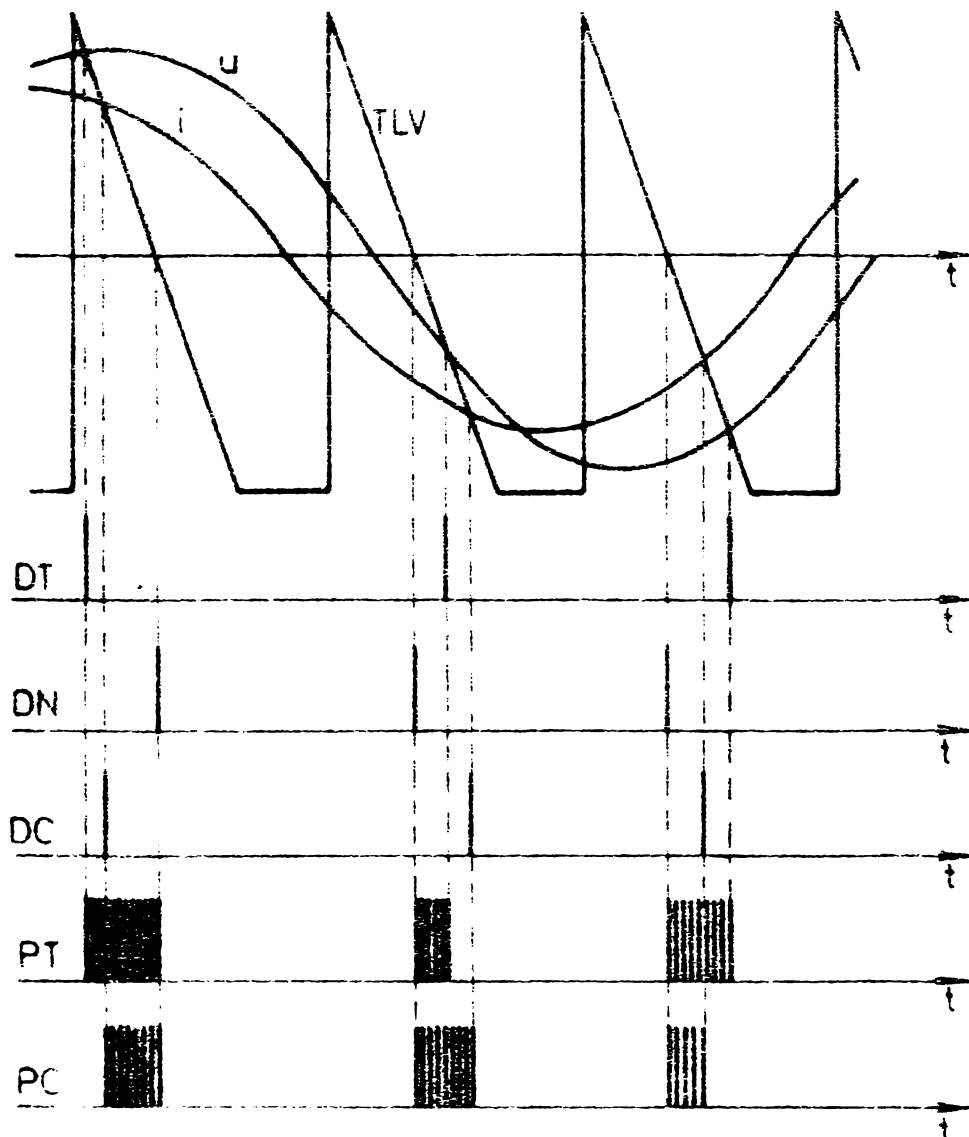


Fig. 2.16

dintre  $u$  și  $i$  precum și de amplitudinile curentului și tensiunii.

Clașa modelului realizat a fost mai bună de 1% după 1 minut de funcționare, existând posibilitatea creșterii preciziei [28].

Din aceeași categorie de metode de măsurare ce folosesc multiplicarea numerică face parte și cea descrisă în [24]. Schema bloc a instalației de măsurare a puterii active ce se prezintă în lucrarea mi sus arătată este cea din figura 2.17.

În cazul în care se preleveză simultan  $N$  eșantioane de curent și tensiune într-o perioadă  $T$  a fundamentaliei, puterea activă se calculează cu relația:

$$P = \frac{1}{N} \sum_{k=1}^N u_k i_k \quad (2.8)$$

In lucrare se afirma că pentru o convergență rapidă a sumei, din relația precedentă, înspre valoarea puterii, eantionare

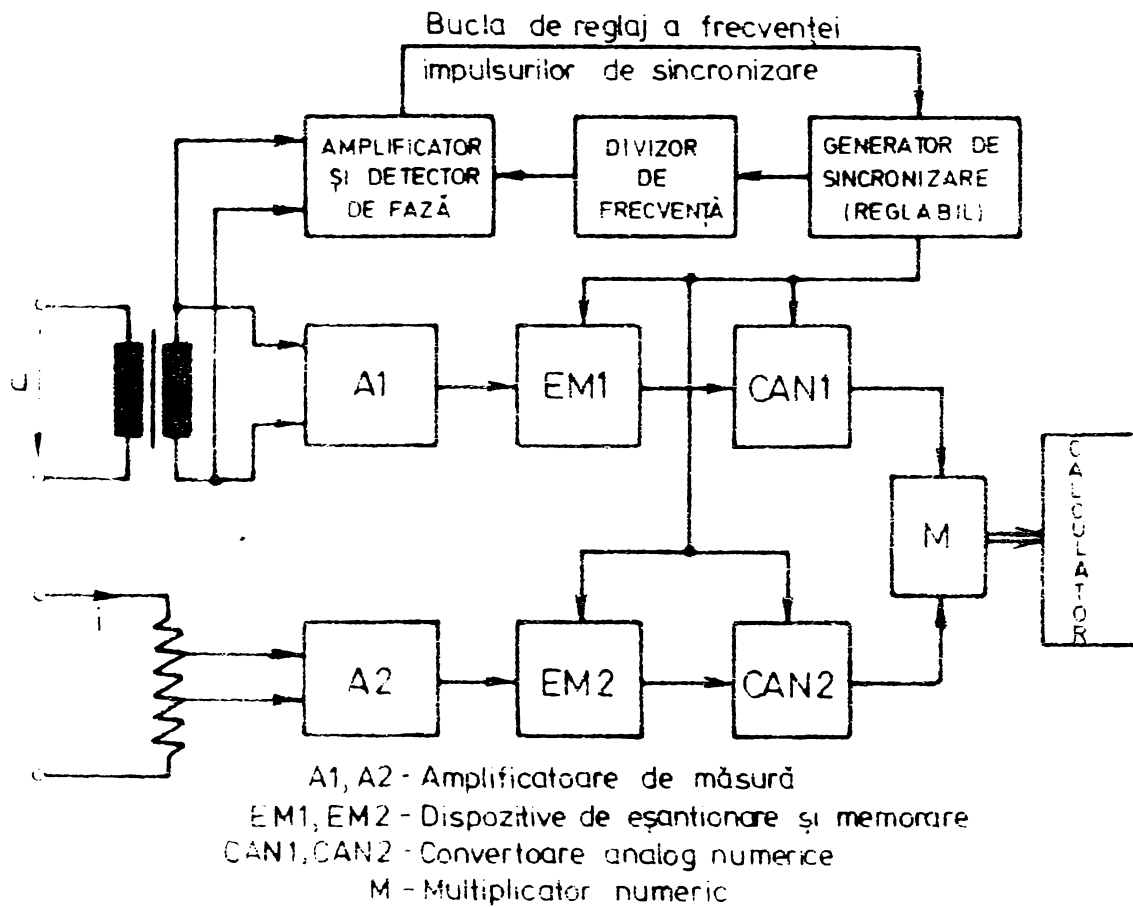


Fig. 2.17

narea trebuie corelată cu fenomenul periodic. O eşantionare aleatoare nu este recomandată.

Pentru aprecierea numărului de eşantioane necesare a fi prelevate la măsurarea puterii, dacă se aplică relația de calcul 2.8, autorul lucrării citată a efectuat o simulare pe calculator în care s-a luat în considerare efectul zgomotului de intrare, neconcordanța în timp a momentelor de eşantionare, prezența armonnicilor și rezoluția finită a cuantizoarelor. În urma simulării s-au desprins următoarele concluzii:

- 1) nu sunt necesare mai mult de 512 puncte de eşantionare într-o perioadă a fundamentaliei;
- 2) este tolerabilă o eroare de nesimultaneitate în prelevarea eşantioanelor de curent și tensiune de pînă la 50 ns;
- 3) eroarea procentuală datorată erorilor sistematice de sincronizare este proporțională cu deviația procentuală a perioadei bazei de timp de sincronizare (pentru eşantionare) de la perioada unei eşantionate;
- 4) pentru a putea ține seama de prezența unor componente spectrale de pînă la 10 Mhz, frecvența de eşantionare trebuie

să fie de cel puțin 40 KHz.

In instalația realizată (fig.2.17) se prelevează o tensiune proporțională cu curentul  $i$  de la bornele unui shunt bifilar cu constantă de timp mică (2 ns). La curentul de 5A cădarea pe shunt este de 0,5 V. Un transformator coborîtor livrăză în secundar tensiunea proporțională cu cea din linie,  $u$ . Pentru compatibilitatea celor două canale de măsurare, tensiunea nominală în secundar este tot de 0,5 V. Pentru ca erorile de raport și fază ale transformatorului să fie neglijabile, se utilizează două transformatoare, unul în domeniul 50 Hz ÷ 400 Hz iar altul în domeniul 400 Hz ÷ 2000 Hz.

Cele două amplificatoare de măsurare  $A_1$  și  $A_2$  au o caracteristică de amplificare plată pînă la 5000 Hz. La ieșirea lor valoarea maximă este de 10 V, corespunzînd unei amplificări de tensiune de 13,5. O condiție severă impusă celor două amplificatoare este identitatea caracteristicilor de fază. Diferențele de fază ce apar conduc la erori de măsurare ce pot fi însă compenseate prin interschimbarea canalelor și medierea rezultatelor măsurătorilor.

Generatorul de impulsuri de sincronizare are o construcție deosebită pentru a satisface a 3-a cerință rezultată în urma simulării. Oscilatorul comandat în tensiune alimentează un divizor de frecvență cu un factor de divizare de 512. La o gamă de frecvență a oscilatorului de 20 ÷ 40 KHz, la ieșirea divizorului de frecvență se obține un semnal cu frecvență de 40 ÷ 80 Hz. Se compară semnalul prelevat din rețea cu ieșirea divizorului de frecvență și semnalul obținut la ieșirea comparatorului de fază se aplică, ca reacție, oscilatorului comandat în tensiune. Se asigură astfel prelevarea a 512 egantioane într-o perioadă a fundamentaliei.

Converteoarele analog numerice furnizează o cifră semn și 14 cifre pentru mărime. Sînt de tipul cu aproximare succesivă avînd o rată de 40.000 conversii pe secundă - deci 25  $\mu$ s timp de conversie, incluzînd și timpul de eșantionare și stabilizare.

Blocul de calcul nu este de performanțe deosebite el trebuind să efectueze o înmulțire o adunare și cîte o deplasare și o adunare în plus din două în două intervale de cîte 25  $\mu$ s. Pentru a putea aplica o strategie de măsurare mai completă este necesar un calculator numeric.

In condițiile existenței calculatorului fiecare măsurare este începută cu o "citire de zero" - intrări în scurtcircuit, - citire utilizată ulterior în corecții. Se procedează apoi la calibrarea lanțului de amplificare, prin medierea a 512 măsurători efectuate asupra unui etalon de tensiune continuă. Se aplică ambele polarități pentru a compensa nesimetriile. Se efectuează cel puțin două măsurători propriu-zise ce se corectează, fiecare obținută după interschimbarea canalelor de măsurare.

Precizia atinsă este, prin comparație cu un wattmetru electrodinamic "Yokogawa APR-2" și cu un convertor diferențial termic de tensiune de o deviație standard de 0,02% din citire și 0,004% din medie [24].

#### 2.4. aparate ce utilizează multiplicarea hibridă C

Una din cele mai costisitoare părți în construcția unui aparat pentru măsurarea puterii sau a energiei active este multiplicatorul. Cele numerice sunt lipsite de eroare dar, în anumite tehnologii, prea costisitoare. Dispozitivele hibride presentate în [52] sunt mult mai ieftine decât cele numerice și pot fi mai precise decât cele analogice.

Primul dintre dispozitive folosește conversia tensiune-frecvență și curent-temp - figura 2.18. Se generează  $u_A$  cu frecvența  $f$  și impulsurile  $u_B$  cu durata  $\Delta t$ . Măsurarea se execută periodic, cu perioada  $T$ . La ieșirea circuitului logic "SI" se obțin impulsurile  $u_p$ .

Se pot scrie relațiile:

$$\begin{aligned} f &= k_u \cdot u \\ \Delta t &= k_i \cdot i \end{aligned} \tag{2.9}$$

Conform relației 2.8, dacă  $N$  este numărul perechilor de eșantioane de tensiune și curent prelevată într-o perioadă și ținând seama de 2.9 puterea se estimează cu:

$$P = \frac{1}{N k_u k_i} \sum_{k=1}^N (i \Delta t)_k$$

Iar  $i \cdot \Delta t$  reprezintă numărul de impulsuri  $u_p$  înregistrat de numărător în urma unei eșantionări iar suma reprezintă numărul de impulsuri  $n$  înregistrat într-o perioadă, de către același numărător. În consecință:

$$P = \frac{1}{N k_u k_i} \cdot n = C \cdot n$$

Un al doilea dispozitiv descris în [52] utilizează conversia tensiune-timp și curent-timp, eșantionarea făcindu-se însă cu frecvențe mult diferite (nu se preleveză eșantioane de tensiune și curent simultan). În figura 2.19 se prezintă schema bloc a dispozitivului de măsurare. Se presupune  $f' \gg f$ .

După cum se poate urmări în cronograma din fig.2.19, în intervalul  $\Delta t \gg \Delta t'$ , poarta de acces la numărător va fi

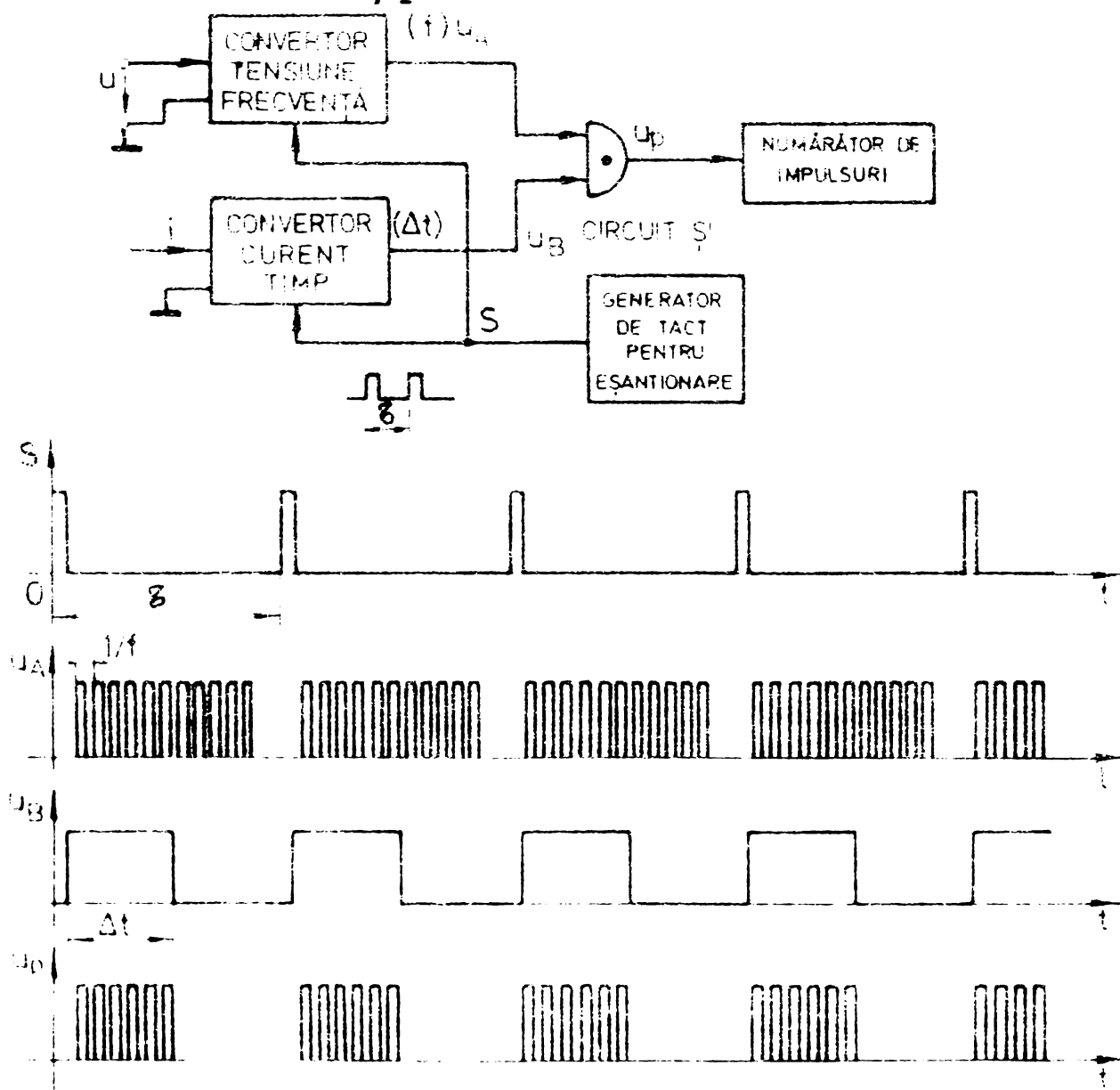
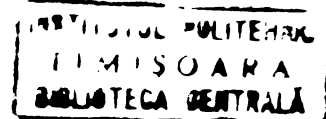


Fig 2.18.

deschisă de mai multe ori. Converteoarele livrează impulsurile  $u_A$  și  $u_B$  cu duratele  $\Delta t$  și  $\Delta t'$ :

$$\Delta t = k_u \cdot u$$

$$\Delta t' = k_i \cdot i$$



Dacă  $f_e$  este frecvența de repetiție a impulsurilor de tact, în  $\Delta t'$  se înregistrează în numărător  $n'$  impulsuri:

$$n' = f_e \cdot \Delta t'$$

În intervalul de timp  $\Delta t$  se contorizează în numărător  $n$  impulsuri:

$$n = \frac{\Delta t}{\tau'} \cdot n' = \frac{f_e \Delta t \cdot \Delta t'}{\tau'} = \frac{f_e k_u k_i}{\tau'} \text{ (u.i)}$$

relație în care  $\tau'$  este perioada de esantionare a convertorului curent-durată. Dacă  $N$  este numărul de esantioane de tensiune

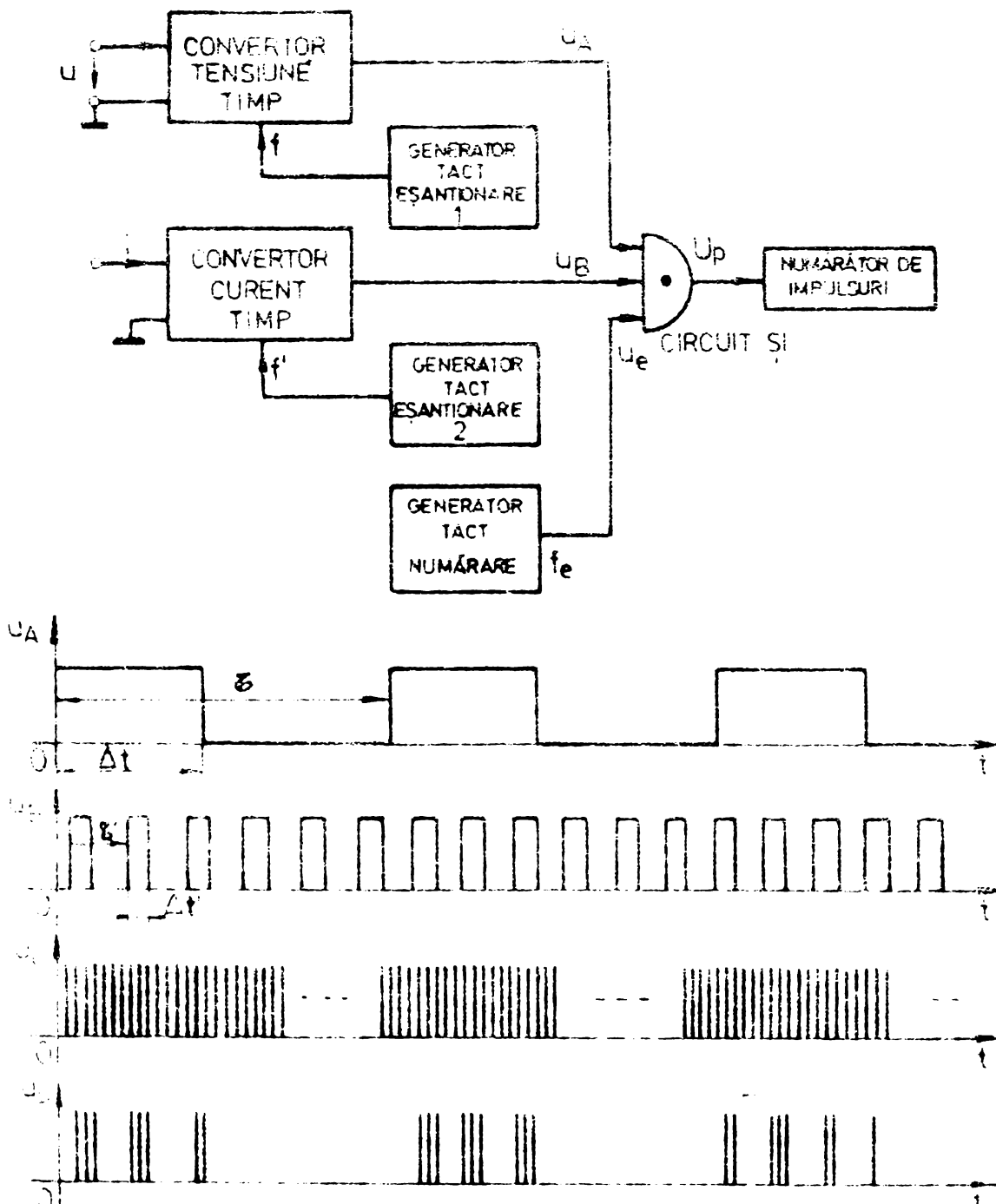


Fig 2.19

(perioadă de esantionare  $\tau'$ ) prelevate într-o perioadă a tensiunii alternative, se obțin în numărător un număr total de impulsuri  $n_T$ :

$$n_T = \sum_{k=1}^N \frac{f_e k u_i}{6'} (ui)_k = K \sum_{k=1}^N (ui)_k = N \cdot K \cdot \left( \frac{1}{N} \sum_{k=1}^N (ui)_k \right) = C.P$$

proportional cu puterea activă.

Convertoarele cu multiplicatoare [63] oferă posibilitatea construirii unor multiplicatoare hibride și ca atare a unor wattmetre sau conțoare. O soluție de acest gen este prezentată tot în lucrarea [52]. Convertorul cu multiplicare AD 7520 al firmei Analog Devices permite realizarea unui multiplicator hibrid în patru cadrane, ca acela din figura 2.20. Convertorul

constă dintr-o rețea R-2R inversată, ale cărei comutatoare sunt comandate de cifrele binare  $B_1$  (bitul cel mai semnificativ)  $B_2, \dots, B_{10}$ .

Curentul de intrare al rețelei este evident  $U_1/12 K$ . Ca atare curentul  $I_1$  este dat de relația:

$$I_1 = \frac{U_1}{12} \cdot \sum_{k=1}^{10} \frac{B_k}{2^k}$$

Tinând seama de expresia ce dă echivalentul zecimal  $n$  al numărului binar aplicat convertorului:

$$n = \sum_{k=1}^{10} 2^{10-k} B_k$$

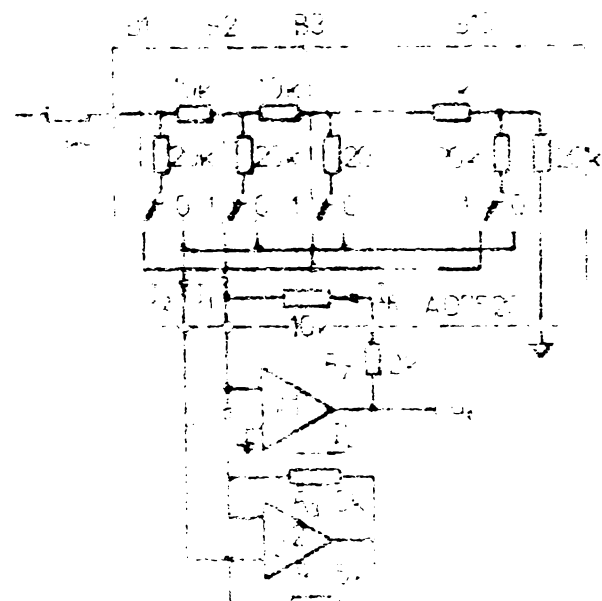
curentul  $I_1$  devine:

$$I_1 = \frac{U_1}{12} \cdot \frac{1}{2^{10}} \sum_{k=1}^{10} 2^{10-k} B_k = \frac{U_1}{12} \frac{n}{2^{10}} \quad (\frac{n_{\min} = 0}{n_{\max} = 1023})$$

Cum circuitul de intrare este constant, curentul  $I_2$  este dat de diferența  $I_1 - I_1'$ . Curentul de reacție  $I_R$  fiind  $u_e/12$  pentru  $I_2'$  se scrie relația:

$$I_2' = \frac{u_e}{12} + \frac{U_1}{12} \frac{n}{2^{10}}$$

Dar amplificatorul A2 este o "oglindă de curent" și ca atare din egalitatea căderilor de tensiune de pe  $R_3$  și  $R_4$



rezultă în final:

$$I_2 = I_2' - \frac{u_1}{12} - \frac{u_1}{12} \frac{n}{2^{10}} = \frac{u_e}{12} + \frac{u_1}{12} \frac{n}{2^{10}}$$

Explicitând  $u_e$  funcție de  $u_1$  și  $n$  se obține:

$$u_e = u_1 \left(1 - \frac{n}{2^9}\right) \quad (2.10)$$

Interpretând codul  $n$  de intrare ca un cod bipolar polarizat ( $B_1$  bit de semn) paranteza din relația 2.10 reprezintă codul bipolar polarizat,  $n_b$ , furnizat de un alt convertor analog numeric, pentru tensiuni bipolare. Ca atare tensiunea de ieșire este:

$$u_e = u_1 \cdot n_b$$

Completând schema din figura 2.20 cu un CAN bipolar

se poate obține multiplicatorul - în patru cadrane din figura 2.21. Pentru a realiza un wattmetru sau un contor de energie schema se completează fie cu un convertor tensiune frecvență fie cu un al treilea convertor AN pentru mărimea  $u_e$  urmat de un sumator cu, respectiv fără mediere.

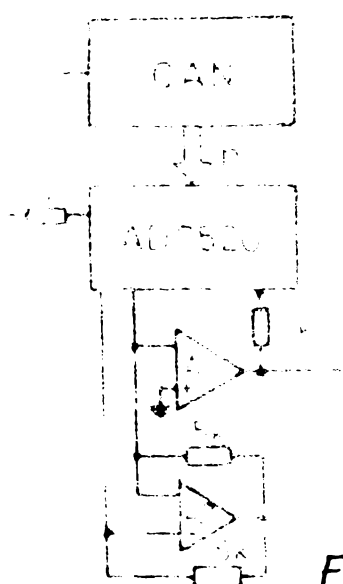


Fig 2.21

## 2.5. Aparate ce utilizează compararea efectelor termice ale curentului alternativ cu cele ale curentului continuu D1.

Pe o astfel de comparare se bazează, ca principiu, aparatul descris în [34]. Considerind 3 surse de tensiune, ca în figura 2.22, ce se conectează, succesiv, prin comutatorul K la firul încălzitor, de rezistență  $R$  al unui termocuplu, cîte un interval de timp  $t_1$ ,  $t_2$  respectiv  $t_3$ , energia absorbită de firul încălzitor este:

$$W_R = \frac{1}{R} \int_0^{t_1} u_1^2 dt + \frac{1}{R} \int_{t_1}^{t_1+t_2} u_2^2 dt + \frac{1}{R} \int_{t_1+t_2}^{t_1+t_2+t_3} u_3^2 dt$$

Reluind ciclul de comutare periodică cu perioada:

$$T = t_1 + t_2 + t_3 \ll T_{TH}$$

unde  $T_{TH}$  este constanta de timp a termocuplului, tensiunea electromotoare generată de acesta ( $U_e$ ) este constantă în cazul

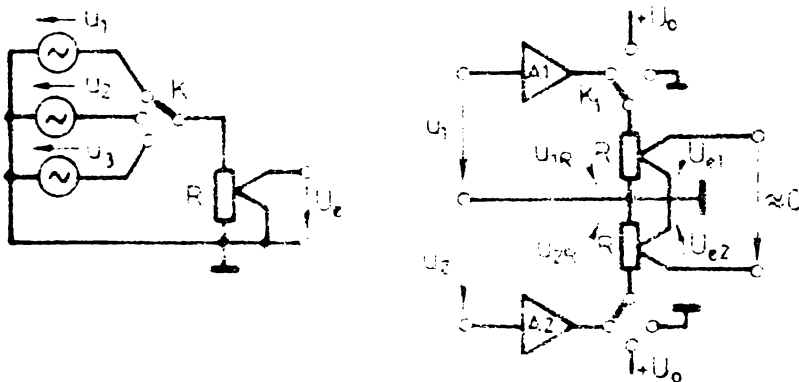


Fig. 2.22

unei regim staționer. Puterea dezvoltată în firul încălzitor este:

$$P_R = \frac{W_R}{T} = \frac{t_1}{T_{TH}} \left( \frac{1}{t_1} \int_0^{t_1} u_1^2 dt \right) + \frac{t_2}{T_{TH}} \left( \frac{1}{t_2} \int_{t_1}^{t_1+t_2} u_2^2 dt \right) + \frac{t_3}{T_{TH}} \left( \frac{1}{t_3} \int_{t_1+t_2}^{t_1+t_2+t_3} u_3^2 dt \right)$$

Tensiunea  $U_e$  generată, este proporțională cu puterea și deci:

$$U_e = \frac{K}{R} \left( \frac{t_1}{T} U_1^2 + \frac{t_2}{T} U_2^2 + \frac{t_3}{T} U_3^2 \right) \quad (2.11)$$

Utilizând încălzirea multiplă a termocuplurilor se poate măsura puterea în curent alternativ prin comparare cu puterea dezvoltată în curent continuu. În figura 2.22 se prezintă schema de principiu a metodei iar în figura 2.23 cronogramele tensiunilor  $u_{1R}$  și  $u_{2R}$ .

Prin intermediul comutatoarelor  $K_1$  și respectiv  $K_2$  firele încălzitoare ale celor două termocupluri se conectează pentru  $T/2$  la tensiunile  $u_1$  și  $u_2$  (amplificatoarele repetoare  $A_1$  și  $A_2$  evită încărcarea sursei care furnizează  $u_1$  și  $u_2$ ). Se comută după aceea, prin  $K_1$  și  $K_2$ , cele două fire încălzitoare la sursa de tensiune constantă  $U_0$  pentru cîte un interval de timp  $t_A$  respectiv  $t_B$  și apoi la masă pînă la înregirea perioadei  $T$ . Se reia ciclul de măsurare.

In așa fel se aleg duratele  $t_A$  respectiv  $t_B$  încât tensiunile electromotoare furnizate de cele două termocupluri să fie menținute constante și egale. Se pot deci scrie (conform 2.11) relațiile:

$$U_{el} = \frac{K}{R} \left( \frac{T/2}{T} U_1^2 + \frac{t_A}{T} U_0^2 \right) = \text{cst.} \quad (2.12)$$

$$U_{e2} = \frac{K}{R} \left( \frac{T/2}{T} U_2^2 + \frac{t_B}{T} U_0^2 \right) = \text{cst.}$$

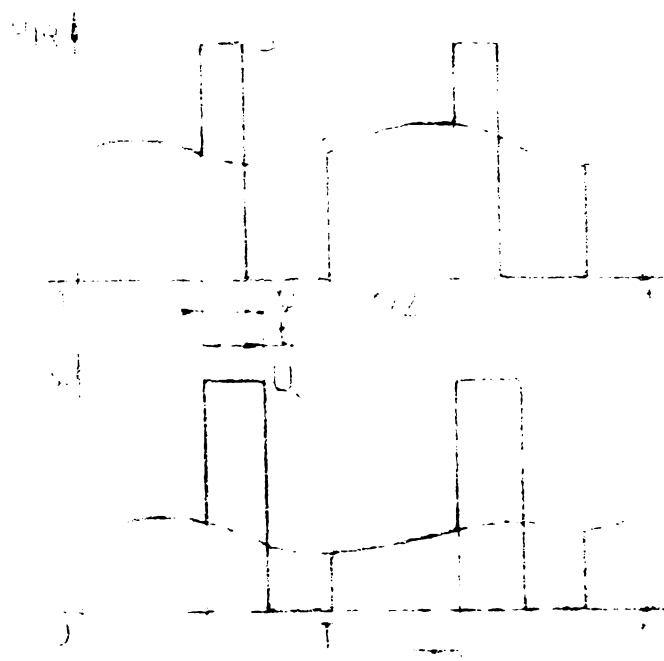


Fig. 2.23

O rețea de rezistență ca cea din figura 2.24 furnizează tensiunile  $u_1$  și  $u_2$ . Dacă valoarea rezistenței  $R_4$  se alege:

$$R_4 = R_3 \frac{R_1 + R_2}{R_1}$$

atunci tensiunile  $u_1$  și  $u_2$  sunt:

$$\begin{aligned} u_1 &= k_1 i + k_2 u \\ u_2 &= -k_1 i + k_2 u \end{aligned} \quad (2.13)$$

Substituind relațiile (2.13)

în (2.12) și avind în vedere egalitatea celor două tensiuni electromotoare generate putem scrie:

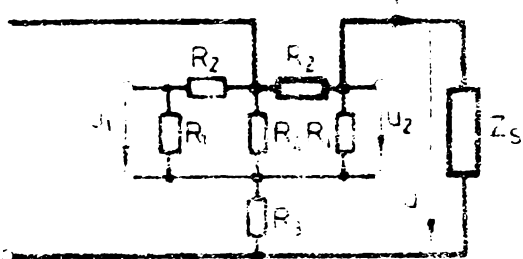
$$U_{el} - U_{e2} = - \frac{K}{R} \frac{4k_1 k_2}{2} \left( \frac{1}{T} \int_0^T u i dt \right) + \frac{t_B - t_A}{T} U_0^2 = 0$$

și în consecință:

$$P = \frac{1}{T} \int_0^T u i dt = \frac{RU^2}{k_1 k_2 T} (t_B - t_A) = C \cdot (t_B - t_A)$$

Intervalul de timp  $t_B - t_A$  se poate măsura foarte conod, obținându-se rezultatul sub formă numerică.

Precizia de măsurare este dependentă de abaterea caracteristicilor termocuplurilor de la cea ideală (pătratică), de stabilitatea tensiunii  $U_0$ , de independentă valorii rezistenței  $R$  față de temperatură și de comportarea comutatoarelor



$K_1$  și  $K_2$ . Se pot obține [34] erori sub  $5 \cdot 10^{-4}$  din domeniul de măsurare într-o gamă largă de frecvențe. Metoda de comparare prezentată este aplicabilă și sistemelor polifazate.

Fig. 2.24

## 2.6. Aparate ce utilizează metode speciale de comparare D2

O modalitate interesantă de a compara puterea dezvoltată în curent alternativ cu patratul unei tensiuni continue este descrisă în lucrarea [22].

Schema de principiu a aparatului este cea din figura 2.25.

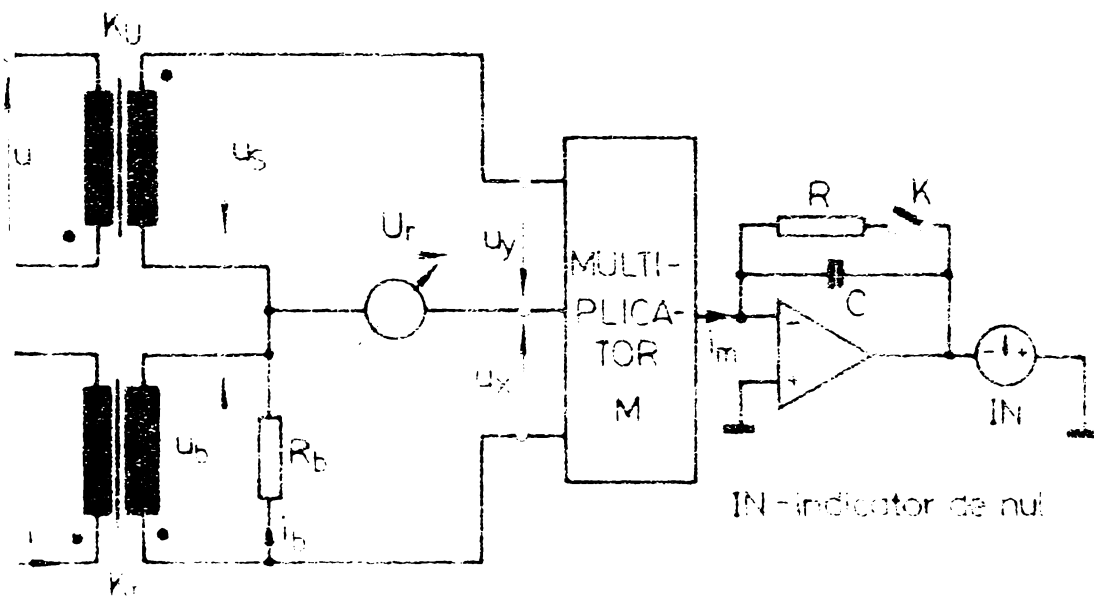


Fig. 2.25

Tensiunile de intrare  $u_x$  și  $u_y$  ale multiplicatorului în patru cadrane sunt:

$$u_x = u_b + u_r$$

$$u_y = u_s + u_r$$

iar curentul de ieșire al multiplicatorului,  $i_m$ , este:

$$i_m = Ku_x u_y = K [u_b u_s + u_r (u_b + u_s) + u_r^2] \quad (2.14)$$

Alegind sensurile de înțigurare ca în figura 2.25:

$$u_b = i_b R_b - k_1 R_b i$$

$$u_s = -k_u u$$

Inlocuind în 2.64  $u_b$  și  $u_s$  și determinând media curentului de ieșire al multiplicatorului se obține:

$$(i_m)_{\text{med}} = -K k_i k_u R_b \frac{1}{T} \int_0^T u_i dt + K U_r^2 \quad (2.15)$$

relație în care s-a considerat că mediile curentului și ale tensiunii sunt nule.

Reglind  $U_I$  în așa fel încât curentul mediu de ieșire al multiplicatorului să fie nul, se obține din 2.15 după simplificare cu  $K$ :

$$P = \frac{1}{T} \int_0^T u_i dt = \frac{1}{k_i k_u R_b} U_r^2 \quad (2.17)$$

Compensând decalajele multiplicatorului se pot atinge precizii de măsurare ridicate. Se observă faptul că în relația finală 2.17 nu intervine factorul de scară  $K$  al multiplicatorului, ceea ce duce în fond la îmbunătățirea preciziei de măsurare.

Erorile ce se comit la măsurare sunt de ordinul a  $10^{-4}$  din puterea aparentă.

Sistemul descris poate fi utilizat și în calitate de contor pentru energia activă [22].

## 2.7. O instalație pentru măsurarea puterii active reactive și deformante.

O metodă cu totul diferită de cele prezentate este cea descrisă în lucrarea [37]. Prințipiu de lucru utilizat [36] este cel al analizei Fourier a semnalului - curent și tensiune - în regim deformant.

Dacă undele deformante de curent și tensiune se prezintă sub forma unor serii Fourier:

$$i(t) = I_0 + \sum_{n=1}^{\infty} I_n \sqrt{2} \sin(n\omega t + \beta_n)$$

$$u(t) = U_0 + \sum_{n=1}^{\infty} U_n \sqrt{2} \sin(n\omega t + \alpha_n)$$

unde s-au folosit notatiile:  $U_n' = U_n \sin \alpha_n$ ,  $U_n'' = U_n \cos \alpha_n$

$$I_n' = I_n \sin \beta_n, \quad I_n'' = I_n \cos \beta_n.$$

Reziduurile deformante ale curentului și tensiunii se definesc prin relațiile:

$$I_d = \left\{ \frac{1}{T} \int_0^T \left[ \sum_{n=1}^{\infty} I_n \sqrt{2} \sin(n \omega t + \beta_n) \right]^2 dt \right\}^{1/2}$$

$$U_d = \left\{ \frac{1}{T} \int_0^T \left[ \sum_{n=1}^{\infty} U_n \sqrt{2} \sin(n \omega t + \alpha_n) \right]^2 dt \right\}^{1/2}$$

și cu acestea puterea deformantă devine:

$$D = U_1 I_d + I_1 U_d \quad (2.20)$$

Aparatul ce realizează, conform relațiilor 2.18, 2.19 și 2.20 măsurarea puterii active reactive și deformante este

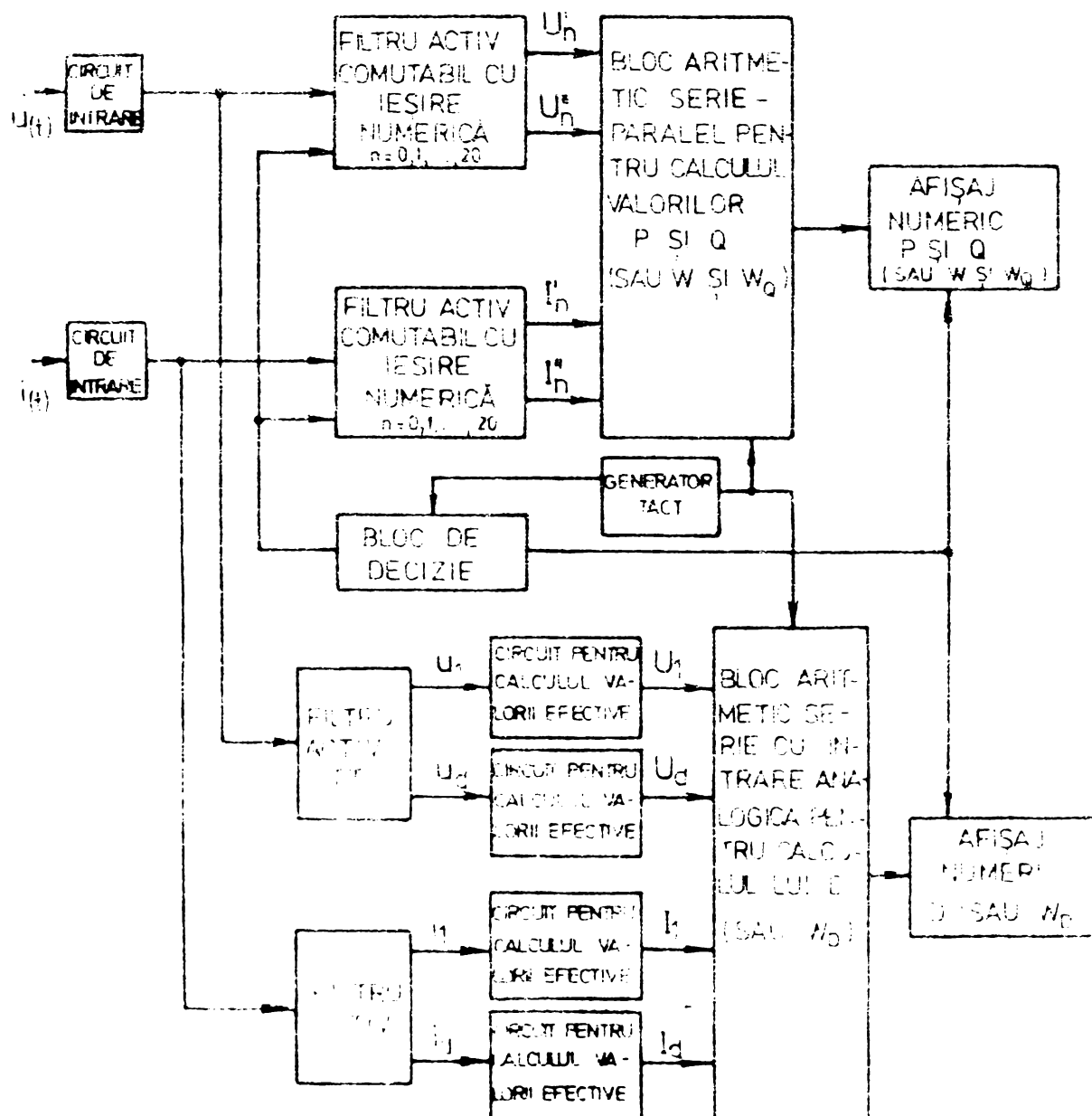


Fig. 2.26

alcătuit dintr-o parte analogică, cuprindând două filtre de bandă îngustă comutabile pe 20 de frecvențe precum și două filtre dublu T pentru separarea componentelor fundamentale și a reziduurilor deformante. În figura 2.26 se prezintă schema bloc a aparatului numit PQD - metru de către autorii săi.

Filtrele analogice cu ieșire numerică sunt comutabile și realizează separarea succesivă a armonicilor de ordin  $0, 1, \dots, 20$  ale fundamentalei de 50Hz. Aceste filtre furnizează la ieșirea lor, succesiv, sub formă numerică valorile  $U_0(I_0)$ ,  $U_1(I_1)$  și  $U_n(I_n)$ .

Pentru funcționarea acestor filtre, comandate secvențial, sunt necesare două etape. În prima filtrul funcționează ca integrator pentru determinarea valorilor corespunzătoare, obținindu-se la ieșirea sa o tensiune. În a doua etapă filtrul acționează ca și un CAN prin descărcarea la curent constant a condensatorului integratorului și măsurarea numerică a timpului de descărcare.

Blocul aritmetic de tip serie-paralel efectuează calculele sub formă numerică, succesiv, pentru a obține puterile active și reactive. Comenzile necesare secvenței de operații pentru analiza armonică a semnalelor, pentru conversia analog-numerică și pentru efectuarea calculelor sunt livrate de către un bloc de decizie și comandă.

Partea aparatului destinată calculului puterii deformante se compune din două filtre ce separă fundamentalele de restul armonicelor. Filtrele sunt urmate de circuite de calcul ale valorilor efective ale fundamentalei  $U_1(I_1)$  și ale reziduurilor deformante  $U_d(I_d)$ .

Blocul aritmetic corespunzător convertește sunt formă numerică toate cele 4 mărimi și apoi efectuează calculul puterii deformante D.

## 2.8. Concluzii privind metodele de măsurare numerică a puterii și energiei active.

Din analizele diferitelor metode de măsurare utilizate în cazul unor wattmetre sau contoare numerice se pot trage cîteva concluzii:

1. Metodele ce utilizează pentru multiplicare caractristici patratice ale unor elemente ca termocoplurile necesită

eforturi serioase în privința împerecherii caracteristicilor a determinării porțiunilor din acestea în care variația este patratică etc. Aceste metode de măsurare pot fi utilizate eventual în laborator, pretinzând reglaje multiple și fiind sensibile la schimbarea elementului cu caracteristică patratică.

2. Metodele de măsurare bazate pe caracteristici patratice modelate pot cîștiga teren avînd în vedere faptul că s-a pus la punct tehnologia de integrare și ajustare cu mare precizie a rezistențelor.

3. Metodele de măsurare ce utilizează multiplicarea analogică prin divizarea timpului, prin modulararea transconductanței sau cea hibridă sunt recomandabile fie pentru realizarea unor aparate electronice de precizie relativ scăzută dar la un preț de cost care să eliminate contoarele de inducție fie pentru realizarea unor aparate electronice de precizie medie, mergînd pînă la clasa 0,1. Cu toate perfectionările tehnologice, multiplicatorul analogic de mare precizie este încă foarte scump și în plus banda de frecvență în care atinge o precizie mare este scăzută (kiloherți).

4. Metodele de măsurare ce utilizează conversia analog numerică și multiplicarea (fără eroare) sub formă numerică sunt la ora actuală, cele mai recomandate pentru construcția unor aparate de clasă mai bună ca 0,5. Avînd în vedere scăderea costului integrării monolitice a circuitelor logice, multiplicatoarele numerice nu mai sunt prohibitive ca preț de cost, ca volum și dissipatie de putere. De asemenea, realizarea unor circuite de eşantionare și memorare și a unor CAN de mare precizie, la prețuri de cost acceptabile (și în continuă scădere) cresc competitivitatea metodelor de măsurare ce utilizează multiplicarea numerică.

Aparatele de acest ultim tip oferă un avantaj esențial și anume acela de a putea realiza corecția automată (prin memorarea unor tabele de corecție în memorii reprogramabile) a caracteristicilor de transfer ale lanțurilor de amplificare eşantionare și conversie pentru tensiune și curent.

## CAPITOLUL 3

### ESANTIONAREA SI CUANTIZAREA SEMNALELOR

Măsurarea numerică presupune discretizarea semnalului. Această discretizare poate fi făcută [52] în timp și/sau în valoare. În primul caz discretizarea se realizează prin operația de eşantionare iar în al doilea prin operația de cuantizare (conversie analog-numerică).

În timpul prelucrării (conversiei analog numerice, de exemplu) este de cele mai multe ori, necesar ca semnalele (ce se prelucră) să fie menținute constante. Din aceasta decurge necesitatea eşantionării și memorării semnalelor.

Circuitele de eşantionare și memorare (EM) realizează operația de eşantionare și de menținere a semnalului pe durata prelucrării, prin memorare. Circuitele de conversie analog numerică (CAN) realizează operația de discretizare în valoare, numită cuantizare.

#### 3.1. Circuite de eşantionare și memorare - EM.

##### Scheme și parametrii.

Schema de principiu a unui circuit de eşantionare și memorare EM este cea din figura 3.1. Amplificatorul  $A_1$  având o rezistență de intrare foarte mare nu încarcă sursa de semnal

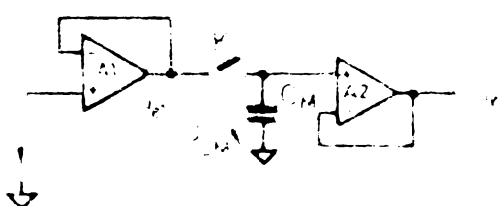


Fig 3.1

ce furnizează tensiunea  $u_{e1}$ . În același timp rezistența sa de ieșire mică asigură încărcarea rapidă a condensatorului de memorare,  $C_M$ . Amplificatorul  $A_2$ , cu un curent de polarizare cît mai redus, evită descoărarea condensatorului  $C_M$ , oferind pentru  $u_{e2}$  o rezistență de ieșire mică.

Cheia de eşantionare  $K$  poate fi o punte cu diode, cînd este necesară o eşantionare foarte rapidă sau un tranzistor cu efect de cimp. Eşantionarea se obține prin închiderea cheii (aplicarea unui impuls de polaritate și mărime potrivită tranzistorului din cheie) iar apoi se trece în starea de memorare prin deschiderea cheii.

În figura 3.2 se prezintă forma de variație pentru  $u_1$ ,  $u_e$  și comanda de eşantionare. Prin timp de achiziție  $t_A$  se

înțelege intervalul de timp măsurat din momentul aplicării impulsului de eșantionare și pînă în momentul în care tensiunea

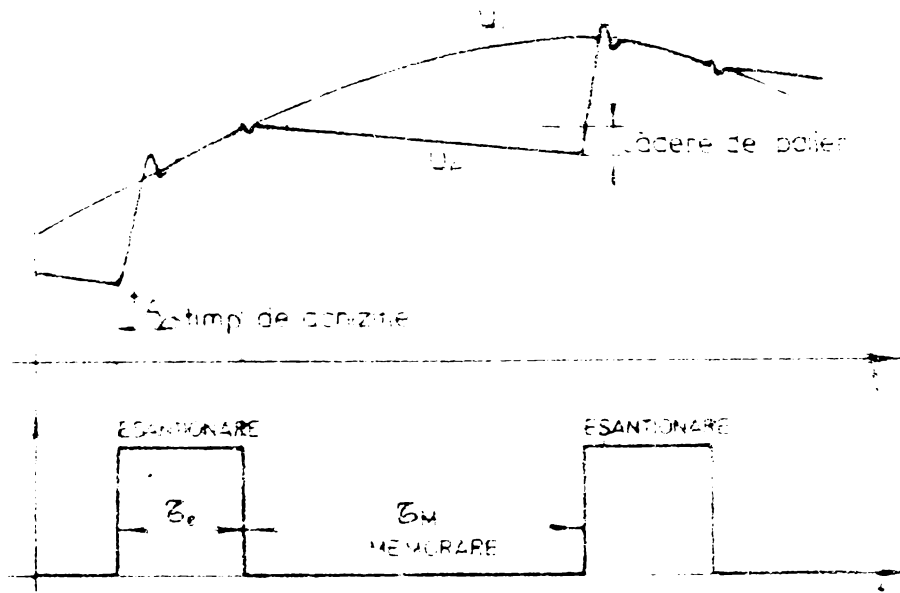


Fig. 3.2

$u_e$  ajunge, cu o creare dată (de exemplu 0,01%), egală cu tensiunea de intrare  $u_i$ . Căderea palierului ce apare în timpul stării de memorare se datorează curentilor de descărcare a condensatorului CM.

In afara căderii palierului, în timpul memorării, tensiunea  $u_e$  este afectată de variațiile tensiunii de intrare, prin conductanța și capacitatea cheii. Prin capacitatea grilei de comandă, la cheile cu tranzistoare cu efect de cîmp, apare o injectie de sarcină din circuitul de comandă spre capacitatea de memorare (sau invers). Această injectie de sarcină poate fi parțial compensată prin intermediul unei capacitați suplimentare  $C_o$  conectată ca în figura 3.3 aplicîndu-i un impuls complementar cu cel din grila de comandă.

O noțiune importantă introdusă în legătură cu erorile comise la eșantionare și memorare este eroarea de apertura și incertitudinea aperturai. După cum se poate vedea din figura 3.4 comanda de memorare nu duce la închiderea instantanea a

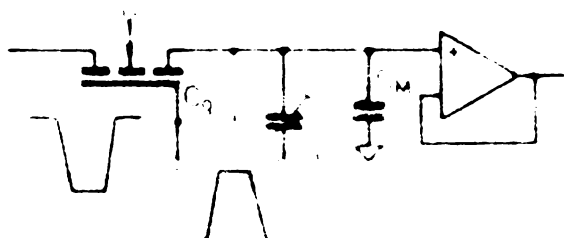


Fig. 3.3

cheii de eșantionare. Apare astfel ca memorată o valoare corespunzătoare unui moment decalat cu timpul de apertura față de momentul corespunzător comenzi de memorare [63].

Timpul de apertura, ce conduce la apariția erorii de

apertura nu este constant de la esantion la esantion, suferind de o incertitudine. Se poate considera că acesta are o componentă constantă peste care se suprapune una aleatoare.

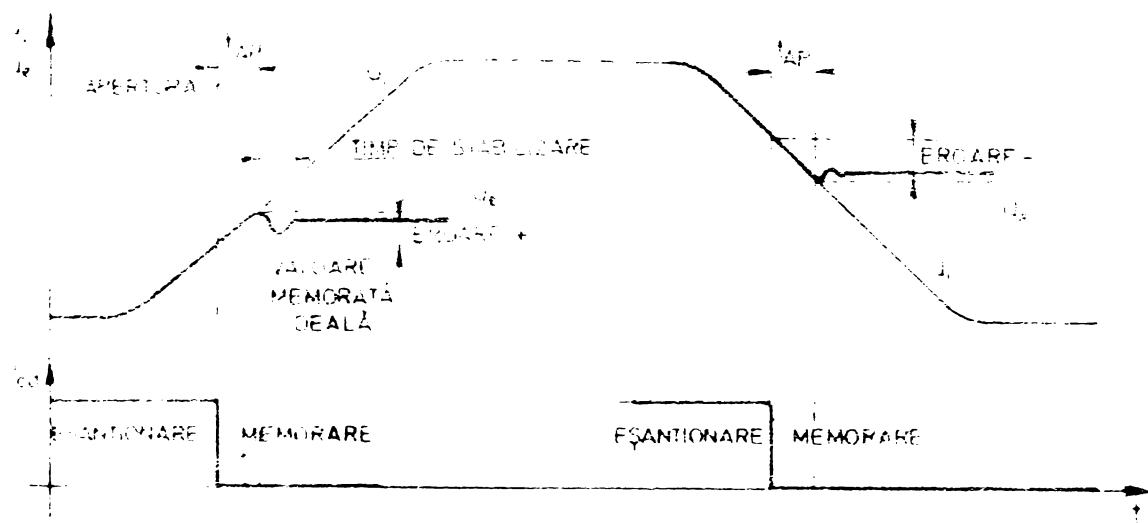


Fig. 3.4

Se observă că procesul de esantionare și memorare real se poate assimila cu un proces de esantionare și memorare ideal cu timpul de achiziție nul și durata pseudoimpulsului de esantionare egală cu durata aperturii,  $t_{AP}$  (figura 3.5).

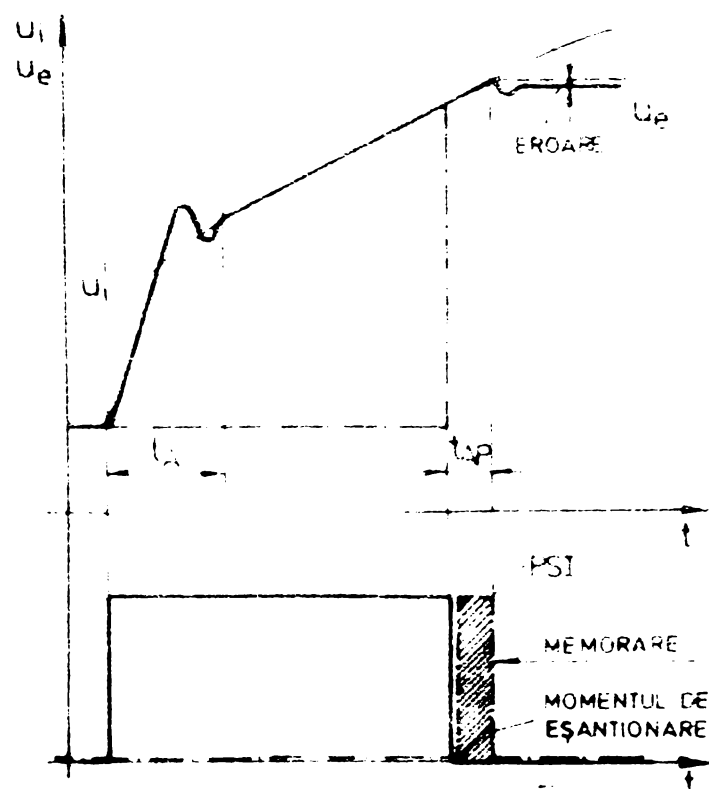


Fig. 3.5

Acest proces de esantionare și memorare ideal suferă de faptul că frontul posterior al pseudoimpulsului de esantionare, care în fapt marchează momentul memorării, este afectat de incertitudine.

Din punct de vedere al prelucrării semnalelor în scopul determinării unor mărimi ca putere, funcția de corelație și.a. contează practic numai frontul posterior al pseudoin impulsului (PSI) de eşantionare. Mai precis intereseză (vezi capitolul 5) neconcordanța momentelor de prelevare ale eşantioanelor de tensiune și curent, determinată de inegalitatea apertura. Această neconcordanță introduce o eroare de fază având, ca și timpul de apertura, o componentă constantă și una aleatoare suprapusă.

### 3.2. Cuantizarea semnalelor. Proprietățile statistice ale cuantizorului.

Dispozitivul ce realizează discretizarea-cuantizarea semnalelor în valoare se numește cuantizor. Mărimea de intrare a unui cuantizor este un semnal analog - tensiune în mod usual - iar cea de ieșire un număr. Variatia mărimi de intrare, corespunzătoare variației numărului de ieșire cu cîte o unitate, se numește cantă.

In figura 3.6 se prezintă caracteristica de transfer a unui cuantizor. Operatia de cuantizare constă [52] în înlocuirea valorilor continue ale mărimi de intrare  $x$  prin valorile corespunzătoare centrelor unor intervale de clasă, egale, și anume:

$$I_k = [(k + \theta - 1/2) \Delta x, (k + \theta + 1/2) \Delta x]$$

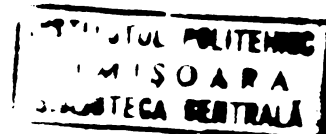
Cu alte cuvinte, dacă variabila de intrare  $x \in I_k$ , variabila de ieșire  $x_k$  are o singură valoare și anume:

$$x_k = (k + \theta) \Delta x,$$

valoare ce corespunde centrului intervalului  $I_k$ .

In cazul în care eşantioanele ce se aduc la intrarea cuantizorului sunt independente, probabilitatea apariției valorii  $x_k$  la ieșirea cuantizorului este [53] :

$$P(x_k) = \int_{(k+\theta-1/2)\Delta x}^{(k+\theta+1/2)\Delta x} w(x) dx \quad (3.1)$$



unde  $w(x)$  este densitatea de probabilitate a mărimii de intrare,  $x$ .

Se introduce funcția filtru:

$$\text{rectg } \frac{\lambda}{\Delta x} = \begin{cases} 1 & |\frac{\lambda}{\Delta x}| \leq 1 \\ 0 & \text{altele} \end{cases} \quad (3.2)$$

spectru al funcției [65]:

$$\frac{\Delta x}{2\pi} \frac{\sin \frac{u\Delta x}{2}}{\frac{u\Delta x}{2}} \quad (3.3)$$

Considerind ca variabilă abaterea mărimii de intrare de la centrul intervalului de clasă corespunzător,  $\lambda = x - (k+\theta)\Delta x$  și ținind seama de (3.2) se obține probabilitatea de apariție a valorii  $x_k$ :

$$P(x_k) = \int_{-\infty}^{+\infty} \psi[\lambda + (k+\theta)\Delta x] \text{rectg } \frac{\lambda}{\Delta x} d\lambda \quad (3.4)$$

Cum momentele variabilei de ieșire se determină simplu dacă se cunoaște funcția sa caracteristică [54], este recomandabilă determinarea acesteia. Notând cu  $\hat{\Phi}(v)$  funcția caracteristică a mărimii de ieșire, ea se poate calcula [52, 99] conform relației:

$$\hat{\Phi}(v) = \sum_{k=-\infty}^{\infty} P(x_k) e^{jvx_k} = \sum_{-\infty}^{+\infty} \left\{ e^{jv(k+\theta)\Delta x} \int_{-\infty}^{+\infty} w[\lambda + (k+\theta)\Delta x] \text{rectg } \frac{\lambda}{\Delta x} d\lambda \right\} \quad (3.5)$$

Dar între densitatea de probabilitate  $w(x)$  și funcția caracteristică  $\Phi(u)$ , a unei variabile continue, există [54] relația:

$$w(x) = \frac{1}{2\pi} \int_{-\infty}^{+\infty} \Phi(u) e^{-jux} du \quad (3.6)$$

și în consecință:

$$w[\lambda + (k+\theta)\Delta x] = \frac{1}{2\pi} \int_{-\infty}^{+\infty} [\Phi(u) e^{-ju(k+\theta)\Delta x}] e^{-jul} du \quad (3.7)$$

Se substituiesc în 3.5 funcția 3.3 și relația 3.7 și rezultă:

$$\hat{\phi}_{(v)} = \sum_{k=-\infty}^{+\infty} e^{jv(k+\theta)\Delta x} \left\{ \frac{1}{2\pi} \int_{-\infty}^{+\infty} [\phi_{(u)} e^{-ju(k+\theta)\Delta x}] e^{-ju\lambda} du \times \right. \\ \left. \cdot \left\{ \int_{-\infty}^{+\infty} \frac{\Delta x}{2\pi} \cdot \frac{\sin \frac{u\Delta x}{2}}{\frac{u\Delta x}{2}} e^{-ju\lambda} du \right\} d\lambda \right\} \quad (3.8)$$

Cum funcția  $\text{rectg } \lambda / \Delta x$  este reală, conjugata celei de-a doua integrale este egală cu ea însăși. Ca atare relația anterioară se poate scrie sub forma:

$$\hat{\phi}_{(v)} = \sum_{k=-\infty}^{+\infty} e^{jv(k+\theta)\Delta x} \left\{ \frac{1}{2\pi} \int_{-\infty}^{+\infty} [\phi_{(u)} e^{-ju(k+\theta)\Delta x}] e^{-ju\lambda} du \right\} \cdot \\ \cdot \left\{ \int_{-\infty}^{+\infty} \frac{\Delta x}{2\pi} \cdot \frac{\sin \frac{u\Delta x}{2}}{\frac{u\Delta x}{2}} e^{-ju\lambda} du \right\}^* d\lambda \quad (3.9)$$

Conform teoremei de multiplicare [53]:

$$\frac{1}{2\pi} \int_{-\infty}^{+\infty} F_1(\lambda) \cdot F_2^*(\lambda) d\lambda = \int_{-\infty}^{+\infty} f_1(u) \cdot f_2(u) du$$

relația (3.9) devine:

$$\hat{\phi}_{(v)} = \sum_{k=-\infty}^{+\infty} e^{jv(k+\theta)\Delta x} \int_{-\infty}^{+\infty} \phi_{(u)} e^{-ju(k+\theta)\Delta x} \cdot \frac{\Delta x}{2\pi} \frac{\sin \frac{u\Delta x}{2}}{\frac{u\Delta x}{2}} du \quad (3.10)$$

sau încă:

$$\hat{\phi}_{(v)} = \int_{-\infty}^{+\infty} \left\{ \sum_{k=-\infty}^{+\infty} e^{-j(u-v)k\Delta x} \right\} \cdot e^{-j(u-v)\theta\Delta x} \cdot \frac{\Delta x}{2} \cdot \frac{\sin \frac{u\Delta x}{2}}{\frac{u\Delta x}{2}} \cdot \\ \cdot \phi_{(u)} \cdot du \quad (3.11)$$

Dar trenul de impulsuri δ periodice, de perioadă T, se scrie:

$$f(t) = \sum_{k=-\infty}^{+\infty} \delta(t-kT)$$

și ca o serie Fourier [61]:

- 48 -

$$f(t) = \sum_{k=-\infty}^{+\infty} \delta(t-kT) = \sum_{n=-\infty}^{+\infty} \frac{1}{T} e^{j \frac{2\pi}{T} nt} = \sum_{n=-\infty}^{+\infty} \frac{1}{T} e^{-j \frac{2\pi}{T} n t} \quad (3.12)$$

Conform relației 3.12 suma din relația 3.11 este calculabilă:

$$\sum_{k=-\infty}^{+\infty} e^{-j \frac{2\pi}{2x/\Delta x} \cdot k(u-v)} = \frac{2\pi}{\Delta x} \sum_{k=-\infty}^{+\infty} \delta\left[u-v-k \frac{2\pi}{\Delta x}\right] \quad (3.13)$$

Substituind 3.13 în 3.11 se obține:

$$\hat{\phi}_v = \sum_{k=-\infty}^{+\infty} \int \delta\left[u-v-k \frac{2\pi}{\Delta x}\right] e^{-j(u-v)\theta_{\Delta x}} \cdot \frac{\sin \frac{(u-v)\Delta x + v\Delta x}{2}}{\frac{(u-v)\Delta x + v\Delta x}{2}} \cdot \cdot \cdot \\ \cdot \hat{\phi}_{(u-v)+v} \quad (3.14)$$

și aplicând proprietatea de filtrare a funcției  $\delta$  [61], avem în final:

$$\hat{\phi}_v = \sum_{-\infty}^{+\infty} e^{-j\theta 2\pi k} \phi_{(v+k \frac{2\pi}{\Delta x})} \frac{\sin(v+k \frac{2\pi}{\Delta x}) \frac{\Delta x}{2}}{(v+k \frac{2\pi}{\Delta x}) \frac{\Delta x}{2}} \quad (3.15)$$

Relația 3.15 dă expresia funcției caracteristice a semnalului cuantizat ca dependentă de funcția caracteristică a semnalului de intrare.

Se dau în lucrarea [52] expresiile pentru media și media patratică a semnalului cuantizat.

Pentru media, de exemplu, se știe că:

$$M(x_k) = -j \frac{\partial \hat{\phi}_v}{\partial v} \Big|_{v=0}$$

Derivând relația 3.15 în raport cu  $v$  se obține:

$$\frac{\partial \hat{\phi}_v}{\partial v} = \sum_{-\infty}^{+\infty} e^{-j\theta 2\pi k} \times \frac{\partial \phi_{(v+k \frac{2\pi}{\Delta x})}}{\partial v} \cdot \frac{\sin(v+k \frac{2\pi}{\Delta x}) \frac{\Delta x}{2}}{(v+k \frac{2\pi}{\Delta x}) \frac{\Delta x}{2}} + \\ + \sum_{-\infty}^{+\infty} e^{-j\theta 2\pi k} \phi_{(v+k \frac{2\pi}{\Delta x})} \frac{(v+k \frac{2\pi}{\Delta x}) \frac{\Delta x}{2} \cos(v+k \frac{2\pi}{\Delta x}) \frac{\Delta x}{2} - \sin(v+k \frac{2\pi}{\Delta x}) \frac{\Delta x}{2}}{(v+k \frac{2\pi}{\Delta x})^2 \frac{\Delta x}{2}}$$

Pentru  $v = 0$  derivata devine:

$$\frac{\partial \hat{\phi}(v)}{\partial v} \Big|_{v=0} = \sum_{-\infty}^{+\infty} e^{-j\theta 2\pi k} \frac{\partial \phi(v)}{\partial v} \Big|_{v=0} \frac{\sin \lambda k}{k\pi} +$$

$$+ \sum_{-\infty}^{+\infty} e^{-j\theta 2\pi k} \phi\left(k \frac{2\pi}{\Delta x}\right) \frac{\frac{k\pi \cos k\pi - \sin k\pi}{2\pi} \cdot (k\pi)^2}{\Delta x}$$

și deci:

$$\begin{aligned} \frac{\partial \hat{\phi}(v)}{\partial v} \Big|_{v=0} &= \frac{\partial \phi(v)}{\partial v} \Big|_{v=0} + \sum_{\substack{k=-\infty \\ k \neq 0}}^{+\infty} e^{-j\theta 2\pi k} \phi\left(k \frac{2\pi}{\Delta x}\right) \frac{\Delta x}{2} \frac{\cos k\pi}{k\pi} - \\ &= \frac{\partial \phi(v)}{\partial v} \Big|_{v=0} + \sum_1^{\infty} e^{j2\pi k(\frac{1}{2} - \theta)} \phi\left(k \frac{2\pi}{\Delta x}\right) \frac{\Delta x}{2\pi k} + \sum_{-\infty}^{-1} e^{j2\pi k(\frac{1}{2} - \theta)} \\ &\times \phi\left(k \frac{2\pi}{\Delta x}\right) \times \frac{\Delta x}{2\pi k} \end{aligned} \quad (3.16)$$

Înînd seama [54] de egalitatea ușor de verificat pentru funcțiile caracteristice:

$$\phi(-x) = \phi^*(x)$$

se face în ultimul termen al relației 3.16 schimbarea de variabilă  $-k \rightarrow k$  și astfel:

$$\begin{aligned} \frac{\partial \hat{\phi}(v)}{\partial v} \Big|_{v=0} &= \frac{\partial \phi(v)}{\partial v} \Big|_{v=0} + \sum_1^{\infty} e^{j2\pi k(\frac{1}{2} - \theta)} \phi\left(k \frac{2\pi}{\Delta x}\right) \frac{\Delta x}{2\pi k} - \\ &- \sum_1^{\infty} \left[ e^{j2\pi k(\frac{1}{2} - \theta)} \phi\left(k \frac{2\pi}{\Delta x}\right) \frac{\Delta x}{2\pi k} \right]^* = \frac{\partial \phi(v)}{\partial v} \Big|_{v=0} + \\ &+ 2 \operatorname{j} \operatorname{Im} \left\{ \sum_1^{\infty} \frac{\Delta x}{2\pi k} e^{j2\pi k(\frac{1}{2} - \theta)} \phi\left(k \frac{2\pi}{\Delta x}\right) \right\} \end{aligned}$$

In final rezultă media semnalului cuantizat:

$$M(x_k) = -j \frac{\partial \hat{\phi}(v)}{\partial v} \Big|_{v=0} = -j \frac{\partial \phi(v)}{\partial v} \Big|_{v=0} + Im \left\{ \sum_1^{\infty} \frac{\Delta x}{\pi k} e^{j2\pi k(\frac{1}{2} - \theta)} \right. \\ \left. \phi(k \frac{2\pi}{\Delta x}) \right\}; \quad (3.17)$$

$$M(x_k) = M(x) + \sum_1^{\infty} \frac{\Delta x}{\pi k} Im \left\{ e^{j2\pi k(\frac{1}{2} - \theta)} \phi(k \frac{2\pi}{\Delta x}) \right\}$$

In mod similar se obține media pătratică a semnalului cuantizat:

$$M(x_k^2) = M(x^2) \rightarrow \frac{\Delta x^2}{12} - 2 \frac{\Delta x}{\pi} \sum_1^{\infty} Re \left\{ \frac{1}{k} e^{j2\pi k(\frac{1}{2} - \theta)} \times \right. \\ \left. \times \frac{\partial \phi(v+k \frac{2\pi}{\Delta x})}{\partial v} \Big|_{v=0} \right\} + \left( \frac{\Delta x^2}{\pi} \right) \sum_1^{\infty} Re \left\{ \frac{1}{k^2} e^{j2\pi k(\frac{1}{2} - \theta)} \phi(k \frac{2\pi}{\Delta x}) \right\} \quad (3.18)$$

Dacă variabila de intrare a cuantizorului,  $x$ , reprezintă un proces Markov simplu, pentru descrierea fenomenului este nevoie cunoașterea densității de probabilitate de ordinul doi.

După procedura de calcul descrisă se obține [52]:

$$\hat{\phi}(v_1, v_2) = \sum_{k_1=-\infty}^{+\infty} \sum_{k_2=-\infty}^{+\infty} e^{-j\theta 2\pi(k_1 + k_2)} \phi \left[ v_1 + k_1 \frac{2\pi}{\Delta x}, v_2 + k_2 \frac{2\pi}{\Delta x} \right] \cdot \\ \frac{\sin(v_1 + k_1 \frac{2\pi}{\Delta x}) \frac{\Delta x}{2}}{(v_1 + k_1 \frac{2\pi}{\Delta x}) \frac{\Delta x}{2}} \cdot \frac{\sin(v_2 + k_2 \frac{2\pi}{\Delta x}) \frac{\Delta x}{2}}{(v_2 + k_2 \frac{2\pi}{\Delta x}) \frac{\Delta x}{2}} \quad (3.19)$$

expresie ce permite ([52]) determinarea funcției de autocorelație  $R_{x_k x_k}$  a semnalului de ieșire.

### 3.3. Zgomotul de cuantizare

Deoarece la ieșirea cuantizorului mărimea este discretă iar la intrarea sa continuă, între cele două mărimi există o diferență numită zgomot de cuantizare. Zgomotul de cuantizare se definește prin relația:

$$y = x_k - x = (k + \theta) \Delta x - x \quad (3.20)$$

și este univoc determinat de mărimea de intrare. Aceast zgomot este întrinsec procesului de cuantizare, rezultând din principiul de funcționare al acestuia. El nu trebuie confundat cu anumite zgomote cauzate de surse legate de realitatea fizică a cuantizorului (convertorul analog-numeric).

Forma de variație a zgomotului de cuantizare [52, 100] funcție de mărimea de intrare este [52, 100] cea din figura 3.7. Zgomotul este o funcție periodică de perioadă  $\Delta x$  și

corespunzător unui interval de clasă  $I_k$  este o funcție uniformă.

Se știe [54] că pentru funcții uniforme de variabilă aleatoare  $y = f(x)$  densitatea de probabilitate a funcției  $y$ ,  $w(y)$ , este legată de densitatea de probabilitate  $w(x)$  a variabilei  $x$ , prin relația:

$$w(y) = w(x) \times \left| \frac{dx}{dy} \right|$$

În consecință, pentru un interval de clasă  $I_k$ , densitatea de probabilitate a zgomotului este:

$$w_k(y) = w(x) \quad x \in \left\{ (k + \theta - 1/2) \Delta x, (k + \theta + 1/2) \Delta x \right\} \quad (3.21)$$

sau extinzând egalitatea 3.21 pentru întreg domeniul de variație al lui  $x$ :

$$w_k(y) = w(x) \cdot \text{rectg} \frac{y}{\Delta x} \quad x \in (-\infty, +\infty) \quad (3.22)$$

Densitatea de probabilitate a zgomotului pentru toate intervalele de clasă (având în vedere că 3.22 nu depinde de  $k$ )

este:

$$w(y) = \sum_{k=-\infty}^{+\infty} w(x) \operatorname{rectg} \frac{y}{\Delta x} = - \sum_{k=-\infty}^{+\infty} w(x_k - y) \operatorname{rectg} \frac{y}{\Delta x} \quad (3.23)$$

Dar:

$$\begin{aligned} w(-y+x_k) &= \frac{1}{2\pi} \int_{-\infty}^{+\infty} \phi(u) e^{-jux_k} e^{juy} du = \\ &= \frac{1}{2\pi} \int_{-\infty}^{+\infty} [\phi(u) e^{jux_k}] e^{-juy} du = \frac{1}{2\pi} \int_{-\infty}^{+\infty} [\phi^*(u) e^{jux_k}] e^{-juy} du \end{aligned} \quad (3.24)$$

Substituind în 3.23 funcția  $\operatorname{rectg} y/\Delta x$  și ținând seama de 3.24:

$$w(y) = \sum_{k=-\infty}^{+\infty} \frac{1}{2\pi} \left\{ \int_{-\infty}^{+\infty} [\phi^*(u) e^{jux_k}] e^{-juy} du \right\} \cdot \left\{ \int_{-\infty}^{+\infty} \frac{\Delta x}{2\pi} \frac{\sin \frac{u\Delta x}{2}}{\frac{u\Delta x}{2}} du \right\}$$

Conform teoremei integralei de convoluție [92]:

$$w(y) = \sum_{-\infty}^{+\infty} \frac{\Delta x}{4\pi} \left\{ \int_{-\infty}^{+\infty} \left\{ \int_{-\infty}^{+\infty} \phi^*(\lambda) e^{j\lambda(k+\theta)\Delta x} \cdot \frac{\sin(u-\lambda) \frac{\Delta x}{2}}{(u-\lambda) \frac{\Delta x}{2}} d\lambda \right\} e^{-juy} du \right\} \quad (3.25)$$

Notând cu  $\mathcal{F}$  transformata Fourier și cu  $\mathcal{F}^{-1}$  inversa ei:

$$\begin{aligned} \mathcal{F}[f(t)] &= \int_{-\infty}^{+\infty} f(t) e^{-j\omega t} dt \\ \mathcal{F}^{-1}[F(\omega)] &= \frac{1}{2\pi} \int_{-\infty}^{+\infty} F(\omega) e^{j\omega t} d\omega \end{aligned}$$

se poate scrie 3.25 sub forma:

$$w(y) = \frac{\Delta x}{4\pi} \sum_{-\infty}^{+\infty} \mathcal{F}_y \left\{ \int_{-\infty}^{+\infty} \phi^*(\lambda) e^{j\lambda(k+\theta)\Delta x} \cdot \frac{\sin(u-\lambda) \frac{\Delta x}{2}}{(u-\lambda) \frac{\Delta x}{2}} d\lambda \right\} \quad (3.26)$$

și deci funcția caracteristică a zgomotului de quantizare  $y$  va fi:

$$\Phi_{y(u)} = \int_{-\infty}^{+\infty} w(y) e^{juy} dy = 2\pi \mathcal{F}^{-1} [w(y)] \quad (3.27)$$

Su stituind 3.26 în 3.27 :

- 53 -

$$\begin{aligned}
 \phi_{y(u)} &= \frac{\Delta x}{2\pi} \sum_{-\infty}^{+\infty} \int_{-\infty}^{+\infty} \phi^*(\lambda) e^{j\lambda k \Delta x} e^{j\lambda \theta \Delta x} \frac{\sin(u-\lambda) \frac{\Delta x}{2}}{(u-\lambda) \frac{\Delta x}{2}} d\lambda = \\
 &= \frac{\Delta x}{2\pi} \int_{-\infty}^{+\infty} \left[ \sum_{-\infty}^{+\infty} e^{j\lambda \Delta x k} \right] \phi^*(\lambda) e^{j\lambda \theta \Delta x} \frac{\sin(u-\lambda) \frac{\Delta x}{2}}{(u-\lambda) \frac{\Delta x}{2}} d\lambda = \\
 &= \frac{\Delta x}{2\pi} \int_{-\infty}^{+\infty} \left[ \frac{2\pi}{\Delta x} \sum_{-\infty}^{+\infty} \delta(\lambda - k \frac{2\pi}{\Delta x}) \right] \phi^*(\lambda) e^{j\lambda \theta \Delta x} \frac{\sin(u-\lambda) \frac{\Delta x}{2}}{(u-\lambda) \frac{\Delta x}{2}} d\lambda = \\
 &= \sum_{-\infty}^{+\infty} e^{-j\theta 2\pi k} \phi^*(k \frac{2\pi}{\Delta x}) \frac{\sin(u - k \frac{2\pi}{\Delta x}) \frac{\Delta x}{2}}{(u - k \frac{2\pi}{\Delta x}) \frac{\Delta x}{2}} = \\
 &= \sum_{-\infty}^{+\infty} e^{-j\theta 2\pi k} \phi(k \frac{2\pi}{\Delta x}) \frac{\sin(u - k \frac{2\pi}{\Delta x}) \frac{\Delta x}{2}}{(u - k \frac{2\pi}{\Delta x}) \frac{\Delta x}{2}} \quad (3.28)
 \end{aligned}$$

Pornind de la funcția caracteristică a zgomotului de cuantizare se calculează [52, 99] valoarea medie și valoarea medie patratică a acestuia. Aceasta din urmă are expresia:

$$E(y^2) = \frac{(\Delta x)^2}{12} + \frac{(\Delta x)^2}{\pi^2} \sum_1^{\infty} \frac{1}{k^2} \text{Re} \left\{ e^{-j2\pi k(\theta - \frac{1}{2})} \phi(k \frac{2\pi}{\Delta x}) \right\} \quad (3.29)$$

Pentru cazul unei repartiții de intrare bidimensionale, (două eșantioane adiacente dependente) se stabilește funcția caracteristică a zgomotului de cuantizare [52] în mod similar cu cazul anterior:

$$\begin{aligned}
 \phi_{y(v_1, v_2)} &= \sum_{k_1=-\infty}^{+\infty} \sum_{k_2=-\infty}^{+\infty} e^{-j2\pi \theta(k_1 + k_2)} \phi(k_1 \frac{2\pi}{\Delta x}, k_2 \frac{2\pi}{\Delta x}) \cdot \frac{\sin(v_1 - k_1 \frac{2\pi}{\Delta x}) \frac{\Delta x}{2}}{(v_1 - k_1 \frac{2\pi}{\Delta x}) \frac{\Delta x}{2}} \cdot \\
 &\quad \cdot \frac{\sin(v_2 - k_2 \frac{2\pi}{\Delta x}) \frac{\Delta x}{2}}{(v_2 - k_2 \frac{2\pi}{\Delta x}) \frac{\Delta x}{2}} \quad (3.30)
 \end{aligned}$$

Interesantă este funcția de intercorelație a semnalului de intrare cu zgomotul de ieșire al cuantizorului, definit de:

$$R_{xy} = M(x_1 \cdot y_2)$$

Calculul funcției de intercorelație se bazează [52,99] pe observația că zgomotul de cuantizare este o funcție periodică (vezi figura 3.10) cu perioada  $\Delta x$  și ca atare se poate dezvolta în serie Fourier. Coeficienții seriei sunt:

$$\begin{aligned} c_k &= \frac{1}{\Delta x} \int_{(\theta-\frac{1}{2})\Delta x}^{(\theta+\frac{1}{2})\Delta x} (\theta \Delta x - x) e^{-j \frac{2\pi}{\Delta x} kx} dx = \\ &= -\frac{j \Delta x}{2 \pi k} e^{-j 2\pi k(\theta - \frac{1}{2})} ; \quad k \neq 0 \end{aligned}$$

și în consecință:

$$y = - \sum_{k=-\infty}^{+\infty} j \frac{\Delta x}{2\pi k} e^{-j 2\pi k(\theta - \frac{1}{2})} e^{j \frac{2\pi}{\Delta x} kx} \quad (3.31)$$

Conform relației de definiție a funcției de intercorelație ca medie a produsului  $x_1 y_2$  rezultă:

$$R_{xy} = -j \frac{\Delta x}{2\pi} \sum_{\substack{k=-\infty \\ k \neq 0}}^{+\infty} \frac{1}{k} e^{-j 2\pi k(\theta - \frac{1}{2})} M(x_1 \cdot e^{j \frac{2\pi}{\Delta x} kx} \cdot 2) \quad (3.32)$$

Dar ca proprietate a funcției caracteristice [54,100] :

$$M(x_1 \cdot e^{ju_2 x_2}) = -j \frac{\partial \Phi(u_1, u_2)}{\partial u_1} \Big|_{u_1=0}$$

Că atare relația 3.32 devine:

$$R_{xy} = -\frac{\Delta x}{2\pi} \sum_{\substack{k=-\infty \\ k \neq 0}}^{+\infty} \frac{1}{k} e^{-j 2\pi k(\theta - \frac{1}{2})} \cdot \frac{\partial \Phi(u_1, k \frac{2\pi}{\Delta x})}{\partial u_1} \Big|_{u_1=0} \quad (3.33)$$

La cuantizarea fină zgomotul de cuantizare este practic necorelat cu semnalul de intrare (deoarece este univoc determinat de către semnalul de intrare) [52]. Această proprietate a zgomotului de cuantizare explică (vezi capitolul 5 și capitolul 6) erorile de cuantizare neglijabile ce se obțin la măsurarea puterii și a energiei active.

### 3.4. Converteare analog-numerică

Convertorul analog numeric - CAN - este un ansamblu de circuite ce realizează operația de cuantizare. Mărimea sa de intrare este de obicei, o tensiune. La ieșire se obține, de obicei în paralel, codul numeric binar sau zecimal codat binar (BCD) al tensiunii aplicate la intrare.

După structura lor convertoarele analog numerice sunt, în principal, [52] de următoarele tipuri:

- cu generator de tensiune liniar variabilă (cu mărime intermedieră timp);
- cu dublă integrare
- cu conversie tensiune-frecvență
- cu rețea R-2R

Convertearele cu generator de tensiune liniar variabilă sunt relativ puțin precise și sunt recomandate [52] în special pentru construcția aparatelor de măsurare numerice de tablou. Cele cu dublă integrare sunt precise, au bune proprietăți în ceea ce privește rejectia zgomotelor, dar rata de conversie ce se poate obține este redusă (zeci de conversii pe secundă).

Convertearele cu rețea R-2K functionând prin înjumătățire realizează un compromis între precizie și viteză. Progresele realizate în tehnologia integrării au permis creșterea numărului de cifre binare pînă la 16 (eroare de cuantizare de ordinul a  $10^{-3}$ ) și se pare că la ora actuală zgomotul intern, stabilitatea sursei de referință (interne) și produsul amplificare bandă limitată al comparatoarelor limitează rezoluția.

Timpul în care se realizează o conversie completă variază în funcție de numărul de cifre furnizate și de tipul convertorului, între cîteva microsecunde și cîteva zeci de microsecunde.

In prelucrarea numerică a informației convertorul cu rețea R-2R este cel mai des utilizat, la ora actuală construindu-se chiar sisteme de schizitie hibride (ce conțin astfel de convertoare) și așa mîntele periferice analogice pentru cuplarea calculatoarelor la procese.

#### 3.4.1. Converteare analog-numerică cu rețea R-2R

Convertearele analog-numerică cu rețea R-2R sunt constituite dintr-un convertor numeric-analogic, CNA cu rețea R-2R, un comparator și un dispozitiv de comandă - figura 3.3.

### Converterul numeric-analogic furnizează o tensiune $u_R$ ce

se compară, de către un comparator, cu tensiunea de convertit  $u_x$ . Se execută un număr de pagi - încercări ale tensiunii  $u_R$  - egal cu numărul de cifre binare ale rețelei, la sfîrșitul operației într-un registru al dispozitivului de comandă găsindu-se codul tensiunii  $u_x$  [63].

Schela de principiu a unui CNA cu rețea R-2R cu comutare de tensiune este [63] cea din figura 3.9. Comutatoarele  $C_0 \div C_{N-1}$

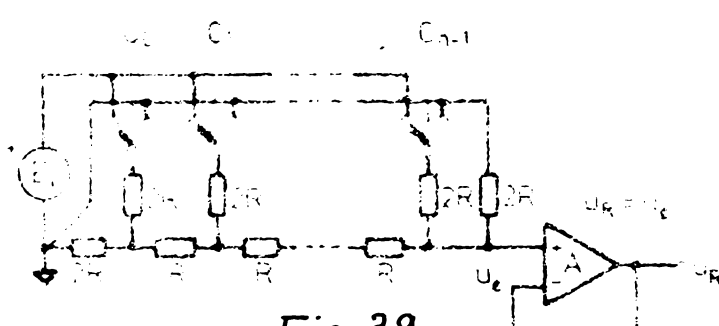


Fig. 3.9

conectează rezistențele din rețea fie la masă ( $C_k=0$ ) fie la tensiunea de referință  $E_r$  ( $C_k=1$ ). Se deduce simplu expresia tensiunii  $u_e$  aplicate amplificatorului A:

$$u_e = \left( \frac{E_r}{3R} \sum_{k=0}^{n-1} C_k \cdot \frac{1}{2^{n-k}} \right) \cdot 2R = \frac{E_r}{3 \cdot 2^{n-1}} \sum_{k=0}^{n-1} 2^k C_k = \frac{E_r}{3 \cdot 2^{n-1}} N \quad (3.34)$$

unde prin  $N$  s-a notat numărul al cărui cod binar s-a adus la comutatoarele  $C_k$ . Evident cuanta convertorului este:

$$\Delta u = \frac{E_r}{3 \cdot 2^{n-1}}$$

Amplificatorul A servește ca și adaptor de impedanță, evitând încărcarea rețelei.

Rețeaua R-2R se poate utiliza și în varianta prezentată în figura 3.10. Currentul i care intră în punctul sumă al amplificatorului A este dat de relația:

$$i = \frac{E_r}{R} \sum_{k=0}^{n-1} C_k \cdot \frac{1}{2^{n-k}} = \frac{E_r}{R \cdot 2^n} \sum_{k=0}^{n-1} C_k 2^k$$

Ca atare tensiunea de ieșire a CNA este:

$$u_R = -iR = -\frac{E_r}{2^n} \sum_{k=0}^{n-1} C_k 2^k = -\frac{E_r}{2^n} N \quad (3.35)$$

Cuanta convertorului fiind:

$$\Delta u = \frac{E_x}{2^n}$$

O astfel de rețea se utilizează în construcția convertoarelor cu multiplicare [63]. Evident tensiunea de ieșire se poate pune sub forma:

$$u_R = - k \frac{E_x}{2^n} \cdot N$$

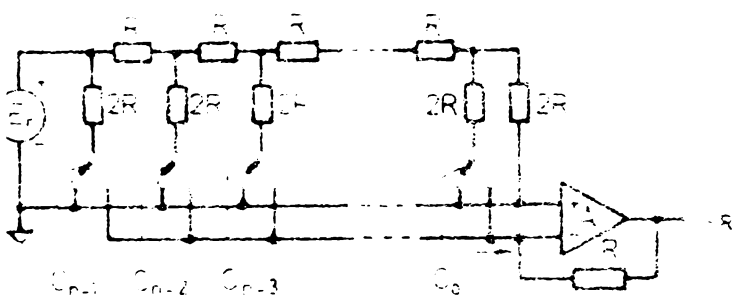


Fig. 3.10

țională cu produsul dintre tensiunea de referință (ce poate fi bipolară) și codul numeric aplicat la intrare (unipolar).

De fapt acest tip de convertor este un multiplicator hibrid în două cadrane. Axind (vezi figura 2.20) ieșirea, se poate obține un multiplicator hibrid în 4 cadrane.

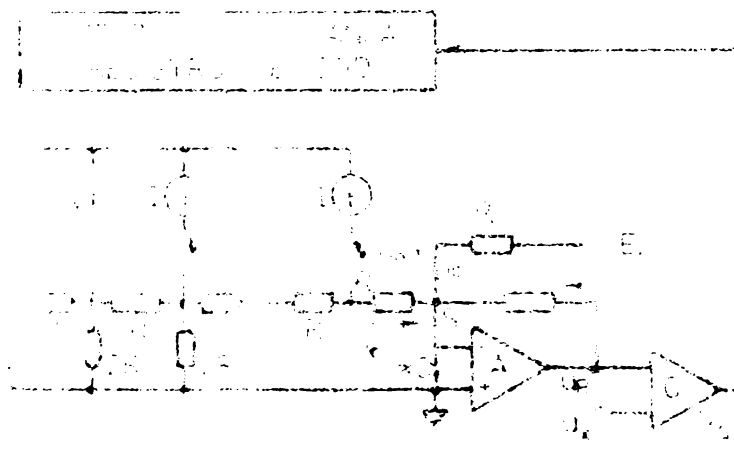


Fig. 3.11

de către dispozitivul de comandă și registrul de cod. Aceasta realizează secvența de lucru conform diferenței u livrate de comparator. Currentul de ieșire al rețelei  $i_e$  este (potențialul punctului sumă S al amplificatorului A este practic 0) dat de relația:

$$i_e = \frac{4I}{3} \sum_{k=0}^{n-1} C_k \frac{1}{2^{n-k}} = \frac{I}{3 \cdot 2^{n-2}} \sum_{k=0}^{n-1} C_k 2^k = \frac{I}{3 \cdot 2^{n-2}} \cdot N \quad (3.36)$$

Currentul de polarizare  $i_p$  este evident:

$$i_p = \frac{E_{xp}}{R_p} \quad (3.37)$$

Rețeaua R-2R poate fi operată și prin comutarea curentului ce i se aplică. Astfel un CAN bipolar cu rețea R-2R are schema de principiu din figura 3.11. Cele n generate de curent debitează, sau nu, curentul I peste rețea după cum este comandat comutatorul C corespunzător

și ca atare tensiunea de ieșire este dată de relația:

$$u_R = E_{rp} \frac{R}{R_p} - \frac{IR}{3 \cdot 2^{n-2}} N \quad (3.38)$$

Cuanta tensiunii  $u_R$  este:

$$\Delta u = \frac{IR}{3 \cdot 2^{n-2}}$$

La conectarea numai a bitului cel mai semnificativ ( $C_{n-1}=1, C_{n-2}=\dots=C_1=C_0=0$ ) impunem ca  $u_R$  să fie  $-\Delta u/2$

$$u_R = E_{rp} \cdot \frac{R}{R_p} - \Delta u \cdot 2^{n-1} = -\frac{\Delta u}{2}$$

In consecință relația 3.38 devine:

$$u_R = \Delta u \left( \frac{2^n - 1}{2} - N \right), \quad N_{\min} = 0, \quad N_{\max} = 2^n - 1 \quad (3.39)$$

relație ce permite determinarea extremelor lui  $u_R$  în domeniul pozitiv și în cel negativ.

In calitate de dispozitiv de comandă se utilizează un registru de deplasare [63] ce generează, la apariția unei cereri de conversie ( $XCV=t_c$ ) o secvență de semnale ce încearcă, rînd pe rînd, fiecare bit al rețelei, după un algoritm simplu [52,63]. Pe durata conversiei dispozitivul de comandă poziționează un semnal ce indică starea de lucru (OCUPAT). Revenirea semnalului OCUPAT indică prezența în registrul de cod al convertorului a unui cod binar asociat, conform caracteristicii de transfer, cu tensiunea de la intrarea sa. Legirile registrului de cod sunt accesibile și nu se modifică pînă la o nouă cerere de conversie.

Pe toată durata conversiei tensiunea de convertit, aplicată la intrarea convertorului, trebuie să prezinte variații mai mici decît o cuantă (ceea ce impune unori utilizarea circuitelor de eșantionare și memorare).

Schemă bloc a unui CAN integrat este cea din figura 3.12. În aceeași figură se descrie și evoluția semnalelor externe, indicindu-se momentul în care codul tensiunii convertite este accesibil.

Dacă borna de axare se pune la masă convertorul este

exploatat unipolar iar dacă se conectează la o sursă de referință (de obicei incorporată) se obține un convertor bipolar (cu aceeași excursie totală a semnalului de intrare).

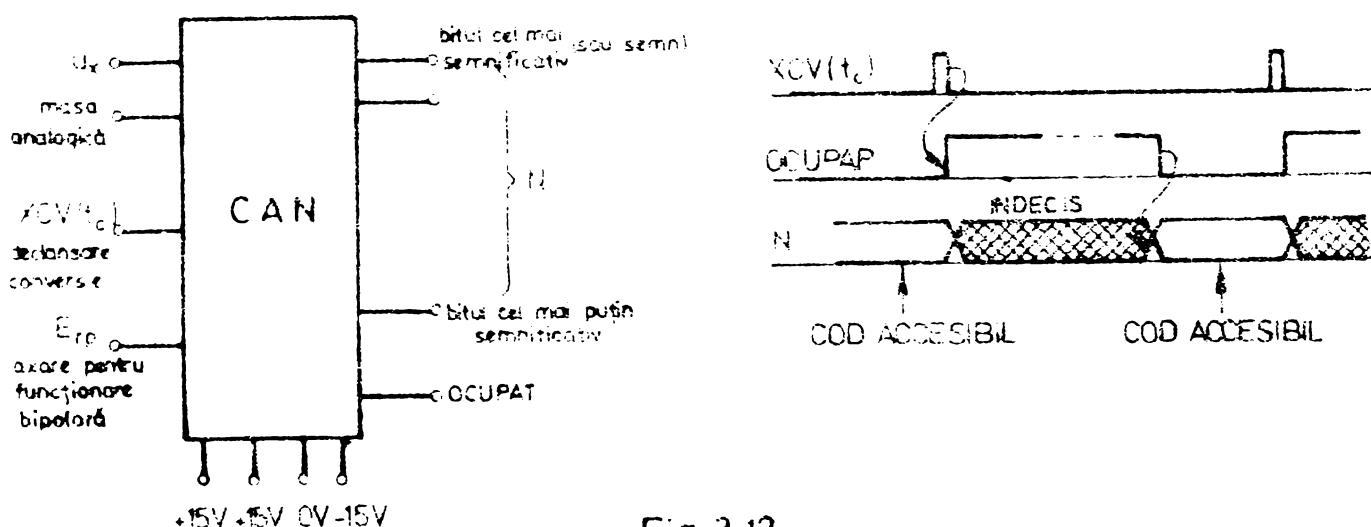


Fig. 3.12

In ceea ce privește codul furnizat, în majoritatea cazurilor el este codul binar deplasat sau codul complement față de 2. convertoarele comerciale dispunind de un pin ce alege între cele două tipuri de coduri. Sunt disponibile convertoare ce lucrează în zecimal codat binar (BCD) sau în binar semn-mărime.

### 3.4.2. Erori ale convertoarelor analog-numerice

In afara erorii de cuantizare, intrinsecă convertorului cu caracteristica de transfer ideală apar și alte tipuri de erori. Aceste erori sunt cauzate de abaterea caracteristicii de transfer a convertorului real de la cea ideală și sunt prezентate în [52, 63, 64, 69, 70]. Erorile convertoarelor sunt:

- eroarea de decalaj (derivă a nulului), echivalentă cu adunarea la semnalul de convertit  $x$  a unei valori  $u_d$ . Această eroare se poate mult diminua prin reglaje efectuate din timp în timp;
- eroarea de ciștig, echivalentă cu modificarea mărimei cuantei. Este cauzată fie de modificări ale coeficiențului de amplificare al unor amplificatoare din schemă fie de modificări ale unor tensiuni de referință ce determină mărimea cuantei. Prin reglaje efectuate din timp în timp se poate diminua această eroare.

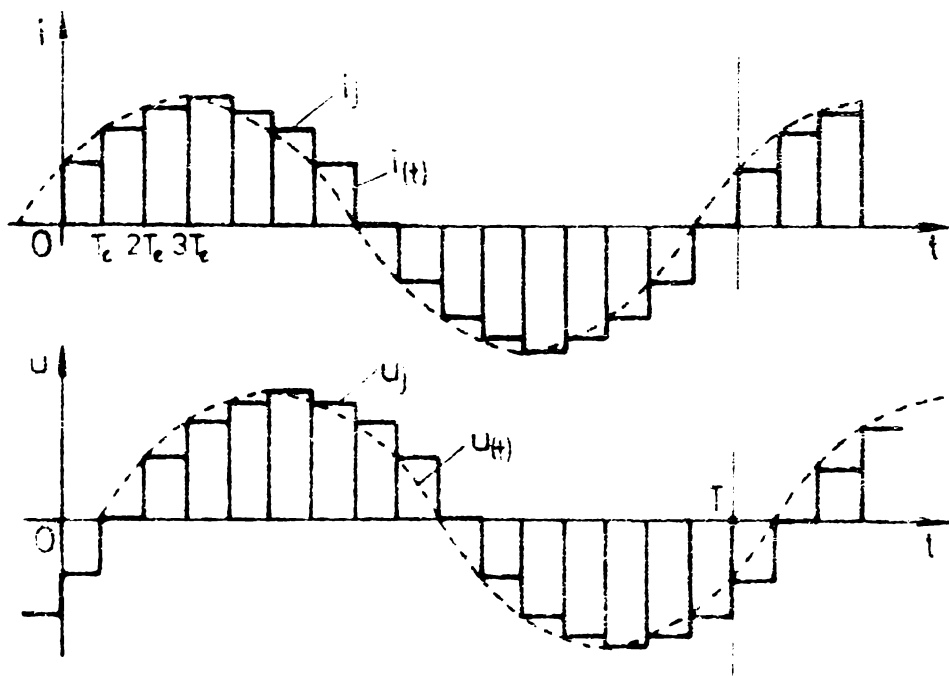
- eroare diferențială de neliniaritate (sau simplu eroare de neliniaritate) este cauzată de abaterea unor rezistențe din rețea și/sau a unor generatoare de curent (comutatoare de tensiune) de la nominal. Apare astfel o caracteristică de transfer cu cuante neegale (vezi paragraful 5.7) prezentată în figura 5.1. Spre deosebire de primele două, a treia eroare nu se poate influența decât în procesul de construcție al convertorului și este garantată de producător ca fiind sub o anumită limită (de obicei  $\pm \Delta x/2$ ).

## CAPITOLUL 4

### NOI ALGORITMI DE CALCUL AI PUTERII SI ENERGIEI ACTIVE SI SCHEME DERIVATE PENTRU WATTMETRE SI CONTOARE NUMERICHE CU MULTIPLICARE NUMERICA

#### 4.1. Algoritmul clasic de calcul

După cum s-a văzut, puterea se calculează cu relația (1.5). Admitem că se prelevează simultan eșantioanele de curent și tensiune,  $i_j$ , respectiv  $u_j$ , la intervale de timp egale,  $T_e$ , astfel încât se satisfacă relația:



$$NT_e \geq T > (N-1)T_e$$

Fig. 4.1

(4.1)

Cu alte cuvinte se prelevează  $N$  eșantioane într-o perioadă  $T$  a semnalului eșantionat, ultimul interval de eșantionare putând fi mai scurt ca celelalte. Ignorind acest fapt și deci presupunând toate intervalele în care s-a divizat  $T$  egale cu  $T_e$ , puterea se poate calcula cu:

$$\hat{P} = \frac{1}{T} \sum_{j=0}^{N-1} \int_{jT_e}^{(j+1)T_e} u_i dt = \frac{1}{T} \sum_{j=0}^{N-1} u_j i_j T_e = \frac{1}{N} \sum_{j=0}^{N-1} u_j i_j \quad (4.2)$$

unde  $\hat{P}$  este o estimare a puterii, obținută prin înlocuirea mărimilor  $u$  și  $i$ , continuu variabile, cu  $u_j$  și  $i_j$ , eșantio-

nele corespunzătoare momentelor  $i_{qj}$ .

In mod similar, pentru energia activă se stabilește, plecind de la relația 1.11, estimarea:

$$\hat{W} = \sum_{j=0}^{N-1} \int_{jT_e}^{(j+1)T_e} uidt = T_e \sum_{j=0}^{N-1} u_j i_j \quad (4.3)$$

relație în care s-a presupus că în timpul  $t$  cît se măsoară energia se preleveză  $N$  eșantioane, adică:

$$(N-1)T_e < t \leq N T_e$$

In vederea calculului puterii sau energiei se procedează la cuantizarea eșantioanelor  $i_j, u_j$  înlocuindu-le cu valorile  $i_{qj}$  respectiv  $u_{qj}$  (cu indicele  $q$  s-a marcat doar faptul că valoarea în cauză este cuantizată - indicele  $q$  este numai un indice calitativ). Se obțin astfel estimările pentru putere și energetic sub formele:

$$\bar{P} = \frac{1}{N} \sum_{j=0}^{N-1} u_{qj} i_{qj}; \quad (N-1)T_e < t \leq N T_e \quad (4.4)$$

$$\bar{W} = T_e \sum_{j=0}^{N-1} u_{qj} i_{qj}; \quad (N-1)T_e < t \leq N T_e \quad (4.5)$$

Evident ambele operații - eșantionarea și cuantizarea - introduce erori în măsurarea puterii și a energiei. In anumite condiții însă, aceste erori pot fi făcute suficient de mici și cele două căstigări se acceptă în mod curent pentru măsurare.

In figura 1.2 se prezintă mărimile  $i_{(t)}, i_j$  și  $i_{qj}$

Pe baza relațiilor 4.4 și 4.5 se pot construi wattmetre sau contoare numerice cu multiplicare numerică.

In figura 4.3 este dată schema bloc a unui wattmetru numeric cu multiplicare numerică lucrînd după algoritmul clasic-algoritm ce asigură calculul conform relației 4.4. Impulsurile de eșantionare  $T_e$  asigură eșantionarea și memorarea mărimilor  $u_j$  și  $i_j$  ce se aplică convertoarelor analog-numerice CAN<sub>u</sub> rez-

pectiv  $CAN_j$ . Acestea furnizează un cod numeric binar  $NU_j$ , respectiv  $NI_j$ , cu  $n_u$  respectiv  $n_i$  cifre binare (dintre care una de semn).

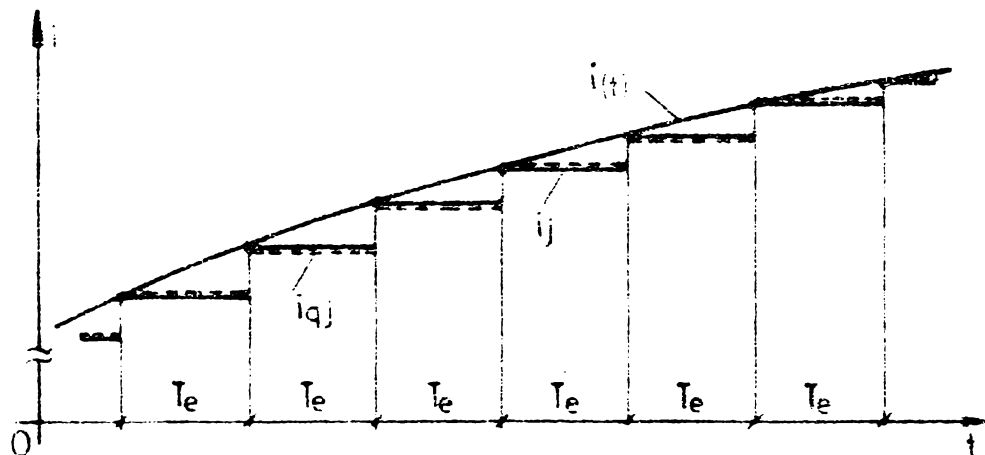


Fig.4.2

Evident dacă și îl sănt cuantele de tensiune și curent:

$$u_{qj} = NU_j \cdot \Delta u$$

$$i_{qj} = NI_j \cdot \Delta i$$

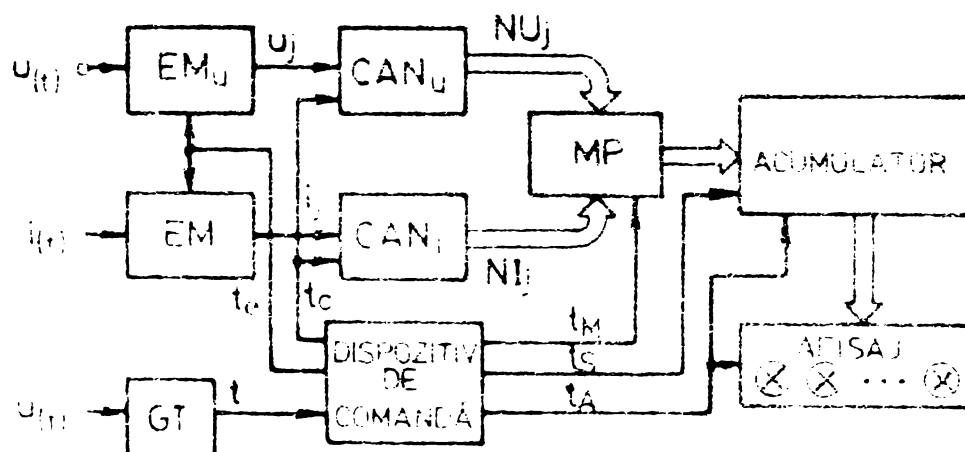


Fig.4.3

Declansarea conversiei se face după achiziție cu impulsurile  $t_c$ , decalate sufiicient față de  $t_e$  pentru a permite stabilizarea valorilor  $u_j, i_j$ .

Multiplicatorul numeric MP livrează la ieșirea sa un cod al produsului  $NU_j \cdot NI_j$ , cod ce are un număr de  $n_p + n_u + n_i$  cifre binare, dintre care una de semn. Multiplicatorul poate fi o schemă combinațională sau una secvențială (cel mai adesea). Schemele secvențiale au avantajul [89] de a fi mult mai simple dar sunt lente. Secvența de formare a codului produsului se declanșează cu impulsul  $t_k$  (figura 4.3).

Produsele succesiv obținute sunt însumate într-un acumulator. Sumarea se efectuează cu impulsul  $t_g$ . La încheierea unui ciclu de măsurare, pe o perioadă sau mai multe, se transferă conținutul acumulatorului în registrul tampon al dispozitivului de afișaj și cu același impuls -  $t_A$  - se anulează acumulatorul.

Dacă aparatul este destinat să lucreze într-un domeniu de variație a frecvenței fundamentalei semnalului relativ îngust se procedează la sincronizarea generatorului de tact, GT, cu  $u(t)$  asigurîndu-se prelevarea unui număr constant de eșantioane pe perioadă (se regleză automat  $T_g$  încît se satisfac relația  $NT_g = T$ ). Avantajul acestui mod de lucru asupra celuilalt, cînd se menține  $T_g$  constant și se numără eșantioanele prelevate în timp de o perioadă, este acela că factorul de scară este o constantă. Dacă însă fundamentală poate să-și modifice frecvența în limite largi se numără impulsurile ce cad într-o perioadă și se efectuează în final o împărțire.

Pe baza relației 4.5 se poate concepe un contor cu multiplicare numerică. Spre deosebire de wattmetru, contorul necesită doar stabilizarea perioadei impulsurilor  $t$  și anume  $T_g$  (nu este necesară sincronizarea sau numărarea). De asemenea nu se mai anulează acumulatorul iar afișajul este conectat direct la acesta fără a fi necesar un registru tampon.

In figura 4.3 nu sunt reprezentate transformatoarele de curent (gunturi) și de tensiune (divizoare) și nici sistemele de alimentare.

Așa că în cazul wattmetrelor și al contoarelor cu multiplicare numerică ce lucrează direct pe baza relațiilor 4.4 și 4.5 dispozitivul de multiplicare este elementul cel mai acombrant și scump, cu toate progresele integrării.

In vederea înlăturării acestui inconvenient autorul a elaborat doi noi algoritmi de calcul pentru estimarea puterii și a energiei. Acești noi algoritmi reușesc să înlăture operația de înmulțire în sensul înlocuirii ei cu operații de însumare, operații mai simplu de implementat în echipamentul de calcul.

#### 4.2. Noi algoritmi de calcul pentru putere și energie

Se scriu valorile eșantioanelor de curent successive sub forma:

$$i_{q1} = (i_{q0} + i_{q1}) - i_{q0}$$

$$i_{q2} = (i_{q0} + i_{q1} + i_{q2}) - (i_{q0} + i_{q1}) \dots$$

$$i_{qj} = \sum_{k=0}^j i_{qk} - \sum_{k=0}^{j-1} i_{qk} \quad j = 1, 2, \dots$$

Substituind în expresia estimării puterii (4.4) se obține:

$$\bar{P} = \frac{1}{N} \sum_{j=1}^{N-1} u_{qj} \left( \sum_{k=0}^j i_{qk} - \sum_{k=0}^{j-1} i_{qk} \right) + \frac{1}{N} u_{q0} i_{q0}$$

sau:

$$\begin{aligned} \bar{P} = \frac{1}{N} \sum_{j=1}^{N-1} u_{qj} \left( \sum_{k=0}^j i_{qk} \right) - \frac{1}{N} \sum_{j=1}^{N-1} u_{qj} \left( \sum_{k=0}^{j-1} i_{qk} \right) + \\ + \frac{1}{N} u_{q0} i_{q0} \end{aligned} \quad (4.6)$$

Cu schimbarea de indice de sumare  $r - 1 = j$  în prima sumă din 4.6 se poate scrie:

$$\begin{aligned} \bar{P} = \frac{1}{N} \sum_{r=2}^{N+1} u_{qr-1} \left( \sum_{k=0}^{r-1} i_{qk} \right) - \frac{1}{N} \sum_{j=1}^{N-1} u_{qj} \left( \sum_{k=0}^{j-1} i_{qk} \right) + \\ + \frac{1}{N} u_{q0} i_{q0} \end{aligned}$$

Revenind la indicele de sumare  $j$ :

$$\bar{P} = \frac{1}{N} \sum_{j=2}^{N+1} u_{qj-1} \left( \sum_{k=0}^{j-1} i_{qk} \right) - \frac{1}{N} \sum_{j=1}^{N-1} u_{qj} \left( \sum_{k=0}^{j-1} i_{qk} \right) + \frac{1}{N} u_{q0} i_{q0}$$

Se izolează ultimul termen din prima sumă și primul din a doua și deci:

$$\bar{P} = \frac{1}{N} \sum_{j=2}^{N-1} u_{qj-1} \left( \sum_{k=0}^{j-1} i_{qk} \right) - \frac{1}{N} \sum_{j=2}^{N-1} u_{qj} \left( \sum_{k=0}^{j-1} i_{qk} \right) +$$

$$+ \frac{1}{N} u_{qN-1} \left( \sum_{k=0}^{N-1} i_{qk} \right) - \frac{1}{N} u_{q1} i_{q0} + \frac{1}{N} u_{q0} i_{q0}$$

$$\bar{P} = \frac{1}{N} \sum_{j=2}^{N-1} \left[ (u_{qj-1} - u_{qj}) \cdot \left( \sum_{k=0}^{j-1} i_{qk} \right) \right] +$$

$$+ \frac{1}{N} (u_{q0} - u_{q1}) i_{q0} + u_{qN-1} \frac{1}{N} \sum_{k=0}^{N-1} i_{qk}$$

In final această relație devine:

$$\begin{aligned} \bar{P} &= \frac{1}{N} \sum_{j=1}^{N-1} \left[ (u_{qj-1} - u_{qj}) \cdot \left( \sum_{k=0}^{j-1} i_{qk} \right) \right] + \\ &+ u_{qN-1} \frac{1}{N} \sum_{k=0}^{N-1} i_{qk} \end{aligned} \quad (4.7)$$

Se notează diferența celor două egantioane cuantizate, succesive, ale tensiunii cu:

$$\Delta u_j = u_{qj-1} - u_{qj}$$

și estimarea 4.7 se poate pune sub forma:

$$\bar{P} = \frac{1}{N} \sum_{j=1}^{N-1} \left[ \Delta u_j \cdot \left( \sum_{k=0}^{j-1} i_{qk} \right) \right] + u_{qN-1} \bar{M}(i_q) \quad (4.8)$$

unde cu  $\bar{M}(i_q)$  s-a notat estimarea, pe un volum de selecție cu dimensiunea  $N$ , a mediei curentului cuantizat. Această medie aproximativă (cu o precizie bună după cum se va vedea) media pe o perioadă a curentului. Pentru rețelele de curent alternativ, în care componenta continuă a curentului este nulă, se poate neglija ultimul termen al relației 4.8. Dacă curentul ar avea componentă continuă iar tensiunea nu, relația 4.8 s-ar scrie sub forma în care ar apărea diferențe de curent și sume de tensiuni.

Propun în consecință utilizarea estimării pentru putere sub forma:

$$\tilde{P} = \frac{1}{N} \sum_{j=1}^{N-1} \left[ \Delta u_j \cdot \left( \sum_{k=0}^{j-1} i_{qk} \right) \right] \quad (4.9)$$

Evident:

$$\tilde{P} = \bar{P} - u_{qN-1} \cdot \bar{M}(i_q) \quad (4.10)$$

Cu notația  $\Delta u_j = \Delta u \cdot N \delta_j$ , unde  $N \delta_j$  este codul corespunzător diferenței codurilor eșantioanelor de tensiune:

$$N \delta_j = N \delta_{j-1} - N \delta_j$$

expresia estimării 4.9 ia forma:

$$\tilde{P} = \frac{\Delta u \cdot \Delta i}{N} \sum_{j=1}^{N-1} \left[ N \delta_j \cdot \left( \sum_{k=0}^{j-1} M_k \right) \right] \quad (4.11)$$

In cazul în care se urmărește calculul estimării energiei active, pornind de la relația 4.3 se obține:

$$\bar{W} = T_e \sum_{j=1}^{N-1} \left[ \Delta u_j \cdot \left( \sum_{k=0}^{j-1} i_{qk} \right) \right] + u_{qN-1} T_e \sum_{k=0}^{N-1} i_{qk} \quad (4.12)$$

Cu aceleasi notatii ca și în cazul puterii, relația 4.12 se transcrie în forma:

$$\begin{aligned} \bar{W} = T_e \Delta u \Delta i & \sum_{j=1}^{N-1} \left[ N \delta_j \cdot \left( \sum_{k=0}^{j-1} M_k \right) \right] + \\ & + T_e \Delta u \Delta i \cdot N u_{qN-1} \cdot \sum_{k=0}^{N-1} M_k \end{aligned} \quad (4.13)$$

In relațiile 4.12 și 4.13 s-a presupus că estimarea energiei se face pentru un timp  $t \approx NT_e$ .

Propun ca estimare a energiei active numai primul termen al relației 4.13 (după cum se va vedea pentru rețelele fără componentă continuă al doilea termen este neglijabil în comparație cu primul) și anume:

$$\tilde{w} = T_e \Delta u \Delta i \sum_{j=1}^{N-1} \left[ MUD_j \left( \sum_{k=0}^{j-1} MI_k \right) \right] \quad (4.14)$$

În estimările nou introduse, 4.11 și 4.14, s-a presupus că se cuantizează atât eșantioanele de curent cît și cele de tensiune. Acestea din urmă se scad două cîte două, după ce au fost cuantizate. Există și posibilitatea cuantizării directe a diferențelor eșantionelor succesive de tensiune.

Pornind de la relația 4.2 și presupunind că se cuantizează numai curentul, eșantioanele de tensiune rămînind sub formă analogică se determină:

$$\begin{aligned} \hat{P} = & \frac{1}{N} \sum_{j=1}^{N-1} \left[ (u_{j-1} - u_j) \cdot \left( \sum_{k=0}^{j-1} i_{qk} \right) \right] + \\ & + u_{N-1} \frac{1}{N} \sum_{k=0}^{N-1} i_{qk} \end{aligned} \quad (4.15)$$

Aplicînd unui convertor analog-numeric diferența eșantioanelor de tensiune  $u_{j-1} - u_j$  aceasta furnizează codul  $MUD_j$

$$(u_{j-1} - u_j)_q = \Delta u \cdot MUD_j$$

Retîrind numai primul termen din relația 4.15 se introduce estimăria pentru putere:

$$\tilde{P} = \frac{\Delta u \cdot \Delta i}{N} \sum_{j=1}^{N-1} \left[ MUD_j \left( \sum_{k=0}^{j-1} MI_k \right) \right] \quad (4.16)$$

În mod similar estimăria 4.3 pentru energie conduce la:

$$\hat{w} = T_e \sum_{j=1}^{N-1} \left[ (u_{j-1} - u_j) \left( \sum_{k=0}^{j-1} i_{qk} \right) \right] + T_e u_{N-1} \sum_{k=0}^{N-1} i_{qk} \quad (4.17)$$

și cuantizînd diferența eșantioanelor de tensiune și reținînd numai primul termen din relația 4.17:

$$\tilde{w} = T_e \Delta u \cdot \Delta i \sum_{j=1}^{N-1} \left[ MUD_j \left( \sum_{k=0}^{j-1} MI_k \right) \right] \quad (4.18)$$

tempal pentru care se determină energia fiind  $t \approx NT_e$

#### 4.2.1. Prinul algoritm de calcul pentru putere

Estimarea 4.11 permite elaborarea unui algoritm de calcul pentru putere și construirea unei scheme de wattmetru ca în figura 4.4.

Ideeua de la care se porneste este aceea că înmulțirea

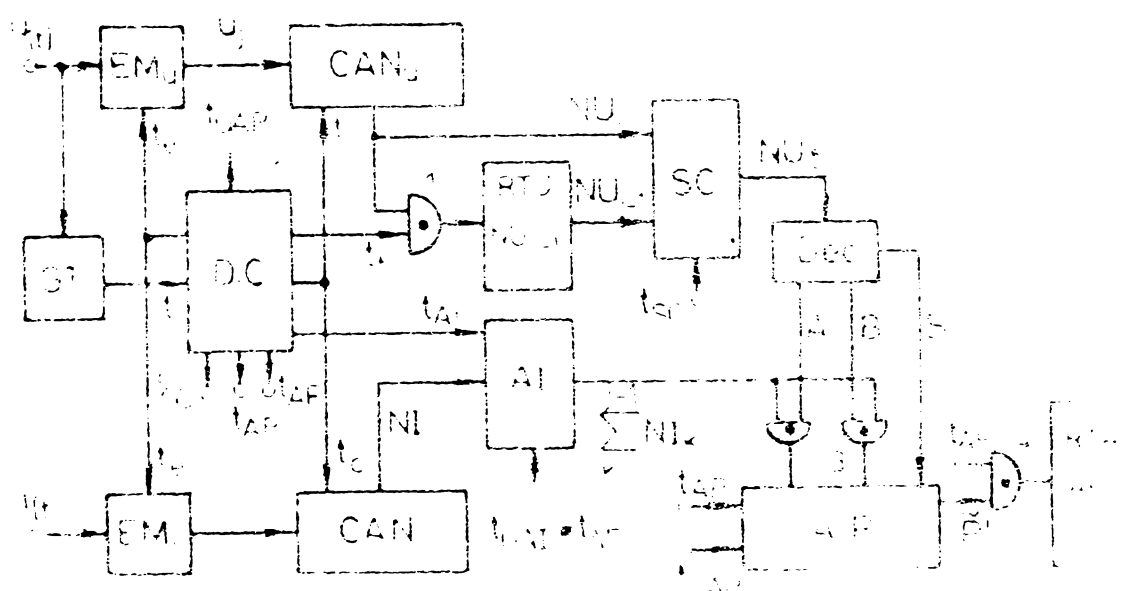


Fig. 4.4

cu  $0, \pm 1$  și  $\pm 2$  este foarte simplă ca și implementare hardware.

Se alege astfel perioada de eşantionare încât diferența între două eşantioane de tensiune cuantizate să fie cel mult  $\pm 2\Delta u$ . Pentru o tensiune sinusoidală,  $u = U_m \sin \omega t$ , panta acestaia este:

$$\frac{du}{dt} = U_m \cdot \frac{2\pi}{T} \cos \omega t \quad (4.19)$$

iar valoarea sa maximă impune perioada de eşantionare prin relația evidentă:

$$2\pi \frac{T}{T} U_m \leq 2\Delta u$$

numărul de eşantioane ce trebuie prelevate într-o perioadă  $T$  este:

$$N \geq \pi \cdot \frac{U_m}{\Delta u} \quad (4.20)$$

Funcționarea dispozitivului propus în figura 4.4 este conformă cu relația 4.11. Se eșantionează cu impulsurile  $t_e$  de durată  $T_e$  și perioadă  $T_e$  tensiunea și curentul, obținindu-se eșantioanele  $u_j$  respectiv  $i_j$ , ce se cuantizează în  $CAN_u$  și  $CAN_i$ , convertor bipolar. Demararea conversiei (XCV) se face cu impulsurile  $t_c$ . În registrul tampon RFU se află înscrisă valoarea anterioară a codului livrat de  $CAN_i$  și anume  $MU_{j-1}$ . Scăzătorul DC efectuează scăderea între codul existent în temporul  $MU$  și actualul rezultat al conversiei,  $MU_j$ . Rezultatul scăderii efectuate,  $MU\delta_j = MU_{j-1} - MU_j$ , prin decodificatorul DC comandă lucrul format de portile 1 și 2 și 3. Astfel, dacă rezultatul scăderii este +1, bara A validează portile 2 și suma de curenti formată în AP se aplică, nedeplasată, acumulatorului AP în vederea formării, în final, a unui cod proporțional cu puterea activă. Dacă rezultatul scăderii este +2 numai bara B este activă, se validează portile 3 și suma de curenti se aplică deplasată cu un rang, spre rangurile mai semnificative ale acumulatorului AP, ceea ce echivalează cu o adunare a sumei de curenti înmulțită cu 2. Dacă diferența este nulă cele 3 bare A, B și S sunt la potentialul de 0 logic și deci nu se adună în AP nimic, ceea ce corespunde la adunarea unei cantități înmulțite cu zero. În mod similar se petrec lucrurile cînd diferența este de -1 și -2, caz în care, pe lîngă barele A respectiv B se activează și bara S determinînd operația de scădere. Evident operația efectivă din AP depinde [69] atât de semnul lui  $MU\delta_j$  cît și de semnul sumei de curenti  $\sum_{k=0}^{M-1} M_k$ .

Îndată cu operația de înmulțire în AP se efectuează însumarea codului  $MU_j$  generat de  $CAN_i$  în acumulatorul AI, noua sumă urmînd să fie utilizată la viitoarea eșantionare. Operația este sincronizată de  $t_{AI}$ . Simultan cu formarea diferenței  $MU\delta_j$ , sincronizată de  $t_{DC}$ , se încarcă în TU (sincronizat cu  $t_t$ ) codul  $MU_j$ . Este pregătită astfel o nouă etapă ce începe cu eșantionarea, generarea codurilor  $MU_{j+1}$  și  $MU_{j+1}$ , etc.

În acumulatorul AP se formează un cod ce este proporțional cu puterea activă, factorul de proporționalitate fiind  $(\Delta u \Delta i)/I$ . Sincronizarea însumărilor în AP este asigurată de  $t_{AP}$ .

După N succesiuni de tipul descris, cu impulsul  $t_{AF}$  se încarcă registrul tampon al afişajului - RTA - și se anulează acumulatorul AP.

Dispozitivul de comandă primește tactul  $t$  de frecvență  $N \cdot f$  - unde  $f$  este frecvența fundamentală rețelei - livrat de generatorul GT sincronizat de tensiunea rețelei. Structura

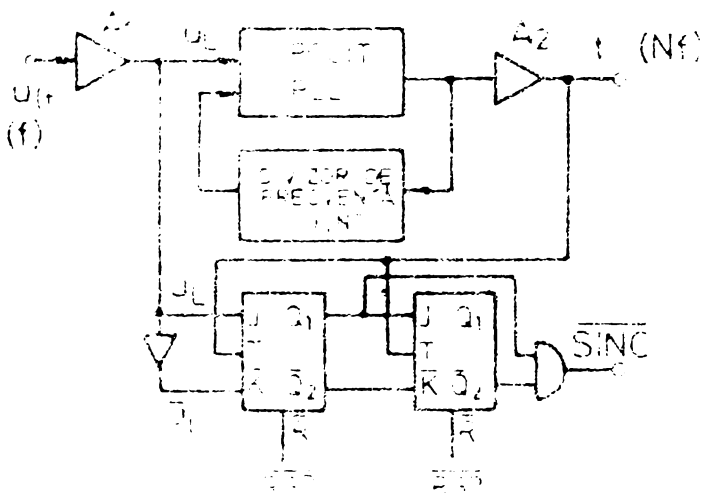


Fig. 4.5

iesire se generează tactele  $t$  cu frecvență  $Nf$ . Dacă factorul

generatorului este cea din figura 4.5. El se compune dintr-un amplificator limitator A1 ce formează un semnal  $u_L$ , TTL compatibil (vezi croneograma din figura 4.6). Acest semnal se aplică unui circuit cu calare de fază [67] (PLL).

In bucla de reacție a circuitului PLL se conectează un divisor de frecvență cu  $N$  (un numărător modulo  $N$ ), astfel că la

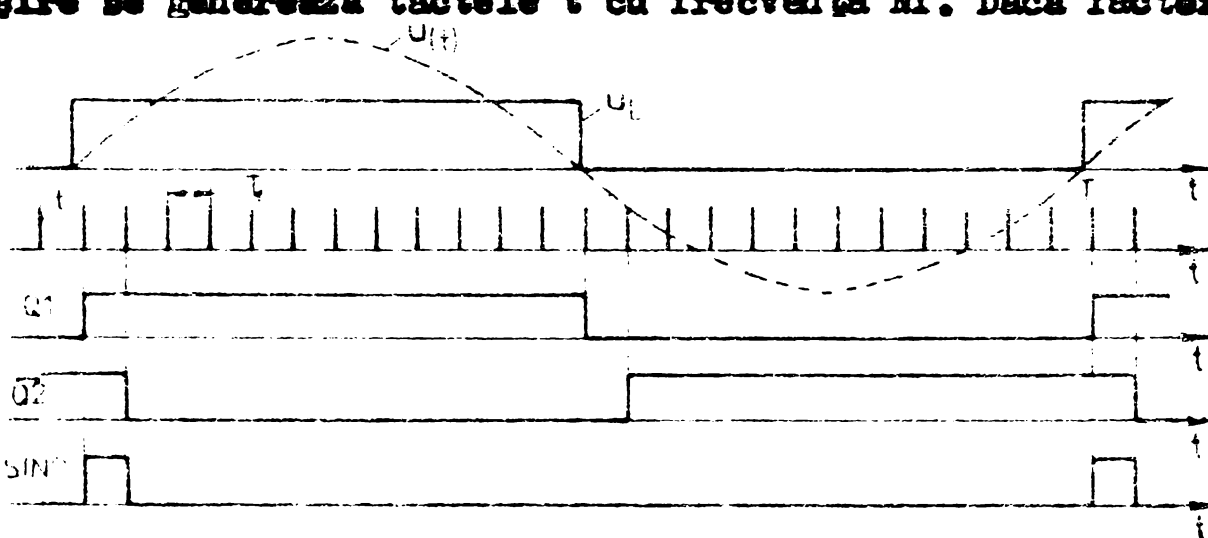


Fig. 4.6

de multiplicare al frecvenței este prea mare, se recomandă conectarea în cascadă a mai multor circuite PLL ca efectuează divizarea cu  $N_1, N_2, \dots, N_k$ , astfel alesă încât semnalele generate să fie stabilă ca perioadă și  $N = N_1 \cdot N_2 \cdot \dots \cdot N_k$ .

In vederea detectării unui moment favorabil inceperei măsurării, se formează semnalul SINC, semnal ce durează cît o perioadă de eșantionare (figura 4.5 și 4.6).

In figura 4.7 a se prezintă croneograma semnalelor ce sincronizează operațiile în aparat precum și stările registratorilor RTU, AI, AP, SC(MUδ). Sunt marcate și momentele în care se

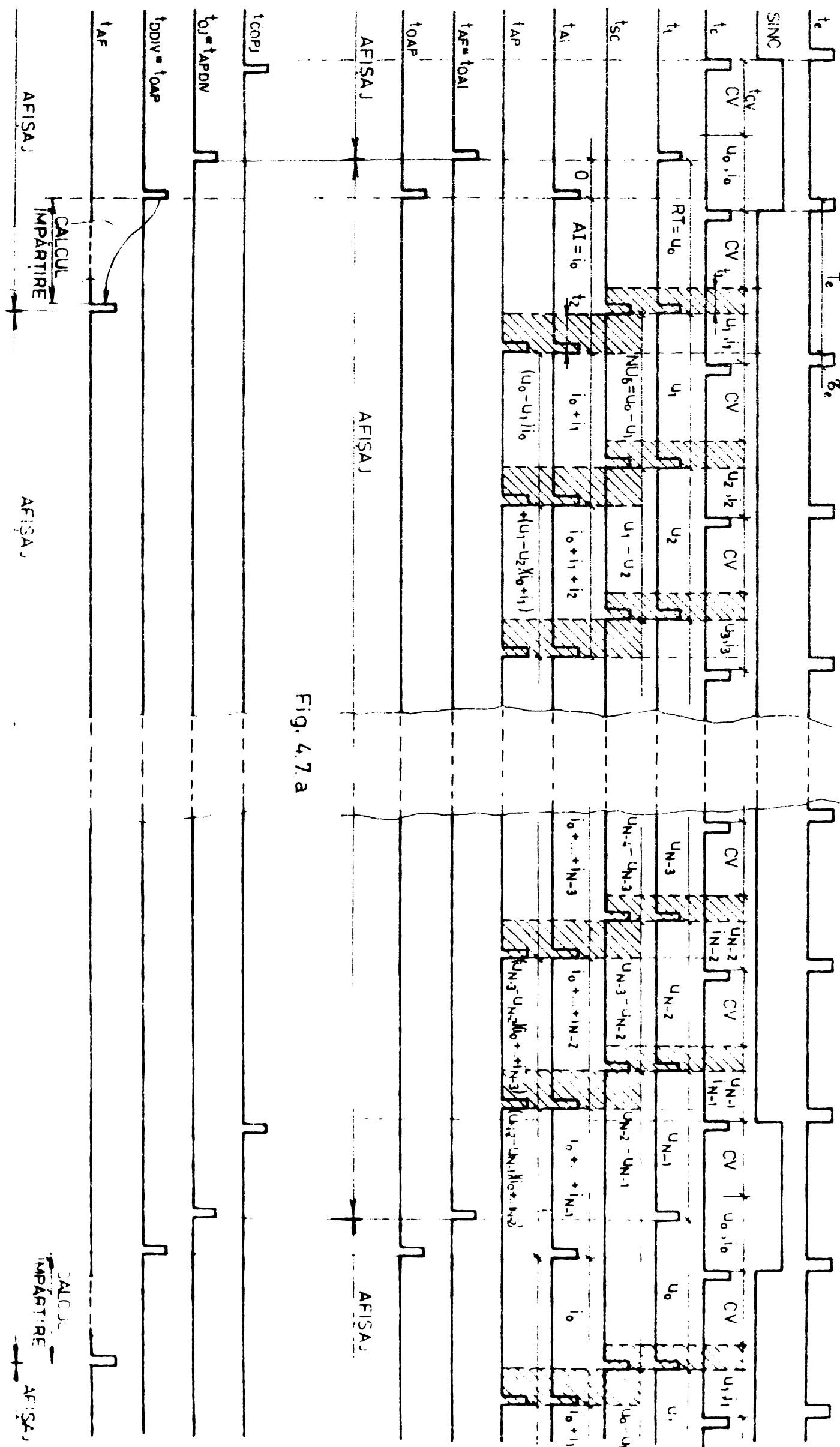


FIG. 4.7.a

produce modificarea stării afişajului.

In vederea simplificării funcționale, tactul t se poate face de durată  $\tau_e$  reprezentând astfel chiar impulsul aplicat circuitelor EM. In DC se formează succesiunea de impulsuri din figura 47 a, toate de durată  $\tau$ . Cîteva corelații simple între durate se pot scrie imediat în baza cronogramei din figura 4.7. Pentru formarea diferenței  $U_2 - U_1$  și propagarea transferului este necesar un timp  $\tau_{SC}$  impus de calitatea scăzătorului. Rezultă inegalitatea:

$$\tau_{SC} \leq t_1 - \tau$$

Pe de altă parte formarea sumelor  $\sum NI$  și  $\sum [U_j(\sum NI)]$  precum și propagarea transferurilor necesită timpuri  $\tau_{AI}$  respectiv  $\tau_{AP}$ . Datorită (după cum se va vedea) lungimii mai mari a acumulatorului AP,  $\tau_{AP} > \tau_{AI}$  (în aceeași tehnologie). În consecință este necesar ca:

$$\tau_{AP} \leq t_2 - \tau$$

In fine, toate operațiile trebuie să se încheie într-o perioadă de eşantionare și deci:

$$T_e \min \geq t_{cv} + t_1 + t_2$$

unde  $T_e \min$  corespunde semnalului  $u_{(t)}$ ,  $[i_{(t)}]$ , de frecvență maximă (reamintesc că este vorba de un sistem sincronizat ce prelevează același număr de eşantioane din semnale cu frecvență fundamentală cuprinsă între două limite  $f_{\min}$  și  $f_{\max}$  de exemplu  $40 \div 60$  Hz).

Ordinograma algoritmului după care lucrează aparatul din figura 4.4 este cea din figura 4.8. Un comutator "stop" (COMST) poate opri funcționarea aparatului, afişajul menținind ultima valoare măsurată. Bascularea comutatorului COMST nu influențează un ciclu de măsurare în curs, trecerea în starea STOP făcîndu-se numai după terminarea acestuia. Repornirea (START) se obține la COMST=0.

In figura 4.7 b sunt reprezentate și semnalele suplimentare livrate de DC cînd se lucrează cu  $T_e$  constant și se

numără eșantioanele  $N$  ce se prelveează într-o perioadă a fundamentaliei.

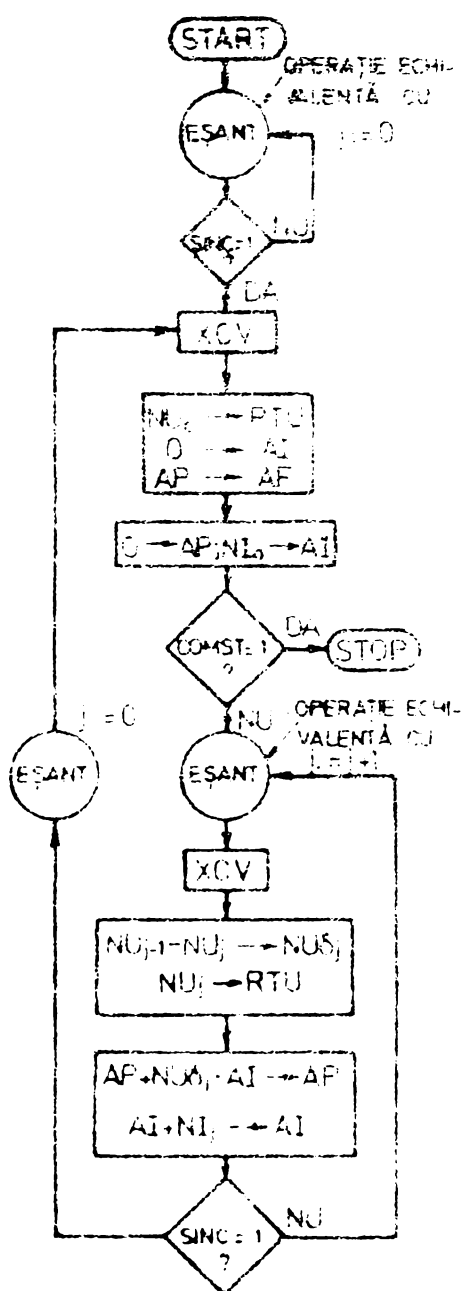


Fig. 4.8

Este necesară prezența unui contor suplimentar,  $J$ , ce numără impulsurile de eșantionare. În cursul etapei de începere a unui nou ciclu ( $SINC=1$ ) se transferă conținutul numărătorului  $J$  într-un registru tampon cu impulsul  $t_{COP} J$  și apoi se amânează (numărătorul) cu  $t_{0J}$ , impuls ce transferă conținutul lui AP și inițiază o secvență de împărțire într-o schemă atașată. Schema ce realizează împărțirea conținutului lui AP la valoarea  $N$ , transferă cu  $t_{AP}$  rezultatul calculului în sistemul de afisaj. Menționez că nici unul din organele ce asigură lucrul cu  $N$  variabil nu a fost reprezentat în figura 4.4.

O simplificare a structurii din figura 4.4 se poate obține prin utilizarea modulației delta, caz în care, la o corectă alegere a cuantei și a frecvenței de eșantionare, diferența între două eșantioane succesive este cel mult  $\pm \Delta u (\pm \Delta i)$ . Este necesar să se satisfacă relațiile:

$$U_m \cdot 2 \pi \frac{T}{T} \leq \Delta u$$

$$I_m \cdot 2 \pi \frac{T}{T} \leq \Delta i$$

adică numărul de eșantioane prelevat în  $T$  satisfac relația:

$$N \geq \max \left\{ 2 \pi \frac{U}{\Delta u}, 2 \pi \frac{I}{\Delta i} \right\}$$

Principalul dezavantaj al schemei este acela că frecvența de eșantionare necesară este dublă față de cazul anterior, dezavantaj compensat însă de marea sa simplitate. Schema bloc a wattmetrului cu modulație delta este ce din figura 4.9.

Wattmetrul se compune din două modulatoare delta, dintre care cel pentru curent lăvresă chiar codul NI al curentului.

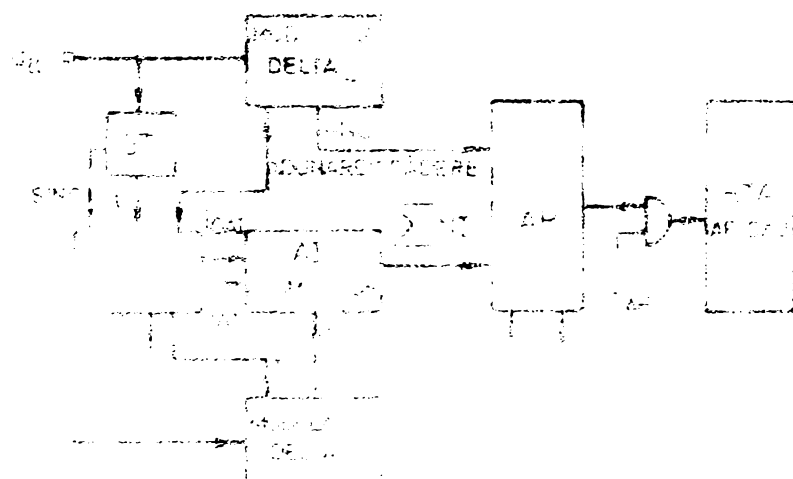


Fig. 4.9

Modulatorul pentru tensiune lăvresă numai diferența dintre două egantioane succesive  $u_{qj} - u_{qj-1} = -NU\delta_j$ , diferență ce, astfel scrisă, poate fi doar +1 sau -1.

Accumulatorul AI insumează egantioanele de curent succeseive obținindu-se sume ce se adună la, sau se scad din, conținutul accumulatorului AP după cum  $NU\delta = +1$  sau respectiv  $NU\delta = -1$ . Operația efectivă ce se realizează depinde și de semnul sumei din AI (pentru  $NU\delta = +1$  și  $\sum AI > 0$  se realizează efectiv o adunare iar pentru  $NU\delta = -1$  și  $\sum AI < 0$  se realizează efectiv o scădere etc.).

In figura 4.10 se prezintă cronoograma semnalelor de sincronizare. Sunt date și semnalele necesare în cazul în care schema din figura 4.9 ar fi completată cu organele care î-i permit să lucreze la  $E$  variabil.

Este de menționat lipsa circuitelor de eșantionare și memorare, circuite ce nu sunt necesare, eșantionarea și memorarea fiind intrinseci modulatorului delta. Această posibilitate de a omite circuitele EM, ieftinește mult schema.

Este necesar ca timpul de lucru al accumulatorului AP,  $T_{AP}$ , să satisfacă relația:

$$T_{AP} + T_e + T \leq T_{e \text{ min}}$$

In cazul unor cuantizări fine viteza de lucru a accumulatorului trebuie să fie mare, ceea ce poate scăpa schema.

Oricum existența circuitelor integrate pentru transportul anticipat rezolvă problema vitezai în cazurile normale.

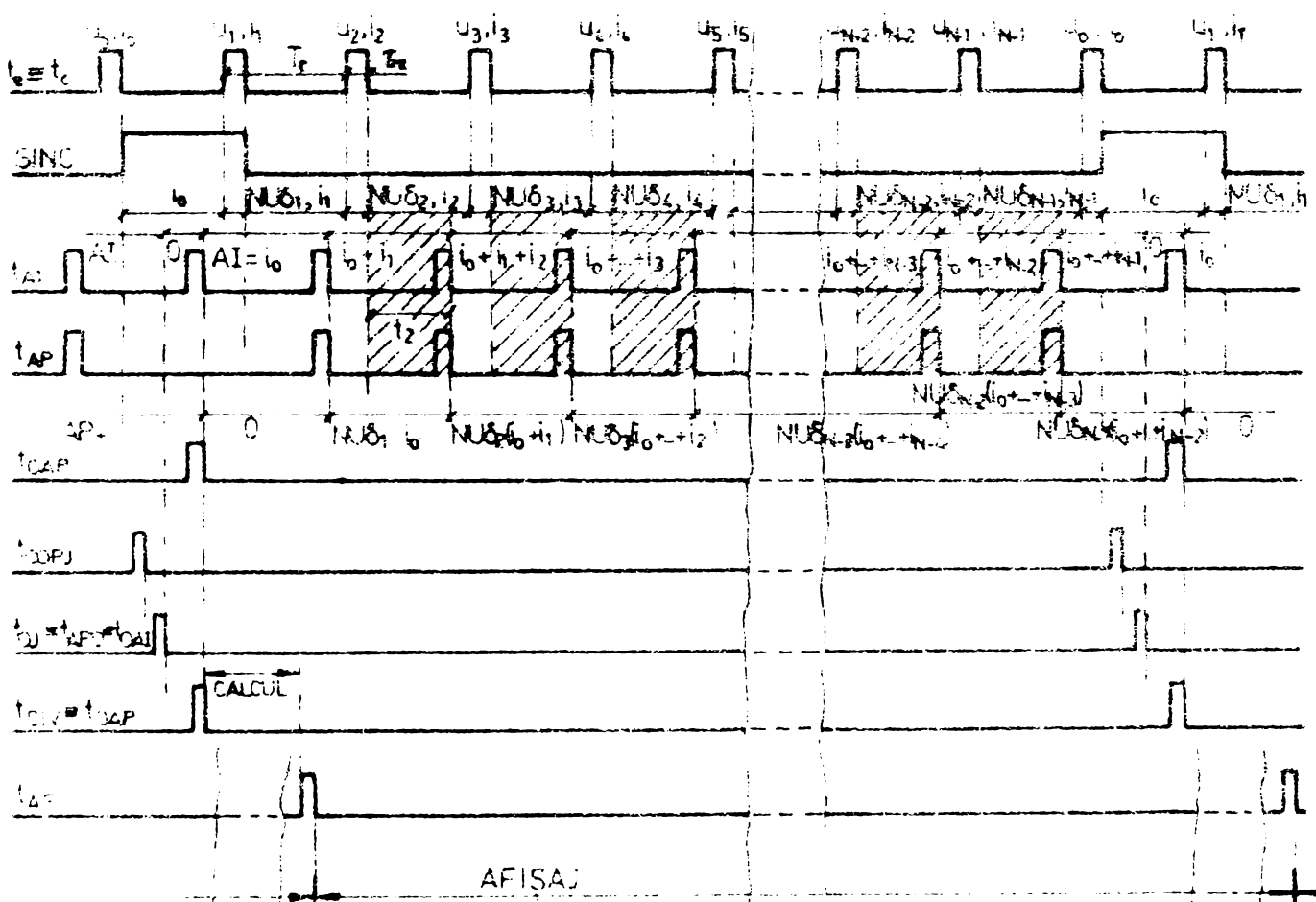


Fig. 4.10

Ordinograma de lucru a wattmetrului cu modulație delta este cea din figura 4.11.

#### 4.2.2. Al doilea algoritm de calcul pentru putere.

După cum s-a văzut, primul algoritm asigură calculul estimării  $\tilde{P}$  (relația 4.11). Al doilea algoritm asigură calculul estimării  $\tilde{\tilde{P}}$  (relația 4.16). Avantajul acestui algoritm, făcă de cel anterior prezentat, constă în simplificarea structurii convertorului analog-numeric ce livrează diferențe eșantionelor successive de tensiune,  $MId$ , diferență analogică ce se cuantisează. Precizia de măsurare este însă inferioară primului algoritm.

Dacă primul algoritm cuantizează fiecare eșantion de tensiune și calculează diferențele, ulterior, al doilea algoritm

cuantizează direct diferența:

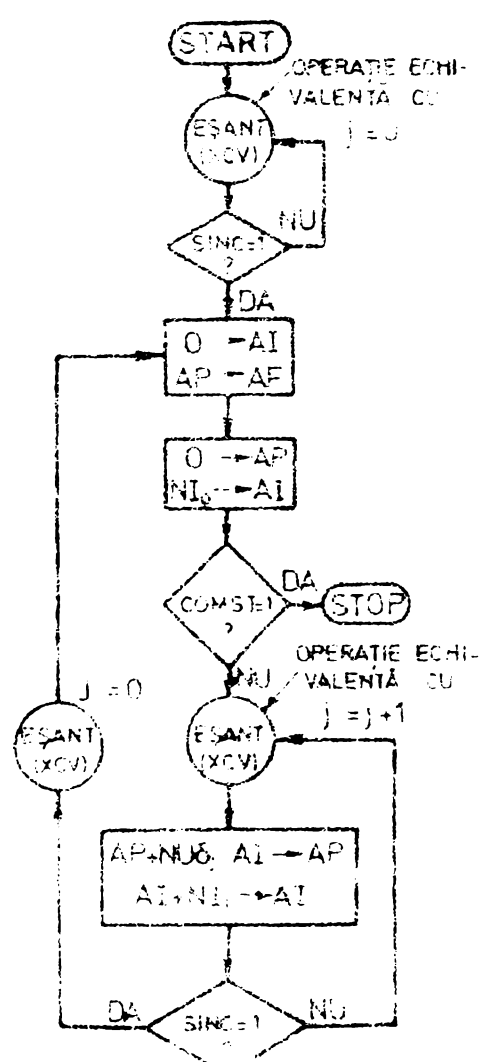


Fig. 4.13

$$\mathcal{F}_{\mathbf{u}_j} = \mathbf{u}_{j+1} - \mathbf{u}_j$$

cu ajutorul unui convertor avind caracteristica de transfer prezentă în figura 4.12.

Diferențele NUS, ce apar utilizând un cuantizor cu 6 nivele, ca cel din figura 4.12a, conduce la înmulțirea cu  $\pm 1/4$ ,  $\pm 1$  și  $\pm 2$  operații, după cum s-a mai afirmat, ușor de implementat.

Diferența maximă ce poate apărea, între două eșantiosane de tensiune successive este:

$$|u_{j-1} - u_j| \leq 3\Delta u$$

Din panta maximă a semnalului de cuantizat și diferența maximă admisă se determină ușor frecvența de eșantionare necesară. După cum se vede în capitolul 6, cuanta poate fi relativ mare și deci frecvența de eșan-

**tienare scăzută.**

In figura 4.13 se prezintă schema bloc a unui wattmetru

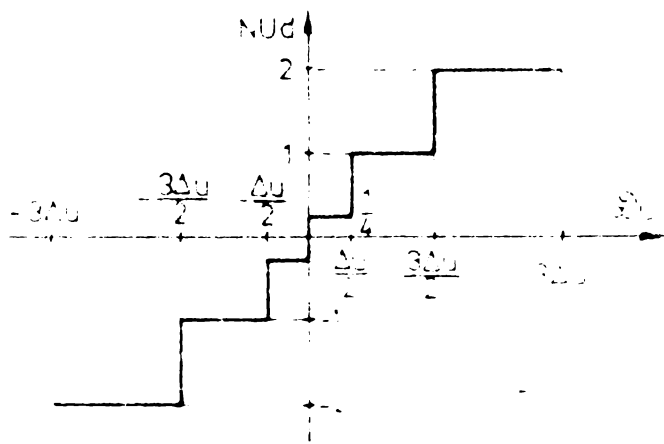


Fig. 4-12

ce încreștează după al doilea algoritm și cuantizează diferențele cu 6 nivele. Pentru eșantionarea tensiunii sunt prevăzute două

circuite de egantionare și memorare,  $EM_{u1}$  și  $EM_{u2}$  comandate pe rind. Un amplificator diferențial AD cu amplificare 1

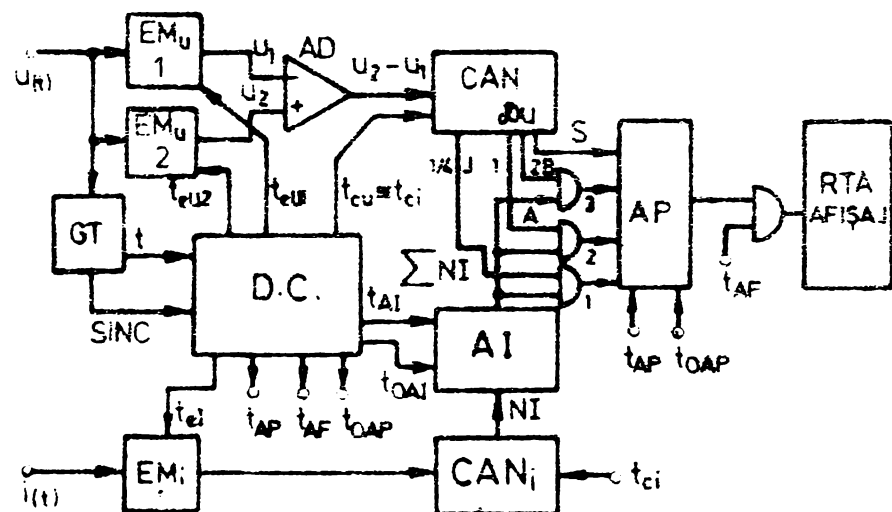


Fig. 4.13

realizează diferența  $u_2 - u_1$  ce se aplică (figura 4.14) unui convertor paralel [52].

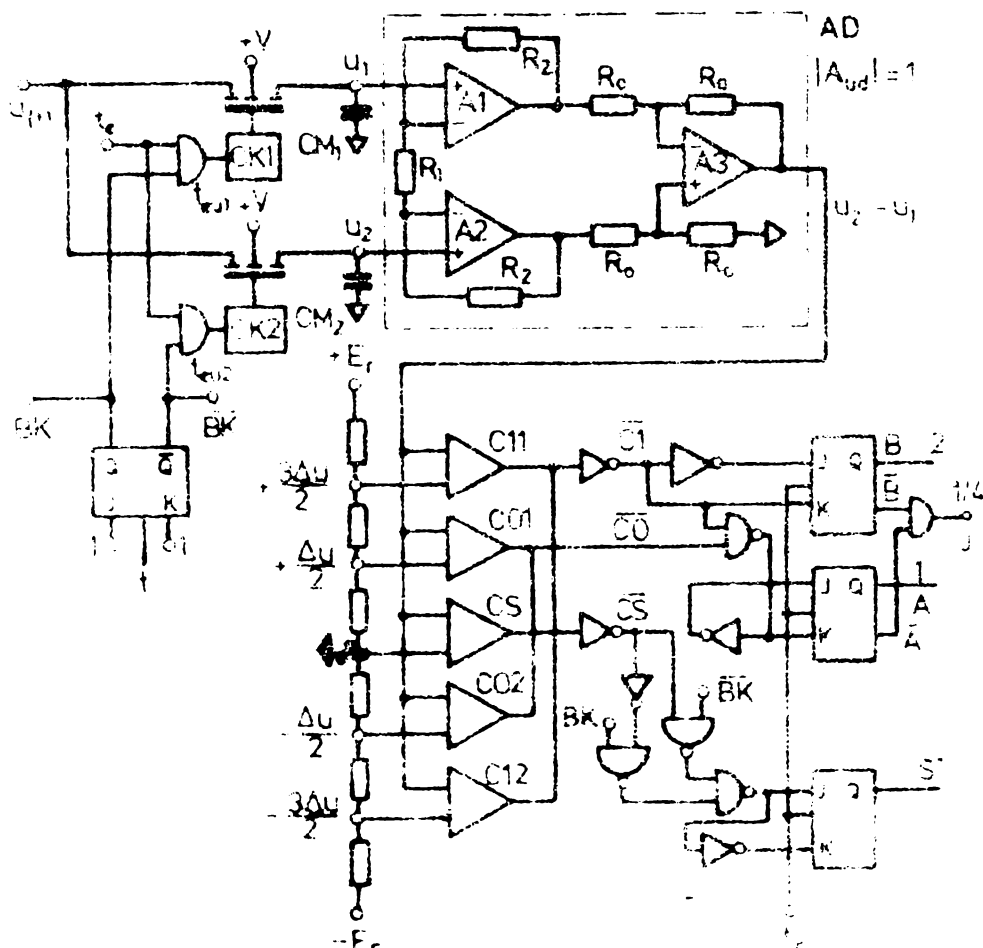


Fig. 414

Converterul paralel este compus din 2 comparatoare duble C1(C11-C12), C0(C01-C02) și un comparator simplu CS. O rețea de rezistențe și două surse de referință generează potențialele

corespunzătoare punctelor de frângere ale caracteristicii de transfer. Starea logică a iesirii comparatoarelor se poate urmări, relativ la caracteristica de transfer, în figura 4.15.

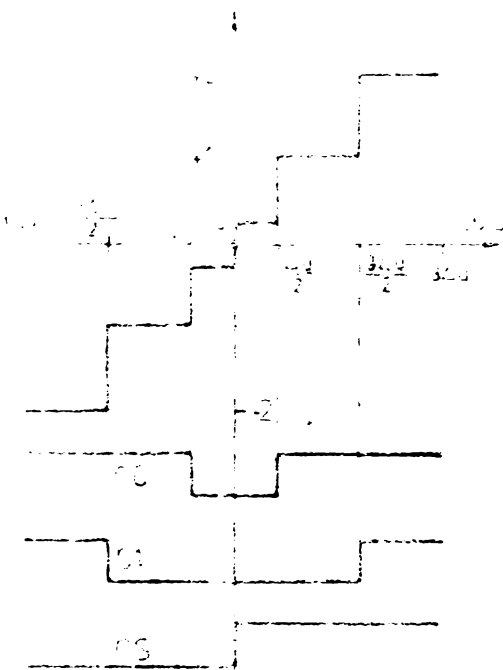


Fig. 4.15

Un codificator generează semnalele ce se inscriu în bistabilele A, B și S cu tactul de conversie pentru diferența tensiunii,  $t_{cvu}$ .

Cronograma semnalelor de sincronizare ce trebuie livrate de către dispozitivul de comandă DC este cea din figura 4.16.

Bistabilul BK este basculat cu impulsurile de eşantionare ale curentului,  $t_{cv1}$ . Când  $BK = 1$  se aplică impulsuri de eşantionare cheii K1 (din  $EM_{u_1}$ ) iar cînd  $BK=0$  se aplică impulsuri de eşantionare cheii K2 (din  $EM_{u_2}$ ). Cum amplificatorul diferențial AD furnizează la ieșirea sa

diferența  $u_2 - u_1$ , rezultă (vezi fig.4.16) că atunci cînd  $BK = 0$  diferențele necesită de relația de estimare au sensul corect iar cînd  $BK = 1$ , cu sens opus. În consecință, cînd  $BK = 0$ , în bistabilul S este acționat convertorul paralel (figura 4.14) se inscrie semnal livrat de convertor, iar cînd  $BK = 1$ , se inscrie în S complementul semnului (ceea ce echivalează cu o înmulțire cu  $-1$ ).

Dacă  $t_{cvu}$  este timpul ce trece între terminarea impulsului de eşantionare și stabilizarea iesirilor comparatoarelor,  $t_{cv1}$  durata conversiei curentului,  $\tau_{AI}$  și  $\tau_{AP}$  timpii de propagare a transferurilor și formare a sumelor la acumulatorile AI respectiv AP ( $\tau_{AP} > \tau_{AI}$ ) se impun relațiile:

$$t_1 = \tau \geq \tau_{AI}$$

$$t_2 = \tau \geq \tau_{AP}$$

$$T_{e \min} \geq \max \left\{ (\tau_0 + t_{cv1} + t_1); (\tau_0 + t_{cvu} + \tau + t_2) \right\}$$

unde  $\tau$  este durata impulsurilor de sincronizare.

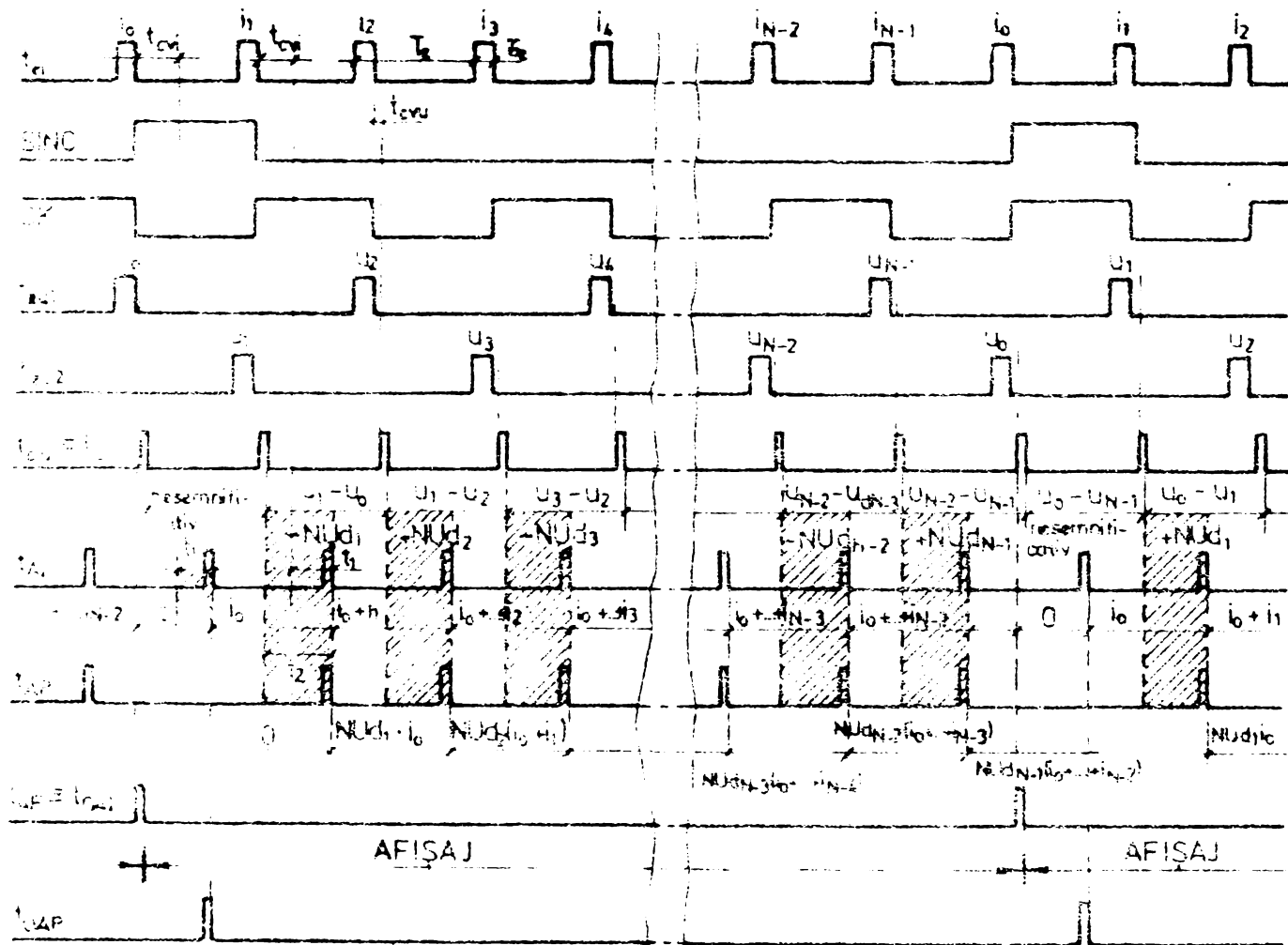


Fig. 4.16

Operatiile ce se execută de către acumulatorul AP în cazul unei scheme ce utilizează cuantizarea cu 6 nivele sunt prezentate, funcție de J,A,B și S, în tabelul 4.1. Multiplicarea

Tabelul 4.1

J A B S	Operatiunea se execută
1 0 0 0	$AP + 1/4 \cdot AI \rightarrow AP$
1 0 0 1	$AP - 1/4 \cdot AI \rightarrow AP$
0 1 0 0	$AP + AI \rightarrow AP$
0 1 0 1	$AP - AI \rightarrow AP$
0 0 1 0	$AP + 2AI \rightarrow AP$
0 0 1 1	$AP - 2AI \rightarrow AP$

cu 2 se obține prin deplasarea conținutului lui AI cu un rang spre cele mai semnificative iar multiplicarea cu 1/4 prin deplasarea cu 2 ranguri spre cele mai puțin semnificative.

#### 4.2.3. Primul algoritm de calcul pentru energie

Relația 4.14 permite calculul energiei. În cazul în care

se cuantizează egaleșanale și se calculează diferențele succeseive, limitându-le la maximum 2, se obține schema din figura 4.17 (similară cu cea din figura 4.4).

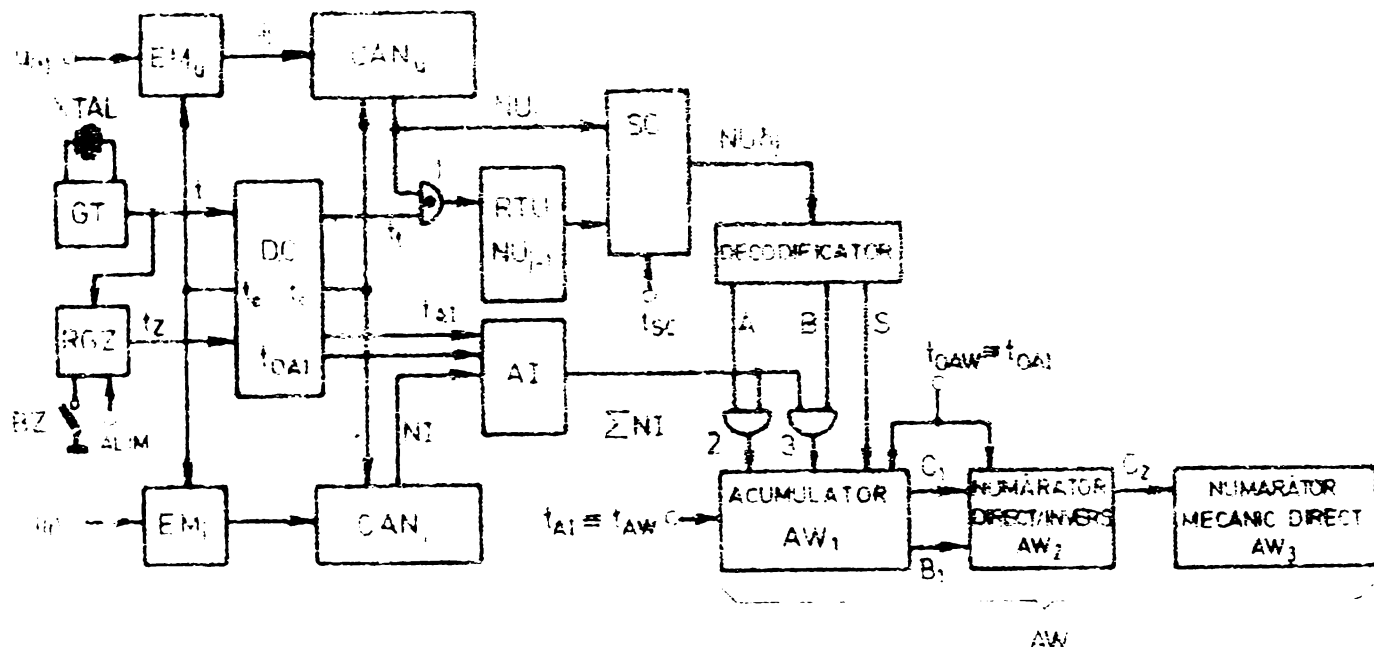


Fig. 4.17

Acumulatorul AW este format dintr-un acumulator propriu-zis, AW<sub>1</sub>, care permite însumarea cantității din AW cu produsele formate, urmat de un numărător direct invers AW<sub>2</sub>. Aceste realizează

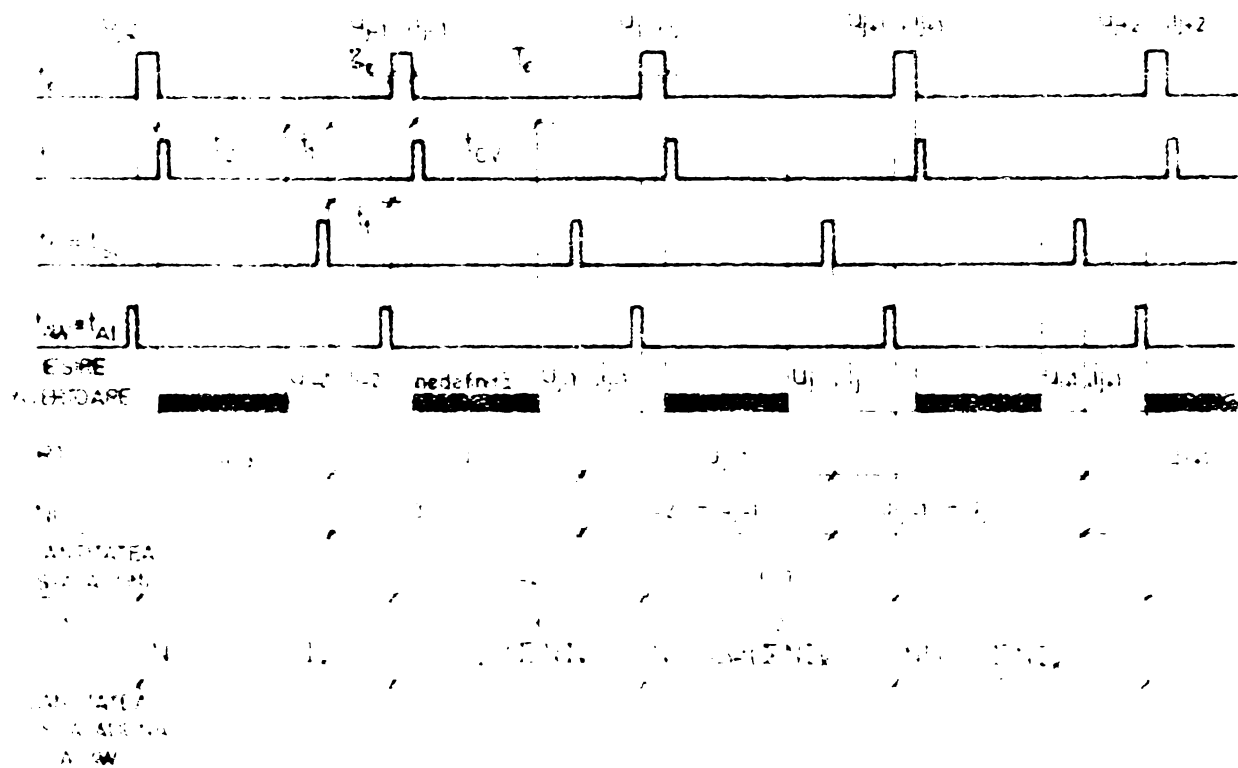


Fig. 4.18

divizarea frecvenței transportului (C1) sau împrumutului (B1) generat de AW<sub>1</sub> pînă la valori compatibile cu funcționarea unui

numărător mecanic direct,  $AW_3$ . Transportul C2 acționează (indirect) asupra mecanismului de numărare.

Algoritmul de lucru al sistemului acumulator-numărător electronic direct/invers, ansamblul  $AW_1 - AW_2$ , presupune reprezentarea în cod complement de doi a numerelor generate de convertorul de curent și deci și a cantităților din acumulatorul de curent AI și din  $AW_1 - AW_2$ . În tabelele 4.3 și 4.4 se prezintă algoritmul elaborat de autor iar în figura 4.19 structura acumulatorului.

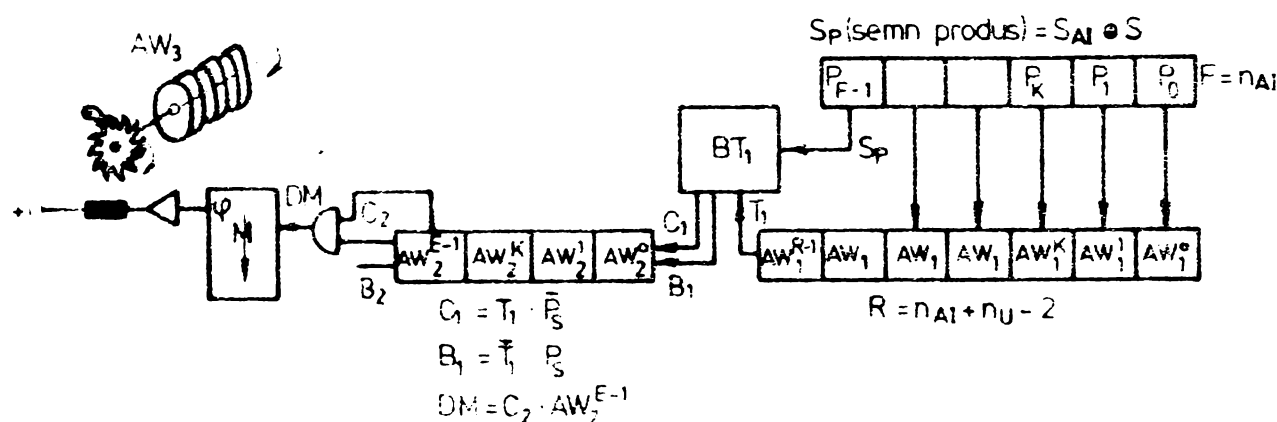


Fig. 4.19

Blocul de transfer  $BT_1$  generează tactul de numărare inversă ( $B_1$ ) sau de numărare directă ( $C_1$ ). Aceste tacte sunt aplicate unui numărător reversibil,  $AW_2$ , ce poate fi secadal codat binar (BCD) pentru a permite un afişaj simplu.

Admitând un singur sens pentru circulația energiei, aceasta este o mărime crescătoare și pozitivă dar care poate conține în suma ce o calculează produse  $u_j \cdot i_j$  negative. Ca atare dacă, într-o stare,  $AW_1$  și  $AW_2$  ar conține 0 și ar apărea cîteva produse  $P$  negative, acestea însuimindu-se ar duce la necesitatea rotirii în sens invers a contorului mecanic  $AW_3$  pentru a permite formarea ulterioară a valorii corecte pentru energie. Pentru a evita o astfel de situație a fost necesară elaborarea algoritmului de însumare de mai jos.

Operația ce se efectuează în acumulatorul propriu-zis,  $AW_1$ , depinde de semnul produsului precum și de codul de reprezentare a produsului. După cum se observă-tabelul 4.2- algoritmul prezintă o operație de scădere în  $AW_1$  cînd S (semnul diferenței eșantioanelor de tensiune) este pe 1.

În vederea formării sumei corecte în  $AW_1 - AW_2$ , transportul

Tabelul 4.2

$S_{AI}$	$S$	$S_P$	Codul mărimii produsului	Operăția efectuată în $AW_1$
0	0	0	Direct	Adunare
0	1	1	Direct	Scădere
1	0	1	Compl.2	Adunare
1	1	0	Compl.2	Scădere

$T_1$  din ultima categorie a lui  $AW_1$  (categoria R-1) generează transfer  $C_1$ , numărare directă, sau împrumut  $B_1$ , numărare inversă, conform tabelului 4.3. Dacă se

adună la conținutul lui  $AW_1$  un număr pozitiv, se generează o comandă de numărare directă spre  $AW_2$  cînd apare transportul  $T_1$ ;

Tabelul 4.3

$S_P$	$T_1$	$C_1$	$B_1$
0	0	0	0
1	0	0	1
1	1	0	0

dacă însă se adună la conținutul lui  $AW_1$  un număr negativ, se generează o comandă de numărare inversă pentru  $AW_2$  cînd nu apare  $T_1$ .

Este ușor de verificat, că trebuie generat un transfer spre

numărătorul mecanic  $AW_3$  numai cînd apare o depășire de capacitate în  $AW_1-AW_2$  în sensul depășirii spre numere pozitive, și deci semnalul DM este condiționat de starea  $AW_2^{E-1} = 1$  și apariția numărării directe,  $C_2 = 1$ . Cu DM se declanșează un monostabil ce formează un impuls cu durată suficientă pentru acționarea releeului contorului mecanic (figura 4.19). Dacă ADUNARE și SCADERE sunt semnalele logice ce comandă adunarea respectiv scăderea în acumulatorul  $AW_1$ , se pot scrie, conform tabelelor 4.3 și 4.4, ecuațiile logice:

$$\text{ADUNARE} = \bar{S}$$

$$\text{SCADERE} = S$$

$$C_1 = \bar{S}_P \cdot T_1$$

$$B_1 = S_P \cdot \bar{T}_1$$

$$S_P = \bar{S}_{AI} \cdot S + S_{AI} \bar{S}$$

$$DM = C_2 \cdot AW_2^{E-1}$$

In cazul  $A = 1$  suma din AI se adună, după corectarea semnului conform cu cel al diferenței de tensiune S, la conținutul lui  $AW_1$ , conexiunile rangurilor fiind cele din figura 4.19. In cazul în care  $B = 1$  conexiunile ce se formează sunt cele din figura 4.21. In acest mod se asigură înmulțirea conținutului

din AI cu  $\pm 2$  (după cum arată semnul S). Dacă însă  $A = B = 0$  este necesară înmulțirea conținutului din AI cu zero, ceea ce este echivalent cu a nu aduna nimic la conținutul lui  $AW_1$ . Pentru aceasta tactul  $t_{AW}$  se condiționează de funcția logică  $A + B$ . În consecință tactul intern pentru sincronizarea acumulatorului,  $t_{AW}$ , este dat de ecuația logică

$$t_{AW_1} = t_{AW_0}(A + B)$$

Si in cazul măsurării energiei se poate utiliza modularea delta. Rezultă o schema asemănătoare cu cea din figura 4.9.

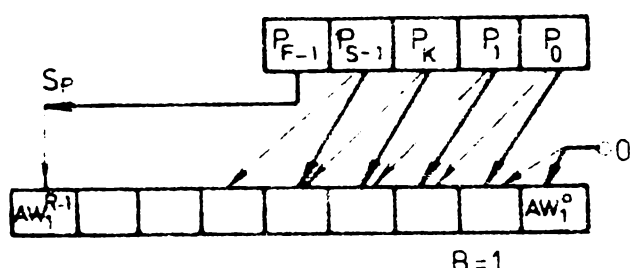


Fig. 4.20

Pentru acest caz ca și la măsurarea puterii, frecvența de egantionare necesară este relativ mare (determinabilă cu aceeași relație ca și în cazul măsurării puterii). Schema contorului ce funcționează cu modulație delta este cea din figura 4.21.

Modulatorul delta pentru tensiune livrează doar diferențele succeseive ale egantionanelor, deci -  $\Delta U_d$ , comandind

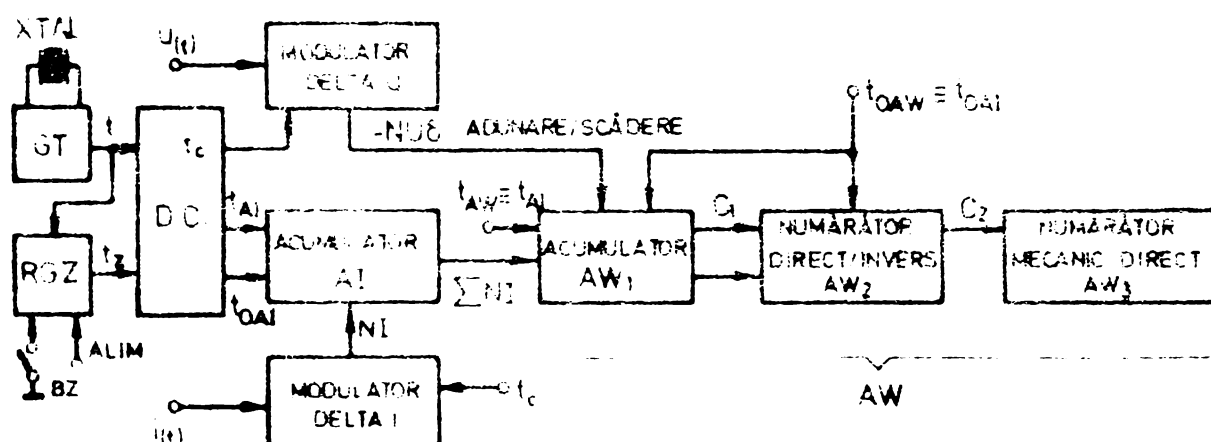


Fig. 4.21

adunarea sau scăderea sumelor din acumulatorul AI la conținutul acumulatorului AW<sub>1</sub>, parte a lui AW. Ca și în cazul măsurării puterii, modulatorul delta pentru curent furnizează chiar codul N1 al eșantionului de curent.

La conectarea la rețea a alimentării proprii a contorului, se generează un semnal de alimentare ALIM (după ce toate

tensiunile au atins valorile prescrise) de către ansamblul surselor. Se furnizează un tact unic de punere pe zero a acumulatorului AI ( $t_{0AI}$ ) precum și a acumulatorului AW<sub>1</sub> și a numărătorului AW<sub>2</sub>.

Algoritmul de lucru al sistemului accumulator AW este cel mai înainte descris, atât doar că nu este necesară deplasarea (figura 4.20), multiplicarea făcindu-se doar cu +1 sau -1.

Cronograma semnalelor de sincronizare pentru contorul cu modulație delta este cea din figura 4.22 iar generarea semna-

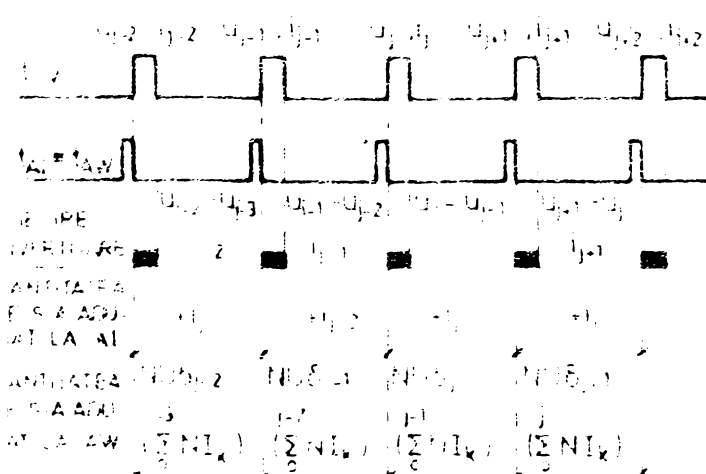


Fig. 4.22

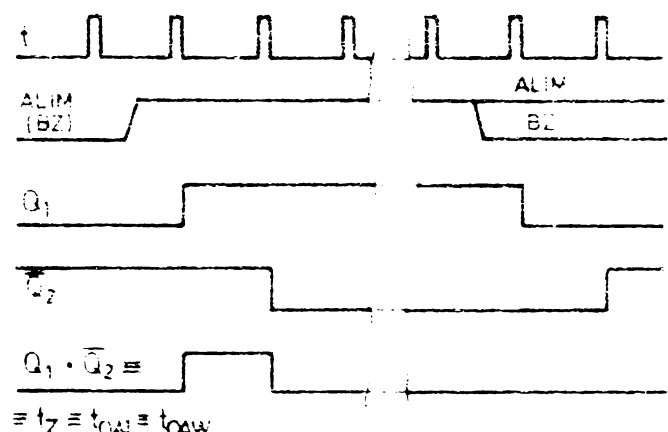


Fig. 4.23

lului de acumulare se poate urmări în figura 4.23. Se utilizează (vezi și figura 4.5) două bistabile J-K Master-Slave Q<sub>1</sub> și Q<sub>2</sub> ce generează  $t_z = t_{0AI} = t_{0AW}$ , fie la ridicarea semnalului ALIM, fie la apăsarea butonului la repunere la zero, BZ.

Aceleasi corelații de timp rămîn valabile în cazul schematicelor din figurile 4.17 și 4.21 ca și cele stabilite pentru schemele din figurile 4.4 respectiv 4.9.

#### 4.2.4. Al doilea algoritm de calcul pentru energie

Pe baza relației 4.18 se poate concepe un contor ce quantizează diferența esantioanelor - diferență determinată prin scăderea esantioanelor succesive, nequantizate.

Schema contorului este cea din figura 4.24 și corespunde wattmetrului din figura 4.13. Se folosește în principiu același tip de convertor, pentru quantizarea diferenței, ca cel prezentat în figura 4.14. Quantizarea se poate face, ca și în

cazul wattmetrului cu schema din figura 4.13, dar acumulatorul  $AW_1$  va fi prevăzut și cu posibilitatea de a deplasa un operand și anume suma de curenti cu două ranguri spre dreapta. Aceasta echivalează cu înmulțirea sumei de curent cu  $1/4$ .

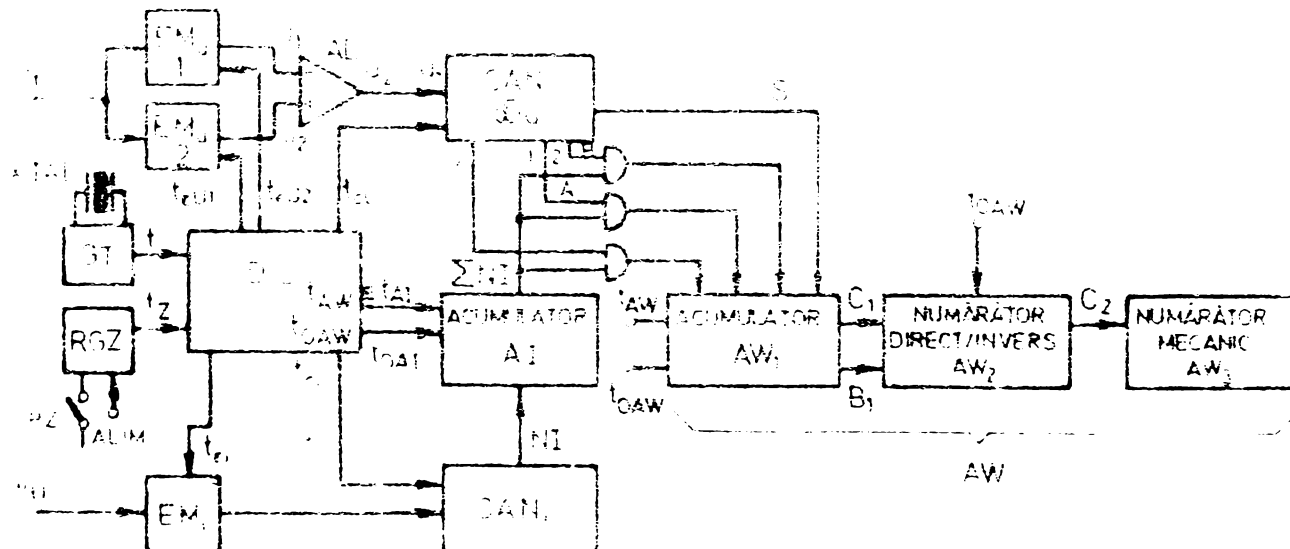
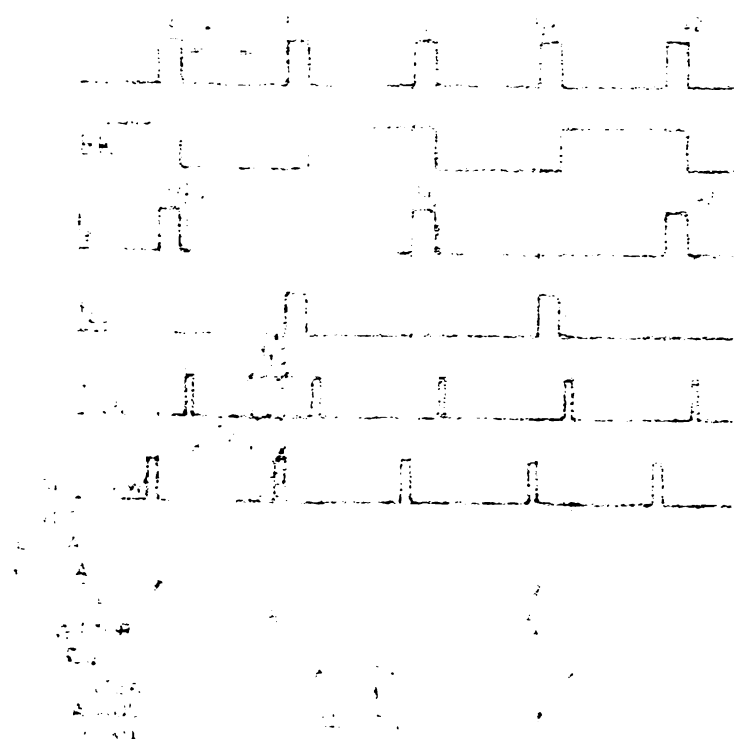


Fig. 4.24

In figura 4.25 se prezintă cronograma semnalelor de sincronizare pentru schema din figura 4.24. Aceleasi corelații de timp sunt valabile ca și cele stabilite pentru schema din figura 4.13. Acumulatorul AW este compus din aceleasi 3 secțiuni:  $AW_1$  - acumulatorul propriu-zis,  $AW_2$  - numărătorul direct-invers pentru adaptarea frecvenței de lucru la contorul mecanic direct  $AW_3$ .

Ca și în precedentele scheme de contoare, un cristal de quart impune perioada de eşantionare,  $T_e$ .



#### 4.2.5. Contoare pentru măsurarea în "punct fix" și contoare de precizie în general

Pentru verificarea/etalonarea contoarelor se utilizează de obicei un contor etalon ce lucrează mereu în jurul regimului nominal, regimul de eroare minimă. Contoarele de verificat sau etalonat se alimentează prin transformatoare de precizie. Prin modificarea raportelor de transformare se modifică regimul contoarelor supuse verificării sau etalonării.

Spre deosebire de acestea - numite și contoare etalon în literatura de specialitate - se pune problema realizării unor contoare de precizie, destinate măsurării consumurilor în rețele. În general tensiunea variază în limite restrînte pentru aceste contoare, dar curentul poate varia în limite foarte largi. Astfel, pornirea contorului trebuie să aibă loc la  $5 \cdot 10^{-3} \cdot I_n^{nominal}$ , unde  $I_n$  este valoarea efectivă a curentului iar limita maximă de supraîncărcabilitate a contorului permite atingerea unor valori de  $(200 \div 800) \cdot I_n$ . Gama dinamică a curentului este în consecință foarte mare (în jur de 100 dB), lucru ce ridică probleme în dimensionarea contoarelor destinate să lucreze în rețea.

Contoarele destinate măsurărilor în sistem trebuie să permită înregistrarea corectă a energiei pentru ambele sensuri de circulație.

Cu excepția contorului etalon, celelalte tipuri de contoare trebuie să permită măsurarea în regimuri puternic deformante și nestacionare.

În cele ce urmăreză se prezintă aspecte ale dimensionării contoarelor numerice cu multiplicare numerică, aspecte vizând alegerea corectă a cuantelor de curent și tensiune, a frecvenței de eșantionare precum și a lungimilor acumulatoarelor ce intră în structura acestora.

#### 4.2.6. Alegerea cuantelor de tensiune și curent. Determinarea frecvenței de eșantionare

Mărimea cuantelor de tensiune și curent influențează precizia de măsurare și sunt impuse, în principiu, de către aceasta. În special contorul etalon are cuantele în legătură nemijlocită cu precizia, căci nu se pun probleme de sensi-

bilitate și supraîncărcabilitate.

In cazul contorului etalon eroarea de măsurare  $\varepsilon$  este o funcție:

$$\varepsilon = f \left( \frac{\Delta u}{U_m}, \frac{\Delta i}{I_m}, \frac{T_e}{t} \right)$$

Admitând  $\Delta u/U_m = \Delta i/I_m$  și  $T_e/t$  neglijabil se poate determina din eroarea maxim admisă,  $\varepsilon_{\max}$ , numărul de nivele de cuantizare pentru tensiune și curent și implicit, admitând  $U_m$  și  $I_m$ , cuantele.

In funcție de algoritmul utilizat se determină perioada de eșantionare  $T_e$ .

Astfel pentru schema din figura 4.17, în cazul regimului sinusoidal:

$$\frac{T_e}{T} \leq \frac{1}{2\pi} \frac{\Delta u}{U_{mM}} \quad \text{pentru 3 nivele } (0, \pm 1) \text{ ale diferenței}$$

sau:

$$\frac{T_e}{T} \leq \frac{1}{2\pi} \cdot \frac{\Delta u}{U_{mM}} \quad \text{pentru 5 nivele } (0, \pm 1, \pm 2) \text{ ale diferenței}$$

relații în care  $T$  este perioada sinusoidei iar  $U_{mM}$  cea mai mare amplitudine tolerabilă pentru tensiune.

Pentru schema din figura 4.21, care utilizează modulația delta:

$$\frac{T_e}{T} \leq \min \left\{ \frac{1}{2\pi} \cdot \frac{\Delta u}{U_{mM}}, \frac{1}{2\pi} \cdot \frac{\Delta i}{I_{mM}} \right\}$$

In cazul aplicării celui de al doilea algoritm nu se pot obține decât contoare de clasă de precizie redusă. Pentru acestea, în cazul structurii din figura 4.24

$$\frac{T_e}{T} \leq 1,5 \frac{1}{\pi} \frac{\Delta u}{U_{mM}}$$

Pentru contorul destinat să lucreze în rețea, se presupune că tensiunea și curentul au expresii de forma:

$$u(t) = \sum_{k=1}^{K_0} U_{mk} \sin(k \omega t + \varphi_{uk})$$

$$i(t) = \sum_{k=1}^{N_a} I_{mk} \sin(k\omega t + \varphi_{ik})$$

unde  $N_a$  este ordinul celor mai înalte armonici semnificative ca valoare în spectrul de putere al semnalului. Panta de variație a tensiunii este dată de:

$$p = \frac{du}{dt} = \sum_{k=1}^{N_a} k\omega U_{mk} \cos(k\omega t + \varphi_{uk})$$

Pentru determinarea valorii maxim posibile se ia cazul cel mai defavorabil,  $\varphi_{uk} = 0$ , caz în care:

$$p_M = \left( \frac{du}{dt} \right)_{\max} = \sum_{k=1}^{N_a} k\omega U_{mk}$$

Evident este necesară cunoașterea valorilor maxime ale armonicelor ce compun semnalul pentru a putea estima  $p_M$ .

Măsurarea energiei corespunzătoare ansamblului de sinusoidă presupune măsurarea energiei transportate de fiecare armonică. Eroarea de măsurare pe ansamblu, care este suma erorilor pentru fiecare armonică are o expresie greu de stabilit și în consecință se recomandă simularea pentru determinarea cuantelor și a perioadei de eșantionare. Ca tehnică de lucru se estimează  $p_M$  și se aleg cuantele de tensiune și curent. Se estimează perioada de eșantionare  $T_e$  și se calculează pentru  $u(t)$  și  $i(t)$  eroarea de determinare a energiei (de obicei pentru o perioadă). Se modifică cuantele pînă ce se obține o eroare mai mică decît cea impusă.

Deoarece sensibilitatea la pornire,  $I_{min}$ , este impusă (de obicei  $5 \cdot 10^{-3} \cdot I_n$ ) cuanta de curent trebuie să satisfacă relația:

$$\frac{\Delta i}{2} < \sqrt{2} I_{min} (\sqrt{2} \cdot 5 \cdot 10^{-3} \cdot I_n)$$

și ea atare se estimează, la  $\Delta i$  admis, cuanta  $\Delta u$  ce cobeară crearea de determinare sub o valoare impusă.

Perioada de eșantionare  $T_e$  trebuie să satisfacă în cazul schemei din figura 4.17 relația:

$$T_e \ll \frac{\Delta u}{P_M} \quad \text{pentru 3 nivele ale diferenței}$$

sau:

$$T_e \ll \frac{2 \Delta u}{P_M} \quad \text{pentru 5 nivele ale diferenței}$$

Pentru schema din figura 4.21 :

$$T_e \ll \min \left\{ \frac{\Delta u}{P_{Mu}}, \frac{\Delta i}{P_{Mi}} \right\}$$

iar pentru cea din figura 4.24 :

$$T_e \ll 3 \frac{\Delta u}{P_M}$$

Evident, soluția problemei alegerii cuantelor și a perioadei de eşantionare nu este unică. Este însă de dorit alegerea unei cuante mari de tensiune pentru creșterea perioadei de eşantionare.

Pentru cazul contorului din rețea, ce are de obicei o gamă extrem de largă pentru curent, numărul de nivele de cuantizare necesar ar fi mult prea mare.

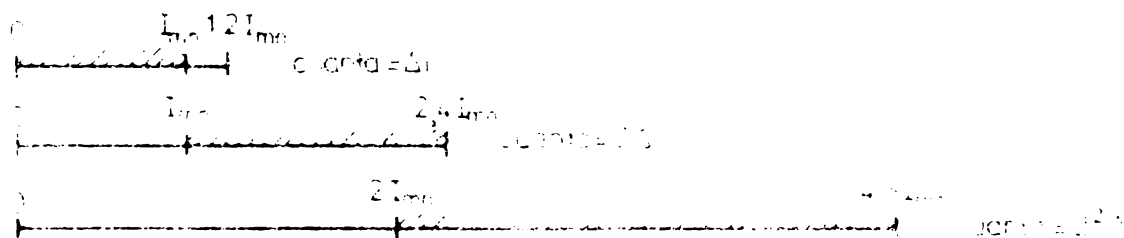


Fig. 4.26

Problema numărului de nivele de cuantizare pentru curent, este similară pentru wattmetre sau contoare. Odată  $\Delta i$  ales, pentru acoperirea domeniului de variație al curentului se imparte acest domeniu în 2 sau 3 subgame cu acoperire parțială; în domeniul superior cuanta este dublă față de cea din domeniul imediat inferior. În figura 4.26 se prezintă o variantă pentru cazul a 3 domenii de măsurare.

În momentul în care curentul intrece o valoare maximă corespunzătoare domeniului 1,  $I_{DLM}$ , se comută domeniul, în

sensul înjumătățirii valorii aplicate convertoarelor. Aceasta echivalează cu dublarea cuantei de curent și deci sumele  $\sum NI$  se vor aplica acumulatorului final (AP sau AW) deplasate cu un rang înspre rangurile mai semnificative și aceasta în plus față de eventualele deplasări cauzate de mărimea diferenței egantioanelor de tensiune. La depășirea valorii corespunzătoare limitelor domeniului 2,  $I_{D2M}$ , se comută domeniul înjumătățindu-se încă odată valorile aplicate convertoarelor. Se deplasează sumele  $\sum NI$  cu încă un rang spre valorile mai semnificative ale lui AP sau AW.

Recomutarea la domeniul 2 are loc la scăderea amplitudinii curentului sub  $I_{D3m}$ , curentul minim de menținere al domeniului 3, iar recomutarea la domeniul de bază la scăderea amplitudinii curentului sub  $I_{D2m}$ .

In cazul divizării din figura 4.26,  $I_{D1M} = 1,2 I_{mn}$ ,  $I_{D2M} = 2,4 I_{mn}$ ,  $I_{D3m} = 2 I_{mn}$  și  $I_{D2m} = I_{mn}$ , unde  $I_{mn}$  este amplitudinea curentului nominal.

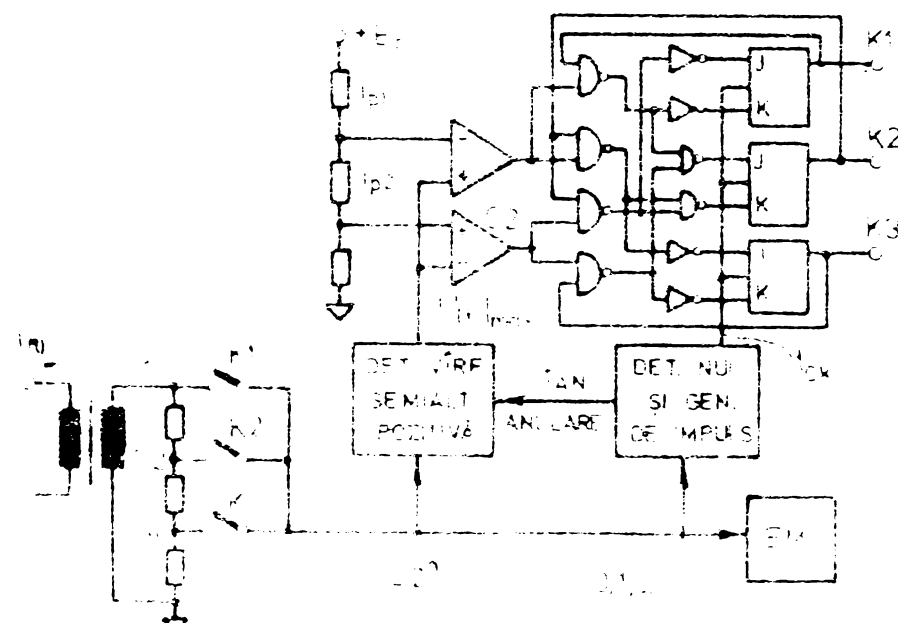


Fig. 4.26

Schema ce realizează testarea valorilor maxime ale curentului și recomutarea domeniilor este cea din figura 4.27 iar cronograma semnalelor aferente se prezintă în figura 4.28.

Cele două praguri  $i_{p1}$  și  $i_{p2}$  corespund la nivelul maxim respectiv minim al curentului admis într-un domeniu. Evident, pentru primul domeniu  $i_{p2}$  este nesemnificativ și tot așa  $i_{p1}$  pentru ultimul domeniu.

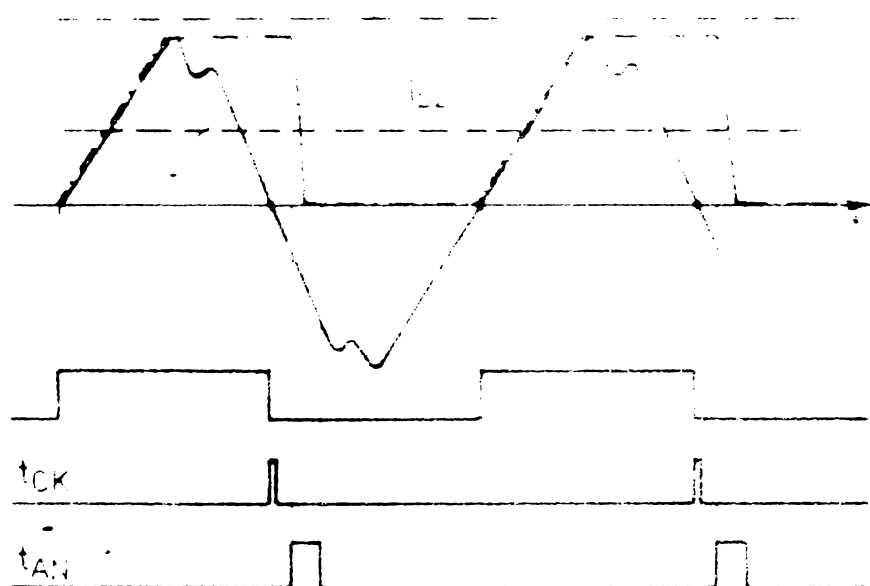


Fig. 4.28

Bistabilele  $K_1$ ,  $K_2$  respectiv  $K_3$  comandă închiderea cheilor cu același nume, aducînd la intrarea circuitului de eşantionare și memorare al aparatului  $i'_(t)$ ,  $1/2 i'_(t)$  respectiv  $1/4 i'_(t)$ . Același curent - respectiv tensiunea proporțională cu el - se aplică și detecterului de vîrf ce lucrează pe semialternanță pozitivă. Detectoarul de vîrf menținează valoarea maximă atinsă de curent în semialternanță pozitivă. La trecerea prin zero a curentului - dinspre semialternanță pozitivă spre cea negativă - se generează un impuls pentru bascularea bistabilelor  $K$ ,  $t_{CK}$ , iar mai apoi impulsul de amulare al detectoarului de vîrf,  $t_{AN}$ .

Dacă  $K_1 = 1$  și apare  $|i'_(t)|_M > i_{pl}$ , se comută pe 1 bistabilul  $K_2$ . Dacă, în condiția  $K_2 = 1$ , se depășește din nou  $i_{pl}$  de către semnalul proporțional cu curentul a fost înjumătățit, se comută pe 1 bistabilul  $K_3$ . Se aplică astfel circuitului  $EM_1$  numai  $1/4$  din valoarea semnalului proporțional cu curentul din linie.

Imediat ce la  $K_3 = 1$ ,  $|i'_(t)|_M < i_{pl}$ , se pune pe 1 bistabilul  $K_2$ ; dacă la  $K_2 = 1$ ,  $|i'_(t)|_M < i_{pl}$ , se pune pe 1 bistabilul  $K_1$ . La fiecare comutare se dublează semnalul aplicat circuitului  $EM_1$ .

Loziile bistabilelor  $K_1, K_2$  și  $K_3$  comandă, pe linii cheile cu același nume și un nœud similar cu cel reprezentat în figura 4.27 pentru corecta ponderare a sumelor de curent.

Impusă fiind valoarea maximă a curentului ce se aplică la intrarea convertorului  $I_{DLM}$ , numărul de nivele de cuantizare (incluzând toate nivelele și cele corespunzătoare mărimilor cuantizate pozitive și cele corespunzătoare mărimilor negative) este:

$$NQI \geq \frac{2I_{DLM}}{\Delta i}$$

Convertearele analog numerice furnizează un număr de nivele de cuantizare ce este o putere a lui 2. Se alege acel convertor pentru curent care are un număr suficient de nivele de cuantizare și în plus durata conversiei satisface condițiile impuse (în prima aproximare să fie mai mică decât  $T_e$ ).

Circuitele de eşantionare și memorare ce însoțesc convertoarele trebuie să permită achiziționarea semnalului în  $\tilde{T}_e \ll T_e$  cu precizia dorită.

#### 4.2.7. Determinarea lungimii acumulatoarelor și a numărătoarelor.

Lungimea acumulatorului AI se determină în primă aproximatie, pornind de la inegalitatea valabilă pentru sinusoidă:

$$\left[ T_e \cdot \sum_{k=0}^{\infty} (|NI_k| \Delta i) \right]_{\max} \leq \int_0^{T/2} |i(t)| dt = \frac{T}{\pi} I_m$$

De unde:

$$\left[ \sum_{k=0}^{\infty} NI_k \right]_{\max} \leq \frac{N}{\pi} \cdot \frac{I_m}{\Delta i} \leq \frac{N}{\pi} \cdot \frac{I_{DLM}}{\Delta i} \leq \frac{N}{\pi} \cdot \frac{NQI}{2}$$

N fiind numărul de eşantioane ce se preleveză din curent în perioada T.

Pentru cazul prezenței armonicelor relația anterioară se modifică. Acceptând că sumale sunt practic nule pentru armonicele pare, o valoare acoperitoare se obține considerind armonicele impare având aceeași fază inițială:

$$\left[ \sum_{k=0}^{\infty} NI_k \right]_{\max} \leq \frac{N}{\pi \Delta i} \cdot I_{m1} + \frac{N}{3\pi \Delta i} \cdot I_{m3} + \frac{N}{5\pi \Delta i} \cdot I_{m5} + \dots$$

O evaluare mai bună se poate obține, pentru un număr relativ mic de eşantioane prelevate pe perioada fundamentală, plecind de la relația:

$$\sum_{k=0}^{N-1} (NI_k \cdot \Delta i) = \sum_{k=0}^{N-1} (I_m \sin \omega k T_e) = I_m \frac{\sin \frac{N \omega T_e}{2}}{\sin \frac{\omega T_e}{2}} \sin \frac{N-1}{2} \omega T_e$$

Sau:

$$\sum_{k=0}^{N-1} NI_k \approx \frac{I_m}{\Delta i} \cdot \frac{N}{\pi} \cdot \sin \frac{N \pi}{2} \cdot \sin \frac{N-1}{N} \pi k$$

și căutând, funcție de  $N$ , maximul expresiei din dreapta semnului de egalitate.

Avind determinată valoarea maximă a sumei  $\sum NI$ , se alege numărul de cifre destinat codului mărimii în acumulatorul NAI și enume  $n_{AI} - 1$  în conformitate cu relația:

$$2^{n_{AI}-1} \geq \left[ \sum NI \right]_{\max}$$

Considerind și cifra semn, numărul cifrelor binare ale acumulatorului AI este  $n_{AI}$ .

Lungimea acumulatorului AP se determină având în vedere faptul că, în el, se formează un cod proporțional cu puterea măsurată. Dacă  $P_{IM}$  este puterea maximă măsurată pe domeniul 1, este evidentă relația:

$$(AP)_M = \frac{N}{\Delta u, \Delta i} P_M$$

unde  $(AP)_M$  este conținutul maxim al acumulatorului AP.

Numărul de cifre binare ale părții de cod în AP,  $n_{AP}-1$  se determină din relația:

$$2^{n_{AP}-1} \geq (AP)_M$$

numărul total de ranguri binare ce compun AP, incluzând și semnul, va fi  $n_{AP}$ .

Dacă se utilizează domenii de măsurare ca cele prezentate în 4.2.7. se adaugă atîtea ranguri binare lungimii lui AP cîte domenii se prevăd în plus față de cel de bază.

Lungimea acumulatorului  $AW_1$  se determină observind că în el se adună codul mărimii din AI (cu lungimea  $n_{AI}$ ) deplasat cu un număr de ranguri egal cu numărul de ranguri al mărimii

diferenței esantioanelor de tensiune. Dacă  $n_{un}$  este numărul de nivale de cuantizare pentru tensiune:

$$n_{AW_1} = n_{AI} + n_{un} - 2$$

considerind că seauul suplimentar ( $AW_E^2$ ) nu face parte din  $AW_1$ .

In cazul în care aparatul se prevede cu domenii de măsurare pentru curent, pentru fiecare domeniu în plus față de cel de bază se adaugă un rang binar la lungimea lui  $AW_1$ .

In sistemul  $AW_1 - AW_2 - AW_3$  se obține un cod proporțional cu energia, factorul de proporționalitate fiind  $1/(T_e \Delta u \Delta i)$ . Deoarece în  $AW_3$  se urmărește înregistrarea directă a energiei, codul cuprins în  $AW_1$  și  $AW_2$  în prelungire ce generează transfer spre  $AW_3$ , trebuie să corespundă unei energii minime înregistrabile (în  $AW_3$ ),  $W_3 \text{ min.}$  cod ce trebuie să fie prin urmare o putere a lui 2. In consecință dacă:

$$\frac{W_3 \text{ min.}}{T_e \Delta u \Delta i} = 2^n$$

atunci  $n$  este lungimea registrelor  $AW_1 - AW_2$  în prelungire, valoare ce permite determinarea lungimii lui  $AW_2$ .

Evident, această ultimă condiție este încă o restricție impusă mărimilor  $T_e$ ,  $\Delta u$  și  $\Delta i$ , destul de dificil de satisfăcut. Este preferabilă utilizarea unui numărător zecimal cu un factor de divizare potrivit ales pentru a se obține spre  $AW_3$  transporturi la măsurarea energiei  $AW_3 \text{ min.}$

#### 4.2.8. Sisteme pentru conteare reversibile

Schimbarea sensului de circulație al energiei intervine atunci cînd defazajul între tensiune și curent devine mai mare

de  $90^\circ$  - figura 4.29. Astfel, curentii  $i_1$ ,  $i_2$  și  $i_3$  corespund unui sens de circulație a energiei active, notat cu  $+$ , iar curentii  $i_4$ ,  $i_5$  și  $i_6$  unui sens de circulație opus, notat cu  $-$ . Pentru a măsura energia ce circulă într-un sens și în altul este nevoie să cunoașterea defazajului între curent și tensiune. De fapt este

nevoie doar să se decidă dacă acest defazaj este mai mic sau mai mare de  $90^\circ$ .

Centoarele pentru dublu sens se vor prevedea cu două acumulatore AW, fiecare compus din cele 3 secțiuni. Acumulatorul  $AW^+$  înregistrează energia în cazul defazajelor mai mici de  $90^\circ$  iar acumulatorul  $AW^-$  în cazul defazajelor mai mari de  $90^\circ$ . Se comită produsele  $NU\delta \cdot (\sum NI)$  spre un acumulator sau altul, după mărimea defazajului.

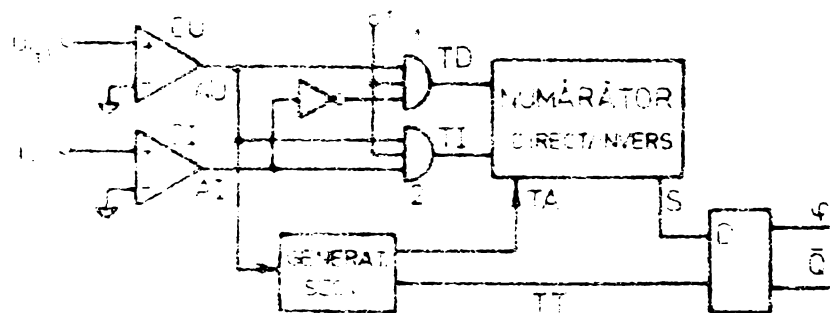


Fig. 4.30

In figura 4.30 este reprezentată schema bloc a unui sistem de măsurare a fazei, în sensul discutat, iar în figura 4.31 diagramea semnalelor de sincronizare ale schemei.

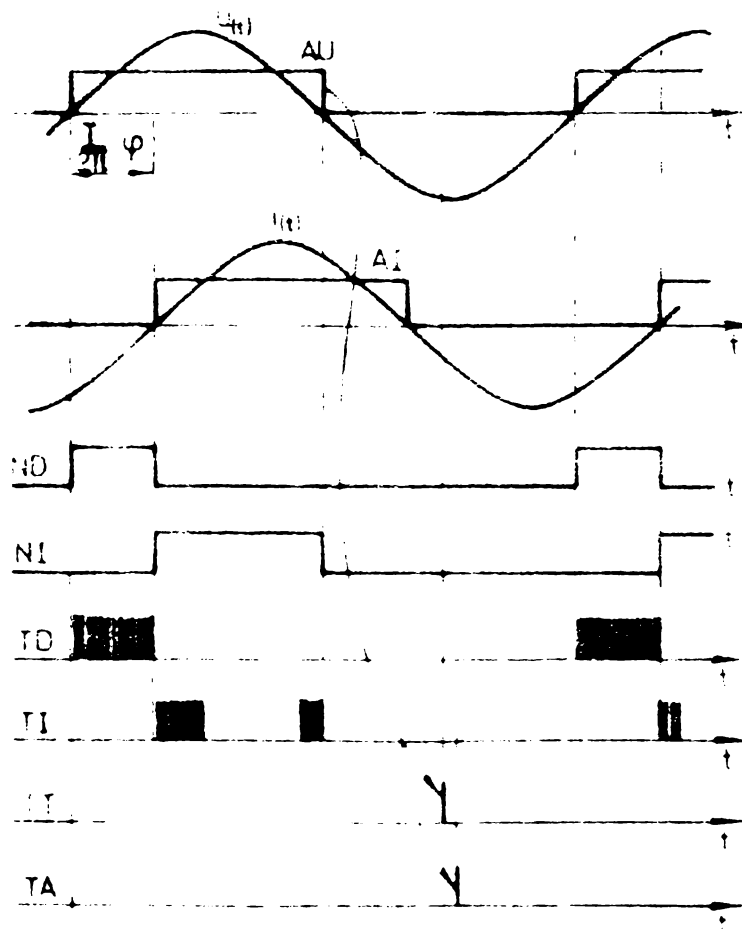


Fig. 4.31

Comparatoarele CU și CI furnizează semnalele AU respectiv AI. Porturile 1 și 2 sunt validate cind  $AU > AI = 1$  respectiv cind  $AU < AI = 1$  permitând treccerea impulsurilor și ca tacte de numărsare directă, TD, și respectiv inversă, TI. Dacă  $ND < NI$ , defazajul este mai mic de  $90^\circ$  lucru semnalat de faptul că bitul cel mai semnificativ S (semnul) este pe 1 la terminarea numărării. Dacă  $ND > NI$ , defazajul este mai mare de  $90^\circ$  și la terminarea numărării S=0. Generatorul de secvență întârzie frontul posterior al sem-

nalului AJ și generează impulsul de test TT, ce înscrie în bistabilul Q (de tip D) starea lui S, precum și impulsul de anulare a numărătorului direct-invers, TA.

Ieșirile bistabilului Q comandă comutatorul spre acumula-toarele  $AW^+$  și  $AW^-$ .

Din cauza comparaterului utilizat apare o deplasare a frontului căzător al semnalului AI față de mijlocul intervalului determinat de fronturile ridicatoare. Această deplasare poate fi ușor făcută mai mică de  $0,5 \mu s$ . Pentru o perioadă a impulsurilor de tact t de  $0,5 \mu s$ , incertitudinea în timp în determinarea fazei este de cel mult  $1 \mu s$ . Pentru un semnal cu perioada de  $20.000 \mu s$  eroarea de fază este de aproximativ 1 minut ( $3,14 \cdot 10^{-4}$  radiani) ceea ce duce la apariția unei erori în măsurare la tranziția vectorului i, din regiunea de energie + în cea de energie - (sens opus de circulație a energiei).

Mai mult, apare o eroare suplimentară datorită faptului că numai peste o perioadă se comută macazul acumulatoarelor și nu imediat ce s-a modificat defazajul.

Sistemul descris poate fi utilizat și pentru blocarea funcționării contorului atunci cind defazajul între curent și tensiune este în jur de  $90^\circ$ , evitându-se apariția erorilor la factori de putere foarte redusi. Pentru aceasta se urmărește nu numai semnul ci și modulul diferenței din numărătorul direct-invers. Cind acesta este sub o anumită limită se oprește accesul impulsurilor de sincronizare a însumării spre ambele acumulatoare ( $AW^+$  și  $AW^-$ ). Numai cind diferența este mai mare decât limita impusă se dirijează produsele spre unul sau altul din acumula-toare.

## CAPITOLUL 5

### STUDIUL EROAILOR LA MASURAREA NUMERICA A PUTERII SI ENERGIEI ELECTRICE ACTIVE

Pentru a determina erorile de măsurare ale puterii și ale energiei, se studiază influența eșantionării, a cuantizării ideale precum și abaterile cuantizorului real de la forma sa ideală utilizând expresiile algoritmului de calcul "clasic". Ulterior se determină abaterile noilor estimări, în vederea aprecierii erorilor introduse de utilizarea lor.

#### 5.1. Influenta eșantionării asupra măsurării puterii active

Estimarea puterii este ceea dată în relația 4.2. Dacă tensiunea și curentul sunt:

$$u(t) = \sum_{k=1}^{\infty} U_{mk} \sin(k\omega t + \varphi_k)$$

$$i(t) = \sum_{r=1}^{\infty} I_{mr} \sin(r\omega t + \psi_r)$$

și dacă eșantionarea se începe la  $t_e$ , momentele de eșantionare fiind:

$$t_{ej} = j\tau_e + t_e$$

estimarea puterii obținută prin eșantionare este [48]:

$$\hat{P} = \frac{1}{N} \sum_{j=0}^{N-1} \sum_{k=1}^{\infty} \sum_{r=1}^{\infty} \left\{ \frac{U_{mk} I_{mr}}{2} \left\{ \cos[(k-r)\omega t_e + \varphi_k - \psi_r] - \right. \right. \\ \left. \left. - \cos[(k+r)\omega t_e + \varphi_k + \psi_r] \right\} \right\} \quad (5.1)$$

Se separă termenii  $k = r$  și astfel se obține:

$$\hat{P} = \sum_{k=1}^{\infty} \frac{U_{mk} I_{mk}}{2} \cos(\varphi_k - \psi_k) + \frac{1}{N} \sum_{j=0}^{N-1} \sum_{\substack{k,r \\ k \neq r}} \frac{U_{mk} I_{mr}}{2} \left\{ \cos[(k-r)\omega t_e + \varphi_k - \psi_r] - \right.$$

$$-\cos[(k+r)\omega t_e + \varphi_k + \psi_r] - \frac{1}{N} \sum_{j=0}^{N-1} \sum_{k=1}^{\infty} \frac{U_{mk} I_{mk}}{2}.$$

$$\cdot \cos(2k\omega t_e + \varphi_k + \psi_k) \quad (5.2)$$

Dar:

$$P = \frac{1}{T} \int_0^T u(t) i(t) dt = \sum_{k=1}^{\infty} \frac{U_{mk} I_{mk}}{2} \cos(\varphi_k - \psi_k)$$

Rezultă deci [48] condiția în care estimarea din relația 5.2 reprezintă chiar puterea, și anume:

$$\begin{aligned} & \sum_{j=0}^{N-1} \sum_{\substack{k,r \\ k \neq r}} \frac{U_{mk} I_{mr}}{2} \left\{ \cos[(k-r)\omega t_e + \varphi_k - \psi_r] - \right. \\ & \left. - \cos[(k+r)\omega t_e + \varphi_k + \psi_r] \right\} - \sum_{j=0}^{N-1} \sum_k \frac{U_{mk} I_{mk}}{2} \cos(2k\omega t_e + \\ & + \varphi_k + \psi_k) = 0 \end{aligned} \quad (5.3)$$

Condiția exprimată de 5.3 este greu de satisfăcut în general. Se propune în lucrarea [48] o soluție particulară, obținută pentru:

$$\begin{aligned} & \sum_{j=0}^{N-1} \cos[(k-r)\omega t_e + \varphi_k - \psi_r] = \sum_{j=0}^{N-1} \cos[(k+r)\omega t_e + \varphi_k + \\ & + \psi_r] = \sum_{j=0}^{N-1} \cos(2k\omega t_e + \varphi_k + \psi_k) = 0 \end{aligned} \quad (5.4)$$

relație ce presupune satisfacerea condiției generale:

$$\begin{aligned} & \sum_{j=0}^{N-1} \cos(k\omega t_e + \varphi) = \sum_{j=0}^{N-1} \cos[j(k\omega t_e) + \\ & + k\omega t_0 + \varphi] = 0 \end{aligned} \quad (5.5)$$

Sumind în 5.5 se obține:

$$\frac{\sin \frac{Nk\omega T_e}{2}}{\sin \frac{k\omega T_e}{2}} \cos(k\omega t_0 + \varphi + \frac{N-1}{2}k\omega T_e) = 0 \quad (5.6)$$

care conduce la soluție :

$$\frac{Nk\omega T_e}{2} = Nk \frac{T_e}{2} \tilde{\pi} = k\tilde{\pi}, \quad \frac{k\omega T_e}{2} = k \frac{T_e}{T} \tilde{\pi} \neq N\tilde{\pi} \quad (5.7)$$

adică:

$$\frac{T_k}{T_e} = \frac{N}{k} \text{ și } \frac{T_k}{T_e} \neq \frac{1}{N} \quad (5.8)$$

unde  $T_k$  este perioada armonicei  $k$ . Pentru prima armonică relația 5.8 devine:

$$\frac{T}{T_e} = \frac{N}{k}$$

unde evident  $k = 1$  este singura posibilitate. Prin urmare este necesar ca perioada de eşantionare să fie o fractiune întreagă a perioadei fundamentale.

Relația  $Nk(T_e/T) = k$ , dacă  $T_e/T = 1/N$ , impune condiția  $N = k$ , ordinul armonicei. Prin urmare este suficientă îndeplinirea condiției  $1/T_e = N$  (intreg) pentru ca eşantionarea să nu introducă erori. Din a doua parte a relației 5.8 rezultă că trebuie să prelevăm mai mult de un eşantion pe perioada celei mai înalte armonici din spectrul de putere.

Se explică astfel măsura luată la wattmetrele numerice propuse în capitolul 4, de a sincroniza generatorul de tact cu fundamentala semnalului de tensiune.

Dacă această condiție nu este respectată apare o eroare ce se calculează separat pentru fiecare cuplu de armonici [48]:

$$\Delta P_{k,r} = \frac{1}{N} \cdot \frac{U_{mk} I_{mr}}{2} \frac{\sin N(k+r)\tilde{\pi} \frac{T}{T_e}}{\sin (k+r)\tilde{\pi} \frac{T}{T_e}} \cos \left[ (k+r)2\tilde{\pi} \frac{t}{T} + \varphi_k \pm \right. \\ \left. \pm \psi_r + (N-1)(k+r)\tilde{\pi} \frac{T}{T_e} \right] \quad (5.9)$$

Dacă abaterea perioadei de eşantionare de la condiția de sincronism este:

$$\Delta = \frac{\frac{T - N T_0}{T} e}{T} \quad (5.10)$$

relația 5.9 se scrie sub forma:

$$\Delta P_{k,r} = \frac{1}{N} \cdot \frac{U_m k I_m}{2} \cdot \frac{\sin \tilde{\pi}(k+r)(1-\Delta)}{\sin \tilde{\pi}(k+r) \frac{1-\Delta}{N}} \cos \left[ (k+r) 2 \tilde{\pi} \frac{t_0}{T} + \right. \\ \left. + \varphi_k \pm \psi_r + \frac{N-1}{N} (k+r) \tilde{\pi} (1-\Delta) \right]$$

sau:

$$\Delta P_{k,r} = - \frac{1}{N} \frac{U_m k I_m}{2} \frac{\sin \Delta(k+r) \tilde{\pi}}{\sin \frac{1-\Delta}{N} (k+r) \tilde{\pi}} \cos \left[ (k+r) 2 \tilde{\pi} \frac{t_0}{T} + \right. \\ \left. + \varphi_k \pm \psi_r + \frac{1-\Delta}{N} \Delta(k+r) \tilde{\pi} - \frac{1}{N} (k+r) (1-\Delta) \tilde{\pi} \right] \quad (5.11)$$

Este evident că  $\Delta < \frac{T}{T_0}$ , deci la prelevarea a cîteva sute de eşantioane pe perioadă,  $\Delta$  este mic. Pentru  $k=r=1$  (fundamentală) eroarea este redusă, fiind invers proporțională cu  $N$ :

$$\Delta P_1 \approx - \frac{1}{N} \frac{U_m I_m}{2} \frac{2 \Delta \tilde{\pi}}{\frac{2 \tilde{\pi}}{T}} \cos \left( 4 \tilde{\pi} \frac{t_0}{T} + \varphi - 2 \tilde{\pi} \frac{2 \tilde{\pi}}{N} \right) \\ < - \frac{1}{N} \frac{U_m I_m}{2} \cos \left[ 4 \tilde{\pi} \frac{t_0}{T} + \varphi - 2 \tilde{\pi} \left( \Delta + \frac{1}{N} \right) \right] \quad (5.12)$$

Pe măsură ce ordinul armonicelor crește, crește și valoarea erorii raportate la puterea ei. Dar cum puterea armonicelor este în scădere în raport cu puterea fundamentală, odată cu creșterea ordinului ei, contribuția la eroarea totală este relativ mică.

Dacă nu se satisfacă condiția de sincronism este necesară cunoașterea numărului ( $N$ ) de perechi de eşantioane ce se preleveză într-o perioadă a fundamentalui. Determinarea lui  $N$  se poate face prin numărare, urmând ca apoi să se facă împărțirea sumei determinante cu  $N$  ceea ce constituie un inconve-

nient. Acesta este un argument în plus pentru adoptarea eșantionării sincrone, cînd  $N$  este o constantă.

### 5.1.1. Influenta eșantionării în cazul algoritmilor de calcul propusi.

După cum se poate vedea din relația 4.10 eroarea de măsurare creste, peste cea corespunzătoare algoritmului clasic din cauza neglijării termenului  $A = u_{N-1} \bar{E}(i_k)$  (s-a neglijat efectul cuantizării).

În ceea ce privește media  $\bar{E}$ , tratarea este similară cu cea anterioară. Pentru  $i_{(t)}$  avînd media nulă:

$$\begin{aligned} \bar{E}(i_k) &= \frac{1}{N} \sum_{k=0}^{N-1} i(t_{ek}) = \frac{1}{N} \sum_{k=0}^{N-1} \sum_{r=1}^{N-1} I_{mr} \sin(r\omega t_{ek} + \psi_r) = \\ &= \frac{1}{N} \sum_{r=1}^{N-1} \sum_{k=0}^{N-1} I_{mr} \sin[k(r\omega T_e) + r\omega t_0 + \psi_r] = \frac{1}{N} \sum_{r=1}^{N-1} I_{mr} \cdot \\ &\cdot \frac{\sin \tilde{\pi}Nr \frac{T_e}{T}}{\sin \tilde{\pi}r \frac{T_e}{T}} \sin \left[ 2\tilde{\pi}r \frac{t_0}{T} + \psi_r + (N-1)\tilde{\pi}r \cdot \frac{T_e}{T} \right] \quad (5.13) \end{aligned}$$

Pentru  $N = T/T_e > r$  relația 5.13 conduce la:

$$\bar{E}(i_k) = \frac{1}{N} \sum_{r=1}^{N-1} I_{mr} \frac{\sin \tilde{\pi}r}{\sin \tilde{\pi}r} \sin(2\tilde{\pi}r \frac{t_0}{T} + \psi_r + \frac{N-1}{N}\tilde{\pi}r) = 0$$

Ca atare, în cazul existenței condiției de sincronizare, exprimată sub forma  $T/T_e = N$ , media determinată este nulă (se determină media fără eroare) și deci estimăția nou introdusă nu prezintă erori cauzate de eșantionare.

În cazul existenței unei abateri de la sincronism:

$$\frac{T_e}{T} = \frac{1-\Delta}{N}$$

substituind în 5.13 se obține:

$$\bar{E}(i_k) = \frac{1}{N} \sum_{r=1}^{N-1} I_{mr} \frac{\sin \tilde{\pi}r(1-\Delta)}{\sin \tilde{\pi}r \frac{1-\Delta}{N}} \sin \left[ 2\tilde{\pi}r \frac{t_0}{T} + \psi_r + \frac{N-1}{N}\tilde{\pi}r(1-\Delta) \right] =$$

$$\tilde{z} = \frac{1}{N} \sum_{r=1}^N I_{mr} \frac{\sin \tilde{\pi} r \Delta}{\sin \frac{\tilde{\pi} r \Delta}{N}} \sin \left[ 2\tilde{\pi} r \frac{t_0}{T} + \psi_r - \frac{N-1}{N} \tilde{\pi} r \Delta - \frac{\tilde{\pi} r(1-\Delta)}{N} \right] \quad (5.14)$$

Termenul ce se neglijă în estimare este în consecință:

$$A \tilde{z} = -\frac{1}{N} \left[ \sum_{k=1}^N U_{mk} \sin \left( 2\tilde{\pi} k \frac{t_0}{T} + \varphi_k - 2\tilde{\pi} k \Delta - \frac{2\tilde{\pi} k}{N} \right) \right] \left[ \sum_{r=1}^N I_{mr} \cdot \frac{\sin \tilde{\pi} r \Delta}{\sin \frac{\tilde{\pi} r \Delta}{N}} \sin \left( 2\tilde{\pi} r \frac{t_0}{T} + \psi_r - \tilde{\pi} r \Delta - \frac{\tilde{\pi} r}{N} \right) \right] \quad (5.15)$$

Analizând în termenul A partea determinată numai de fundamentalele de curent și tensiune,  $A_{11}$ , se constată că este neglijabil. Astfel:

$$A_{11} \tilde{z} = \frac{1}{N} U_{m1} I_{m1} \sin \left[ 2\tilde{\pi} \frac{t_0}{T} + \varphi_k - 2\tilde{\pi} \left( \Delta + \frac{1}{N} \right) \right] \sin \left[ 2\tilde{\pi} \frac{t_0}{T} + \psi_r - \varphi_k - \tilde{\pi} \left( \Delta + \frac{1}{N} \right) \right] \cdot \frac{\sin \tilde{\pi} \Delta}{\sin \frac{\tilde{\pi} \Delta}{N}}$$

Deoarece s-a luat măsura sincronizării decalajării măsurării cu undă de tensiune (prin generarea semnalului SINc) faza de începere a eşantionării este cel mult  $\varphi_0 = \frac{2\tilde{\pi}}{N}$ . Ca atare:

$$A_{11} \tilde{z} = U_{m1} I_{m1} \sin \left[ \varphi_0 - 2\tilde{\pi} \left( \Delta + \frac{1}{N} \right) \right] \sin \left[ \varphi_0 - \psi - \tilde{\pi} \left( \Delta + \frac{1}{N} \right) \right]$$

și în cazul  $\psi = 0$ , avind în vedere valorile limită pentru  $\varphi_0$  și  $\Delta$ :

$$|A_{11}| \leq \frac{U_{m1} I_{m1}}{2} \cdot \frac{16\tilde{\pi}^2}{N^2} \quad (5.16)$$

Pentru  $N = 10^3$  termenul  $A_{11}$  reprezintă mai puțin de 0,016% din puterea activă.

Si pentru estimarea din relația 4.16 sunt valabile relațiile scrise pentru estimarea 4.10.

Ca o concluzie, este necesară păstrarea sincronismului între generatorul de tact și fundamentala undei pentru care se determină puterea. De asemenea este indicat ca măsurarea să înceapă cât mai aproape de trecerea prin origine a undei de tensiune pentru a diminua ponderea termenului ce se neglijeează. Aceasta scade rapid cu creșterea frecvenței de eșantionare.

### 5.2. Influența eșantionării asupra măsurării energiei active

În relația 4.3 se dă estimarea energiei cînd se înlocuiesc semnalele continue  $u(t)$  și  $i(t)$  prin eșantioanele lor, prelevate la momentele de timp  $jT_e + t_o$ . Pentru semnale periodice de medie nulă:

$$\hat{W} = T_e \sum_{j=0}^{N-1} \sum_k \sum_r \left\{ \frac{U_{mk} I_{mr}}{2} \left\{ \cos[(k+r)\omega(jT_e + t_o) + \varphi_k - \psi_r] - \right. \right. \\ \left. \left. - \cos[(k+r)\omega(jT_e + t_o) + \varphi_k + \psi_r] \right\} \right\} \quad (5.17)$$

Energia se măsoară în intervale de timp mari (în numai 20 secunde se acoperă  $10^3$  perioade ale rețelei) și ca atare tratarea erorilor de măsurare este mult simplificată.

Intervalul de măsurare  $t = NT_e$  se subdivide în două și anume intervalul format de perioade întregi ale fundamentalei cu durata  $KT = NT_e$  și intervalul eșantioanelor rămase ( $N-M$ ) ce se presupune că are durata  $(N-M)T_e < t$ . Puterea de interacțiune a armonicelor de ordin diferit este nulă pe perioade întregi ale fundamentalei [48] și ca atare relația (5.17) se transformă în:

$$\hat{W} = T_e \sum_{j=0}^{M-1} \sum_k \frac{U_{mk} I_{mk}}{2} \cos(\varphi_k - \psi_k) - T_e \sum_{j=0}^{M-1} \sum_k \frac{U_{mk} I_{mk}}{2} \cos(2\pi 2k \cdot \frac{T_e}{T} + \\ + 2\pi 2k \frac{t_o}{T} + \varphi_k + \psi_k) + T_e \sum_{j=M}^{N-1} \sum_k \sum_r \left\{ \frac{U_{mk} I_{mk}}{2} \left\{ \cos[(k+r)\omega(jT_e + t_o) + \right. \right. \\ \left. \left. + \varphi_k - \psi_r] - \cos[(k+r)\omega(jT_e + t_o) + \varphi_k + \psi_r] \right\} \right\} \quad (5.18)$$

In relația 5.18 primul termen,  $A_1$ , este  $A_1 = T_e \frac{MP}{T} = KTP$  tocmai energia în cele K perioade întregi. Al doilea termen,  $A_2$ , este practic nul:

$$A_2 = T_e \sum_k \frac{U_{mk} I_{mk}}{2} \frac{\sin 2k\pi \frac{T_e}{T}}{\sin 2k\pi \frac{T_e}{T}} \cos \left[ 4k\pi \frac{t_o}{T} + \varphi_k + \psi_k + \right. \\ \left. + (k-1)2k\pi \frac{T_e}{T} \right] \approx T_e \sum_k \frac{U_{mk} I_{mk}}{2} \cdot \frac{\sin 2k\pi \frac{T_e}{T}}{\sin 2k\pi \frac{T_e}{T}} \cos \left[ 4k\pi \frac{t_o}{T} + \right. \\ \left. + \varphi_k + \psi_k + (k-1)2k\pi \frac{T_e}{T} \right] = 0$$

dacă  $2N_a \pi \frac{T_e}{T} < \pi$ , cu alte cuvinte dacă se preleveză măcar 3 (de obicei 4) eșantioane din cea mai semnificativă,  $N_a$ , armonică din spectrul de putere.

Ultimul termen din relația 5.18 este o estimare a integralei:

$$\int_{KT}^t u(t) i(t) dt$$

care reprezintă energia vehiculată în al doilea interval de timp, de la momentul  $KT$  pînă la momentul  $t$ . Se poate verifica simplu că, la o perioadă de eșantionare  $T_e \ll T$ , ultimul termen al relației 5.18 estimatează bine integrala. Oricum erorile de estimare sunt cu mult sub energia vehiculată într-o perioadă, având deci o expresie, de forma:

$$\Delta E_3 = \alpha PT, (\alpha \ll 1)$$

Cu atare eroarea raportată este practic:

$$\xi_w \approx \alpha \frac{T}{KT} = \frac{\alpha}{K} \quad (5.19)$$

relație ce atestă faptul că, în timp, eroarea de măsurare datorată eșantionării tinde spre zero.

In cazul primului algoritm propus pentru măsurarea energiei, se negligează termenul:

$$B = T_e \sum_{k=0}^{N-1} i_{qk}$$

In intervalul de timp ,  $KT$ , suma este practic multă, căci media curentului se presupune a fi nulă. Rămîne deci numai:

$$B \approx T_e U_{qN-1} \sum_{k=0}^{N-1} i_{qk}$$

Considerind cazul simplu al unei singure armonici,  $I_m$ , dacă  $\cos \varphi = 1$  și pentru  $T_e \ll T$  :

$$B \approx T_e U_{qN-1} \sum_{k=0}^{N-1} i_{qk} = U_m \sin \omega t \int_{KT}^t I_m \sin \omega t dt$$

și căutind maximul produsului se obține :

$$|B|_{\max} \approx \frac{3\sqrt{3}}{3} U_m I_m T \approx 0,4 P.T$$

Eroarea relativă produsă de neglijarea termenului  $B$  crește în timp. Eroarea relativă comisă prin utilizarea estimării date de relația 4.14 este mai mare decât cea dată de 5.19. Termenul suplimentar ce apare ca efect al neglijării este:

$$\varepsilon_{w_1} \approx \frac{0,4}{K} \quad (5.20)$$

Si în cazul utilizării celui de-al doilea algoritm (estimăria 4.18) relațiile deduse rămân valabile.

Că și concluzie, prelevind măcar 3 esențioane pe perioada celei mai semnificative armonici erorile de determinare ale energiei, datorate eșantionării, atât în cazul algoritmului "clasic" cât și în cazul noilor algoritmi propuși în lucrare scad rapid cu timpul de măsurare, fiind complet neglijabile după zeci de secunde.

In relațiile de determinare a energiei intră  $T_e$  ca și factor. In consecință crearea de care este afectat  $T_e$  afectează integral măsurătoarea. Stabilizarea perioadei generatorului de tact obținută cu un cristal de quart este suficientă deoarece chiar în cazul în care nu se efectuează termostatarea se pot coborî erorile sub  $10^{-3} - 10^{-4}\%$ .

### 5.3. Influenta neconcordantei în timp a eșantioanelor de tensiune și curent

Se observă ușor că un decalaj  $T_{oc}$  constant în timp,

intre momentele de eșantionare ale tensiunii și curentului este echivalent cu introducerea unui defazaj suplimentar între aceste mărimi. În cazul semnalelor sigmoidale:

$$u_j i_j = U_{m,n} \sin(j\omega T_e + \omega t_0 + \omega T_{oe} + \varphi_u) \sin(j\omega T_e + \omega t_0 + \varphi_i) = \\ = \frac{U_{m,n}}{2} \cos(\varphi_u - \varphi_i + 2\pi \frac{T_{oe}}{T}) - \frac{U_{m,n}}{2} \cos(2j\omega T_e + \omega T_{oe} + 2\omega t_0 + \varphi_u + \varphi_i)$$

Se observă modificarea defazajului cu  $2\pi(T_{oe}/T)$ . O neconcordanță în timp de 100 ns în prelevarea eșantioanelor este echivalentă, pentru  $T = 20$  ms, cu un defazaj suplimentar de aproximativ 1 minut. Este posibilă coborarea neconcordanței sub 50 ns deci cam la 30 secunde defazaj suplimentar.

Eroarea relativă ce se obține, în cazul  $\cos\varphi = 1$  este:

$$\epsilon \approx 2\pi^2 \left( \frac{T_{oe}}{T} \right)^2 < 2\pi^2 \frac{1}{N^2} \quad (5.20')$$

În afară de calajul sistemtic există o componentă aleatoare ce afectează perioada de eșantionare, astfel încât momentul de eșantionare este aleator. Componenta aleatoare se presupune a avea media nulă. Astfel:

$$u_j i_j = U_{m,n} \sin[j\omega T_e + \omega t_0 + \omega T_{au}(j) + \varphi_u] \cdot \sin[j\omega T_e + \omega t_0 + \omega T_{ai}(j) + \varphi_i] = \frac{U_{m,n}}{2} \cos\{\varphi + \omega [T_{au}(j) - T_{ai}(j)]\} - \frac{U_{m,n}}{2} \cos\{2j\omega T_e + 2\omega t_0 + \omega [T_{au}(j) + T_{ai}(j)] + \varphi_u + \varphi_i\}$$

unde  $T_{au}$  și  $T_{ai}$  sunt variabile aleatoare. Suma și diferența a două variabile aleatoare reprezintă tot cîte o variabilă aleatoare. În consecință:

$$u_j i_j = \frac{U_{m,n}}{2} \cos[\varphi + \omega T_{al}(j)] - \frac{U_{m,n}}{2} \cos[2j\omega T_e + 2\omega t_0 + \omega T_{a2}(j) + \varphi] \quad (5.21)$$

Dar  $T_{al}$  și  $T_{a2}$  sunt mici deci:

$$\cos(\varphi + \omega T_{al}) \approx \cos\varphi - (\omega T_{al}) \sin\varphi$$

$$\cos(2j\omega T_e + 2\omega t_0 + \psi + \omega T_{a2}) = \cos(2j\omega T_e + 2\omega t_0 + \psi) - \\ - (\omega T_{a2}) \sin(2j\omega T_e + 2\omega t_0 + \psi)$$

Substituind în 5.21 și efectuind media pentru calculul puterii se obține:

$$\bar{P} = \frac{U_m^2}{2} \cos\varphi - \frac{U_m^2}{2} \omega \sin\varphi \left[ \frac{1}{N} \sum_{j=0}^{N-1} T_{al}(j) \right] - \frac{U_m^2}{2} \frac{1}{N} \sum_{j=0}^{N-1} \cos(2j\omega T_e + \\ + 2\omega t_0 + \psi) + \frac{U_m^2}{2} \frac{\omega}{N} \sum_{j=0}^{N-1} T_{a2}(j) \sin(2j\omega T_e + 2\omega t_0 + \psi) \quad (5.22)$$

In această relație primul termen reprezintă puterea iar al treilea este nul, în condițiile menținerii sincronismului. Dacă  $\sigma_1$  este dispersia variabilei  $T_{al}$ , media:

$$M(T_{al}) = \frac{1}{N} \sum_{j=0}^{N-1} T_{al}(j)$$

estimată pe un volum de N eșantioane este afectată [54] de o eroare  $\approx 2 \sqrt{\sigma_1^2/N}$  pentru o probabilitate de incredere de aproximativ 95%. Cum abaterea eșantioanelor este o fracție din  $T_e$ , se poate considera că  $\sigma_1 = \alpha T_e = \alpha T/N$  unde  $\alpha \ll 1$ . Ca atare al doilea termen (media variabilei  $T_{al}$  fiind nulă) este cel mult:

$$\pm 2 \pi U_m^2 \sin\varphi \frac{\alpha}{N\sqrt{N}}$$

și scade mult cu creșterea numărului de eșantioane. De exemplu pentru  $\cos\varphi = 0.5$ ,  $N = 10^3$ ,  $T_e = 20 \mu s$ ,  $\sigma_1 = 20 \text{ ns}$  ( $\alpha = 10^{-3}$ ) eroarea relativă este  $\pm 7 \cdot 10^{-5}\%$  deci complet neglijabilă.

In ceea ce privește ultimul termen se poate observa că în sumă intră o sinusoidă cu amplitudinea o variabilă aleatoare. Media acestei noi variabile [54] este nulă iar dispersia sa  $1/2 \cdot \sigma_2^2$ , unde  $\sigma_2^2$  este dispersia variabilei  $T_{a2}$ . Cum media variabilei produs este estimată pe N eșantioane, la un nivel de probabilitate de incredere de 95% eroarea de estimare

a mediei este:

$$\approx \sqrt{2} \frac{\tilde{G}_2}{\sqrt{N}}$$

In consecință ultimul termen este cel mult:

$$\pm 2 \frac{\tilde{x}}{T} U_m I_m \frac{\tilde{G}_2}{\sqrt{N}}$$

iar dacă  $\tilde{G}_2 = \beta T_e$  ( $\beta \ll 1$ ) acesta devine cel mult:

$$\pm 2 \tilde{x} U_m I_m \frac{\beta}{N \sqrt{N}}$$

și deci este neglijabil.

In concluzie zgometul (normal) ce modulează momentele de esantionare ale curentului și tensiunii (în mod independent) are efecte complet neglijabile asupra estimării puterii.

Dacă există un decalaj constant în timp, acesta afectează estimarea, crescind defazajul între tensiune și curent.

Același concluzii cînt valabile și pentru estimarea energiei.

Noile estimării ce au fost introduse în lucrare nu sînt nici ele afectate în mai mare măsură ca și cele date de algoritm clasic.

Observație.

Se arată în literatură [48] că, în cazul unor regimuri staționare, esantionarea pentru determinarea puterii utilizînd algoritmul clasic nu este necesar să indeplinească condițiile impuse de teorema esantionării.

#### 5.4. Influența cuantizării asupra măsurării puterii active

Puterea reprezentă de fapt funcția de intercorelație,  $R_{ui}$ , între tensiune și curent, calculată în origine:

$$P = R_{ui}(0)$$

Pentru determinarea funcției de intercorelație este utilă cunoașterea funcției caracteristice pentru semnalele sinusoidale.

Pie date două oscilații sinusoidale de amplitudini constante:

$$x_1 = a_1 \cos(\omega t + \psi)$$

$$x_2 = a_2 \cos(\omega t + \varphi + \psi)$$

pulsăție  $\omega$  și  $\varphi$  constante dar cu componenta,  $\psi$ , a fazei o variabilă aleatoare uniform distribuită în intervalul  $(0, 2\pi)$ .

Se poate observa că eliminarea lui  $\psi$  duce la stabilirea unei legături  $x_2 = f(x_1)$  unde  $x_1$  este considerat la  $t_1$  și  $x_2$  la  $t_2$  și anume:

$$\arccos \frac{x_2}{a_2} = \omega(t_2 - t_1) + \varphi \pm \arccos \frac{x_1}{a_1} \quad (5.23)$$

sau inversa ei  $x_1 = F(x_2)$ :

$$\arccos \frac{x_1}{a_1} = \omega(t_2 - t_1) + \varphi \pm \arccos \frac{x_2}{a_2}$$

După cum se cunoaște [54], densitatea de repartiție bidimensională  $w_{2(x_1, x_2, t_1, t_2)}$  depinde de densitatea de repartiție  $w_{1(x_1, t_1)}$  prin:

$$w_{2(x_1, x_2, t_1, t_2)} = w_{1(x_1, t_1)} \left\{ \delta \left[ x_2 - a_2 \cos(\omega \tilde{t} + \varphi + \arccos \frac{x_1}{a_1}) \right] + \delta \left[ x_2 - a_2 \cos(\omega \tilde{t} + \varphi - \arccos \frac{x_1}{a_1}) \right] \right\} \quad (5.24)$$

relație în care cu  $\tilde{t}$  s-a notat diferența  $t_2 - t_1$ . Semnalele  $x_1$  și  $x_2$  sunt staționare și ergodice, așa că  $w_2$  depinde numai de decalajul în timp între  $t_2$  și  $t_1$  și nu și de timpul efectiv.

Dar [54], densitatea  $w_{1(x_1, t_1)}$  se exprimă considerind  $\psi$  uniform distribuită prin:

$$w_{1(x_1, t_1)} = \frac{1}{2\pi a_1 \sqrt{1 - (\frac{x_1}{a_1})^2}} \quad (5.25)$$

Din relațiile 5.24 și 5.25 se obține densitatea de repartiție bidimensională a mărimilor  $x_1$  și  $x_2$ :

$$w_{2(x_1, x_2, \tilde{t})} = \frac{1}{2\pi a_1 \sqrt{1 - (\frac{x_1}{a_1})^2}} \left\{ \delta \left[ x_2 - a_2 \cos(\omega \tilde{t} + \varphi + \arccos \frac{x_1}{a_1}) \right] + \delta \left[ x_2 - a_2 \cos(\omega \tilde{t} + \varphi - \arccos \frac{x_1}{a_1}) \right] \right\} \quad (5.26)$$

Se poate determina funcția caracteristică bidimensională  $\Phi_2(v_1, v_2, \zeta)$ . Astfel:

$$\begin{aligned} \Phi_2(v_1, v_2, \zeta) &= \int_{-\infty}^{+\infty} \int_{-\infty}^{+\infty} \frac{e^{jv_1 x_1} e^{jv_2 x_2}}{2\pi a_1 \sqrt{1 - (\frac{x_1}{a_1})^2}} \left\{ \delta[x_2 - a_2 \cos(\omega \zeta + \varphi + \arccos \frac{x_1}{a_1})] \right. \\ &\quad \left. + \delta[x_2 - a_2 \cos(\omega \zeta + \varphi - \arccos \frac{x_1}{a_1})] \right\} dx_1 dx_2 = \int_{-a_1}^{+a_1} \frac{e^{jv_1 x_1}}{2\pi \sqrt{1 - (\frac{x_1}{a_1})^2}} \times \\ &\quad \left\{ e^{jv_2 a_2 \cos(\omega \zeta + \varphi + \arccos \frac{x_1}{a_1})} + e^{jv_2 a_2 \cos(\omega \zeta + \varphi - \arccos \frac{x_1}{a_1})} \right\} d(\frac{x_1}{a_1}) \end{aligned} \quad (5.27)$$

Tinând seama de dezvoltarea în serie Fourier a lui  $e^{jx \cos \theta}$  [87] se poate scrie:

$$e^{jv_2 a_2 \cos(\omega \zeta + \varphi \pm \arccos \frac{x_1}{a_1})} = \sum_{k=0}^{\infty} j^k \varepsilon_k J_k(a_2 v_2) \cos k(\omega \zeta + \pm \arccos \frac{x_1}{a_1}) \quad (5.28)$$

relație în care  $\varepsilon_k = 2$  pentru  $k \neq 0$  și  $\varepsilon_0 = 1$  iar  $J_k$  este funcția Bessel de prima specie, ordin  $k$ .

Substituind 5.28 în 5.27 se obține:

$$\begin{aligned} \Phi_2(v_1, v_2, \zeta) &= \frac{1}{\pi} \int_{-a_1}^{+a_1} \frac{e^{jv_1 x_1}}{\sqrt{1 - (\frac{x_1}{a_1})^2}} \sum_{k=0}^{\infty} \left\{ j^k \varepsilon_k J_k(a_2 v_2) \cos \left[ k(\omega \zeta + \varphi) \right] \cdot \cos \left( k \arccos \frac{x_1}{a_1} \right) \right\} d(\frac{x_1}{a_1}) = \sum_{k=0}^{\infty} j^k \varepsilon_k J_k(a_2 v_2) \cos \left[ k(\omega \zeta + \varphi) \right] \cdot \frac{1}{\pi} \int_{-a_1}^{+a_1} \frac{e^{jv_1 x_1} \cos \left( k \arccos \frac{x_1}{a_1} \right)}{\sqrt{1 - (\frac{x_1}{a_1})^2}} d(\frac{x_1}{a_1}) \end{aligned}$$

Pentru calculul integralei se face substituția  $\theta = \arccos \frac{x_1}{a_1}$

$$J = \frac{1}{\pi} \int_{-a_1}^{+a_1} \frac{e^{jv_1 x_1} \cos(k \arccos \frac{x_1}{a_1})}{\sqrt{1 - (\frac{x_1}{a_1})^2}} dx_1 = - \frac{1}{\pi} \int_0^\pi e^{jv_1 a_1 \cos \theta} \cos k\theta d\theta.$$

$$\cdot \cos k\theta \cdot d\theta = \frac{1}{\pi} \int_0^\pi e^{j(v_1 a_1) \cos \theta} \cos k\theta d\theta$$

Dar conform [88]:

$$J = \frac{1}{\pi} \int_0^\pi e^{j(v_1 a_1) \cos \theta} \cos k\theta d\theta = j^k J_k(a_1 v_1)$$

Cu aceasta expresia funcției caracteristice devine:

$$\Phi_{2(v_1, v_2, \tau)} = \sum_{k=0} (-1)^k \varepsilon_k J_k(a_1 v_1) J_k(a_2 v_2) \cos k(\omega\tau + \varphi) \quad (5.29)$$

Conform teoremei lui Neuman [101]:

$$J_0(\sqrt{z^2 + z^2 - 2zz \cos \varphi}) = \sum_{k=0}^{\infty} \varepsilon_k J_k(z) J_k(z) \cos k\varphi$$

Substituind  $z = a_1 v_1$  și  $z = -a_2 v_2$  se obține în final pentru funcția caracteristică expresia:

$$\begin{aligned} \Phi_{2(v_1, v_2, \tau)} &= \sum_{k=0} (-1)^k \varepsilon_k J_k(a_1 v_1) J_k(a_2 v_2) \cos k(\omega\tau + \varphi) = \\ &= J_0 \left[ \sqrt{(a_1 v_1)^2 + (a_2 v_2)^2 + 2(a_1 v_1)(a_2 v_2) \cos(\omega\tau + \varphi)} \right] \end{aligned} \quad (5.30)$$

Evident același rezultat se obține și pentru funcțiile sinus căci în relația 5.30 nu intră decât defazajul dintre  $x_1$  și  $x_2$ , care nu se modifică trecând de la cosinus la sinus în ambele expresii  $x_1$  și  $x_2$ .

#### 5.4.1. Influenta cuantizării asupra măsurării puterii conform algoritmului clasic

Conform algoritmului clasic se determină  $R_{ukik(0)}$  indicatele  $k$  indicând o mărime cuantizată. Determinarea interesează numai pentru  $\tau = 0$ .

- 112 -

Expresia de calcul [52] pentru funcția de intercorelație se poate scrie, pentru  $\Delta u$  în general diferit de  $\Delta i$ :

$$R_{u_k^i k}(0) = R_{ui}(0) - \frac{1}{\pi} \sum_{k=1}^{\infty} \frac{1}{k} \operatorname{Re} \left\{ e^{j2\pi(\frac{1}{2}-\theta)k} \left[ \Delta i \frac{\partial \phi}{\partial v_1} (0, \frac{2\pi}{\Delta t} k) + \right. \right.$$

$$\left. \left. + \Delta u \frac{\partial \phi}{\partial v_2} (\frac{2\pi}{\Delta u} k, 0) \right] \right\} - \frac{1}{2} \frac{\Delta u \cdot \Delta i}{\pi^2} \sum_{k_1=1}^{\infty} \sum_{k_2=1}^{\infty} \frac{1}{k_1 k_2} \operatorname{Re} \left\{ e^{j2\pi(\frac{1}{2}-\theta)(k_1+k_2)} \right.$$

$$\times \left. \left[ \phi(\frac{2\pi}{\Delta u} k_1, \frac{2\pi}{\Delta i} k_2) - \phi(\frac{2\pi}{\Delta u} k_1, -\frac{2\pi}{\Delta i} k_2) \right] \right\} \quad (5.31)$$

Calculul funcției de intercorelație presupune cunoașterea derivatelor funcției caracteristice. Astfel:

$$\left. \frac{\partial \phi}{\partial v_1} \right|_{v_1=0} = -J_1(a_2 v_2) a_1 \cos \varphi; \left. \frac{\partial \phi}{\partial v_2} \right|_{v_2=0} =$$

$$= -J_1(a_1 v_1) a_2 \cos \varphi \quad (\theta = 0)$$

Cu aceasta substituind în 5.31:

$$\bar{P} = P + \frac{\cos \varphi}{\pi} \sum_{k=1}^{\infty} \frac{\cos \pi k(1-2\theta)}{k} \left[ \Delta i U_m J_1(I_m \cdot \frac{2\pi k}{\Delta t}) + \Delta u I_m J_1(U_m \frac{2\pi k}{\Delta u}) \right] -$$

$$- \frac{1}{2} \frac{\Delta u \Delta i}{\pi^2} \sum_{k_1=1}^{\infty} \sum_{k_2=1}^{\infty} \frac{\cos \pi(k_1+k_2)(1-2\theta)}{k_1 k_2} \left\{ J_0 \left[ 2\pi \sqrt{(k_1 \frac{U_m}{\Delta u})^2 + (k_2 \frac{I_m}{\Delta t})^2} \right] - \right.$$

$$\left. + (k_2 \frac{I_m}{\Delta t})^2 + 2k_1 k_2 \frac{U_m I_m}{\Delta u \Delta i} \cos \varphi \right\} - J_0 \left[ 2\pi \sqrt{(k_1 \frac{U_m}{\Delta u})^2 + (k_2 \frac{I_m}{\Delta t})^2} - \right.$$

$$\left. - 2k_1 k_2 \frac{U_m I_m}{\Delta u \Delta i} \cos \varphi \right]$$

Decarece se utilizează cuantizarea cu zeci de nivele (în cel mai rău caz) argumentele funcțiilor Bessel sunt foarte mari și ca atare este posibilă utilizarea dezvoltărilor asymptotice [88]:

- 113 -

$$J_n(x) \approx \sqrt{\frac{2}{\pi x}} \cos\left(x - \frac{\pi}{4} - n \frac{\pi}{2}\right)$$

Prin urmare:

$$\begin{aligned} \bar{P} = P + \frac{\cos \varphi}{\pi} \sum_{k=1}^{\infty} \frac{\cos \tilde{\pi} k(1-2\theta)}{k} & \left[ \Delta i U_m \sqrt{\frac{2}{\pi I_m 2\pi k \Delta i}} \sin\left(I_m \frac{2\pi k}{\Delta i} - \frac{\pi}{4}\right) + \right. \\ & + \Delta u I_m \sqrt{\frac{2}{\pi U_m 2\pi k \Delta u}} \sin\left(U_m \frac{2\pi k}{\Delta u} - \frac{\pi}{4}\right) - \frac{1}{2} \frac{\Delta u \Delta i}{\pi^2} \sum_{k_1=1}^{\infty} \sum_{k_2=1}^{\infty} \frac{1}{k_1 k_2} \\ & \left. \frac{\cos \tilde{\pi}(k_1+k_2)(1-2\theta)}{k_1 k_2} \left[ \sqrt{\frac{2}{\pi z_1}} \cos(z_1 - \frac{\pi}{4}) - \sqrt{\frac{2}{\pi z_2}} \cos(z_2 - \frac{\pi}{4}) \right] \right] \end{aligned} \quad (5.32)$$

unde s-a notat:

$$\begin{aligned} z_1 &= 2i \sqrt{\left(k_1 \frac{U_m}{\Delta u}\right)^2 + \left(k_2 \frac{I_m}{\Delta i}\right)^2 + 2k_1 k_2 \frac{U_m I_m}{\Delta u \Delta i} \cos \varphi} \\ z_2 &= 2i \sqrt{\left(k_1 \frac{U_m}{\Delta u}\right)^2 + \left(k_2 \frac{I_m}{\Delta i}\right)^2 - 2k_1 k_2 \frac{U_m I_m}{\Delta u \Delta i} \cos \varphi} \end{aligned}$$

Relația 5.32 permite aprecierea erorii relative introdusă de cuantizarea la măsurarea puterii. Se consideră  $\theta = 0$ , caz curent utilizat (quantizer cu zonă moartă). Eroarea devine:

$$\begin{aligned} \varepsilon_{pq} &= \frac{\bar{P}-P}{P} = \frac{2}{\pi^2} \sum_{k=1}^{\infty} \frac{(-1)^k}{k \sqrt{k}} \left[ \left(\frac{\Delta i}{I_m}\right)^{3/2} \sin\left(2\pi k \frac{I_m}{\Delta i} - \frac{\pi}{4}\right) + \right. \\ & + \left. \left(\frac{\Delta u}{U_m}\right)^{3/2} \sin\left(2\pi k \frac{U_m}{\Delta u} - \frac{\pi}{4}\right) \right] - \frac{1}{\pi^2 \cos \varphi} \frac{\Delta u}{U_m} \frac{\Delta i}{I_m} \sum_{k_1=1}^{\infty} \sum_{k_2=1}^{\infty} \frac{(-1)^{k_1+k_2}}{k_1 k_2} \\ & \sqrt{\frac{2}{\pi z_1}} \cos(z_1 - \frac{\pi}{4}) - \sqrt{\frac{2}{\pi z_2}} \cos(z_2 - \frac{\pi}{4}) \end{aligned} \quad (5.33)$$

Se observă ușor din relația (5.33) că pentru  $\Delta u \rightarrow 0$  și  $\Delta i \rightarrow 0$  eroarea de măsurare tinde la zero.

Prezintă interes pentru lucrarea de fază cazul în care curentul se cuantizează mult mai fin decât tensiune. În acest caz se consideră  $\Delta i \approx 0$  și  $\Delta u \cdot \Delta i \approx 0$ . Rămâne deci ca parte esențială a erorii:

$$\varepsilon_{pq}^u \approx \frac{2}{\pi^2} \left( \frac{\Delta u}{U_m} \right)^{3/2} \sum_{k=1}^{\infty} \frac{(-1)^k}{k^{3/2}} \sin \left( 2 \pi k \frac{U_m}{\Delta u} - \frac{\pi}{4} \right) \quad (5.34)$$

Este clar că în cazul algoritmilor prezentati cuanta de tensiune poate fi relativ mare deoarece nu se pun probleme de sensibilitate la această mărime în cazul contoarelor.

In cazul  $\cos \varphi = 0$ ,  $P = 0$ . Relația 5.32 indică  $\bar{P}=0$ . Evident primul termen este nul avind ea și factor comun  $\cos \varphi = 0$ . Cum  $Z_1 = Z_2$  pentru  $\cos \varphi = 0$ , și al doilea termen este nul. Rezultă că nu apar erori datorate cuantizării nici la măsurarea unei puteri nule.

Tratarea cazului general cînd tensiune și curentul sunt sume de armonici implică sarcină complicații de calcul. Se poate totuși trata relativ simplu un caz și anume cel corespunzător sarcinii pur rezistive ( $\cos \varphi = 1$ ) și cuantizoarelor pentru tensiune și curent cu aceeași cuantă.

Puterea este media pe o perioadă a produsului  $u \cdot (u/R)$  și pentru a simplifica calculul se presupune  $R$  unitar. Cum ambi factori se cuantizează cu cuante egale, rezultă că se calculează de fapt media  $\bar{u}(u_r^2)$  ca estimare a puterii dezvoltate pe sarcina rezistivă unitară. Calculul mediei patratice implică determinarea funcției caracteristice unidimensională pentru semnalul de tensiune

$$u_r(t) = \sum_{r=1}^{N_a} U_{mr} \sin(r\omega t + \psi_r)$$

unde  $\psi_r$  sint toate considerate faze aleatoare cu distribuție uniformă în  $(0, 2\pi)$ .

Se observă că  $u_r(t) < \sum_{r=1}^{N_a} U_{mr}$  și ca atare densitatea sa de repartiție este limitată ca domeniu de definiție la un segment:

$$h = 2 \sum_{r=1}^{N_a} U_{mr} = 2A$$

Se poate în aceste condiții dezvolta  $w_{u(x)}$  în serie Fourier, serie ce reprezintă densitatea de repartitie numai pentru  $|x| \leq A$ . Se obține [54] pentru densitatea de repartitie:

$$w_{u(x)} = \frac{1}{2A} \sum_{r=0}^{\infty} \left\{ \varepsilon_r \cos r \frac{\tilde{x}_x}{A} \left[ \prod_{k=1}^{N_a} J_0(r \frac{\tilde{x} U_{mk}}{A}) \right] \right\} \quad (5.35)$$

$$\varepsilon_r = 1 \text{ pt } r = 0$$

$$\varepsilon_r = 2 \text{ pt } r \geq 1$$

$$|x| \leq A$$

Cu aceasta funcția caracteristică este:

$$\begin{aligned} \phi_{u(v)} &= \frac{1}{2A} \int_{-A}^{+A} \sum_{r=0}^{\infty} \left\{ \varepsilon_r \times \cos r \frac{\tilde{x}_x}{A} \left[ \prod_{k=1}^{N_a} J_0(r \frac{\tilde{x} U_{mk}}{A}) \right] \right\} e^{jvx} dx = \\ &= \frac{1}{2A} \sum_{r=0}^{\infty} \varepsilon_r \left[ \prod_{k=1}^{N_a} J_0(r \frac{\tilde{x} U_{mk}}{A}) \right] \int_{-A}^{+A} e^{jvx} \cos r \cdot \frac{\tilde{x}_x}{A} dx = \\ &= \frac{1}{2A} \sum_{r=0}^{\infty} \varepsilon_r \left[ \prod_{k=1}^{N_a} J_0(r \frac{\tilde{x} U_{mk}}{A}) \right] \frac{2vA^2}{(vA)^2 - (\tilde{x}_r)^2} (-1)^r \sin vA \end{aligned}$$

Sau în final:

$$\phi_{u(v)} = vA \cdot \sin vA \sum_{r=0}^{\infty} \left\{ \frac{(-1)^r \varepsilon_r}{(vA)^2 - (\tilde{x}_r)^2} \left[ \prod_{k=1}^{N_a} J_0(r \frac{\tilde{x} U_{mk}}{A}) \right] \right\} \quad (5.36)$$

Se substituie  $\phi_{u(v)}$  și derivata sa în relația 3.25:

$$\begin{aligned} \bar{P} &= P + \frac{\Delta u^2}{12} + \frac{2\Delta u A}{\pi^3} \cdot \sum_{n=1}^{\infty} \sum_{r=0}^{\infty} \frac{(-1)^{r+n} \varepsilon_r}{n \left[ (n \frac{2A}{\Delta u})^2 - r^2 \right]} \left[ \prod_{k=1}^{N_a} J_0(r \frac{\tilde{x} U_{mk}}{A}) \right] \\ &- \frac{2}{\pi^3} A \Delta u \sum_{n=1}^{\infty} \sum_{r=0}^{\infty} \left( \sin n \frac{2\tilde{x} A}{\Delta u} - n \frac{2\tilde{x} A}{\Delta u} \cos n \frac{2\tilde{x} A}{\Delta u} \right) \times \\ &\frac{(-1)^{r+n} \varepsilon_r}{n \left[ (n \frac{2A}{\Delta u})^2 - r^2 \right]} \left[ \prod_{k=1}^{N_a} J_0(r \frac{\tilde{x} U_{mk}}{A}) \right] + \frac{8}{\pi^3} \cdot \frac{A^3}{\Delta u} \sum_{n=1}^{\infty} \sum_{r=0}^{\infty} \frac{(-1)^{r+n} \varepsilon_r n}{\left[ (n \frac{2A}{\Delta u})^2 - r^2 \right]^2} \end{aligned}$$

$$\left[ \frac{N_a}{1} \quad J_0(r \frac{x U_{mk}}{A}) \right] \quad (5.37)$$

Avind în vedere puterea mare a numitorilor ce intervin în expresia 5.37, partea principală a erorii absolute comise este  $\frac{\Delta u^2}{12}$  în orice caz mică.

12

### 5.5. Influenta cuantizării asupra măsurării puterii active în cazul primului algoritm propus

După cum s-a văzut se negligează în cazul algoritmului propus pentru putere un termen ce conține o estimare a mediei curentului. Media curentului  $M(i)$  se presupune nulă. Eroarea de determinare a mediei în cazul cuantizării se poate stabili cu ajutorul relației 3.17 (în care  $N_{(i)} = 0$ ).

Întrucât pentru semnalul pur sinusoidal, funcția caracteristică se obține făcând  $v_2 = 0$  în relația 5.30. Ca atare:

$$\Phi_{i(v)} = J_0(I_m v) \quad (5.38)$$

În consecință media curentului cuantizat:

$$M(i_q) = \frac{\Delta i}{\pi} \sum_{k=1}^{\infty} \frac{1}{k} \operatorname{Im} \left\{ (-1)^k J_0(k \frac{2\pi}{\Delta i} I_m) \right\} = 0$$

deoarece  $J_0$  este o funcție reală (cu coeficientul părții imaginare nul) iar  $(-1)^k$ , de asemenea.

Erorile cauzate de cuantizare în cazul primului algoritm propus nu depășesc erorile algoritmului clasic.

Această afirmație este valabilă în totalitate numai în cazul în care diferența se calculează cu 5 nivele.

În cazul utilizării a 3 nivele sau a modulației delta, eșantioanele succesive nu mai pot fi considerate ca necorelate.

Se arată în literatura de specialitate [94] că, utilizarea cuantizării diferențiale ce nu are erori de neurmărire (ca și în cazul măsurării puterii sau energiei prin algoritmul propus) duce la creșterea puterii zgomotului de cuantizare peste  $\Delta x^2/12$ . Această creștere este datorată corelației eșantioanelor succesive și duce în ultimă instanță la creșterea erorilor de determinare a puterii.

După cum se arată [94], în cazul a mai mult de 4 nivele de cuantizare pentru diferență, aceste efecte sunt neglijabile. Ca atare este de așteptat o creștere a erorii peste cea indicată de relațiile prezentate în cazul utilizării cuantizării diferenței cu 3 nivele sau al utilizării modulației delta. Cind se utilizează 5 nivele de cuantizare relațiile rămân practic cele stabilite mai înainte.

Complicații serioase de calcul recomandă utilizarea simulării pentru cazul în care eșanticanele succesive nu pot fi considerate independente .

#### 5.6. Influenta cuantizării asupra măsurării energiei active

Se poate considera că eroarea de cuantizare în cazul măsurării energiei active este aceeași cu cea care apare la măsurarea puterii.

Evident se poate scrie:

$$\bar{W} = T_e \cdot N \cdot \left[ \frac{1}{N} \sum_{j=0}^{N-1} u_{qj} i_{qi} \right]$$

Eroarea de determinare a mediei din parantezele drepte este identică cu cea comisă în cazul puterii, ceea ce demonstrează afirmația făcută.

Aceleasi observații se pot face și în legătură cu creșterea erorii introduse de cuantizare (față de algoritmul clasic) datorită corelației eșanticanelor successive.

#### 5.7. Erori în măsurarea puterii și energiei active datorate imperfecțiunii convertoarelor analog-numerice și circuitelor de esantionare și memorare.

Pentru măsurarea puterii și a energiei se prelvează în principiu, eșantioane succesive de tensiune și curent eșantionate ce apoi se cuantizează. Zgomotul de cuantizare [52] discutat pînă acum și care apare ca o eroare comisă înlocuind mărimea continuă cu una discretizată (eroare de maximum  $\pm \Delta x/2$ ) însoteste convertorul ideal.

Converterul ideal are caracteristica de transfer în scără (figura 3.9), treapta acesteia fiind o constantă,  $\Delta x$ .

De asemenea, circuitul de eşantionare și memorare ideal reține mărimea aflată la intrarea sa în momentul blocării cheii de eşantionare.

Convertearele și circuitele de eşantionare și memorare reale introduc erori datorate imperfecțiunilor lor constructive. Astfel în cazul circuitelor de eşantionare și memorare mărimea reținută se abate de la cea ideală, erori de 0,01% apărind în mod curent. În cazul convertoarelor apar [64] erori de decalaj ale nulului (offset), de ciștig precum și erori de neliniaritate ale caracteristicii de transfer. Erorile de decalaj și cele de ciștig pot fi mult diminuate prin reglaje periodice și ca atare efectul acestora asupra măsurării puterii și energiei nu va fi discutat. Erorile de neliniaritate ale convertoarelor sunt cele mai grave, ele afectând eşantionarea în mod sistematic.

In fig.5.1 se prezintă o caracteristică de transfer reală ( $r$ ) a unui convertor, precum și o caracteristică de transfer ideală ( $i$ ). Nijloacele intervalelor de cuantizare sunt unite de curba a - pentru caracteristica ideală - respectiv b pentru caracteristica reală. Diferența maximă măsurabilă pe o paralelă la axa  $x$  între curbele a și b nu trebuie să intreacă

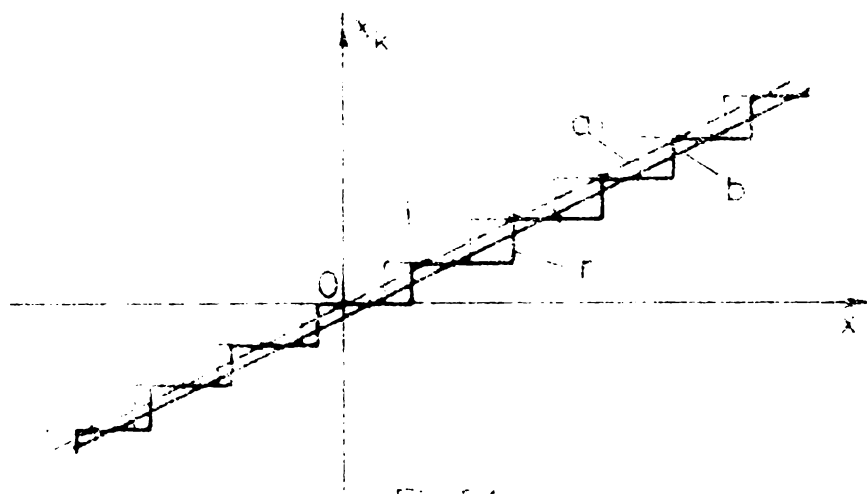


Fig 5.1

$\Delta x$  [64]. Alinierea convertoarelor se poate face în așa fel [64] încit curbele a și b să coincidă la capetele domeniului de conversie, eroarea de neliniaritate fiind în valoare absolută cel mult  $\Delta x$ . Dacă însă alinierea se efectuează la un capăt al domeniului și la aproximativ 70% din domeniu [64] eroarea de

neliniaritate luată în valoare absolută scade sub  $\Delta x/2$ .

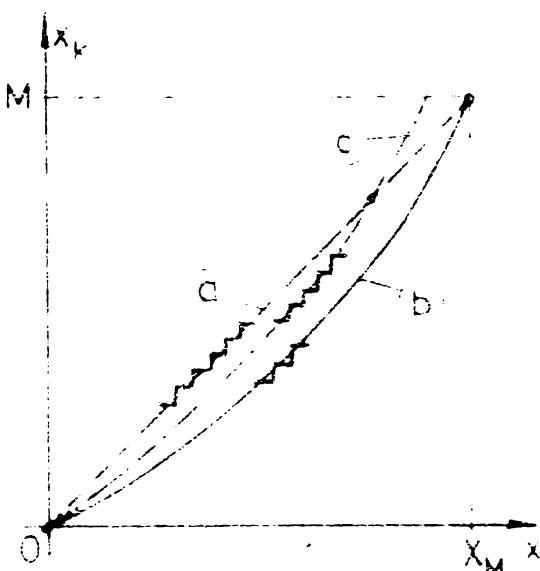


Fig. 5.2

In figura 5.2 se prezintă caracteristica ideală (a) a unui convertor unipolar, caracteristica reală aliniată la 70% din domeniul (c). Pentru obținerea convertorului bipolar se polarizează caracteristicile din figura 5.2. Pentru a nu studia separat influența erorilor circuitului de eşantionare și memorare, se presupune în cele ce urmează caracteristicile de transfer (reale) ale convertoarelor incluzându-le și pe ale acestora.

Eşantionul de tensiune și curent se exprimă prin:

$$u_j = N U_j \cdot \Delta u + E_{uj}$$

$$i_j = N I_j \cdot \Delta i + E_{ij}$$

unde  $E_{uj}$  și  $E_{ij}$  sunt erorile absolute ce afectează eşantionul  $j$  de tensiune respectiv curent.

Dacă  $\gamma_{uj}$  și  $\gamma_{ij}$  sunt zgomotele de cuantizare pentru tensiune și curent, considerind ideală caracteristica de transfer a convertorului și dacă  $z_{uj}$  și  $z_{ij}$  sunt erorile de neliniaritate:

$$E_{uj} = \gamma_{uj} + z_{uj}$$

$$E_{ij} = \gamma_{ij} + z_{ij}$$

Cu acestea:

$$\begin{aligned} \bar{P} &\approx \frac{1}{N} \sum_{j=0}^{N-1} (NU_j \cdot \Delta u + \gamma_{uj} + z_{uj})(NI_j \cdot \Delta i + \gamma_{ij} + z_{ij}) = \\ &= \frac{\Delta u \cdot \Delta i}{N} \sum_{j=0}^{N-1} NU_j \cdot NI_j + \left\{ \frac{\Delta u}{N} \sum_{j=0}^{N-1} NU_j \cdot \gamma_{ij} + \frac{\Delta i}{N} \sum_{j=0}^{N-1} NI_j \cdot \gamma_{uj} + \right. \\ &\quad \left. + \frac{1}{N} \sum_{j=0}^{N-1} \gamma_{uj} \gamma_{ij} \right\} + \left\{ \frac{\Delta u}{N} \sum_{j=0}^{N-1} NU_j \cdot z_{ij} + \frac{\Delta i}{N} \sum_{j=0}^{N-1} NI_j \cdot z_{uj} + \right. \end{aligned}$$

$$+ \frac{1}{N} \sum_{j=0}^{N-1} y_{ij} z_{uj} + \frac{1}{N} \sum_{j=0}^{N-1} y_{ij} z_{uj} + \frac{1}{N} \sum_{j=0}^{N-1} z_{uj} z_{ij} \} _2 \quad (5.39)$$

Prințul termen din relația 5.39 reprezintă puterea înregistrată efectiv de aparat iar următorii termeni cuprinși în paranteza  $\{ \}_1$  reprezintă eroarea de măsurare cauzată de convertoarele ideale având cuantele  $\Delta u$  și  $\Delta i$ . Termenii cuprinși în paranteza  $\{ \}_2$  reprezintă eroarea suplimentară ce apare datorată nelinierității caracteristicii de transfer.

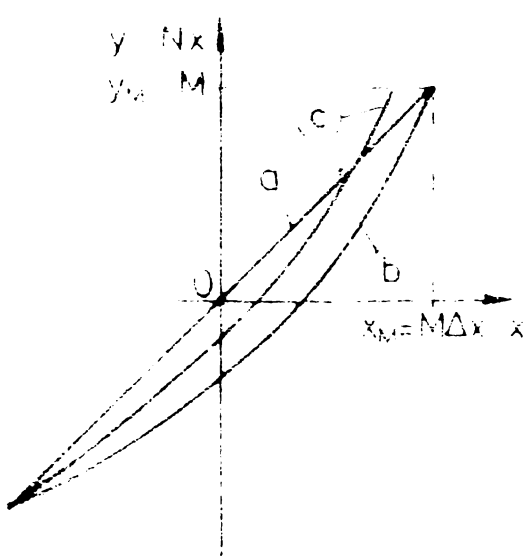


Fig. 5.3

Pentru a aprecia ordinul de mărime al erorii datorate nelinierităților, pe baza datelor existente în literatură cu privire la caracteristica de transfer a convertoarelor ([63], [64], [70], [95]), s-a apropiat aceasta cu un polinom de gradul 2.

In cazul unei caracteristici bipolare (figura 5.3) aliniată la capete - curba b - se presupune că eroarea de nelinieritate maximă apare la  $y=0$ . Ecuatia curbei b fiind apropiată cu:

$$x_b = Ay^2 + By + C$$

și impunind ca eroarea la capete ( $\pm x_M$ ) să fie nulă și maximă ( $\pm \Delta x$ ) la  $y = 0$  se obține sistemul:

$$\pm N \Delta x = A\Delta x^2 \pm B\Delta x + C$$

$$\dot{\psi} \cdot \Delta x = C \quad (\dot{\psi} = \pm 1)$$

Rezolvând sistemul :

$$x_b = -\dot{\psi} \frac{\Delta x}{M^2} y^2 + \Delta x y + \dot{\psi} \Delta x$$

și deci eroarea de nelinieritate:

$$\begin{aligned} Z = x_b - x_a &= -\dot{\psi} \frac{\Delta x}{M^2} (Nx)^2 + \Delta x (Nx) + \dot{\psi} \Delta x - \Delta x (Nx) = \\ &= \dot{\psi} \Delta x \left[ 1 - \left( \frac{Nx}{M} \right)^2 \right] \end{aligned} \quad (5.40)$$

relație în care Nx este codul pentru x.

In ceea ce privește termenii din paranteza  $\{ \}$  a relației 5.39, zgorsoul de cuantizare și eroarea de neliniaritate fiind necorelate se pot neglija a 3-a și a 4-a sumă.

Eroarea absolută cauzată de neliniaritate este deci:

$$\Delta P_2 = \frac{\Delta u}{N} \sum_{j=0}^{N-1} N U_j \cdot Z_{ij} + \frac{\Delta I}{N} \sum_{j=0}^{N-1} N I_j \cdot Z_{uj} + \frac{1}{N} \sum_{j=0}^{N-1} Z_{uj} Z_{ij} \quad (5.41)$$

și pentru neliniaritatea  $Z$  dată de 5.40 devine:

$$\begin{aligned} (\Delta P_2)_1 &= \frac{\Delta u \Delta I}{N} \left[ \Psi_u \sum_{j=0}^{N-1} N I_j + \Psi_i \sum_{j=0}^{N-1} N U_j - \frac{\Psi_u}{M_u^2} \sum_{j=0}^{N-1} N U_j^2 \cdot N I_j - \right. \\ &- \frac{\Psi_i}{M_I^2} \sum_{j=0}^{N-1} N I_j^2 \cdot N U_j + N \Psi_u \Psi_i + \frac{\Psi_u \Psi_i}{M_u^2 M_I^2} \sum_{j=0}^{N-1} N U_j^2 \cdot N I_j^2 - \frac{\Psi_u \Psi_i}{M_I^2} \sum_{j=0}^{N-1} N I_j^2 - \\ &\left. - \frac{\Psi_u \Psi_i}{M_u^2} \sum_{j=0}^{N-1} N U_j^2 \right] \quad (5.42) \end{aligned}$$

Pentru cazul tensiunii și curentului de forma:

$$u = U_m \sin \omega t$$

$$i = I_m \sin(\omega t + \varphi)$$

integralele estimate de sumele din relația 5.42 sunt:

$$\begin{aligned} \int_0^T U_m \sin \omega t dt &= \int_0^T I_m \sin(\omega t + \varphi) dt = \int_0^T U_m^2 I_m \sin^2 \omega t \sin(\omega t + \varphi) dt \\ &= \int_0^T U_m I_m^2 \sin \omega t \sin^2(\omega t + \varphi) dt = 0 \\ \int_0^T U_m^2 I_m^2 \sin^2 \omega t \sin^2(\omega t + \varphi) dt &= U_m^2 I_m^2 T \cdot \frac{1+2 \cos^2 \varphi}{8} \\ \int_0^T U_m^2 \sin^2 \omega t dt &= T \frac{U_m^2}{2}; \quad \int_0^T I_m^2 \sin^2(\omega t + \varphi) dt = T \frac{I_m^2}{2} \\ T &= \omega T_e \end{aligned}$$

și deci relația 5.42 devine, neîlijind erorile de estimare ale integralelor:

- 122 -

$$(\Delta P_2)_1 = \frac{\Psi_i \Psi_u \Delta i \Delta u}{2} \left[ 2 + \left( \frac{NIM}{M_1} \right)^2 \left( \frac{NUM}{M_u} \right)^2 - \frac{1+2 \cos^2 \varphi}{4} - \left( \frac{NIM}{M_1} \right)^2 - \left( \frac{NUM}{M_u} \right)^2 \right] \quad (5.43)$$

Raportând această valoare la estimarea puterii scrisă sub formă:

$$P \approx \frac{(NUM, \Delta u)(NIM, \Delta i)}{2} \cos \varphi$$

(unde prin NUM și NIM s-au notat codurile furnizate de convertor pentru valorile  $U_m$  respectiv  $I_m$ ), se obține eroarea relativă datată neliniarității sub formă (pentru  $\cos \varphi = 1$ ):

$$\varepsilon_1 = \left| \frac{(\Delta P_2)_1}{P} \right| \approx \frac{2 + \frac{3}{4} \left( \frac{NUM}{M_u} \right)^2 \left( \frac{NIM}{M_1} \right)^2 - \left( \frac{NUM}{M_u} \right)^2 - \left( \frac{NIM}{M_1} \right)^2}{\left( \frac{NUM}{M_u} \right) \left( \frac{NIM}{M_1} \right)} \cdot \frac{1}{M_u M_1} \quad (5.44)$$

Pentru  $M_1 = M_u = 2^{10} \approx 1000$  (convertor de 11 c.b din care 1 de semn) și dacă  $NUM/M_u = 0,8$ ,  $NIM/M_1 = 0,8$  se obține  $\varepsilon_1 \approx 10^{-4}\%$ .

Prezintă interes cazul în care maximul abaterii caracteristicii de transfer reale (b) nu apare la  $y=0$  ci la  $Y_o(N_o)$ . Se caută direct Z sub forma  $Z = Ay^2 + By + C$  și se scriu relațiile:

$$\begin{aligned} A(M-N_o)^2 + B(M-N_o) + C &= 0 \\ A(M+N_o)^2 + B(M+N_o) + C &= 0 \\ AN_o^2 - BN_o + C &= \Psi \Delta x \quad (\Psi = \pm 1) \end{aligned}$$

Rezolvând sistemul se obține pentru eroarea de neliniaritate a convertorului relația:

$$Z = - \frac{\Psi \Delta x}{M^2} (y^2 + 2N_o y + N_o^2 - M^2) \quad (5.45)$$

Substituind în 5.42 și ținând seama de valoarea integralelor date în cazul tensiunii și curentului pur sinusoidale și  $\cos \varphi = 1$  se obține:

$$\begin{aligned}
 (\Delta P_2)_2 &\approx -(\text{NUM. } \Delta u)(\text{NIM. } \Delta i)(2\dot{\psi}_u \dot{\psi}_i \frac{N_{ou}}{M_u^2} \frac{N_{oi}}{M_i^2} - \dot{\psi}_u \frac{N_{ou}}{M_u^2} - \dot{\psi}_i \frac{N_{oi}}{M_i^2}) + \\
 &+ \dot{\psi}_u \dot{\psi}_i \Delta u \Delta i \left\{ \frac{3}{8} \left( \frac{\text{NUM}}{M_u} \right)^2 \left( \frac{\text{NIM}}{M_i} \right)^2 - \frac{1}{2} \left[ 1 - \left( \frac{N_{ou}}{M_u} \right)^2 \right] \left( \frac{\text{NIM}}{M_i} \right)^2 - \frac{1}{2} \left[ 1 - \right. \right. \\
 &\left. \left. - \left( \frac{N_{oi}}{M_i} \right)^2 \right] \left( \frac{\text{NUM}}{M_i} \right)^2 + \left[ 1 - \left( \frac{N_{ou}}{M_u} \right)^2 \right] \left[ 1 - \left( \frac{N_{oi}}{M_i} \right)^2 \right] \right\} \quad (5.46)
 \end{aligned}$$

Dacă  $N_{ou} = N_{oi} = 0$ , din 5.46 se obține 5.43 particularizată pentru  $\cos \varphi = 1$ .

Se poate calcula eroarea relativă  $\varepsilon_2$  ca și în primul caz.

Pentru  $|N_{ou}/M_u| = |N_{oi}/M_i| = 0,2$ ,  $\text{NUM}/M_u = \text{NIM}/M_i = 0,8$ ,  $M_i = M_u \approx 1000$  dacă  $\text{Sgn}(M_{ou}\dot{\psi}_u) = \text{Sgn}(M_{oi}\dot{\psi}_i)$  se obține  $\varepsilon_2 \approx 8 \cdot 10^{-2}\%$ , o eroare mare. Dacă însă semnele sunt opuse eroarea scade foarte mult (devine de ordinul a  $10^{-4}\%$ ).

Rezultă deci condiția imperecherii convertoarelor cu caracteristica de tip b (figura 5.3):

$$\text{Sgn}(M_{ou}\dot{\psi}_u) = -\text{Sgn}(M_{oi}\dot{\psi}_i) \quad (5.47)$$

Dacă  $M_{ou} \approx 0$  și/sau  $M_{oi} \approx 0$  nu se impune vreă condiție celuilalt convertor.

O ultimă posibilitate analizată este cea în care caracteristica de transfer a convertorului este de tip (C). Pentru convertorul unipolar având domeniul  $0 \div 2M$  impunind abaterii  $Z = Ax^2 + Bx + C$  să aducă un maxim de  $\dot{\psi}_{\Delta x}/2$  la capătul domeniului și  $-\dot{\psi}_{\Delta x}/2$  în domeniu se obține sistemul:

$$0 = C$$

$$\dot{\psi}_{\frac{\Delta x}{2}} = A(2M)^2 + B(2M + 0)$$

$$Z_{\max} = -\frac{B^2 - 4AC}{4A} = -\frac{\dot{\psi}_{\Delta x}}{2}$$

Cu notația  $m = 2M/(1 + \sqrt{2})$  soluția sistemului conduce la:

$$z = \frac{\dot{\psi}_{\Delta x}}{2} \left[ \left( \frac{x}{m} \right)^2 - 2 \left( \frac{x}{m} \right) \right]$$

Având acest convertor (unipolar) la M se obține un convertor bipolar, cu domeniul  $(-\frac{M}{2}, +\frac{M}{2})$  și expresia pentru z devine:

$$z = \frac{\dot{\psi}_{\Delta x}}{2} \left[ \left( \frac{x+2M}{2m} \right)^2 - 2 \frac{x+2M}{2m} \right] \quad (5.48)$$

Această din urmă expresie permite aprecierea erorilor de măsurare datorate neliniarităților. Pentru un regim pur sinusoidal și  $\cos \varphi = 1$  se obține eroarea relativă (abs fiind valoare absolută):

$$\begin{aligned} \varepsilon_3 \approx \text{Abs} \left\{ \frac{1+\sqrt{2}}{8} \left( \frac{\dot{\psi}_u}{m_u} \frac{\text{NUM}/M_u}{\text{NIM}/M_i} + \frac{\dot{\psi}_i}{m_i} \frac{\text{NIM}/M_i}{\text{NUM}/M_u} \right) + \frac{\sqrt{2}-1}{4} \left( \frac{\dot{\psi}_u}{m_u} + \right. \right. \\ \left. \left. + \frac{\dot{\psi}_i}{m_i} \right) \frac{1}{(\text{NIM}/M_u)(\text{NIM}/M_i)} + \frac{3(3+2\sqrt{2})}{256} \frac{\dot{\psi}_u}{m_u} \cdot \frac{\dot{\psi}_i}{m_i} \cdot \frac{\text{NUM}}{M_u} \cdot \frac{\text{NIM}}{M_i} + \right. \\ \left. + \frac{3+2\sqrt{2}}{64} \frac{\dot{\psi}_u}{m_u} \cdot \frac{\dot{\psi}_i}{m_i} \left( \frac{\text{NUM}/M_u}{\text{NIM}/M_i} + \frac{\text{NIM}/M_i}{\text{NUM}/M_u} \right) + \frac{7+2\sqrt{2}}{4} \frac{\dot{\psi}_u}{m_u} \frac{\dot{\psi}_i}{m_i} + \right. \\ \left. \left. + \frac{3+2\sqrt{2}}{32} \frac{\dot{\psi}_u}{m_u} \frac{\dot{\psi}_i}{m_i} \frac{1}{(\text{NUM}/M_u)(\text{NIM}/M_i)} + \frac{1+\sqrt{2}}{4} \left( \frac{\dot{\psi}_u}{m_u} + \frac{\dot{\psi}_i}{m_i} \right) \right) \right\} \end{aligned} \quad (5.49)$$

In condițiile  $M_u = M_i \approx 10^3$ ,  $\text{NUM}/M_u = 0,8$ ,  $\text{NIM}/M_i = 0,8$ ,  $m_u = m_i \approx 850$  și pentru  $\dot{\psi}_u = \dot{\psi}_i$  se obține  $\varepsilon_3 = 0,2\%$  eroare inadmisibil de mare.

Dacă însă  $\dot{\psi}_u = -\dot{\psi}_i$  eroarea scade foarte mult, dar oricum ponderea primului și a ultimului termen este foarte mare și ca atare la nici dezechilibre eroarea crește mult.

Se poate trage deci concluzia că este mult mai avantajoasă utilizarea, în vederea determinării puterii și a energiei, unor convertoare cu caracteristica de transfer reală de tip (b).

În cazul algoritmilor propuși în lucrare se neglijeză un termen și ca atare eroarea de măsurare, datorată neliniarității se modifică, față de cazul algoritmului clasic. Conform relației 4.10 se neglijeză termenul  $-\mu_{qN-1}(1/N) \sum_{k=0}^{N-1} i_{qk}$ . Cum efectul cuantizării în cazul convertorului ideal a fost studiat, rămîne ca și termen suplimentar de eroare datorată neliniarității cantitățea:

$$\Delta P_3 \approx -\mu_{qN-1} \frac{1}{N} \sum_{k=0}^{N-1} z_{ik} \quad (5.50)$$

În cazul erorii de neliniaritate  $z_{ik}$  de tipul dat în relația 5.40 eroarea absolută comisă devine:

$$\begin{aligned} (\Delta P_3)_1 &\approx -\mu_{qN-1} \frac{1}{N} \sum_{k=0}^{N-1} \psi_i \Delta i \left[ 1 - \left( \frac{NI_k}{M_i} \right)^2 \right] = \\ &\approx -\psi_i \Delta i \cdot \mu_{qN-1} \left[ 1 - \frac{1}{2} \left( \frac{NI_k}{M_i} \right)^2 \right] \end{aligned} \quad (5.51)$$

eroare neglijabilă dacă începutul eşantionării coincide aproximativ cu trecerea prin zero a tensiunii, cas în care  $u_{N-1}$  este un eşantion prelevat de asemenea în apropierea trecerii prin zero a tensiunii.

În cazul erorii de neliniaritate  $z_{ik}$  de tipul descris din relația 5.45 eroarea absolută suplimentară cauzată de neglijare este:

$$\begin{aligned} (\Delta P_3)_2 &= +\mu_{qN-1} \frac{1}{N} \sum_{k=0}^{N-1} \frac{\psi_i \Delta i}{M_i^2} \left[ (NI_k + u_{oi})^2 - M_i^2 \right] = \\ &\approx \psi_i \Delta i \cdot \mu_{qN-1} \left( \frac{2N_{oi}^2 + NI^2}{2 M_i^2} - 1 \right) \end{aligned} \quad (5.52)$$

Se observă că este mai mare decât cea dată de relația 5.51. Ca și în primul cas sincronizarea declanșării măsurării permite reducerea acestei erori.

Ultimul caz tratat corespunde erorii  $Z_{1k}$  date de relația 5.48. Substituind:

$$(\Delta P_3)_3 \approx -\frac{U_{qN-1}}{N} \sum_{k=0}^{N-1} \frac{\gamma_i \Delta i}{2} \left[ \left( \frac{NI_k + 2M_i}{2m_i} \right)^2 - \frac{NI_k + 2M_i}{m_i} \right].$$

$$\approx -\frac{\gamma_i \Delta i}{8} \frac{U_{qN-1}}{2} \left[ \frac{1}{2} \left( \frac{NIM}{m_i} \right)^2 - 1 - 2\sqrt{2} \right] \quad (5.53)$$

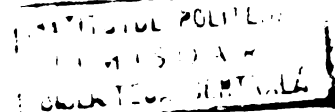
Si în acest caz eroarea medie poate scădea mult la sincronizare.

Este evident că aceleasi probleme pe care le ridică măsurarea puterii le ridică și măsurarea energiei, neglijînd energia corespunzătoare timpului ce excede unui număr întreg de perioade. Ca atare erorile determinate rămân valabile și pentru contoare (în forma de erori relative) și valabile rămân și concluziile privind alegerea convertoarelor.

După cum se poate remarcă cele mai importante erori ce apar la măsurarea puterii și a energiei nu sunt cele cauzate de eşantionare și cuantizare ci de neliniaritățile convertoarelor. Cum pentru calculul puterii și al energiei sunt suficiente un număr relativ redus de cifre binare, apare posibilitatea utilizării numai a primelor (cele mai semnificative) cifre ale unor convertoare de mai multe cifre (decit sunt necesare). În felul acesta eroarea de neliniaritate este mult mai redusă - corespunzătoare cuantei convertorului - fără însă a utiliza în calcul prea multe (inutile) cifre. Evident soluția este costisitoare.

O altă posibilitate e reprezentă corecția caracteristicii convertorului. O schemă ce permite corecția caracteristicii este cea din figura 5.4. Se compune dintr-un convertor propriu-zis ce livrează  $n$  cifre. Acestea constituie un vector de adresă pentru o memorie cu capacitatea de  $2^n$  cuvinte, fiecare cuvânt având lungimea de  $n$  sau  $n+1$  cifre binare. Capacitatea memoriei este de  $n \times 2^n$  sau  $(n+1) \cdot 2^n$ .

In cadrul operației de calibrare a convertorului se aplică acestuia o tensiune variabilă în trepte foarte fine, de la o sursă decodică de mare precizie. Codul  $N$  livrat, cod ce mu corespunde (în general) codului corect  $N$  al tensiunii aplicate, este adresa locației de memorie în care se inscrie valoarea



N (corectă). Evident este necesară strictă monotonie a caracteristicii convertorului.

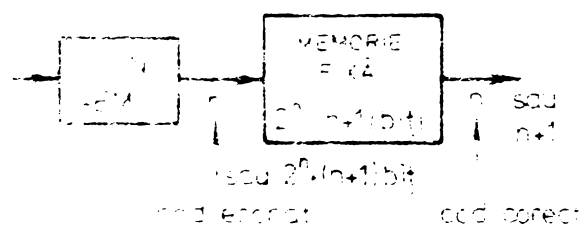


Fig. 5.4

Operația de înscriere în memorie fixă (tip EPROM) trebuie refăcută din timp în timp pentru a menține erorile datorate neliniarității în limite acceptabile.

In legătură cu influența conversiei asupra măsurării puterii și a energiei se pune și problema indeciziei comparatorului. Datorită zgomotului echivalent de la intrarea comparatorului, în zona de tranziție a acestuia pot apărea decizii false. Ca atare caracteristica de transfer a convertorului arată ca în figura 5.5. O

schemă echivalentă a unui convertor real [103] este cea din figura 5.6. Convertorul CANI ce apare în schema echivalentă are caracteristica de transfer neafectată de zgomot.

Semnalului de convertit îi se adaugă un zgomot (cu distribuție normală) al cărui efect este același cu cel obținut la convertorul real cind îi se aplică  $u_{(t)}$ . Dar zgomotul  $u_z(t)$  nu este corelat cu semnalul de convertit  $u_{(t)}$ .

Se arată în literatură [65], [66], [104] că zgomote auxiliare adăugate

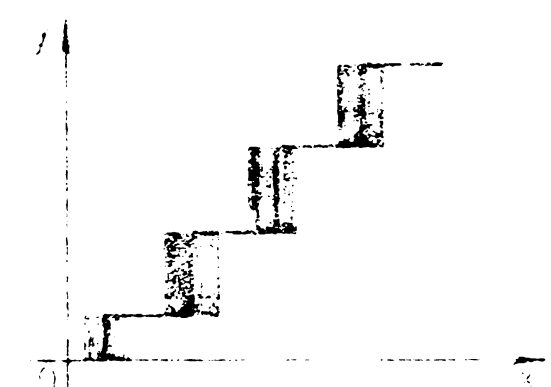


Fig. 5.5

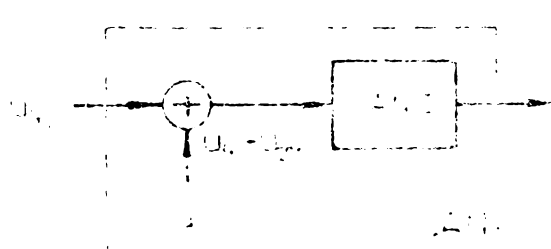


Fig. 5.6

unor semnale ce apoi se cuantizează și cu valorile numerice obținute se calculează funcția de intercorelație îmbunătățesc chiar precizia de determinare a acesteia. Efectul suprapunerii zgomotului auxiliar este echivalent cu reducerea (virtuală) a cuantei convertoarelor. Este necesar ca zgomotul aplicat să nu fie corelat cu semnalul (și nici între ele cele 2 zgomote aplicate). Pentru obținerea unui efect vizibil de îmbunătățire a preciziei este necesară o anumită corelație între  $\bar{u}_z$  și  $\Delta x$  [104] și anume  $\bar{u}_z \approx \Delta x$  corelație ce nu se satisfacă în cazul de față, unde  $\bar{u}_z \ll \Delta x$ .

Oricum, nu se înrăutățește precizia de măsurare a puterii (care este o funcție de intercorelație) și a energiei (implicit) datorită zgomotului intrinsec al convertoarelor.

**5.8. Influenta erorilor de fază ale sistemului de amplificare asupra preciziei de măsurare a puterii și energiei active.**

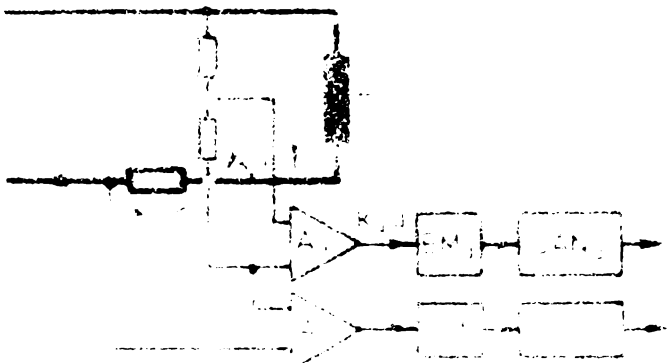
După cum s-a văzut în paragraful 5.8 un decalaj constant în timp între momentele de eșantionare ale tensiunii și curentului conduce la modificarea defazajului între tensiune și curent cu:

$$\Delta \varphi_e = 2 \pi T_{oe} / T$$

In cazul în care de la suntul de măsurare al curentului și de la divizorul de tensiune (sau de la transformatoarele respective) se obțin semnale de nivel prea mic, incompatibile cu nivelele pretinse de convertor, este necesară intercorelarea unor amplificatoare,  $A_u$ , respectiv  $A_i$  - figura 5.7. Semnalele aplicate aparatului propriu-zis (considerat de la circuitele EM încolo) sunt:

$$k_u A_u u = K_u u$$

$$k_i A_i i = K_i i$$



Pentru o măsurare precisă este necesar ca factorii de proporționalitate  $k_u, k_i, A_u$  și  $A_i$  să fie constanți atât cu mărimea semnalului aplicat cât și cu frecvența.

In ceea ce privește  $k_u$  (divizorul) și  $k_i$  (suntul) aceste condiții sunt relativ ușor de îndeplinit [78]. Cît privește amplificatoarele de tensiune și curent acestea se realizează cu cîte un amplificator operațional cu cîstigul în buclă deschisă aproximabil, în domeniul ce ne interesează, prin [68]:

$$A_o(f) = \frac{A_o}{1 + j \frac{f}{f_1}}$$

unde  $f_1$  este primul pol.

Pentru obținerea cîstigului necesar,  $A$ , se aplică amplificatorului o reacție negativă puternică, amplificarea la joasă frecvență fiind:

$$A = \frac{A_0}{1 + \beta A_0} \approx \frac{1}{\beta}$$

unde  $\beta$  este coeficientul de transfer al quadripolului de reacție [68]. Cum acesta se realizează cu elemente precise și stabile și desensibilizarea amplificatorului este foarte mare, rezultă o amplificare  $A$  - la joasă frecvență - foarte precisă și stabilă în timp.

In ceea ce privește dependența de frecvență, aceasta are forma:

$$A(f) = \frac{A}{1 + j \frac{f}{f_{ir}}}$$

relație în care  $f_{ir}$  este polul amplificatorului cu reacție:

$$f_{ir} = f_i(1 + \beta A_0)$$

In dreptul polului modificarea de fază a coeficientului de amplificare este de  $45^\circ$ . Prin compensarea primului pol, caracteristica de frecvență plată se întinde pînă aproape de  $f_{ir}$  [68].

Dacă se exploatează o porțiunea domeniului de frecvență în care faza coeficientului de amplificare nu suferă modificări importante față de cea de la joasă frecvență, nici nu apar diferențe de fază esențiale între cele două canale. Este clar că nu deranjează modificarea de fază a coeficientului de amplificare (atît timp cît modulul său rămîne constant) cît diferențele ce apar între cele 2 canale.

Pentru un amplificator cu produsul amplificare bandă de 10 MHz (tip curent) e amplificare de 10 (cît este în general necesară pentru a limita excursia maximă, între vîrfuri, a semnalelor culese de pe divizor respectiv sunt la  $1^V$  ( $\approx 425mV$  valoare efectivă),  $f_{ir}$  este de 1 MHz și compensînd acest pol modificarea de fază pînă la frecvențe de zeci de kiloherți este [70] ne-neglijabilă. Se pot obține diferențe de fază între canale de ordinul

în 1 minut pînă la frecvențe de zeci de kiloherți. În domeniul 50 Hz ÷ 1500 Hz (a 30-a armonică) diferența de fază este de ordinul cîtorva zeci de secunde.

Apare deci, ca urmare a introducerii amplificatoarelor, o modificare suplimentară de fază  $\Delta\varphi_a$  și deci o eroare de fază totală:

$$\Delta\varphi = \Delta\varphi_e + \Delta\varphi_a$$

Că atare aparatul ce măsoară puterea, de exemplu, tinde cu indicația spre ( $\Delta\varphi$  fiind foarte mică):

$$\frac{U_m I_m}{2} \cos(\varphi + \Delta\varphi) \approx \frac{U_m I_m}{2} [(1 - \Delta\varphi \cos\varphi - \Delta\varphi \sin\varphi)]$$

și rezultă o eroare relativă:

$$\varepsilon_\varphi \approx |\Delta\varphi(1 + \tan\varphi)| \quad (5.54)$$

ce crește rapid cu creșterea defazajului  $\varphi$  dintre tensiune și curent.

Dacă semnalele ce se aplică aparatului pe cele două canale sunt unificate ca și mărime, se poate aplica o strategie de măsurare, citată în literatură ([24]) ce are ca efect reducerea erorii relative.

Astfel dacă se măsoară un interval de timp puterea (sau energia) și apoi se inversează între ele amplificatoarele (lucru posibil dacă  $A_u = A_i$ ) și circuitele de eșantionare și memorare (grupul  $A_u - EM_u$  se comută de pe canalul de tensiune pe cel de curent și invers) măsurînd din nou puterea (energia) același interval de timp, se obțin - pentru putere indicațiile:

$$P_1 = \frac{U_m I_m}{2} \cos(\varphi + \Delta\varphi)$$

$$P_2 = \frac{U_m I_m}{2} \cos(\varphi - \Delta\varphi)$$

Calculînd media acestor indicații se obține:

$$P_{med} = \frac{U_m I_m}{2} (\cos\varphi) \times (1 - \Delta\varphi)$$

și deci o eroare relativă:

$$\varepsilon_\varphi = |\Delta\varphi| \quad (5.55)$$

ce se poate coborî sub  $10^{-3}\%$  pînă la frecvențe de ordinul kilohertizilor. După cum se vede eroarea nu depinde (în primă aproximație) de defazajul între curent și tensiune. Evident procedura de reducere a erorii descrisă este valabilă numai în regim stationar.

In ceea ce privește energia, nu este necesară operația de mediere ci doar interschimbarea sistemelor amplificator-circuit de eşantionare și memorare la intervale de timp egale. Dacă  $\Delta t$  este intervalul cît se execută o măsurare, pentru un timp  $2\Delta t$  energia este:

$$W = \Delta t \frac{U_m I_m}{2} \cos(\varphi + \Delta\varphi) + \Delta t \frac{U_m I_m}{2} \cos(\varphi - \Delta\varphi) = \\ = 2\Delta t \frac{U_m I_m}{2} (1 - \Delta\varphi) \cos\varphi$$

Eroarea relativă este deci tot:

$$\varepsilon_\varphi = |\Delta\varphi| \quad (5.56)$$

Un astfel de procedeu de reducere a erorii de măsurare se poate aplica schemelor ce funcționează pe baza primului algoritm propus în lucrare. Pentru schemele ce lucrează pe baza celui de-al doilea algoritm se poate reduce numai efectul defazajului  $\Delta\varphi_a$  interschimbînd numai amplificatoarele  $A_u$  și  $A_1$ .

#### 5.9. Concluzii privind erorile de măsurare a puterii și a energiei active.

După cum s-a văzut, cauzele generatoare de erori de măsurare ale puterii sunt:

I - eşantionarea, care în condițiile sincronismului nu dă erori iar în cazul apariției unei abateri - alunecări - eroarea absolută este dată de 5.11, 5.12 sau 5.16. Erorile se pot coborî ușor sub  $10^{-3}\%$ .

II - cuantizarea care determină apariția unei erori relative date de 5.33 sau 5.34 ce poate coborî sub  $10^{-4}\%$  pentru  $\approx 2000$  de nivele de cuantizare;

III - neconcordanța în timp a eșantioanelor prelevate și apariția unor defazaje în lanțul de amplificare. Apare o eroare relativă datorită neconcordanței, dată de 5.20, eroare ce poate fi făcută mai mică de  $10^{-4}\%$  precum și o eroare cauzată de defazajele introduse de lanțul de amplificare, dată de 5.54 sau 5.55, ce poate scădea sub  $10^{-3}\%$ ;

IV - neliniaritatea sistemului circuit de eșantionare memorare - convertor analog-numeric. Erorile ce apar sunt dependente de caracteristicile convertoarelor. Estimării ale erorii relative sunt date de 5.44, 5.46, 5.49, 5.51, 5.52 și 5.53. Erorile pot intrece  $10^{-1}\%$  dar la o alegere potrivită a convertoarelor acestea pot scădea sub  $10^{-3}\%$ .

Neliniaritatea este cauza apariției celor mai însemnante erori la măsurarea puterii active.

Analizînd ordinele de mărime pentru erorile ce apar, se trage concluzia că se pot construi aparate de măsurare a puterii cu erori de măsurare în regim sinusoidal și  $\cos\varphi = 1$  sub  $10^{-2}\%$  (sau chiar sub  $10^{-3}\%$ ) într-un domeniu de frecvență de ordinul a 1500 Hz, dacă se utilizează fie algoritmul clasic, fie primul algoritm propus de autor.

Cauzele generatoare de erori în cazul măsurării energiei sunt aceleași ca și cele ce apar la măsurarea puterii. Se adaugă încă plus eroarea perioadei de eșantionare  $T_e$ .

I - eșantionarea, ce determină erori date de 5.19 și 5.20 și care devin neglijabile după timpi de ordinul minutelor.

II - cuantizarea - aceleași erori ca și în cazul măsurării puterii;

III - neconcordanța eșantioanelor și defazajele introduse de lanțul de amplificare - aceleași erori ca și în cazul măsurării puterii;

IV - neliniaritățile - aceleași erori ca și în cazul măsurării puterii.

V - abaterea perioadei de eșantionare - dă erori ce pot fi ușor coborîte sub  $10^{-4}\%$ .

In concluzie, se poate spera atingerea unor erori de măsurare sub  $10^{-2}\%$  (sau chiar  $10^{-3}\%$ ) pentru contoarele funcționind fie după algoritmul clasic, fie după primul algoritm propus de autor.

Corecțiile aplicate pentru liniarizarea caracteristicii convertoarelor poate coborî cu un ordin de mărime eroarea de determinare a puterii și a energiei.

După cum se poate vedea, există posibilitatea obținerii unor precizii de măsurare mai bune decît în cazul utilizării multiplicării analogice.

Aplicarea celui de-al doilea algoritm dă erori de măsurare mari, de ordinul procentelor, după cum se poate constata în capitolul 6, dar implementarea sa presupune o structură hardware mai simplă decît a primului algoritm.

## CAPITOLUL 6

### VERIFICAREA PRIN SIMULARE A ALGORITMILOR PROPUși

In vederea verificării algoritmilor propusi, precum și a unora dintre rezultatele obținute în capitolul 5, s-a utilizat simularea pe calculatorul numeric.

#### 6.1. Verificarea primului algoritm

Primal algoritm propus în lucrare a fost verificat prin programe de simulare ce permit modificarea amplitudinii tensiunii și curentului, a defazajului între ele. De asemenea se poate modifica perioada de eşantionare, momentul începerii eşantionării precum și durata de măsurare. Quantizarea se realizează conform unor caracteristici de transfer ideale de tipul I - figura 5.1 - cu cuante ce pot fi modificate.

Este posibilă, în program, și simularea unor unde de tensiune și curent deformate.

Dacă simularea fiecărei măsurători se face pentru o singură poziție relativă, a esantioanelor prelevate, în raport cu sinusoidale tensiunii și curentului, nu se determină medii ale erorilor, de tipul celor furnizate de relația 5.33. Astfel se explică diferențele între valorile rezultate prin simulare și cele obținute aplicând relația de calcul 5.33.

După cum se vede, analizind graficul din figura 6.1, o quantizare grosieră a tensiunii și curentului permite atingerea unei erori de măsurare sub 0,5%, pentru putere sau energie activă, dacă se prelevează măcar 100 de esantioane într-o perioadă.

Quantizarea grosieră a curentului permite utilizarea unui aparat cu aceste calități numai în punct fix. Evident, reducând mult cuanta de curent și menținând cuanta de tensiune, se poate obține un aparat destinat măsurărilor de precizie în rețele.

Sămânind cuanta de tensiune,  $\Delta u$ , la 0,16 V și limitând superior cuanta de curent la 0,08 A, eroarea de măsurare scade sub 0,1% - graficul din figura 6.2.

EROAREA RELATIVĂ ÎN FUNCȚIE DE CUANTA DE  
CURENT PENTRU: • •  $T_e = 100 \mu s$   $\cos \varphi = 1$   $\cos \varphi = 0.5$   
+ +  $T_e = 150 \mu s$   $\cos \varphi = 1$   $\cos \varphi = 0.5$   
x x  $T_e = 200 \mu s$   $\cos \varphi = 1$   $\cos \varphi = 0.5$

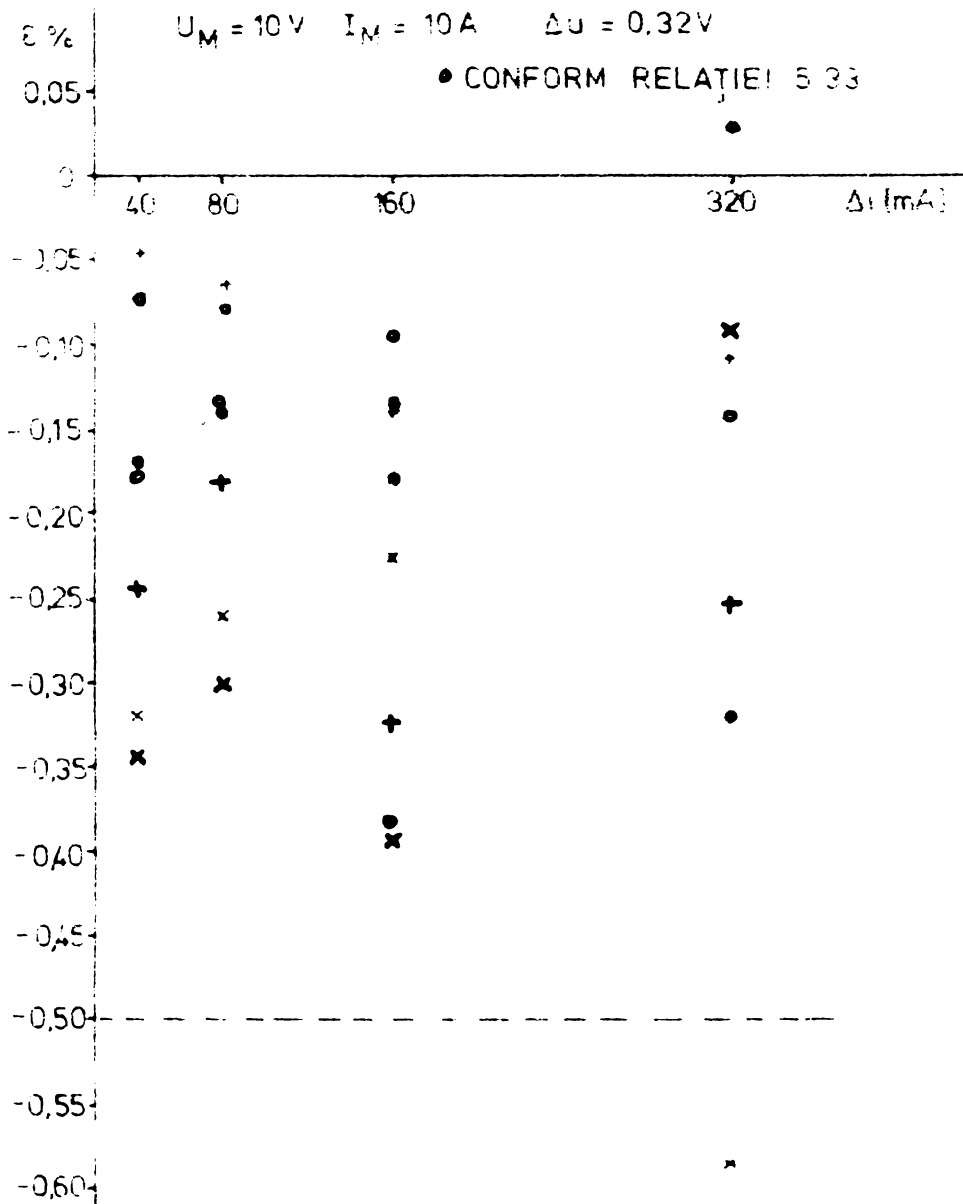
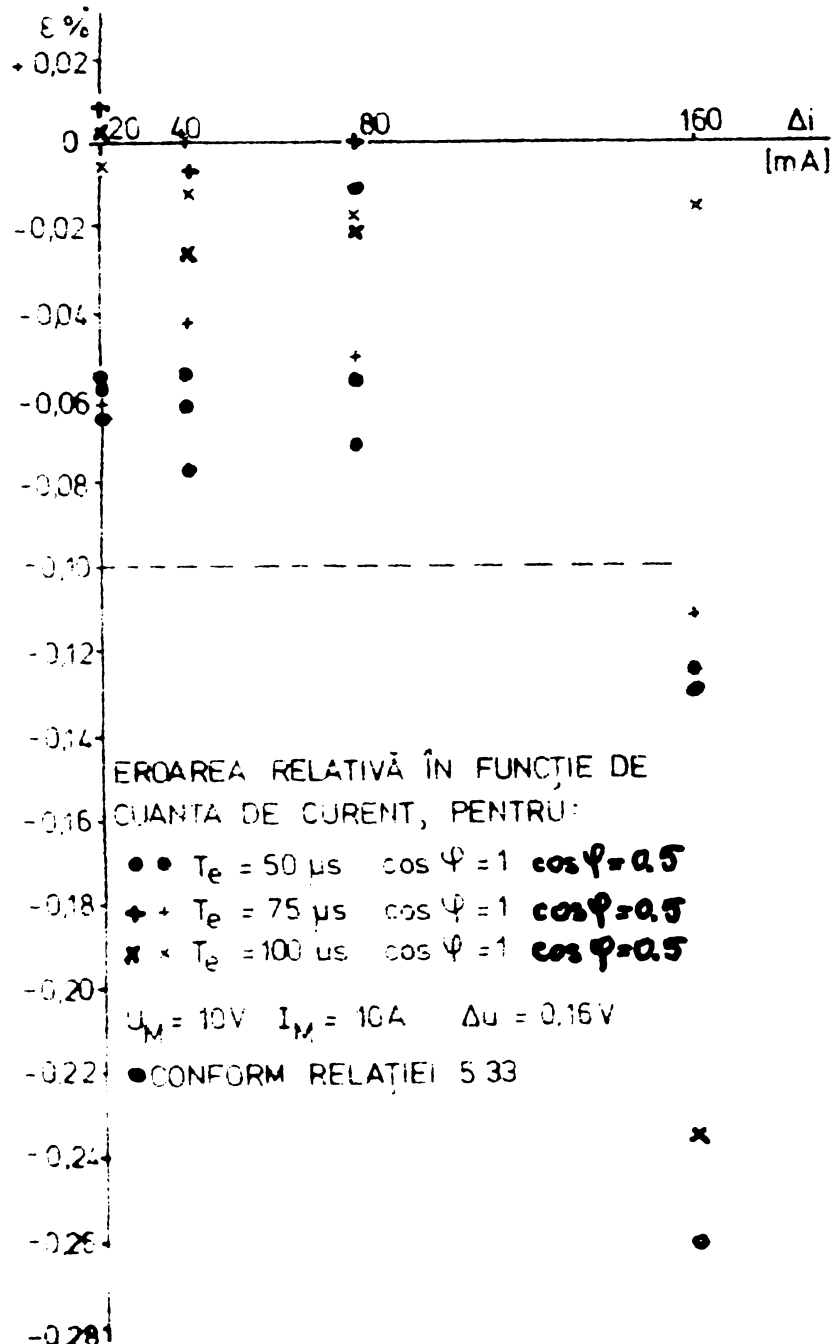


Fig.6.1

O creare sub 0,05% se poate obține dacă cuanta de tensiune scade la 80 mV - graficul din figura 6.3.

Graficele din figurile 6.4, 6.5 și 6.6 indică o scădere a erorilor respectiv sub 0,025%, 0,015% și 0,004%. Cuantale de tensiune sunt de 40, 20 și 10 mV.

Pentru variația curentului pînă la 0,5% din curentul nominal, de 10 A, în cazul în care cuantele sunt de 20 mV și 10 mA, eroarea relativă la valoarea măsurată crește de la valori sub 0,01% pînă la 1,5% - graficul din figura 6.7 -, comportare caracteristică instrumentului său aparat ce



Pig.6.2

măsură în prima perioadă a domeniului. Până la  $2A$  (20% din  $I_{max}$ ) eroarea relativă rămâne sub 0,01%. Se observă că cuantă de curent se poate atenua creșterea erorii în domeniu curanților mici.

În graficele din figurile 6.8 și 6.9 se poate urmări influența factorului de putere,  $\cos \varphi$ , asupra erorii de măsurare, în regim sinusoidal. În figura 6.8 se prezintă casul cuantizării groșiere iar în figura 6.9 cel al cuantizării fine. În ambele cazuri eroarea relativă la valoarea măsurată nu se

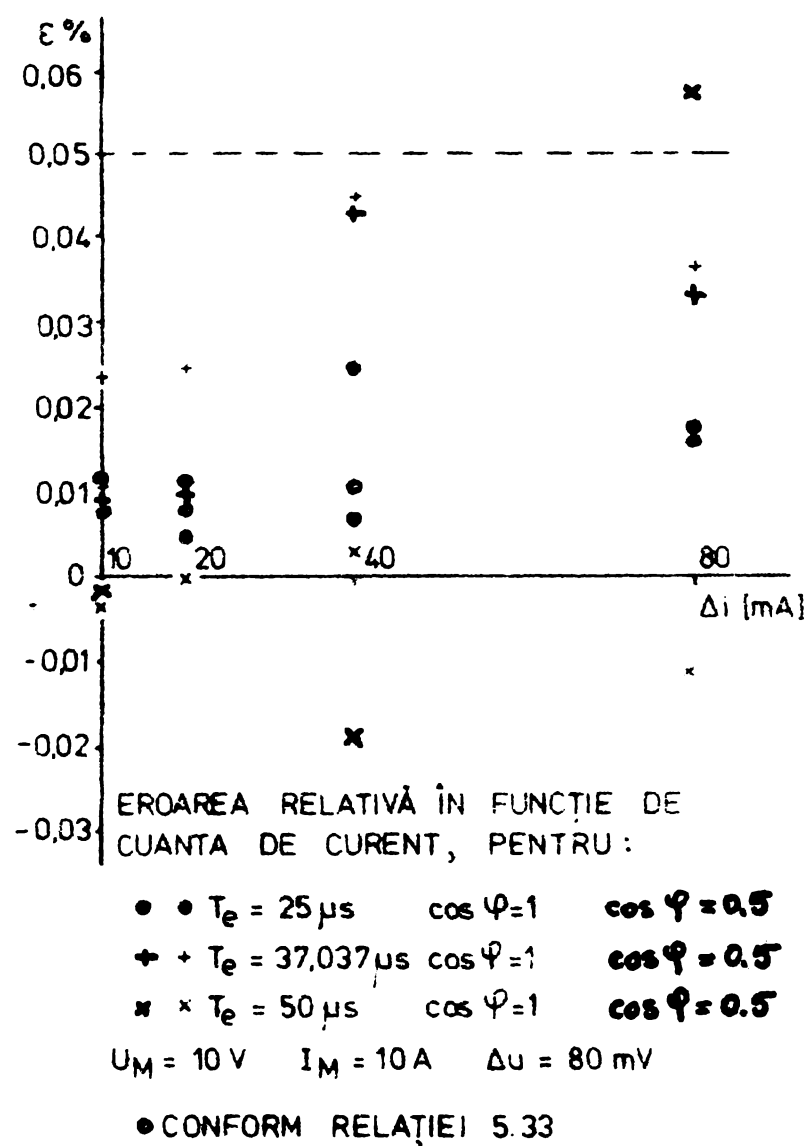


Fig. 6.3

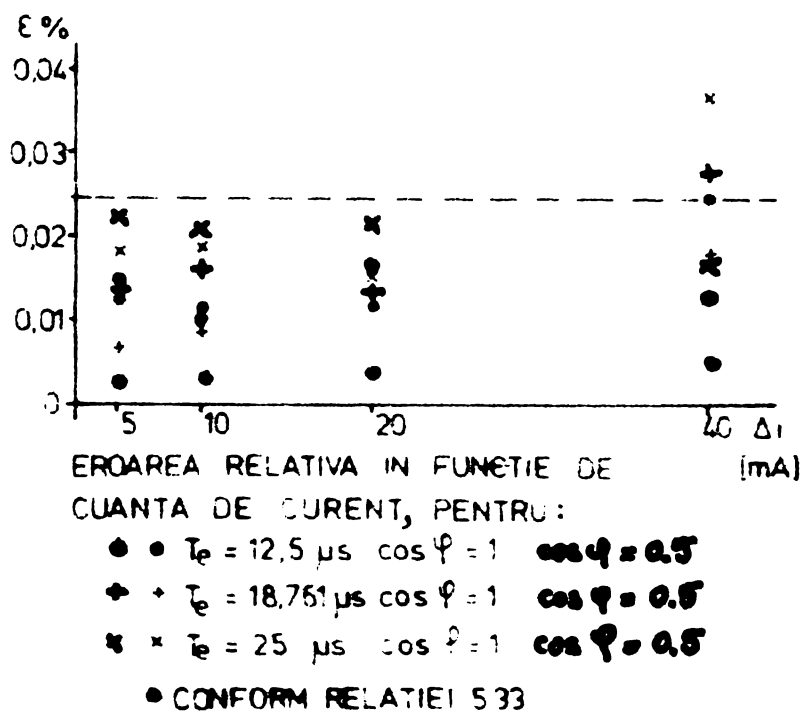
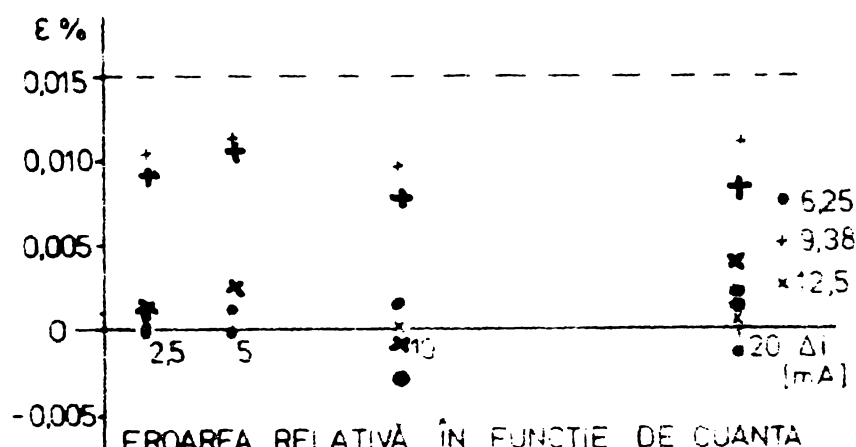


Fig. 6.4



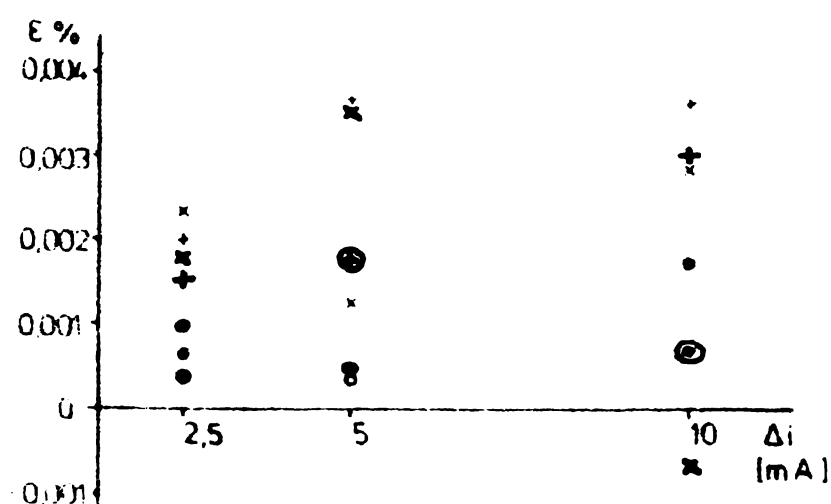
EROAREA RELATIVĂ ÎN FUNCȚIE DE CUANTA  
DE CURENT , PENTRU :

- •  $T_e = 5.25 \mu s \cos \varphi = 1 \quad \cos \varphi = 0.5$
- +  $T_e = 9.38 \mu s \cos \varphi = 1 \quad \cos \varphi = 0.5$
- \* \*  $T_e = 12.5 \mu s \cos \varphi = 1 \quad \cos \varphi = 0.5$

$$U_M = 10 V \quad I_M = 10 A \quad \Delta u = 20 mV$$

• CONFORM RELAȚIEI 5.33

Fig 6.5



EROAREA RELATIVĂ ÎN FUNCȚIE DE CUANTA  
DE CURENT , PENTRU :

- •  $T_e = 3.125 \mu s \cos \varphi = 1 \quad \cos \varphi = 0.5$
- +  $T_e = 4 \mu s \cos \varphi = 1 \quad \cos \varphi = 0.5$
- \* \*  $T_e = 6.25 \mu s \cos \varphi = 1 \quad \cos \varphi = 0.5$

$$U_M = 10 V \quad I_M = 10 A \quad \Delta u = 10 mV$$

• CONFORM RELAȚIEI 5.33

Fig. 6.6

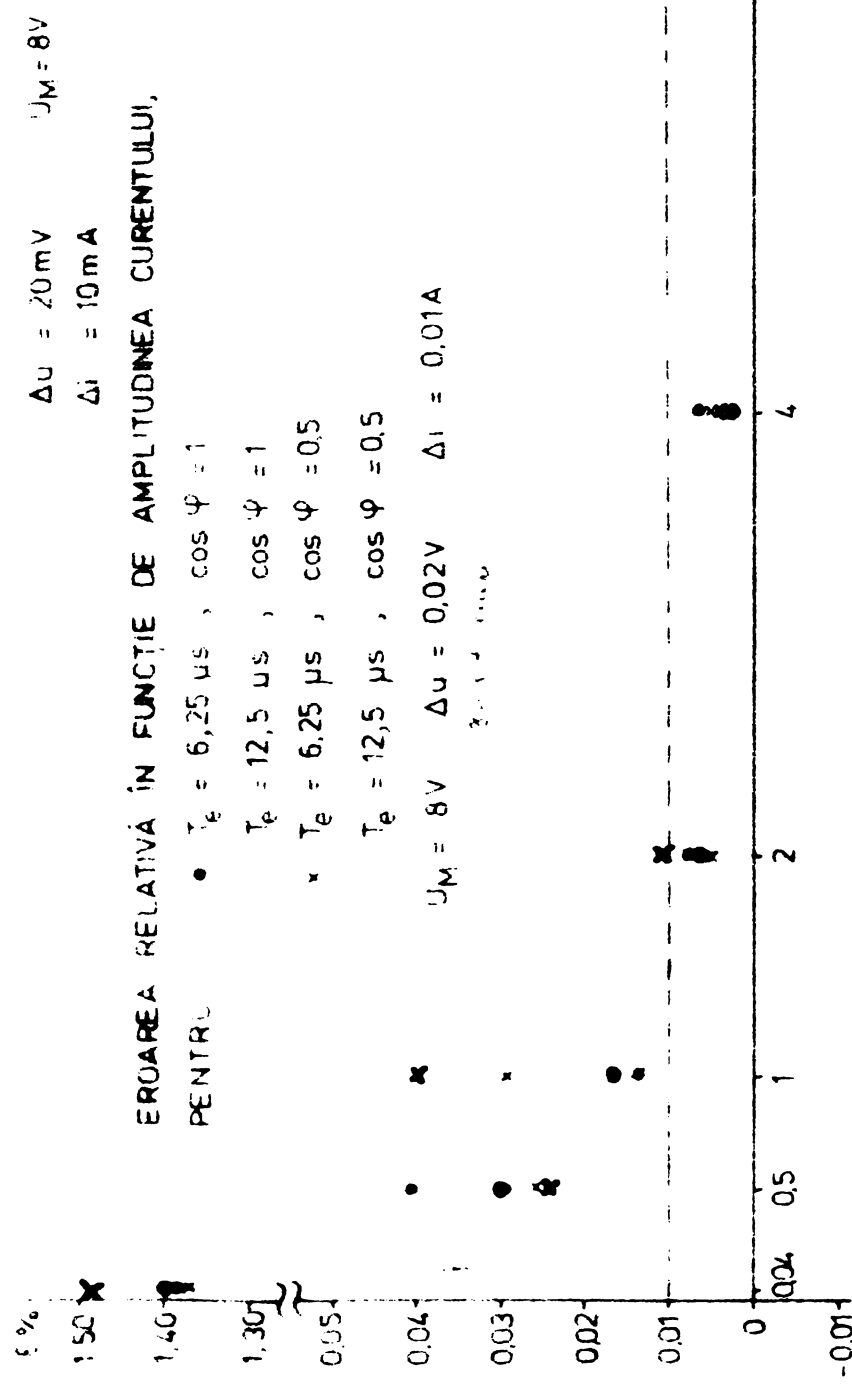


Fig. 6.7

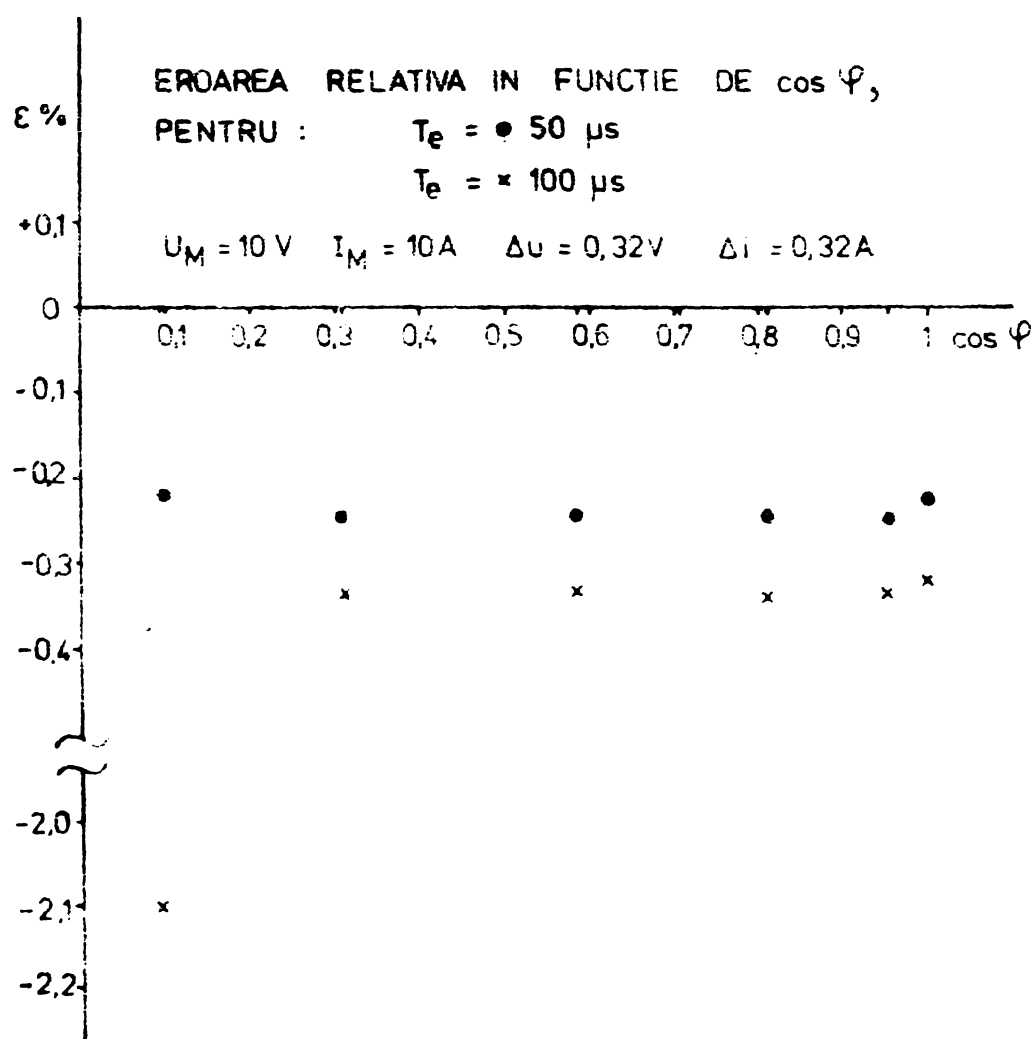


Fig. 6.8

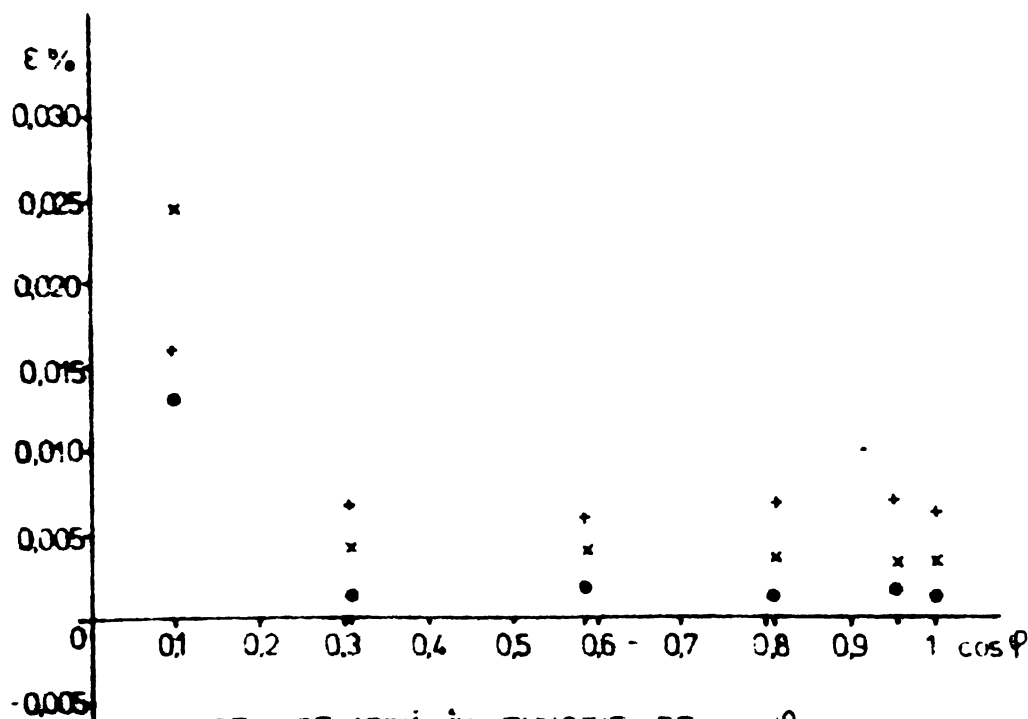


Fig. 6.9

EROAREA RELATIVĂ ÎN FUNCȚIE DE MOMENTUL ÎNCEPERII  
EȘANTIONĂRII, PENTRU :

$$\bullet T_e = 6,25 \mu s, \cos \varphi = 1$$

$$\bullet T_e = 12,5 \mu s, \cos \varphi = 1$$

$$\times T_e = 6,25 \mu s, \cos \varphi = 0,5$$

$$\ast T_e = 12,5 \mu s, \cos \varphi = 1$$

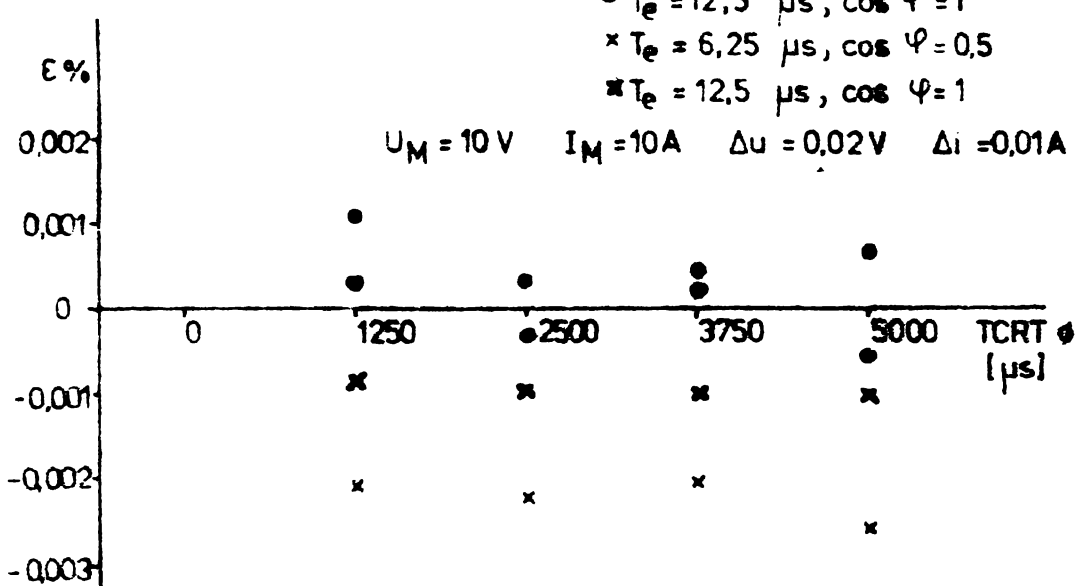


Fig. 6.10

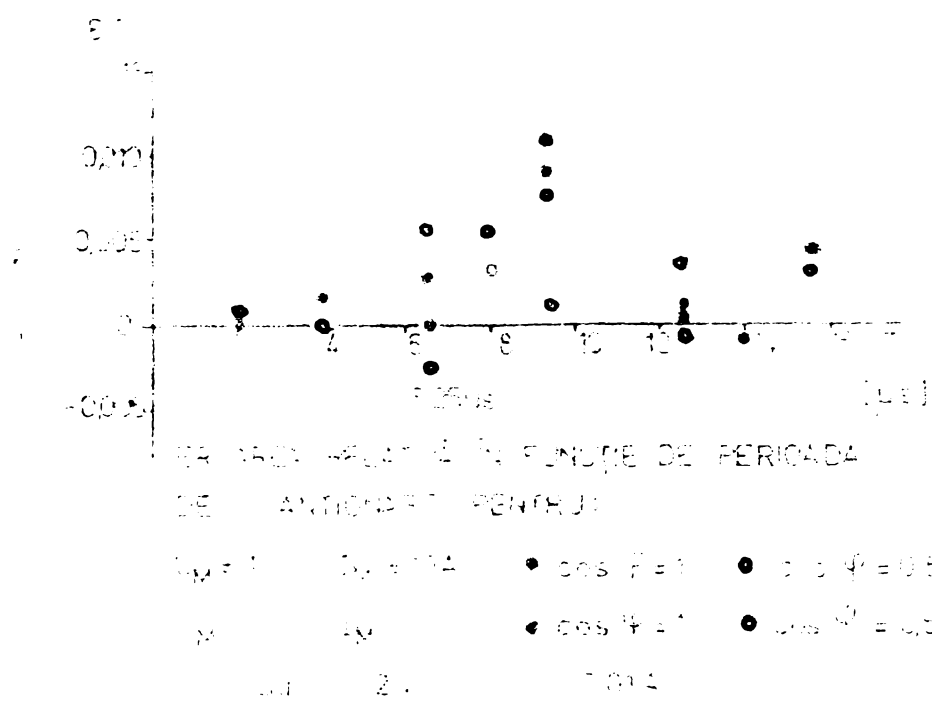


Fig.6.11

modifică practic decit pentru valori ale lui  $\cos \varphi$  sub 0,3. Această comportare a aparatului îl face superior celor electronice cu multiplicare analogică precum și celor electromecanice la care [75], [78] creșterea erorii relative cu scăderea lui  $\cos \varphi$  este mult mai pronunțată.

Momentul începerii eșantionării, nu are practic influență asupra erorii de măsurare - figura 6.10 , la frevențe mari de eșantionare.

Influența perioadei de eșantionare asupra erorii relative de măsurare este reprezentată, pentru cazul unei măsurări fine, în graficul din figura 6.11. În domeniul în care această perioadă poate varia, știut fiind că algoritmii propuși limită superior perioada de eșantionare în funcție de mărimea curentă de tensiune, influența este neglijabilă.

Apareția unor minime ale erorii de măsurare în raport cu frevența de eșantionare, mai precis cu raportul între frevența semnalului și cea de eșantionare nu este utilizabilă decit în cazul wattmetrelor. Aceste apărate preleveză un număr fix de eșantioane pe perioadă, menținând constanță valoarea raportului  $f/f_s$ , chiar și atunci cînd  $f$  se modifică.

Acet lucru se realizează - capitolul 4 - prin sincronizarea generatorului de tact cu rețeaua.

In cazul contoarelor, frecvența de eșantionare și deci și perioada de eșantionare trebuie să fie constantă căci dă măsura timpului în care se determină energia. Cum frecvența rețelei,  $f$ , nu este constantă, raportul  $f/f_e$  este variabil și deci nu se pot utiliza minimele erorii pentru aparatele de măsurat energia activă.

Simularea măsurării în prezența armonicelor s-a făcut pentru cazul prezentat în tabelul 6.1. Pentru o cuantizare

grosieră cu  $\Delta u=0,32$  V și  $\Delta i=0,32$  A, și o perioadă de eșantionare de 100  $\mu$ s, eroarea de măsurare relativă, indicată de simulare este de -0,332%.

Cuantizând fin tensiunea și curentul cu  $\Delta u=0,02$  V și  $\Delta i=0,01$  A se obține, la  $T_e = 12 \mu$ s, o eroare de -0,0038%. Se poate deci trage concluzia că algoritmul permite măsurarea puterii și a energiei cu o precizie bună chiar și

în prezența unor unde de tensiune și curent puternic deformate.

#### 6.2. Reducerea erorii de măsurare la utilizarea contorului cu cuantizare grosieră în punct fix

In cazul unor măsurări în punct fix, precizia de menținere a valorilor tensiunii și curentului este și  $\pm 0,1\%$ , și  $\pm 0,2\%$ . Dacă cuantizarea este grosieră, se pot menține, în consecință, rapoartele  $U_m/\Delta u$  și  $I_m/\Delta i$  în limite relativ restrinse.

Eroarea relativă dată de relația 5.33 devine, la  $\cos \varphi > 0,3$ , foarte mică, decă  $| U_m/\Delta u - I_m/\Delta i | \approx 0,25$ . In graficul din figura 6.12 se prezintă dependența erorii relative de măsurare

Tabelul 6.1

Nr. armoniciei	$U_m$ [V]	$P_u(\Psi_u)$ [rad]	$I_m$ [A]	$P_i(\Psi_i)$ [rad]
1	5	0	5	0,315
2	2	0	2,1	0,591
3	1,5	0	1,25	1,3
4	0,5	0	0,35	0,822
5	0,2	0	0,4	0,875
6	0,2	0	0,35	0,875
7	0,2	0	0,2	0,518
8	0,25	0	0,2	1,066
9	0,1	0	0,1	0,872
10	0,05	0	0,05	0,464

pentru o cuantizare grosieră, în funcție de  $U_m/\Delta u$  și  $I_m/\Delta i$ . Pentru valoarea nominală  $(U_m/\Delta u)_{nom} = 31,268$  și  $(I_m/\Delta i)_{nom} = 30,981$  creșterea relativă de măsurare scade sub  $\pm 0,01\%$ . În

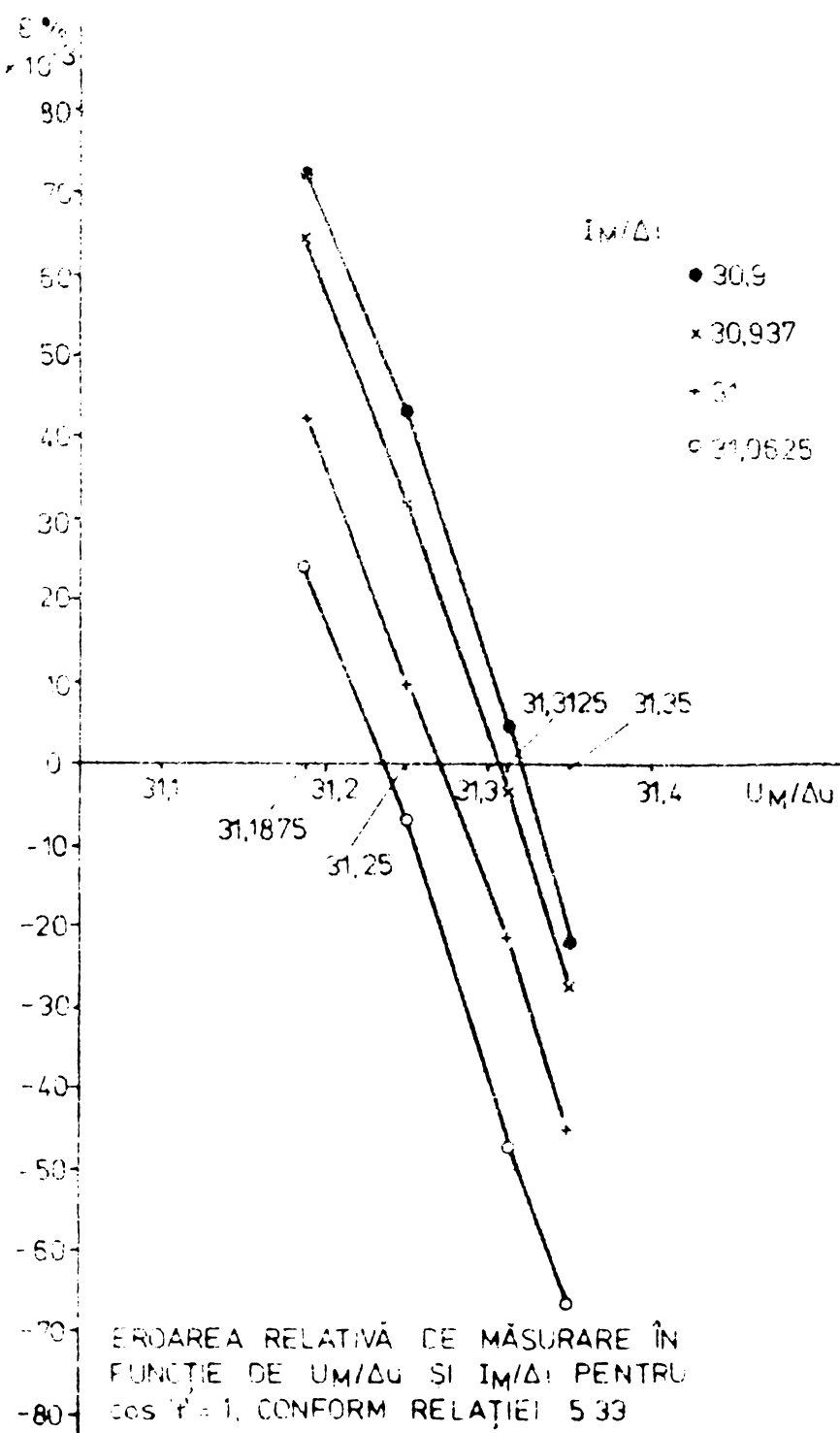


Fig.6.12

casul unei variații de  $\pm 0,1\%$  pentru tensiune și curent, raporturile  $U_m/\Delta u$  și  $I_m/\Delta i$  variază tot cu  $\pm 0,1\%$ . Erorile de măsurare cresc, conform graficului din figura 6.12 pînă la  $\pm 0,04\%$ .

Eroarea de măsurare atinge  $\pm 0,075\%$  la o variație de  $\pm 0,25\%$  a tensiunii și curentului, fără de valorile nominale corespunzătoare punctului fix, de eroare neglijabilă.

Este de remarcat faptul că erorile relative indicate mai sus se obțin pentru o eroare relativă de cuantizare a tensiunii și curentului de  $\pm 0,5\%$ .

### 6.3. Corectarea neliniarității caracteristicilor de transfer ale convertoarelor.

In vederea verificării posibilității de a aplica convertoarelor analog numerice o corecție pentru diminuarea efectelor provocate de neliniaritate s-a simulat un aparat ce funcționează după primul algoritm. Caracteristicile de transfer ale convertoarelor pentru tensiune și curent sunt cele din figura 6.13, curbele al respectiv a2. Prelevind 360 de eșantioane într-o perioadă din tensiunea și curentul, sinusoidale, cu amplitudinile de 10 V respectiv 10 A se calculează prin simulare o putere activă de 50,27271 W, rezultând o eroare de  $+0,545\%$ , fără de puterea activă de 50 W.

Corectând caracteristica de transfer a celor două convertoare, în zonele în care eroarea de neliniaritate este mult mai mare decât o jumătate de cuantă, se obțin curbele b1 respectiv b2. Se poate vedea, în figura 6.13, că apar prin această corecție omisiuni de cod, omisiuni ce nu au un efect însemnat căci ele afectează puține eșantioane. Calculând puterea în acest caz se obține valoarea de 50,08043 W și deci o eroare de numai  $+0,161\%$ , cam de 4 ori mai mică decât în cazul caracteristicilor necorectate.

Corectând caracteristicile de transfer ale celor două convertoare cum se arată prin curbele c1 respectiv c2, se adaugă un bit în plus la cei 6 livrați în mod normal de către convertoare. Ponderarea acestui bit suplimentar este de o jumătate de cuantă și permite o mai bună aproximare a caracteristicii reale de transfer. Simularea indică pentru acest ultim caz o valoare de 49,99154 W pentru putere, adică o eroare de numai  $\sim 0,017\%$ , cu un ordin de mărime inferioară situației în care nu se procedă la corectare.

Evident, abilitatea de a corecta caracteristicile poate influența ordinul de mărime al erorii de măsurare. Oricum, există această posibilitate, nu prea costisitoare, de a reduce mărimea erorilor cauzate de neliniaritate.

Erorile de neliniaritate ale convertoarelor sunt după cum s-a arătat în capitolul 5, generatoare de erori, în măsurarea puterii și a energiei, mult mai însemnată decât cuantizarea ideală și eşantionarea. Reducerea erorilor cauzate de neliniaritate se poate face fie prin corecții de genul celei prezентate, fie prin utilizarea unor convertoare cu o cantă redusă. Neliniaritatea este de maximum o cantă (sau  $\pm$  jumătate de cantă în funcție de modul de aliniere) și este mică la convertoarele cu un număr mare de cifre binare (12÷16). Cum eroarea de cuantizare scade extrem de mult la 10÷12 cifre binare, este recomandabilă utilizarea unor convertoare cu un număr mare de cifre binare, dar folosirea ulterioră în calcul, numai a cifrelor mai semnificative, conform cu eroarea impusă.

Evident, aplicarea criteriilor rezultate în capitolul 5, privind modalitățile de împerechere a convertoarelor pot reduce, în plus, erorile cauzate de neliniarități.

#### 6.4. Verificarea celui de-al doilea algoritm

Primul dintre algoritmii propuși este adecvat realizării unor aparițe de măsurare de mare precizie. Al doilea algoritm conduce la o structură hardware mai redusă și în consecință la un preț de cost mai scăzut. În schimb precizia de măsurare este considerabil mai redusă. Verificarea s-a făcut prin simulare, ca și în cazul primului algoritm, cuantizându-se diferențele conform caracteristicii de transfer din figura 4.12. Pentru o cantă de tensiune de 0,2 V și o cantă de curent de 0,05 A, o perioadă de eşantionare de 265  $\mu$ s se ajunge la o eroare de măsurare relativă de 3,35% în cazul  $\cos \varphi = 1$  și 5,88% în cazul  $\cos \varphi = 0,5$ . Amplitudinile tensiunii și curentului sunt de 10 V respectiv 10 A.

Cuantizând tensiunea cu  $\Delta u = 0,025$  V și curentul cu  $\Delta i = 0,025$  A, la o perioadă de eşantionare de 33,149  $\mu$ s se obțin erorile de 1,35% în cazul  $\cos \varphi = 1$  și 1,4% în cazul  $\cos \varphi = 0,5$ .

## CAPITOLUL 7

### MODEL EXPERIMENTAL DE CONTOR NUMERIC CU MULTIPLICARE NUMERICA LUCRIND CONFORM PRIMULUI ALGORITM PROPOS

In scopul verificării experimentale a primului algoritm propus în lucrare s-a realizat un model de contor. Structura acestuia corespunde, ca și principiu, schemei din figura 4.4. In figura 7.1 se prezintă schema modelului experimental realizat.

#### 7.1. Circuitele de eşantionare si memorare. Convertoarele analog numerice.

Circuitele de eşantionare și memorare sunt de fabricație Burr-Brown, de tipul SH460. În vederea obținerii unei precizii de achiziție cît mai bune, impulsul de eşantionare s-a calibrat în durată la  $5 \mu\text{s}$ .

Ambele circuite EM sunt conectate ca neinversoare pentru a asigura aparatului o impedanță de intrare cît mai mare. Circuitul din calea de curent asigură o amplificare de 10. Convertoarele analog numerice AD571 ale firmei Analog-Devices livrează 10 cifre binare, cu o cantă de 9,766 mV. Durata unei conversii este în jur de  $25 \mu\text{s}$ . Modelul experimental realizat utilizează în calea de curent numai 9 cifre binare, cele mai semnificative, deci o cantă  $\Delta i' = 19,532 \text{ mV}$ . Din cele 9 cifre una indică semnul, iar 8 codul mărimii. În calea de tensiune se ignorează ultimii trei biți, rezultând o cantă  $\Delta u' = 78,128 \text{ mV}$ .

Declansarea conversiei se face simultan prin poziționarea cîte unui bistabil - circuitele 16 și 21 - ce este repus de răspunsul DE al fiecărui convertor.

În vederea operării eşantioanelor de curent cuantizate este utilizat codul complement față de 2. Trecerea de la codul convertoarelor AD571 la codul complement față de 2 se face [70] prin simplă inversare a cifrei semn furnizate.

Avind în vedere  $\Delta u' = 0,078128$  și admîșind  $(U_{\text{m}})_{\text{max}} = 4,8 \text{ V}$  la intrarea convertorului, rezultă raportul maxim admisibil între perioada de eşantionare  $T_e$  și perioada semnalu-

lui, T :

$$\frac{T_e}{T} \leq \frac{1}{\pi} \cdot \frac{\Delta u'}{(U_{k_{\max}})} = \frac{1}{\pi} \cdot \frac{0,078028}{4,8} = 5,18 \cdot 10^{-3}$$

Pentru  $T = 20000 \mu s$ , această relație impune  $T_e \leq 103 \mu s$

### 7.2. Acumulatorul pentru curent AI. Scăzătorul de tensiune.

Modelul experimental permite lucrul cu  $T_e = 50 \mu s$  sau  $T_e = 100 \mu s$ . Acumulatorul pentru curent trebuie să efectueze însumarea unor coduri binare cu câte 8 cifre în partea de mărime, numărul maxim al termenilor sumei fiind  $N = 400$ , corespunzător unei perioade de eşantionare de  $50 \mu s$ . Valoarea maximă a sumei eşantioanelor de curent este (capitolul 4) :

$$(\sum NI)_{\max} \leq \frac{N}{\pi} \cdot \frac{(I_{M_{\max}})}{\Delta i'} = \frac{400}{\pi} \cdot 2^8 = 126 \cdot 2^8 < 2^{15}$$

Prin urmare  $n_{AI} - 1 = 15$ . Sunt necesare 15 cifre binare în partea de mărime a acumulatorului AI și o cifră semn, 16 în total. Însumarea eşantioanelor de curent se realizează cu sumatoarele CDB483E - circuitele 28 și 29 împreună cu registrele tampon CDB473E - circuitele 34 ÷ 37 ; în prelungirea sumatorului propriu-zis se utilizează, conform algoritmului prezentat în capitolul 4, două numărătoare binare sincrone reversibile, CDB4193 - circuitele 32 și 33.

Acumulatorul pentru curent este sincronizat cu impulsul ce comandă și scăzătorul de tensiune. Scăzătorul este realizat cu circuitul CDB483 - 18 - și efectuează scăderea eşantioanelor succesive de tensiune, unul livrat de către convertor, celălalt memorat în RTU, CDB495E - circuitul 17.

### 7.3. Acumulatorul pentru energie AW.

Secțiunea AW<sub>1</sub> a acumulatorului pentru codul energiei este compusă din 4 circuite sumatoare-scăzătoare complete, tip SPC4181 - 55 ÷ 58 -. Natura operației comandate sumatorului depinde de semnul sumei de curent și de semnul diferenței eşantioanelor de tensiune - tabelul 4.2. În calitate de registre tampon se folosesc circuitele CDB495E - capsulele 59 ÷ 62. Acestea me-

morează unul dintre operanții ce urmează să se însuma. Al doilea operand, ce rezultă din suma aflată în AI, se aplică sumator-scăzătorului prin intermediul unui macaz realizat cu circuite de tip CDB400E, CDB408E, CDB420E și CDB410HE - capsulele 39 și 51. Astfel, dacă diferența eșantioanelor successive de tensiune este 1, suma din AI se aplică rangurilor de același indice din sumator-scăzător. Dacă însă diferența este 2, ea se aplică deplasată cu un rang spre cele mai semnificative. În cazul în care diferența eșantioanelor de tensiune este nulă, se inhibă tactul de însumare în AW<sub>1</sub> și deci nu se operează - corespunzător înmulțirii cu zero a sumei de curent.

Secțiunea AW<sub>2</sub> este compusă din 2 numărătoare zecimale sincrone reversibile, circuitele 63, 64 și un divizor cu 16, circuitul 65. Monostabilul CDB4121E - 66 - declanșat de transportul generat în lanțul AW<sub>2</sub>, în cazul în care cel mai semnificativ rang este la 1 logic, generează un impuls cu durată de

200 ms ce acționează un numărător mecanic, secțiunea AW<sub>3</sub> a acumulatorului de energie.

În acumulatorul AW se înregistrează un cod binar ce corespunde energiei W măsurate, factorul de scară fiind T<sub>e</sub> · (k<sub>u</sub> · Δu') · (k<sub>i</sub> · Δi'). Constantele k<sub>u</sub> și k<sub>i</sub> depind de cuantele Δu' și Δi' ale convertoarelor de tensiune și curent precum și de divizorul de tensiune și rezistența R<sub>i</sub>, de măsurare a curentului. Capacitatea binară a sistemului AW<sub>1</sub> - AW<sub>2</sub> este 2<sup>16</sup> · 1600 = 1,6 · 6,5536 · 10<sup>7</sup> și deci energia măsurată la înregistrarea unui impuls în AW<sub>3</sub> este :

$$(W_3)_{\min} = T_e (k_u \Delta u') (k_i \Delta i') \cdot 6,5536 \cdot 1,6 \cdot 10^7 = K$$

$$k_i = \frac{1}{R_i} \cdot \frac{R_1}{R_1 + R_2} \quad k_u = \frac{R_{u2}}{R_{u1} + R_{u2}}$$

Modelul realizat s-a verificat pentru k<sub>u</sub> = 1, R<sub>1</sub> = 1 Ω, R<sub>2</sub>/R<sub>1</sub> = 9,134 rezultând pentru contor constanta :

$$K = 50 \cdot 10^{-6} \cdot 78 \cdot 128 \cdot 10^{-3} \cdot \frac{1}{10 \cdot 134} \cdot 19,532 \cdot 10^{-3}$$

$$\cdot 6,5536 \cdot 1,6 \cdot 10^7 = 0,78948 \frac{WS}{impuls}$$

Dacă se lucrează cu T<sub>e</sub> = 100 μs, constanta se dublează.

#### 7.4. Dispozitivul de comandă.

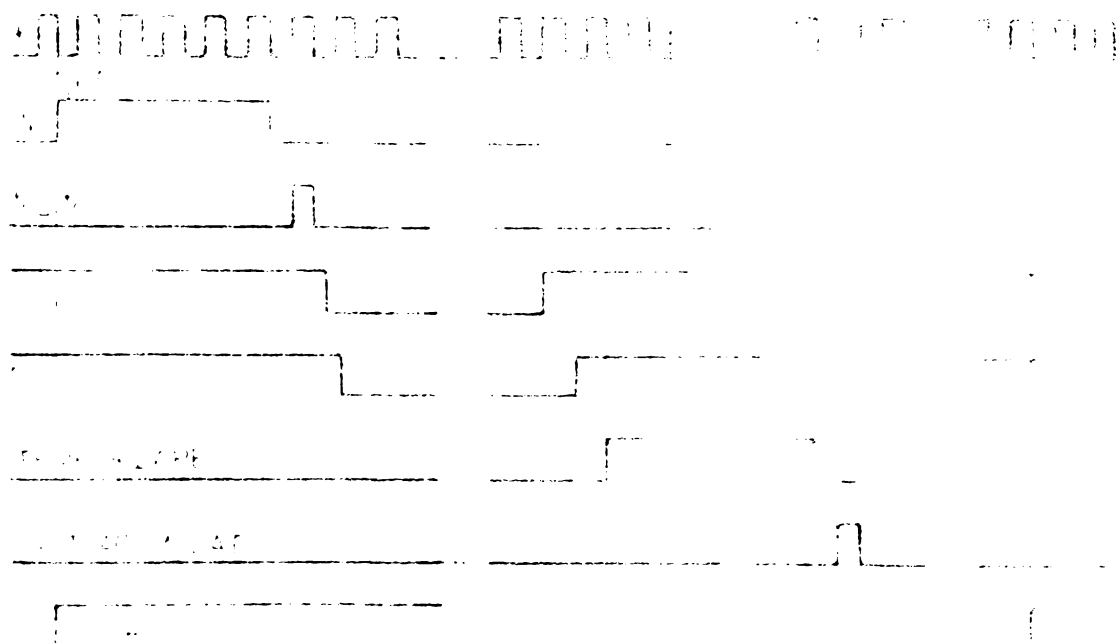
Dispozitivul de comandă generează secvență de funcționare a contorului, plecind de la un tact cu frecvență de 1 MHz. Acesta este generat de către un oscilator stabil, cu quart.

Dispozitivul de comandă propriu-zis se compune din 4 capsule CDB495E - 5, 6, 7 și 8. Semnalul START înscrise un 1 în primul rang și fiecare impuls de tact următor deplasează acest bit (singur) [108]. Cu impulsurile decalate în timp, obținute la ieșirea circuitelor 495, 5 și 6 se calibrează la  $5\ \mu s$  durata impulsului de eşantionare prin bascularea și rebascularea bistabilului realizat cu capsule CDB490E - 11.

După  $1,5\ \mu s$  de la trecerea în starea de memorare se declanșează conversiile. Numai după încheierea conversiei, cînd ambele convertoare și-au terminat activitatea, se redeclanșează, cu primul impuls de tact, secvența generatorului de comandă. După  $\approx 6\ \mu s$ , timp necesar propagării transporturilor și formării sumelor în acumulatoare, se aplică acestora tactul.

Divizorul realizat cu circuitele CDB4192E - 9 - și CDB490E - 10 - generează, pornind de la tactul de 1 MHz, după 50 sau  $100\ \mu s$  un nou impuls START, ceea ce determină reluarea eşantionării, conversiei, etc.

In figura 7.2 se prezintă secvența semnalelor de comandă.



### 7.5. Rezultate experimentale.

Contorul s-a realizat sub forma unui ansamblu de 7 plăci din tehnologia FELIX C256 (FCE-București) echipate cu circuite integrate. Interconectările s-au realizat prin couple de 52 contacte.

Subansamblele contorului și ansamblul său este cel prezentat în fotografii.

Alimentarea contorului s-a realizat de la o sursă sinusoidală stabilă ( $\pm 0,05\%$ ), măsurindu-se, separat, tensiunea și curentul, cu instrumente numerice de clasă 0,05 în alternativ, tip V533.

Timpul de măsurare a fost ales ca multiplu de 1800 sec, în vederea reducerii indeciziei de măsurare cauzate de neglijarea înregistrării din  $AW_1 - AW_2$ , înregistrare volatilă la cădere tensiunii.

Se poate calcula numărul ideal de impulsuri ce trebuie înregistrate în  $AW_3$ , pentru diferite regimuri de măsurare.

Astfel pentru valori efective ale tensiunii și curentului de 3 V respectiv 0,3 A, un timp de măsurare  $t = 1800$  sec și  $\cos \varphi = 1$ , energia este de  $3 \cdot 0,3 \cdot 1800 = 1620$  m.s. Numărul de impulsuri ce ar trebui înregistrat este  $N_i = 1620 / 0,73943 = 2051,93 \approx 2052$ .

Timpul de măsurare de 1800 sec se asigură prin utilizarea unui ceas cu quart tip S3202.010 fabricație RFT. Aceasta livrează un semnal poartă având durată prescrisă, cu rezoluție de  $1 \mu s$ .

În vederea măsurării factorului de putere s-a utilizat un formator de impulsuri și un frecvențmetru numeric, asigurându-se o eroare de măsurare a valorii  $\cos \varphi = 0,5$ , de  $\pm 0,5\%$ .

Cu aceleasi circuite EM și cu aceleasi convertoare, cu același acumulator pentru energie, păstrând constanta contorului, s-a implementat, adăugind un multiplicator numeric, un contor ce funcționează conform algoritmului clasic.

In tabelul 7.1 se prezintă sintetic, rezultatele experimentale. Cu  $N_{ma}$  s-a notat numărul de impulsuri înregistrat de contorul ce funcționează conform algoritmului propus, cu  $N_{mc}$  numărul înregistrat de contorul ce funcționează după algoritm clasic, iar cu  $N_i$  numărul de impulsuri estimat prin calcul.

Se observă o bună concordanță între măsurătorile efectuate prin implementarea primului algoritm propus și măsurătorile efectuate prin implementarea algoritmului clasic, ceea ce probează valabilitatea sa.

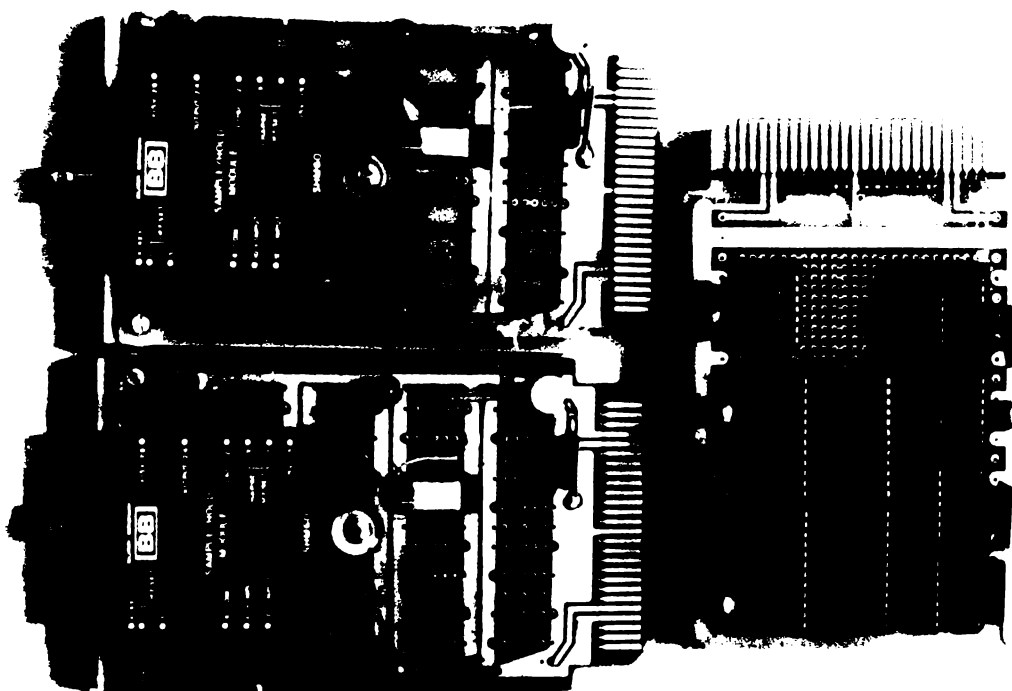


Fig.7.3 Circuitele de eşantionare și memorare, convertoarele analog numerice și acumulatorul de energie AV.

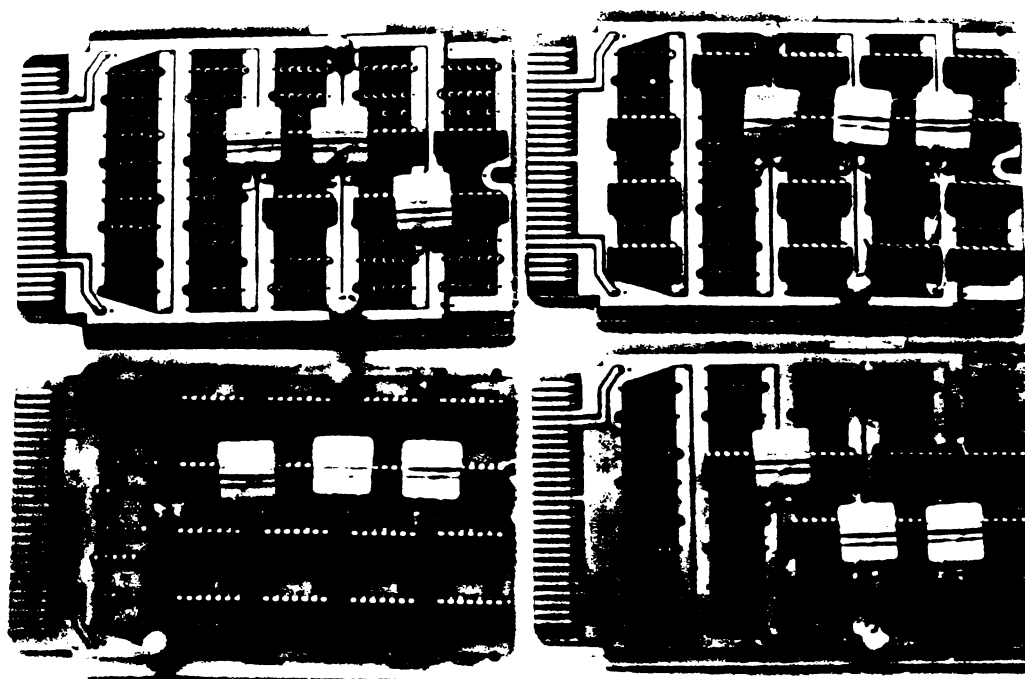


Fig.7.4 Acumulatorul de curent, scăzătorul de tensiune și dispozitivul de comandă.

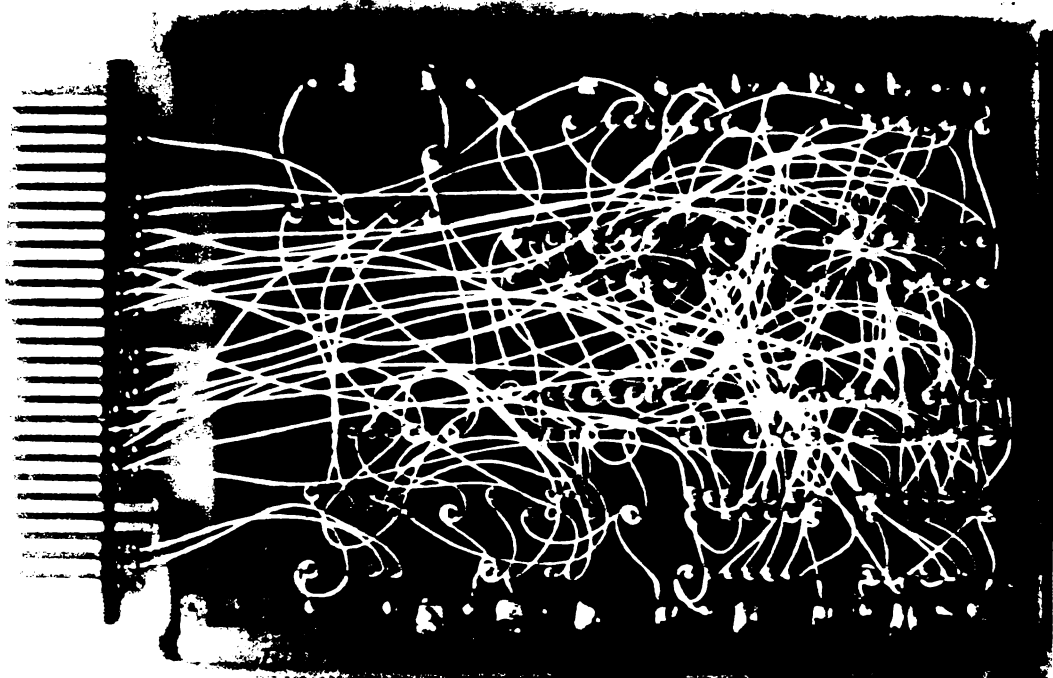


Fig.7.5 Cablajul acumulatorului de energie.

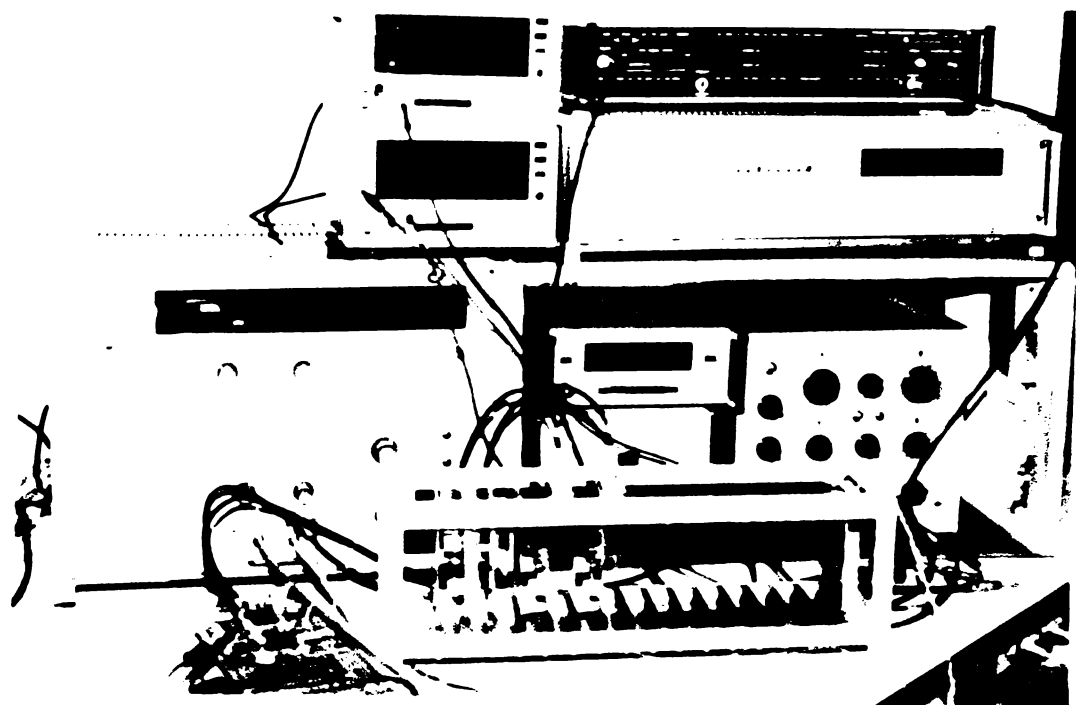


Fig.7.6 Vederea de ansamblu a instalației experimentale.

Tabelul 7.1

U [V]	I [mA]	cosφ	$\frac{t}{T_{360}}$	N <sub>ma</sub>	N <sub>1</sub>	$\Delta N =$ $N_{ma} - N_{m1}$	$\frac{\Delta N}{N_{ma}}$	Erori de măsurare				N <sub>ma</sub>
								N	%	n	%	
3	300	1	1	2052	2052	0	0	$\pm 0,05$	$\pm 0,2$	$\pm 0,2$	$\sim 0$	2053
3	150	1	2	2052	2052	0	0	$\pm 0,05$	"	$\pm 0,35$	$\sim 0$	2052
3	100	1	3	2051	2052	-1	-0,05	$\pm 0,05$	"	$\pm 0,1$	$\sim 0$	2051
3	30	1	6	1226	1231,2	-5,2	-0,422	$\pm 0,08$	"	$\pm 0,2$	$\sim 0$	1227
3	20	1	6	816	820,8	-4,0	-0,535	$\pm 0,12$	"	$\pm 0,3$	$\sim 0$	818
3	3	1	6	120	123,12	-3,12	-2,534	$\pm 0,81$	"	$\pm 1,5$	$\sim 0$	119
2,8	280	1	1	1735	1737,52	-2,52	-0,141	$\pm 0,06$	"	$\pm 0,2$	$\sim 0$	1736
2,8	150	1	2	1910	1915,2	-5,2	-0,272	$\pm 0,052$	"	$\pm 0,35$	$\sim 0$	1909
2,8	100	1	3	1588	1915,2	-7,2	-0,376	$\pm 0,052$	"	$\pm 0,1$	$\sim 0$	1908
2,8	30	1	6	1140	1149,12	-9,12	-0,794	$\pm 0,087$	"	$\pm 0,2$	$\sim 0$	1139
2,8	20	1	6	760	766,08	-6,08	-0,794	$\pm 0,13$	"	$\pm 0,3$	$\sim 0$	762
2,8	3	1	6	110	114,91	-4,91	-4,27	$\pm 0,87$	"	$\pm 1,5$	$\sim 0$	109
3	300	0,5	1	1022	1026	-4	-0,39	$\pm 0,097$	"	$\pm 0,2$	$\pm 0,5$	1023
3	150	0,5	2	1020	1026	-6	-0,535	$\pm 0,097$	"	$\pm 0,35$	"	1021
3	100	0,5	3	1020	1026	-6	-0,585	$\pm 0,097$	"	$\pm 0,1$	"	1018
3	30	0,5	6	610	615,6	-5,6	-0,909	$\pm 0,16$	"	$\pm 0,2$	"	608

3	20	0,5	6	406	410,4	-4,4	-1,07	<u>±0,24</u>	<u>±0,2</u>	<u>±0,3</u>	<u>±0,5</u>	407
3	3	0,5	6	52	61,56	-9,56	-15,53	<u>±1,62</u>	"	<u>±1,5</u>	"	52
2,8	280	0,5	1	890	893,76	-3,76	-0,421	<u>±0,11</u>	"	<u>±0,2</u>	"	
2,8	150	0,5	2	953	957,6	-4,6	-0,48	<u>±0,1</u>	"	<u>±0,35</u>	"	
2,8	100	0,5	3	952	957,6	-5,6	-0,585	<u>±0,1</u>	"	<u>±0,1</u>	"	
2,8	30	0,5	6	570	574,56	-4,56	-0,794	<u>±0,17</u>	"	<u>±0,2</u>	"	
2,8	20	0,5	6	378	383,04	-5,04	-1,32	<u>±0,26</u>	"	<u>±0,3</u>	"	
2,8	3	0,5	6	48	57,45	-9,45	-16,45	<u>±1,74</u>	"	<u>±1,5</u>	"	

## CAPITOLUL 8

### CONCLUZII

Măsurarea puterii și a energiei active în domenii largi de frecvență, de tensiune și curent a impus construcția unor aparate electronice. În decursul timpului, prețul de cost al aparaturii electronice a scăzut foarte mult încât aceasta a ajuns să concureze contoarele de inductie de precizie. Ca urmare a rezultatelor spectaculoase ale integrării monolitice, pe scară medie și largă, a devenit posibilă și construcția unor aparate de precizie scăzută dar la un preț de cost mai redus decât al contoarelor similare de inductie.

Dezvoltările tehnologice din ultimii ani, ajustarea rețelelor rezistive integrate cu fascicole laser, au dus la scăderea costului convertoarelor analog-numerice. Astfel, în 1979 un CAN de 10 cifre binare și 25  $\mu$ s timp de conversie a ajuns la 30\$ în cantități mici și probabil în anii următori prețul va scădea și mai mult. Acest fapt permite, în viitor, realizarea unor tipuri de conțoare sau wattmetre numerice, cu multiplicare numerică mai precise, la același preț de cost, decât cele cu multiplicare analogică.

Prezenta lucrare studiază unele aspecte ale proiectării structurale și ale construcției aparatelor numerice cu multiplicare numerică și stabilește expresii pentru calculul erorilor de cuantizare în măsurarea puterii și a energiei. Lucrarea se înscrie astfel în domeniul prelucrărilor numerice ale semnalelor, studiind atât aspecte legate de implementarea hardware cît și aspecte legate de optimizarea algoritmilor de lucru. Concluziile pot fi utile și în alte domenii ca de exemplu în tehnica corelației, filtrare numerică, analiză spectrală etc.

Contribuțiile autorului sunt următoarele:

1. Clasificarea și analiza critică a diverselor structuri de wattmetre și conțoare electronice în vederea stabilirii unor limitări în ceea ce privește clasa de precizie obținabilă. Criteriul de clasificare introdus este modul de implementare a operației de multiplicare, operație esențială în măsurarea puterii



și a energiei active.

Analiza efectuată indică drept metode de măsurare de mare precizie a puterii și a energiei, aceleia care utilizează multiplicarea numerică, multiplicare practic lipsită de eroare.

2. Elaborarea a doi noi algoritmi pentru calculul puterii și al energiei active. Algoritmii propuși în lucrare ocoleșc operația de înmulțire înlocuind-o prin două însumări. Sumatoarele se realizează sub formă integrată, la un preț de cost mult mai redus decât multiplicatoarele numerice echivalente ca și funcție în algoritmii de măsurare. Realizarea secvenței clasice de multiplicare, prin adunări și deplasări repetate consumă mult timp necesitând și un dispozitiv de comandă cu o structură complicată. Ocolind multiplicarea numerică directă, algoritmii propuși conduc la structuri hardware mai simple decât cele cunoscute din literatură.

Primul algoritm prelevează simultan eșantioane de tensiune și curent efectuând operația de cuantizare a acestor eșantioane. Se calculează diferențele a două eșantioane succesive de tensiune și sumele de curent; diferențele eșantioanelor de tensiune se limitează la maximum două cuante și ca atare operația de multiplicare se înlocuiește printr-o însumare a unor sume de eșantioane de curent, eventual deplasate înainte de însumare. Algoritmul necesită, pentru implementare două convertoare A/N complete.

Al doilea algoritm prelevează simultan eșantioane de tensiune și curent, dar, utilizând două circuite de eșantionare și memorare pentru tensiune, comandate succesiv, realizează direct diferența analogică a eșantioanelor de tensiune. Se cuantizează eșantioanele de curent și se însumează; diferențele eșantioanelor de tensiune se cuantizează cu un convertor analog numeric foarte simplu ce furnizează coduri ce sănătăi puteri ale lui 2. Se efectuează apoi însumarea sumelor eșantioanelor de curent ca și în cazul primului algoritm.

Primul dintre algoritmi permite atingerea unor precizii de măsurare ridicăte. Al doilea algoritm, necesitând un singur convertor complet, pentru curent, conduce la structuri hardware mai simple și mai ieftine; precizia de măsurare este însă considerabil mai scăzută.

Algoritmii de multiplicare propuși pot fi aplicati în tehnica corelației sau în filtrarea numerică.

3. Elaborarea unor noi structuri de wattmetre și contoare pentru energia activă, ce realizează implementarea algoritmilor propuși. Aceste structuri sunt integrabile, fie în tehnologie hibridă, fie în tehnologie monolică. Aferente structurilor propuse se prezintă și circuitele anexă și anume: de sincronizare a generatorului de tact și începere a măsurării, de acționare a sistemelor mecanice de înregistrare – pentru care s-a elaborat un algoritm special –, de comutare automată a domeniilor conform valorii de vîrf a curentului, de sesizare a sensului de circulație a energiei pentru contoare cu două sensuri.

4. Stabilirea unei strategii pentru dimensionarea atât a aparatelor cu multiplicare numerică, clasică cît și a celor propuse, privind alegerea cuantelor de tensiune și curent, a frecvenței de eșantionare, a lungimii acumulatoarelor pentru curent și energie sau putere. În vederea operării unor numere cu semn, întregi și de semnificație redusă în raport cu sumele calculate a fost elaborat un algoritm adecvat.

5. Stabilirea unei relații pentru eroarea de cuantizare a puterii și a energiei. Relația calculează medii statistice ale erorilor de măsurare și a fost verificată prin comparare cu rezultatele simulării primului algoritm, rezultate prezentate în capitolul 6. Relația de calcul stabilită a permis evidențierea unor rapoarte favorabile între amplitudinile semnalelor ce se cuantizează și cuanta corespunzătoare. Menținând aceste rapoarte în limite normale la măsurări în punct fix, energia activă se poate măsura cu precizii foarte bune chiar și la cuantizări groșiere ale tensiunii și curentului.

După cum se arată în capitolul 6, cuantizând tensiunea și curentul cu cîte 6 cifre binare, dintre care una pentru semn și 5 pentru mărime și menținând rapoartele  $U_L/\Delta u$  și  $I_M/\Delta i$  la 31,268 și respectiv 30,981 cu o precizie de  $\pm 0,1\%$  rezultă o eroare de determinare a puterii sau a energiei active de  $\pm 0,04\%$ . Dacă rapoartele de mai sus se mențin cu  $\pm 0,25\%$ , eroarea de măsurare ajunge la  $\pm 0,075\%$ . Aceste rezultate se pot obține pentru o reprezentare a tensiunii și curentului cu o eroare de cuantizare de  $\pm 0,8\%$ .

Se poate deci realiza un aparat precis, destinat măsurării în punct fix, cu un minim de componente, la un preț de cost scăzut.

Pe baza unor date, publicate în literatura de specialitate, s-a realizat, în capitolul 5, și un studiu sistematic al erorilor cauzate de eşantionare, de neconcordanța momentelor de prelevare a eşantioanelor de tensiune și curent, aplicîndu-se algoritmilor propuși concluziile studiului.

Se arată, pe baza determinării expresiei analitice a erorii de măsurare a puterii cauzate de nesincronismul între frecvența de eşantionare și a N-ă armonică a semnalului, necesitatea realizării acestui sincronism. O concluzie similară este citată în literatură [24] dar este obținută prin simulare.

Studiind influența neconcordanței momentelor de prelevare a eşantioanelor de tensiune și curent se arată că ceea ce este devenit de luat în seamă este componenta ei sistematică. Aceasta revine la a aprecia eroarea suplimentară de unghi cauzată de diferența valorilor medii ale aperturii circuitelor de eşantionare și memorare. Variatiile statistice ale diferenței dău erori de ordinul a  $10^{-5}\%$  deci neglijabile.

6. Elaborarea unui studiu privind influența neliniarităților caracteristicilor de transfer ale convertoarelor analog-numerice asupra erorilor de măsurare a puterii și a energiei active. Pe baza unor aproximări, acceptabile pentru tipurile de neliniarități citate în literatura privind convertoarele analog-numerice, se stabilesc relații cantitative ce relevă majora influență a neliniarităților asupra erorilor de măsurare.

După cum se arată în capitolul 5, pentru convertoare de 11 cifre binare dintre care una de semn, convertoare afectate de neliniaritate de maximum 1 bit, eroarea datorată neliniarităților are ca limită superioară valori de ordinul a  $10^{-2}\%$ . În cazul acelorași convertoare, dar fără erori de neliniaritate, simularea și calculul indică erori de cuantizare de ordinul a  $10^{-3}\%$ .

În situația unei necorespunzătoare alinieri a convertoarelor reale, eroarea datorată neliniarităților poate ajunge chiar la ordinul  $10^{-1}\%$ , deci de 100 de ori mai mare decât în cazul unor convertoare ideale.

Tot ca o concluzie a studiului, se stabilesc criterii de aliniere a caracteristicilor de transfer ale convertoarelor reale și de împerechere a convertoarelor canala lui de tensiune

și curent. Se arată că alinierea la capete, deși duce la erori de măsurare în punct mai mari, este mai favorabilă în contoare sau wattmetre decât alinierea într-un capăt și 70% din domeniu. Respectând condițiile de împerechere deduse, erorile datorate neliniarităților scad cu 1 sau chiar 2 ordine de mărime, ajungând comparabile cu erorile de cuantizare.

In vederea reducerii erorilor cauzate de neliniaritate se propune o modalitate de corecție numerică a rezultatului conversiei cu, sau fără, adăugarea unui bit suplimentar cu ponderea de jumătate de cuantă. Verificarea posibilității de a realiza corecția s-a făcut prin simularea unui contor de măsurare în punct fix lucrând conform primului algoritm propus. Eroarea scade, de la + 0,545% corespunzător caracteristicilor necorectate, la +0,161% corespunzător corectării fără modificarea numărului de cifre. Dacă se efectuează o corecție prin adăugarea unui bit suplimentar, eroarea scade la -0,017% deci cu un ordin de mărime.

In plus, autorul ajunge la concluzia necesității utilizării unor convertoare cu rezoluție mare - cuantă mică - doar pentru reducerea erorilor cauzate de neliniaritate, fără însă a fi necesară prelucrarea ulterioară, prin calcul, decât a celor mai semnificative cifre, corespunzător erorii de cuantizare admise, neglijindu-se rangurile inferioare. Această concluzie permite reducerea costului echipamentului de prelucrare numerică.

7. Elaborarea unor programe pentru calculator numeric, scrise în limbajul FORTRAN, pentru analiza asistată a comportării celor două tipuri de contoare sau wattmetre rezultate din algoritmi propuși.

In urma simulărilor efectuate, presupunând caracteristicile de transfer ale convertoarelor lipsite de erori de neliniaritate, s-a găsit pentru primul algoritm o eroare de măsurare de 0,5% pentru căte 6 cifre binare (una pentru semn), 0,25% pentru căte 8 cifre binare, ajungindu-se la 0,005% pentru căte 11 cifre binare. Erorile datorate neliniarităților depășesc erorile de cuantizare ce se obțin pentru 11 și 12 cifre binare. Ca atare este recomandabilă utilizarea unor convertoare cu 12÷14 cifre și reținerea pentru calcul a 8÷10 cifre semnifi-

eative. Reținând 10 cifre pentru tensiune și 11 pentru curent (din motive de sensibilitate) se poate realiza un contor cu erori de ordinul a  $10^{-2}\%$  în domenii de curent pînă la  $10\%$  din valoarea sa nominală.

Dependența erorii de factorul de putere este neglijabilă, ea apărînd abea sub  $\cos \phi = 0,3$ .

Simularea celui de-al doilea algoritm a indicat erori de ordinul procentelor pentru cuantizări grozioare ale diferenței eșantioanelor de tensiune și pentru prelevarea a numai 75 eșantioane într-o perioadă.

8. Realizarea unui model experimental de contor numeric, lucrînd pe baza primului algoritm ce cuantizează curentul cu 9 cifre binare și tensiunea cu 7 cifre binare. Funcționarea corectă a contorului realizat a fost verificată.

Lucrarea atestă posibilitatea atingerii unor erori de măsurare de ordinul a  $10^{-3}\%$ , dacă se efectuează corecțiile de neliniaritate prin comparație cu convertoare standard - de 18 bit la ora actuală [109] - și se prelucrează un număr de 11-12 cifre binare. Strategiile de măsurare, privind interschimbarea canalelor de curent și tensiune, corecțiile prin calcul impuse de derivă și amplificare, devin inevitabile.

x

x            x

Lucrarea reprezintă rezultatul activității desfășurate sub îndrumarea atentă și plină de înțelegere a tovarășului profesor dr.ing. Eugen Pop. Autorul îi rămîne profund îndatorat pentru sfaturile și îndrumările primite în întreaga perioadă de pregătire a doctoratului.

Deosebite mulțumiri aduce autorul tovarășului dr.ing. Emil Petru pentru îndelungile discuții și sfaturi, pentru sprijinul acordat în momentele grele.

Pe această cale autorul mulțumește tovarășului conf.dr. ing. Vasile Stoica și assist.ing. Dorina Petru pentru sugestii-le și sprijinul moral.

## B i b l i o g r a f i e

- 1 Penescu C. Digital Measurement of Active and Reactive Power. IEEE.Trans.on Power Apparatus and Syst.July 1965.
- 2 H.Gorelicov I.Klistorin M.Sobstel Wattmetru numeric.Referativni Jurnal 1968 seria Metrologie și tehnica măsurării, referat Nr.1,32,1392.
- 3 Ph.Allen W.Parrish A Wide Range Voltage-Controlled Oscillator IEEE Trans on Instr.and Meas. IM24 No.3 Sept.1975,p.255-261.
- 4 C.Louillard Amplificateurs et mesures différentielles Electr.Ind. 1/1975,p.61-66.
- 5 G.Dietrich K.Hanauer Preiswerter und genauer Analog Multiplizierer Elektronik 8/1971 p 265-268.
- 6 W.D.Schleifer Dioden funktransgeber für empirische Functionen unter Verwendung Von Operationsverstärkern. Internationale Elektronische Rundschau No.11/1967 p 279-280.
- 7 P.N.Budzilovich Electrical Noise: Its Nature,Causes, Solutions.Control Engineering Vol.16 May 1969 p.74 - 78.
- 8 V.Tietze Analogmultiplizierer mit Stromverteilungsstenerung. Elektronik 6/1971 p 189-192.
- 9 G.Pretzl Schnelle Analog Digital Umsetzer. Verfahren und Produkte Elektronik 12/1976 p 36 - 42.
- 10 E.Pop E.Petruș Asupra reprezentării probabilistice a nărimilor în apăratura de măsurat. Metrologia aplicată No.4/1977 p 138 - 164.
- 11 E.Petruș D.Petruș Estimarea funcției de corelație a semnalelor cuantizate în baza 2. Buletinul științific și tehnic al IPTVT 1/1978.

- 12 H.Köhler Ein Analog Digital Umsetzer für Messwerterfassung Elektronik 3/1971 p 89-92.
- 13    ■ ■ ■ Codes für Analog/Digital und Digital/Analog-Umsetzer Elektronik 12/1975 p 87-90.
- 14 G.Widrow A study of Rough Amplitude Quantization by Means of Nyquist Sampling Theory. IEE Trans. on Circuit Theory CT3,4,1956 Dec p 266-276.
- 15 A.Gersho D.J.Goodman A Training Mode Adaptive Quantizer IEEE Trans on Inf Theory IT-20 No 6 Nov. 1974 p 746-749.
- 16 Watts A General Theory of Amplitude Quantization with applications to correlation Determination. The IEE.Monograph No 481M,Nov.1961.
- 17 L.I.Bluestein Asymtotically Optimum Quantizers and Optimum Analog to Digital Converters for Continuous Signals. IEEE Trans.on Inf. Theory p 242-246.
- 18 R.Kramer Effects of Quantization on Feedback Systems with Stochastic Inputs p 292-305.
- 19 I.Naftchiă E.Petru Cuantizor logaritmic. Buletinul științific și tehnic al IPTVT 2/1978 (acceptat pentru publicare)
- 20 C.Golevanev Contribuții la studiul influenței armonicelor de tensiune și curent asupra funcționării aparatelor electrice de măsură. Teză de doctorat. Buc. 1974.
- 21    ■ ■ ■ Recomandări ale Comisiei Internaționale de electrotehnica privind contoarele de clasă 0,2 - Geneva 1975.
- 22 R.Bergeest R.Friedl P.Seyfried High precision electronic measuring equipment for electrical power and energy Mesucora 1970.
- 23 R.Friedl W.Lange P.Seyfried Electronic Three-Phase Four Wire Power Frequency Convertor With HighAccuracy Over a Wide Range of Use IEEE Trans. on Instr.and Meas. IM 20 No 4 Nov 1971 p 308-312

- 24 R.S.Turgel      Digital Wattmeter Using a Sampling Method  
IEEE Trans.on Instr.and Meas. IM-23 Dec.1974  
p 337-341.
- 25 A.Spalti      Classes de précision des compteurs et  
niveaux de puissance Revue Landis Gyr  
19(1972)1 p 5-8.
- 26 H.Vonaburg  
J.H.de Vries      Compteur électronique de haute précision  
Revue Landis Gyr 19(1972) p 9-16.
- 27 F.Tschapper      Utilisation d'un compteur électronique  
de précision comme compteur étalon  
Revue Landis Gyr 19(1972) p 17-20.
- 28 G.Sacerdoti  
M.Scagliotti  
E.Zappitelli  
N.Crema      A Standard Digital Energy Meter for  
measurements in single-phase Circuits and  
of Active and Reactive Energy in Symmetrical  
Three-Phase Circuits. Alta Frequenza No.11  
Novembre 1966 p 889-898.
- 29 H.Laumann  
J.Petr      Compteur de précision de la classe 0,5 avec  
système de mesure statique - Revue Landis  
Gyr 21(1974)4 p 48-54.
- 30 H.Frey      Le traitement automatique dans le domaine  
du télécomptage - Revue Landis Gyr 21(1974)4  
p 61-66.
- 31 K.J.Lentner      A Current Comparator System to Establish  
the Unit of Electrical Energy at 60 Hz.  
IEEE Trans.on Instr.and Meas. IM-23 No 4  
Dec.1974 p 334-336.
- 32 W.J.Moore      A Technique for Calibrating Power Frequency  
Wattmeters at very Low Power Factors.  
IEEE Trans On Instr.and Meas IM-23 No 4  
Dec 1974 p 318-322.
- 33 G.Schuster      A High-Resolution Electrodynamic AC-to DC  
Power Trans.Instrument IEEE Trans on Instr.  
and Meas IM-23 No 4, Dec.1974 p.330-333.

- 34 H.Gerner  
Electronic Method With Direct Time Encoding for Precision Measurement of Electric Power Over a Wide Range of Frequency. IEEE Trans on Instr.and Meas. IM-21 No 4 Nov.1972 p 350-353.
- 35 L.Marzetta  
An Evaluation of the Three-Voltmeter Method for AC Power Measurement IEEE Trans.on Instr.and Meas. IM-21 No 4 Nov.1972 p 353-357.
- 36 I.S.Antoniu  
M.Leon  
Metodă și model electronic de reprezentare operațională și analiză a puterilor în regim deformant AMC 22 p 199-210.
- 37 I.S.Antoniu  
M.Leon  
R.Ruduce  
P.Q.D.-metru aparat pentru măsurarea puterilor și energiilor active reactive și deformante într-un regim ener
- 38 S.Ishibashi  
Y.Nitta  
Power - and RMS Voltage to DC Voltage and Pulse Frequency Conversion IIEKO-IV Warszawa 3-8 VII 1967.
- 39 x x x  
Watt-hour meters in Japan to go Electronic. Electronics - 8 ian.1976 No 1 p 5E.
- 40 B.Omeil  
A Precision Four Quadrant Multiplier. Electronics 1/1972.
- 41 T.Muresan  
T.Virgil  
Al.Vonica  
Circuite electronice pentru comanda modificatoarelor de viteză. Dispozitivul de înmulțire și modulare în durată. Contract de cercetare IPTVT - Beneficiar NICM 1977.
- 42 T.Muregan  
I.Hoffmann  
Dispozitiv de înmulțire cu impulsuri. Academia RSR - Comisia de automatizare. Sesiune de comunicări științifice în domeniul automatizării oct.1967 p 197-202.
- 43 E.J.Moore  
A Current Comparator Bridge for Power Measurement IEEE Trans.on Instr.and Meas. Vol. IM-25 No.4 Dec.1976 p.550-553.

- 44 L.G.Cox  
N.L.Kusters  
  
A Differential Thermal Wattmeter for  
the AC/DC Transfer of Power IEEE Trans on  
Instr. and Meas Vol. IM-25 No 4 Dec.  
1976 p 553-557.
- 45 D.Milicević  
B.M.Stojanović  
  
A New Electronic Method for Electric  
Energy Measurement. IEEE Trans on Instr.  
and Meas Vol. IM-24 No 4 Dec. 1975 p.356-  
361.
- 46 M.Tomota  
T.Sugiyama  
K.Yamaguchi  
  
An Electronic Multiplier for Accurate  
Power Measurements. IEEE Trans on Instr.  
and Meas Vol IM-17 No 4 Dec. 1968  
p 245-251.
- 47 E.Pop  
  
O generalizare a teoremei eşantionării.  
Buletinul științific și tehnic al IPTVT  
seria electrotehnică. Tom 19(33) fasc.1  
1977. p 7-12.
- 48 E.Pop  
  
Erori produse de eşantionare la măsura-  
rea puterii. Buletinul științific și  
tehnic al IPTVT seria electrotehnică.  
Tom 18(32) fasc.2/1973 p 135-144.
- 49 E.Pop  
I.Naftonită  
  
Wattmetre și contoare numerice. Buletinul  
științific și tehnic al IPTVT seria elec-  
trotehnică. 2/1978 (acceptat pentru  
publicare).
- 50 E.Pop  
I.Naftonită  
  
Asupra erorilor de măsurare a puterii  
prin metoda multiplicării numerice.  
Metrologia aplicată 3/1979 p 118-123
- 51 D.Frankel  
  
Contribuții cu privire la măsurarea pu-  
terilor în rețele de curent alternativ  
cu generator Hall. Teză de doctorat.  
Timișoara 1964.
- 52 E.Pop  
V.Stoica  
  
Principii și metode de măsurare numerică.  
Editura Facla 1977.
- 53 R.D.Stuart  
  
Introducere în analiza Fourier. Editura  
tehnică 1977.

- 54 B.Levine - *Foundements théoriques de la radiotechnique statistique.* Vol.I, Editura MIR-Moscova 1973.
- 55 B.Lévine *Foundements théoriques de la radiotechnique statistique* vol.II Editura MIR-Moscova 1973.
- 56 A.G.Korn *Simularea și măsurarea proceselor aleatoare* Editura tehnica 1969.
- 57 A.Nikiforov V.Onvarov *Elemente de la théorie des fonctions spéciales.* Editura MIR-Moscova 1976.
- 58 H.Ventsel *Théorie des probabilités.* Editura MIR-Moscova 1973.
- 59 B.Kuo *Sisteme automate cu eșantionare.* Editura tehnica 1967.
- 60 I.Sonorovsky *Radio Circuits and Signals.* Editura MIR-Moscova 1974.
- 61 Al.Spătaru *Teoria transmisiunii informației.* Vol.I Semnale și perturbații. Editura tehnica 1965.
- 62 J.Morris *Proiectarea cu circuite integrate TTL* Editura tehnica.
- 63 x x x *Analog Devices - Analog Digital Conversion Notes* 1977.
- 64 x x x *Datel Inc.Engineering Product Handbook* 1974.
- 65 J.Max *Méthodes et techniques de traitement du signal et applications aux mesures physiques* Maccon-Paris 1977.
- 66 St.Gîrlagă *Prelucrarea în timp real a semnalelor fizice.* Scrisul românesc 1978.
- 67 C.Buluțea M.Vais H.Profeta *Circuite integrate liniare* Editura tehnica 1976
- 68 J.Graeme G.Tobey L.Huelsman *Operational amplifiers* Mc Graw-Hill Book Company 1971

- 69 x x x Burr - Brown - General Catalog 1979.
- 70 x x x Data Acquisition Products Catalog 1979  
Analog Devices.
- 71 Bendat J.S.  
Piersol A.G. Measurement and analysis of random data.  
John Wiley & Sons New-York 1966.
- 72 H.Herşcovici Circuite integrate în aparatura de automa-  
tizare. Editura tehnică 1976.
- 73 M.Tiron Teoria erorilor de măsurare și metoda celor  
mai mici patrate. Editura tehnică 1972.
- 74 E.Pop  
M.Chivu Măsurări electrice și magnetice vol.I  
I.P.Timișoara, 1969.
- 75 E.Pop  
M.Chivu Măsurări electrice și magnetice vol.II  
I.P.Timișoara 1969.
- 76 A.Timotin  
V.Hortopan Lectii de bazele electrotehnicii I  
Editura did.-și ped. 1964.
- 77 A.Timotin  
V.Hortopan  
S.Masteră  
A.Ifrim  
M.Preda Lectii de bazele electrotehnicii II  
Editura did.-și ped. 1964.
- 78 P.Manolescu Măsurări electrice industriale vol.I  
Editura tehnică 1966.
- 79 A.Plautius Bazele electrotehnicii vol.I Ed.did.-și  
ped. 1972.
- 80 A.Plautius Bazele electrotehnicii vol.II Ed.did.-și  
ped. 1972.
- 81 E.Nicolau  
M.Beliș Măsurări electrice și electronice. Editura  
did.-și ped. 1972.
- 82 x x x Nonlinear circuits handbook - Analog devices  
1977.
- 83 T.K.Tawling  
H.L.Hvims Serial digital multiplier handles two five  
bit numbers.
- 84 L.R.Rabiner  
B.Gold Theory and application of digital signal  
processing Prentice-Hall Inc. 1975.

- 85 M.Schwartz  
L.Shaw Signal Processing  
Mc Graw - Hill Book Company 1975.
- 86 E.Savarenaky Seismic waves Mir Publishers-Moscow 1975.
- 87 N.Ciorănescu Tratat de matematici speciale.Editura didactică și pedagogică 1963.
- 88 A.Angot Complemente de matematici pentru ingeenieri din electrotehnica și telecomunicații.  
Ed.Tehnică-București 1962.
- 89 Yoohan Chu Bazele proiectării calculatoarelor numerice.Ed.Tehnică.București 1968.
- 90 Gh.Ciucu  
V.Crain  
A.Stefănescu Statistică matematică și cercetări operaționale.Editura didactică și pedagogică 1974.
- 91 G.P.Tolstov Serii Fourier.Editura tehnică 1955.
- 92 A.Mateescu Analiza și sinteza circuitelor electrice  
Ed.did. și ped.1975.
- 93 V.Pop  
V.Popovici Circuite de comutare aplicate în calculatoare electronice.Ed.Facla 1976.
- 94 K.W.Cattermole Principles of pulse code modulation  
ILLIPE Books LTD 1969.
- 95 V.Harea Convertoare A/N.Principii de conversie  
Referat în cadrul pregătirii pentru doctorat IPTVT-1979.
- 96 I.Naftonită Sinteză a metodelor de conversie analog numerică. Ref.1 în cadrul pregătirii pentru doctorat IPTVT.
- 97 I.Naftonită Optimizarea convertorului funcție de natura canalului deservit. Referat în cadrul pregătirii pentru doctorat-IPTVT.
- 98 R.Stere  
I.Ristea  
N.Bodea Tranzistoare cu efect de cîmp.Ed.Tehnică București 1972.
- 99 G.Bonet Sur la statistique du second ordre des signaux aléatoires quantifiés.Comp.Rend. 225/1962.

- 100 A.A.Kosiakin Staticeskaia teoria cvantovania po urovniu. Avtomatika i telemehanika XXII-6-1961.
- 101 G.N.Watson A Treatise on the Theory of Bessel Function izdatelistvo innostranoi literaturi Moskva 1949.
- 102 Donald De Kold Integrated multiplier simplifies wattmeter design.Circuit Designers Casebook-Electronics 1975.
- 103 E.M.Gordon Effects on noise on analog to digital conversion Analogic Corporation 1969.
- 104 E.Petriu Contribuții la îmbunătățirea mijloacelor de măsurare corelativă. Teză de doctorat 1979 IPTVT.
- 105 I.Naftonită E.Petriu Convertor analog numeric pentru un sistem de achiziții de date. Lucrări tehnico-științifice în cadrul festivalului "Cîntarea României" IPTVT 1977.
- 106 Petriu E. Naftonită I. Corelator numeric punct cu punct fără linie de întîrziere.Lucrări tehnico-științifice în cadrul festivalului "Cîntarea României" IPTVT 1977.
- 107 E.Pop I.Naftonită Erori de cuantizare la măsurarea puterii și a energiei active.Lucrări tehnico-științifice în cadrul festivalului "Cîntarea României", IPTVT-1979.
- 108 I.Naftonită, E.Petriu Gh.Ciocloaia M.Naftonită Circuite integrate numerice IPTVT 1978
- 109 H.Scheenwetter A High-Speed Low Noise 18 Bit Digital to Analog Converter. IEEE Trans.on Instr. and Meas. IM-27 Dec.4/1978 p.413-417.
- 110 E. Petriu I. Naftonită "Contor electronic numeric pentru măsurarea energiei electrice active în rețelele de curent alternativ" Brevet OSIM 72766/1979.